



ใบรับรองวิทยานิพนธ์

บัณฑิตวิทยาลัย มหาวิทยาลัยเกษตรศาสตร์

วิทยาศาสตร์มหาบัณฑิต (เทคโนโลยีชีวภาพเกษตร)

ปริญญา

เทคโนโลยีชีวภาพเกษตร
สาขาวิชา

โครงการสหวิทยาการระดับบัณฑิตศึกษา
ภาควิชา

เรื่อง การถ่ายยืนที่เกี่ยวข้องกับการสร้างเอทิลีนเข้าสู่กล้วยไม้สกุลหวานพันธุ์ป้อมปาดัวร์โดยใช้เวกเตอร์ pMAT21

Transformation of Ethylene-Related Genes into *Dendrobium* ‘Pompadour’ Using pMAT21 Vector

นามผู้วิจัย นางสาวเบญจวรรณ สุวรรณเนตย์

ได้พิจารณาเห็นชอบโดย

อาจารย์ที่ปรึกษาวิทยานิพนธ์หลัก (อาจารย์อรวรรณ ชัชวาลการพันธุ์, Ph.D.)

อาจารย์ที่ปรึกษาวิทยานิพนธ์ร่วม (ผู้ช่วยศาสตราจารย์สมิศริ จันทร์perm, Ph.D.)

อาจารย์ที่ปรึกษาวิทยานิพนธ์ร่วม (อาจารย์ชิรณา อิ่มสนาย, Ph.D.)

ประธานสาขาวิชา (รองศาสตราจารย์พงศ์เทพ อัครชานกุล, Ph.D.)

บัณฑิตวิทยาลัย มหาวิทยาลัยเกษตรศาสตร์รับรองแล้ว

(รองศาสตราจารย์กัญจน์ ชีระกุล, D.Agr.)
คณบดีบัณฑิตวิทยาลัย

วันที่ เดือน พ.ศ.

วิทยานิพนธ์

เรื่อง

การถ่ายยืนที่เกี่ยวข้องกับการสร้างเอทิลีนเข้าสู่กล้วยไม้สกุลหวานพันธุ์ปอมปาดัวร์
โดยใช้วekเตอร์ pMAT21

Transformation of Ethylene-Related Genes into *Dendrobium* ‘Pompadour’
Using pMAT21 Vector

โดย

นางสาวเบญจวรรณ สุวรรณเนตย์

เสนอ

บัณฑิตวิทยาลัย มหาวิทยาลัยเกษตรศาสตร์
เพื่อความสมบูรณ์แห่งปริญญาวิทยาศาสตร์มหาบัณฑิต (เทคโนโลยีชีวภาพเกษตร)
พ.ศ. 2552

เบญจวรรณ สุวรรณเนตย์ 2552: การถ่ายทอดที่เกี่ยวข้องกับการสร้างเอทิลีนเข้าสู่กล้ามไม้สกุลหวาย พันธุ์ป้อมปาดัวร์โดยใช้วาเกเตอร์ pMAT21 ปริมาณวิทยาศาสตร์บัณฑิต (เทคโนโลยีชีวภาพ เกษตร) สาขาวิชาเทคโนโลยีชีวภาพเกษตร โครงการสาขาวิชาการระดับบัณฑิตศึกษา อาจารย์ที่ปรึกษา วิทยานิพนธ์หลัก: อาจารย์อรวรรณ ชัชวาลการพาณิชย์, Ph.D. 140 หน้า

การศึกษาปัจจัยที่มีผลต่อการถ่ายทอดที่เกี่ยวข้องกับการสร้างเอทิลีนเข้าสู่กล้ามไม้สกุลหวายพันธุ์ป้อมปาดัวร์โดยใช้วาเกเตอร์ pMAT21 ซึ่งมีชื่อ *gus* เป็นยีนรายงานผลและชื่อ *ipt* เป็นยีนคัดเลือก พบว่าการใช้เชื้ออ่อง โกรแบคทีเรียมสายพันธุ์ EHA105 ความเข้มข้น ~ 4.1×10^{17} cfu/ml และการ co-cultivation ระหว่างเชื้อกับ PLBs ของกล้ามไม้ร่วมกับสาร celite ความเข้มข้น 4.5 กรัมต่อลิตร โดยใช้เครื่อง vortex mixer เป็นเวลา 30 นาที เป็นวิธีที่เหมาะสมในการถ่ายทอด และใช้สารปฏิชีวนะ cefotaxime 200 มิลลิกรัมต่อลิตร ในการกำจัดเชื้ออ่อง โกรแบคทีเรียมภายหลังการถ่ายทอด การศึกษารังนี้ทำการถ่ายทอดที่เกี่ยวข้องกับการสร้างเอทิลีนเข้าสู่กล้ามไม้สกุลหวายพันธุ์ป้อมปาดัวร์ คือ ยีน ACS และ ACO โดยใช้ระบบวาเกเตอร์ pMAT21 เพื่อสร้างกล้ามไม้ดัดแปลงพันธุกรรมที่มีชื่อเป้าหมายและปราศจากยีนคัดเลือก ในการทดลองรังนี้ทำการแบ่งยีน ACS และ ACO ออกเป็นส่วนต่าง ๆ 3 ส่วน ได้แก่ บริเวณ 5' ของยีน, บริเวณ central region และบริเวณ 3' ของยีน ซึ่งเรียกว่า ACSA, ACSB, ACSC สำหรับยีน ACS และ ACOA, ACOB, ACOC สำหรับยีน ACO ตามลำดับ จากนั้นทำการสร้างชุดยีนแต่ละส่วนดังกล่าวในลักษณะ antisense orientation เข้าสู่วาเกเตอร์ pMAT21 เพื่อถ่ายเข้าสู่กล้ามไม้โดยใช้เชื้ออ่อง โกรแบคทีเรียม ภายหลังการถ่ายทอด 3-4 เดือน PLBs พัฒนาเป็นยอดกระจุกที่เกาะตัวกันแน่น และเกิดการพัฒนาเป็นต้นปูกติดกับยอดกระจุกดังกล่าวภายหลังการถ่ายทอด 6-8 เดือน หลังจากนั้นนำต้นปูกติดมาตรวจสอบด้วยวิธี Southern blot analysis พบว่ากล้ามไม้ที่ได้รับการถ่ายทอด AS-ACSB และยีน AS-ACOB มียีนแทรกตัวอยู่ในจีโนม 1 ชุด จำนวน 5 และ 2 ต้น ตามลำดับ ในขณะที่กล้ามไม้ที่ได้รับการถ่ายทอด AS-ACOA มียีนแทรกตัวอยู่ในจีโนมตั้งแต่ 2-4 ชุด โดยต้นกล้ามไม้ดังกล่าวทุกต้นปราศจากยีนคัดเลือก จากการตรวจการแสดงออกของยีนในระดับอาร์เอ็นเอ พบว่าต้นกล้ามไม้ที่ได้รับการถ่ายทอด AS-ACSB และ AS-ACOB-10B และ AS-ACOB-11B มีการแสดงออกของยีน AS-ACOB มาก และพบการแสดงออกของยีน sense ACO น้อยลง ดังนั้นการถ่ายทอด AS-ACS หรือ AS-ACO ด้วยวาเกเตอร์ pMAT21 สามารถสร้างกล้ามไม้ดัดแปลงพันธุกรรมที่มีชื่อ AS-ACS หรือ AS-ACO และปราศจากยีนคัดเลือกได้

Benjawan Suwannate 2009: Transformation of Ethylene-Related Genes into *Dendrobium* ‘Pompadour’ Using pMAT21 Vector. Master of Science (Agricultural Biotechnology), Major Field: Agricultural Biotechnology, Interdisciplinary Graduate Program. Thesis Advisor: Ms. Orawan Chatchawankphanich, Ph.D. 140 pages.

Parameters affecting gene transformation into *Dendrobium* ‘Pompadour’ by pMAT21 vector containing *gus* gene as reporter gene and *ipt* gene as selectable gene were studied. The optimum conditions were used of *Agrobacterium* strain EHA105 at concentration of $\sim 4.1 \times 10^7$ cfu/ml, co-cultivation between *Agrobacterium* and PLBs added with celite 4.5 g/l by vortex mixer for 30 min and use of cefotaxime 200 mg/l for growth suppression of *Agrobacterium* after transformation. In this study, ethylene-related genes which are *ACS* and *ACO* genes were transformed into *Dendrobium* ‘Pompadour’ by pMAT21 vector to generate marker free transgenic orchid. Both *ACS* and *ACO* genes were divided into 3 regions including 5' region, central region and 3' region that was named as *ACSA*, *ACSB*, *ACSC* for *ACS* gene and *ACOA*, *ACOB* and *ACOC* for *ACO* gene, respectively. Each region was cloned into pMAT21 vector in antisense orientation for gene transformation into orchid by *Agrobacterium*. The transformed PLBs developed extreme shooties within 3-4 months after transformation. Then, normal shoot developed from shooties within 6-8 months after transformation. From Southern blot analysis of normal shoots, it showed that five and two putative transgenic orchids transformed with AS-*ACSB* and AS-*ACOB* contained only one copy of transgene, respectively. While, orchids transformed with AS-*ACOA* contained 2-4 copies of transgene. All of these putative transgenic orchids were free of marker gene. From analysis of gene expression at RNA level, two transgenic lines of orchid transformed with AS-*ACSB* which are line AS-*ACSB*-203A and line AS-*ACSB*-208A showed high level of expression of antisense *ACSB*, but expression of endogenous sense *ACS* was low. The results were the same in two transgenic lines of orchid transformed with AS-*ACOB* which are line AS-*ACOB*-10B and line AS-*ACOB*-11B. Therefore, transformation with AS-*ACS* or AS-*ACO* cloned in pMAT21 vector could produce marker-free transgenic orchids containing AS-*ACS* or AS-*ACO* transgenes.

Student's signature

Thesis Advisor's signature

/ /

กิตติกรรมประกาศ

ข้าพเจ้าขอขอบพระคุณ ดร. อรัวรรณ ชัชวาลย์การพาณิชย์ อาจารย์ที่ปรึกษาที่ได้ให้ คำปรึกษาและแนะนำแนวทางในการปฏิบัติงานและทำวิทยานิพนธ์จนเสร็จสมบูรณ์ และได้ให้ ความรู้ อบรมสั่งสอน ช่วยเหลือทั้งทางด้านการเรียนและด้านอื่น ๆ อย่างเอาใจใส่เสมอมา ขอขอบคุณ ผู้ช่วยศาสตราจารย์ ดร. เสริมศิริ จันทร์เพرم และ ดร. วชิรญา อิ่มสนาย อาจารย์ที่ ปรึกษาร่วม ดร. นงลักษณ์ เทียนเสรี ประธานการสอน และ ดร. ภาณุ เรืองจันทร์ ผู้ทรงคุณวุฒิ ที่ กรุณาให้ความรู้ คำปรึกษา คำแนะนำและตรวจแก้ไขวิทยานิพนธ์ให้สมบูรณ์ ขอขอบคุณคณาจารย์ สาขาเทคโนโลยีชีวภาพเกษตร โครงการสาขาวิชาการระดับบัณฑิตศึกษาทุกท่านที่ประสิทธิ์ ประสาทวิชาความรู้ ข้าพเจ้าประสบผลสำเร็จในการศึกษา

ขอขอบพระคุณศูนย์พันธุ์วิศวกรรมและเทคโนโลยีชีวภาพแห่งชาติ (ศช.) สำนักงานพัฒนา วิทยาศาสตร์และเทคโนโลยีแห่งชาติ (สวทช.) กระทรวงวิทยาศาสตร์ เทคโนโลยีและสิ่งแวดล้อม และศูนย์เทคโนโลยีชีวภาพเกษตร มหาวิทยาลัยเกษตรศาสตร์ ที่ได้ช่วยเหลือให้ทุนการศึกษาและ สนับสนุนการค้นคว้าวิจัยในการทำวิทยานิพนธ์ครั้งนี้

ขอขอบคุณกลุ่มวิจัยด้านพืช ศูนย์พันธุ์วิศวกรรมและเทคโนโลยีชีวภาพแห่งชาติ (ศช.) มหาวิทยาลัยเกษตรศาสตร์ ที่กรุณาให้ความอนุเคราะห์ เครื่องมือและอุปกรณ์ สถานที่การวิจัยตลอด ระยะเวลาที่ผ่านมา และขอบคุณเข้าหน้าที่และพี่ ๆ ทุกคนในกลุ่มวิจัยด้านพืช โดยเฉพาะพี่ นุชนาด วรินทร์ พิรารติ คุหาพิทักษ์ธรรม พี่อัญจนา บุญชุด พี่น้ำทิพย์ พิรอนฤทธิ์ และพี่มัณฑนา บุญธรรม ที่ให้คำแนะนำรวมทั้งความช่วยเหลือด้านต่าง ๆ เป็นอย่างดีเสมอมา

สุดท้ายนี้ขอกราบขอบพระคุณคุณพ่อ คุณแม่ พี่ ที่ให้กำลังใจเสมอมาและให้การสนับสนุน ทางด้านการศึกษามาโดยตลอด และเป็นกำลังใจที่สำคัญยิ่งของข้าพเจ้าเสมอมา ขอขอบคุณเพื่อน ๆ ผู้ที่เป็นกำลังใจ ให้คำปรึกษา และเป็นมิตรที่ดี

เบญจวรรณ สุวรรณเนตย์
กุมภาพันธ์ 2552

สารบัญ

หน้า

สารบัญ	(1)
สารบัญตาราง	(2)
สารบัญภาพ	(4)
คำอธิบายสัญลักษณ์และคำย่อ	(14)
คำนำ	1
วัตถุประสงค์	4
การตรวจสอบสาร	5
อุปกรณ์และวิธีการ	28
ผลและวิจารณ์	52
ผล	52
วิจารณ์	114
สรุป	120
เอกสารและสิ่งอ้างอิง	122
ภาคผนวก	136
ประวัติการศึกษาและการทำงาน	140

สารบัญตาราง

ตารางที่	หน้า
1 ชุดยีน AS-ACS และยีน AS-ACO ในแกกเตอร์ pMAT21 ที่ใช้ในการถ่ายยีนเข้าสู่ กล้วยไม้สกุลหวายพันธุ์ป้อมปราด้วร์	35
2 ไพรเมอร์ที่ใช้ในการตรวจวิเคราะห์เนื้อเยื่อกล้วยไม้ที่ได้รับการถ่ายยีนด้วยชุดยีน AS-ACS หรือ AS-ACO	42
3 ไพรเมอร์ที่ใช้ในการตรวจวิเคราะห์การแสดงออกของยีน AS-ACS และยีน AS-ACO ด้วยวิธี RT-PCR	47
4 ผลของการทดสอบสายพันธุ์ และความเข้มข้นของสารแ徊วนลอยเชื้อ [*] <i>A. tumefaciens</i> สายพันธุ์ EHA105, AGL-1 และ C58 ที่บรรจุแกกเตอร์ pMAT21 ต่อประสิทธิภาพในการถ่ายยีนเข้าสู่ PLBs ของกล้วยไม้พันธุ์ป้อมปราด้วร์	53
5 ผลของการเจือจางสารแ徊วนลอยเชื้օะ โกรเบคทีเรียมสายพันธุ์ EHA105 ที่บรรจุ แกกเตอร์ pMAT21 ในช่วงความเข้มข้น $OD_{600} = 1.61-2.00$ ที่มีต่อประสิทธิภาพ การถ่ายยีนเข้าสู่ PLBs ของกล้วยไม้พันธุ์ป้อมปราด้วร์	55
6 ผลการทดสอบระยะเวลาที่ใช้ในการ co-cultivation ระหว่างสารแ徊วนลอยเชื้օะ อะ โกรเบคทีเรียมสายพันธุ์ EHA105 กับ PLBs ของกล้วยไม้พันธุ์ป้อมปราด้วร์	56
7 ผลการทดสอบวิธีการ co-cultivation ของสารแ徊วนลอยเชื้օะ โกรเบคทีเรียม สายพันธุ์ EHA105 กับ PLBs ของกล้วยไม้พันธุ์ป้อมปราด้วร์	57
8 ผลของการเติมสาร celite ในสารแ徊วนลอยเชื้օะ โกรเบคทีเรียมในการ co-cultivation กับ PLBs ของกล้วยไม้ต่อประสิทธิภาพการถ่ายยีนเข้าสู่ กล้วยไม้พันธุ์ป้อมปราด้วร์	59
9 ผลการทดสอบการเติมสาร celite ปริมาณต่าง ๆ ในสารแ徊วนลอยเชื้օะ โกร เบคทีเรียมในการ co-cultivation นาน 30 นาที	61
10 ผลการทดสอบระดับความเข้มข้นของสารปฏิชีวนะ cefotaxime ที่สามารถกำจัด [*] เชื้օะ โกรเบคทีเรียมสายพันธุ์ EHA105 ออกจาก PLBs ของกล้วยไม้พันธุ์ ป้อมปราด้วร์ภายหลังการถ่ายยีนเป็นเวลา 4 สัปดาห์	66

สารบัญตาราง (ต่อ)

ตารางที่	หน้า
11 ชุดยีน AS-ACS และยีน AS-ACO ในເວັກເຕືອນ pCAMBIA1304, pGEM®-T Easy และ pMAT21 ที่ใช้ในการถ่ายยีนเข้าสู่กล้วยไม้สกุลหวายພันธุ์ป้อมปาดัวร์	70
12 ประสิทธิภาพในการถ่ายยีนเข้าสู่กล้วยไม้พันธุ์ป้อมปาดัวร์ในระยะยอดกระจุก (<i>ipt</i> shooties)	80
13 ประสิทธิภาพในการถ่ายยีน AS-ACS และ AS-ACO เข้าสู่กล้วยไม้พันธุ์ป้อมปาดัวร์ตรวจสอบในระยะต้นปักติดโดยวิธี PCR	89
14 การตรวจวิเคราะห์จำนวนชุดของยีนที่อยู่ในจีโนมของกล้วยไม้พันธุ์ป้อมปาดัวร์ ที่ได้รับการถ่ายยีนด้วยชุดยีน AS-ACS และ AS-ACO ส่วน A, B และ C ด้วย เทคนิค Southern blot hybridization	97
15 ผลการตรวจสอบการแสดงออกของยีน AS-ACS และ AS-ACO ในระดับ โปรตีน เอ็นโซของกล้วยไม้ดัดแปลงพันธุกรรมด้วยวิธี RT-PCR และ northern blot analysis	111
 ตารางผนวกที่	
1 องค์ประกอบของอาหารสั่งเคราะห์สูตร VW ที่ไม่เติมน้ำมะพร้าว (ดัดแปลงมาจาก Vacin and Went, 1949)	137
2 องค์ประกอบของสูตร 2X-YT (Sambrook <i>et al.</i> , 1989) สำหรับเลี้ยงเชื้อแบคทีเรีย	137
3 การเตรียมสารละลาย X-gluc solution ปริมาตร 50 มิลลิลิตร ใช้สำหรับเทคนิค GUS histochemical assay ดัดแปลงจากวิธีของ Jefferson <i>et al.</i> (1987)	138
4 สารละลายบัฟเฟอร์สำหรับสกัดดีเอ็นเอจากจีโนมของกล้วยไม้โดยดัดแปลงจาก วิธี TLES (Verword <i>et al.</i> , 1989)	138
5 การเตรียมบัฟเฟอร์สำหรับเทคนิค agarose gel electrophoresis	139

สารบัญภาพ

ภาพที่	หน้า
1 ขั้นตอนการสังเคราะห์เอทิลีนในพืช	7
2 วิถีกรรมแทรกในนิ่นของ Yang ที่เกี่ยวข้องกับการสังเคราะห์เอทิลีน	8
3 การผลิตพืชดัดแปลงพันธุกรรมที่ปราศจากยีนคัดเลือกโดยวิธี co-transformation ซึ่งประกอบด้วยยีนคัดเลือกและยีนที่สันใจมาจากการ co-transformation ที่แตกต่างกัน 2 ชนิด ไปรวมตัวกันอยู่ที่ unlinked loci โดยวิธีการ co-transformation ยีนที่สันใจถูกแยกออกจากยีนคัดเลือกโดยการผสมข้าม (sexual crossing) ก. Two plasmid/two strain ข. Two plasmid/one strain ค. Two T-DNA/one plasmid	19
4 การเคลื่อนย้ายยีนคัดเลือกโดยวิธี transposable elements ซึ่งประกอบด้วยยีน <i>Ds</i> ขนาดข้างขึ้นที่สันใจร่วมกับยีนคัดเลือกและยีน <i>Ac</i> transposase หลังจากยีนที่สันใจเคลื่อนที่ไปที่ตำแหน่ง unlinked loci มีการแยกยีนคัดเลือกโดยการผสมข้าม (sexual crossing)	21
5 การเคลื่อนย้ายยีนคัดเลือกออกจากระบบโดยวิธี <i>Cre/lox</i> ซึ่งประกอบด้วยยีน <i>lox</i> P ขนาดข้างขึ้นคัดเลือกและอยู่ร่วมกับยีนที่สันใจ ยีน <i>Cre</i> ทำหน้าที่เคลื่อนย้ายยีนคัดเลือกและยีนที่สันใจโดยวิธี re-transformation และ cross-pollination และสามารถสร้างพืชดัดแปลงพันธุกรรมที่ปราศจากยีนคัดเลือกโดยการผสมข้าม	23
6 การผลิตพืชดัดแปลงพันธุกรรมที่ปราศจากยีนคัดเลือกโดยใช้ MAT Vector System ซึ่งประกอบด้วยยีนที่สันใจอยู่ข้างนอกส่วน recognition site ยีนคัดเลือกและยีน <i>recombinase</i> อยู่ภายในยีน RS, ยีนคัดเลือกจะถูกกำจัดออกจากจีโนมพืช โดยการทำงานของยีน <i>recombinase</i> (R)	24
7 ส่วนประกอบต่าง ๆ ของเวกเตอร์ pMAT21 (ก) และการผลิตพืชดัดแปลงพันธุกรรมที่ปราศจากยีนคัดเลือกโดยระบบ site-specific recombination (ข)	27

สารบัญภาพ (ต่อ)

ภาพที่	หน้า
8 แผนภาพแสดงส่วนต่าง ๆ ของยีน <i>ACS</i> ในลักษณะ antisense (AS- <i>ACS</i>) ซึ่งแบ่งเป็น 3 ส่วน ได้แก่ AS- <i>ACSA</i> , AS- <i>ACSB</i> และ AS- <i>ACSC</i> และชนิดของไพรเมอร์ที่นำมาใช้ในการสร้าง construct ของยีน AS- <i>ACS</i> ใน plant expression vector pCAMBIA1304 ในตำแหน่ง <i>SpeI</i> และ <i>BstEII</i>	36
9 แผนภาพแสดงส่วนต่าง ๆ ของยีน <i>ACO</i> ในลักษณะ antisense (AS- <i>ACO</i>) ซึ่งแบ่งเป็น 3 ส่วน ได้แก่ AS- <i>ACOA</i> , AS- <i>ACOB</i> และ AS- <i>ACOC</i> และชนิดของไพรเมอร์ที่นำมาใช้ในการสร้าง construct ของยีน AS- <i>ACO</i> ใน plant expression vector pCAMBIA1304 ในตำแหน่ง <i>SpeI</i> และ <i>BstEII</i>	37
10 ขั้นตอนการสร้างชุดยีน AS- <i>ACS</i> และ AS- <i>ACO</i> เข้าสู่เวกเตอร์ pMAT21 โดยรีมจากการเพิ่มปริมาณดีเอ็นเอของยีน AS- <i>ACS</i> และยีน AS- <i>ACO</i> ที่อยู่ในเวกเตอร์ pCAMBIA1304 ซึ่งประกอบด้วย 35S promoter, AS- <i>ACS</i> หรือ AS- <i>ACO</i> และ NOS-T ยायชุดยีนเข้าสู่เวกเตอร์ pGEM®-T Easy จากนั้นทำการย้ายชุดยีนเข้าสู่เวกเตอร์ pMAT21 ที่ตำแหน่ง <i>SmaI</i> ดังนั้นจะได้ pMAT21-AS- <i>ACS</i> หรือ pMAT21-AS- <i>ACO</i>	38
11 แสดงตำแหน่งและทิศทางของยีน AS- <i>ACSB</i> หรือ AS- <i>ACOA</i> ที่อยู่ในพลาสมิด pGEM®-T Easy	50
12 การติดสีน้ำเงินของ PLBs กลัวไม้ที่ทำการถ่ายยีนด้วยเชื้ออะโกรแบคทีเรียมโดยเติมสาร celite ความเข้มข้น 2.5 กรัม ในระหว่างการ co-cultivation ๑) ไม่มีการเติมสาร celite ๒) มีการเติมสาร celite	60
13 ลักษณะการติดสีน้ำเงินที่เกิดจากการแสดงออกของยีน <i>gus</i> ในเนื้อเยื่อกลัวไม้ PLBs ที่เติมสาร celite ในปริมาณต่าง ๆ ในช่วงของการทำ co-cultivation	62
14 ลักษณะการเจริญของ PLBs ของกลัวไม้พันธุ์ปอมปาดัวร์เพาะเลี้ยงบนอาหารสังเคราะห์สูตร VW ที่ไม่เติมน้ำมะพร้าวและเติมสารปฏิชีวนะ cefotaxime	64
15 ลักษณะของเนื้อเยื่อกลัวไม้ภายหลังการถ่ายยีน เพาะเลี้ยงบนอาหารสูตร VW ที่ไม่เติมน้ำมะพร้าว	67

สารบัญภาพ (ต่อ)

ภาพที่	หน้า
16 การตรวจวิเคราะห์ชุดยีน AS-ACS และ ยีน AS-ACO ส่วน A, B และ C ที่เพิ่มปริมาณได้จากในเวกเตอร์ pCAMBIA1304-AS-ACSA, pCAMBIA1304-AS-ACSB, pCAMBIA1304-AS-ACSC, pCAMBIA1304-AS-ACOA, pCAMBIA1304-AS-ACOB และ pCAMBIA1304-AS-ACOC ตามลำดับด้วยวิธี PCR โดยใช้ไพรเมอร์ 35S-SmaI และ NOST-SmaI	71
17 แผนที่ของยีน AS-ACSA, AS-ACSB, AS-ACSC, AS-ACOA, AS-ACOB และ AS-ACOC ที่อยู่ในเวกเตอร์ pGEM®-T Easy	72
18 การตรวจวิเคราะห์ชุดยีน AS-ACS และ ยีน AS-ACO ส่วน A, B และ C ที่อยู่ในเวกเตอร์ pGEM®-T Easy ตรวจสอบโดยการยืดด้วยเอนไซม์ตัดจำเพาะ SpeI	73
19 การตรวจวิเคราะห์ชุดยีน AS-ACS และ ยีน AS-ACO ส่วน A, B และ C ที่อยู่ในเวกเตอร์ pGEM®-T Easy ตรวจสอบโดยการยืดด้วยเอนไซม์ตัดจำเพาะ SmaI	74
20 แผนที่ของยีน AS-ACS และ AS-ACO ที่บรรจุในเวกเตอร์ pMAT21 และ (ก) การตรวจวิเคราะห์ชุดยีน AS-ACS และ ยีน AS-ACO ส่วน A, B และ C ที่อยู่ในเวกเตอร์ pMAT21 ด้วยวิธี PCR โดยใช้ไพรเมอร์ 35S-SmaI และ NOST-SmaI (ข)	75
21 ขั้นตอนในการถ่ายยีนเข้าสู่กลัวไม้ด้วยเชือก โกรแบบค์ที่เริ่มโดยใช้เวกเตอร์ pMAT21	78
22 ลักษณะการพัฒนาเป็นยอดกระฉูกของ PLBs กลัวไม้ภายในหลังการถ่ายยีน pMAT21-AS-ACS หรือ pMAT21-AS-ACO	79

สารบัญภาพ (ต่อ)

ภาพที่	หน้า
23 การตรวจสอบยืนยัน AS-ACSA และยืนยัน <i>ipt</i> ในกลั่วขี้ไม้ที่ได้รับการถ่ายยืนยัน ระยะยอดกระจุกคั่วยิชี PCR โดยใช้ไพรเมอร์ 35S-SmaI และ ACS1BstEII ในการตรวจสอบยืนยัน AS-ACSA วิเคราะห์ขนาดดีเอ็นเอด้วย 0.8 % agarose gel electrophoresis (ก) และยืนยันผล PCR คั่วยิชี Southern blot hybridization ตรวจสอบยืนยัน AS-ACSA ด้วย 35S-promoter probe (ง) ไพรเมอร์ IPT1 และ IPT2 ตรวจสอบยืนยัน <i>ipt</i> (ค) และยืนยันผล PCR คั่วยิชี Southern blot hybridization ตรวจสอบยืนยัน <i>ipt</i> ด้วย <i>ipt</i> probe (จ)	81
24 การตรวจสอบยืนยัน AS-ACSB และยืนยัน <i>ipt</i> ในกลั่วขี้ไม้ที่ได้รับการถ่ายยืนยัน ระยะยอดกระจุกคั่วยิชี PCR โดยใช้ไพรเมอร์ 35S-SmaI และ ACS400BstEII ในการตรวจสอบยืนยัน AS-ACSB วิเคราะห์ขนาดดีเอ็นเอด้วย 0.8 % agarose gel electrophoresis (ก) และยืนยันผล PCR คั่วยิชี Southern blot hybridization ตรวจสอบยืนยัน AS-ACSB ด้วย 35S-promoter probe (ง) ไพรเมอร์ IPT1 และ IPT2 ตรวจสอบยืนยัน <i>ipt</i> (ค) และยืนยันผล PCR คั่วยิชี Southern blot hybridization ตรวจสอบยืนยัน <i>ipt</i> ด้วย <i>ipt</i> probe (จ)	82
25 การตรวจสอบยืนยัน AS-ACSC และยืนยัน <i>ipt</i> ในกลั่วขี้ไม้ที่ได้รับการถ่ายยืนยัน ระยะยอดกระจุกคั่วยิชี PCR โดยใช้ไพรเมอร์ 35S-SmaI และ ACS400BstEII ตรวจสอบยืนยัน AS-ACSC วิเคราะห์ขนาดดีเอ็นเอด้วย 0.8 % agarose gel electrophoresis (ก) และยืนยันผล PCR คั่วยิชี Southern blot hybridization ตรวจสอบยืนยัน AS-ACSC ด้วย 35S-promoter probe (ง) ไพรเมอร์ IPT1 และ IPT2 ตรวจสอบยืนยัน <i>ipt</i> (ค) และยืนยันผล PCR คั่วยิชี Southern blot hybridization ตรวจสอบยืนยัน <i>ipt</i> ด้วย <i>ipt</i> probe (จ)	83

สารบัญภาพ (ต่อ)

ภาพที่	หน้า
26 การตรวจสอบยืนยัน AS-ACOA และยืน <i>ipt</i> ในกลั่วycin ไม่ที่ได้รับการถ่ายยืน ระยะยอด กระจุกด้วยวิธี PCR โดยใช้ไพรเมอร์ 35S-SmaI และ ACO1R-B1 ตรวจสอบยืนยัน AS-ACOA วิเคราะห์ขนาดดีเอ็นเอด้วย 0.8 % agarose gel electrophoresis (ก) และ ยืนยันผล PCR ด้วยวิธี Southern blot hybridization ตรวจสอบยืนยัน AS-ACOA ด้วย 35S-promoter probe (ข) ไพรเมอร์ IPT1 และ IPT2 ตรวจสอบยืน <i>ipt</i> (ค) และทำ การยืนยันผล PCR ด้วยวิธี Southern blot hybridization ตรวจสอบยืนยัน <i>ipt</i> ด้วย <i>ipt</i> probe (ง)	84
27 การตรวจสอบยืนยัน AS-ACOB และยืน <i>ipt</i> ในกลั่วycin ไม่ที่ได้รับการถ่ายยืน ระยะยอด กระจุกด้วยวิธี PCR โดยใช้ไพรเมอร์ 35S-SmaI และ ACO301R-B2 ตรวจสอบยืนยัน AS-ACOB วิเคราะห์ขนาดดีเอ็นเอด้วย 0.8 % agarose gel electrophoresis (ก) และ ยืนยันผล PCR ด้วยวิธี Southern blot hybridization ตรวจสอบยืนยัน AS-ACOB ด้วย 35S-promoter probe (ข) ไพรเมอร์ IPT1 และ IPT2 ตรวจสอบยืนยัน <i>ipt</i> (ค) และ ยืนยันผล PCR ด้วยวิธี Southern blot hybridization ตรวจสอบยืนยัน <i>ipt</i> ด้วย <i>ipt</i> probe (ง)	85
28 การตรวจสอบยืนยัน AS-ACOC และยืน <i>ipt</i> ในกลั่วycin ไม่ที่ได้รับการถ่ายยืน ระยะยอด กระจุกด้วยวิธี PCR โดยใช้ไพรเมอร์ 35S-SmaI และ ACO301R-B2 ตรวจสอบยืนยัน AS-ACOC วิเคราะห์ขนาดดีเอ็นเอด้วย 0.8 % agarose gel electrophoresis (ก) และ ยืนยันผล PCR ด้วยวิธี Southern blot hybridization ตรวจสอบยืนยัน AS-ACOC ด้วย 35S-promoter probe (ข) ไพรเมอร์ IPT1 และ IPT2 ตรวจสอบยืนยัน <i>ipt</i> (ค) และ ยืนยันผล PCR ด้วยวิธี Southern blot hybridization ตรวจสอบยืนยัน <i>ipt</i> ด้วย <i>ipt</i> probe (ง)	86

สารบัญภาพ (ต่อ)

ภาพที่	หน้า
29 การตรวจสอบยืน AS-ACSA และยืน <i>ipt</i> ในกล้ามไม่ที่ได้รับการถ่ายยืน ในระยะ ยอดปกติด้วยวิธี PCR โดยใช้ไพรเมอร์ 35S-SmaI และ ACS1BstEII ในการ ตรวจสอบยืน AS-ACSA วิเคราะห์ขนาดดีเอ็นเอด้วย 0.8 % agarose gel electrophoresis (ก) และยืนยันผล PCR ด้วยวิธี Southern blot hybridization ตรวจสอบยืน AS-ACSA ด้วย 35S-promoter probe (ข) ไพรเมอร์ IPT1 และ IPT2 ในการตรวจสอบยืน <i>ipt</i> (ค) และยืนยันผล PCR ด้วยวิธี Southern blot hybridization ตรวจสอบยืน <i>ipt</i> ด้วย <i>ipt</i> probe (ง)	90
30 การตรวจสอบยืน AS-ACSB และยืน <i>ipt</i> ในกล้ามไม่ที่ได้รับการถ่ายยืน ระยะยอด ปกติด้วยวิธี PCR โดยใช้ไพรเมอร์ 35S-SmaI และ ACS400BstEII ในการ ตรวจสอบยืน AS-ACSB วิเคราะห์ขนาดดีเอ็นเอด้วย 0.8 % agarose gel electrophoresis (ก) และยืนยันผล PCR ด้วยวิธี Southern blot hybridization ตรวจสอบยืน AS-ACSB ด้วย 35S-promoter probe (ข) ไพรเมอร์ IPT1 และ IPT2 ในการตรวจสอบยืน <i>ipt</i> (ค) และยืนยันผล PCR ด้วยวิธี Southern blot hybridization ตรวจสอบยืน <i>ipt</i> ด้วย <i>ipt</i> probe (ง)	91
31 การตรวจสอบยืน AS-ACSC และยืน <i>ipt</i> ในกล้ามไม่ที่ได้รับการถ่ายยืน ระยะยอด ปกติ ด้วยวิธี PCR โดยใช้ไพรเมอร์ 35S-SmaI และ ACS400BstEII ในการ ตรวจสอบยืน AS-ACSC วิเคราะห์ขนาดดีเอ็นเอด้วย 0.8 % agarose gel electrophoresis (ก) และยืนยันผล PCR ด้วยวิธี Southern blot hybridization ตรวจสอบยืน AS-ACSC ด้วย 35S-promoter probe (ข) ไพรเมอร์ IPT1 และ IPT2 ในการตรวจสอบยืน <i>ipt</i> (ค) และยืนยันผล PCR ด้วยวิธี Southern blot hybridization ตรวจสอบยืน <i>ipt</i> ด้วย <i>ipt</i> probe (ง)	92

สารบัญภาพ (ต่อ)

ภาพที่	หน้า
32 การตรวจสอบยืนยัน AS-ACOA และยืนยัน <i>ipt</i> ในกลั่ว yay ไม่ที่ได้รับการถ่ายยืนยัน ระยะยอดปกติด้วยวิธี PCR โดยใช้ไพรเมอร์ 35S-SmaI และ ACO1R-B1 ในการตรวจสอบยืนยัน AS-ACOA วิเคราะห์ขนาดดีเอ็นเอด้วย 0.8 % agarose gel electrophoresis (ก) และยืนยันผล PCR ด้วยวิธี Southern blot hybridization ตรวจสอบยืนยัน AS-ACOA ด้วย 35S-promoter probe (ข) ไพรเมอร์ IPT1 และ IPT2 ในการตรวจสอบยืนยัน <i>ipt</i> (ค) และยืนยันผล PCR ด้วยวิธี Southern blot hybridization ตรวจสอบยืนยัน <i>ipt</i> ด้วย <i>ipt</i> probe (ง) 93	
33 การตรวจสอบยืนยัน AS-ACOB และยืนยัน <i>ipt</i> ในกลั่ว yay ไม่ที่ได้รับการถ่ายยืนยัน ระยะยอดปกติวิธี PCR โดยใช้ไพรเมอร์ 35S-SmaI และ ACO301R-B2 ในการตรวจสอบยืนยัน AS-ACOB วิเคราะห์ขนาดดีเอ็นเอด้วย 0.8 % agarose gel electrophoresis (ก) และยืนยันผล PCR ด้วยวิธี Southern blot hybridization ตรวจสอบยืนยัน AS-ACOB ด้วย 35S-promoter probe (ข) ไพรเมอร์ IPT1 และ IPT2 ในการตรวจสอบยืนยัน <i>ipt</i> (ค) และยืนยันผล PCR ด้วยวิธี Southern blot hybridization ตรวจสอบยืนยัน <i>ipt</i> ด้วย <i>ipt</i> probe (ง) 94	
34 การตรวจสอบยืนยัน AS-ACOC และยืนยัน <i>ipt</i> ในกลั่ว yay ไม่ที่ได้รับการถ่ายยืนยัน ระยะยอดปกติด้วยวิธี PCR โดยใช้ไพรเมอร์ 35S-SmaI และ ACO301R-B2 ในการตรวจสอบยืนยัน AS-ACOC วิเคราะห์ขนาดดีเอ็นเอด้วย 0.8 % agarose gel electrophoresis (ก) และยืนยันผล PCR ด้วยวิธี Southern blot hybridization ตรวจสอบยืนยัน AS-ACOC ด้วย 35S-promoter probe (ข) ไพรเมอร์ IPT1 และ IPT2 ในการตรวจสอบยืนยัน <i>ipt</i> (ค) และยืนยันผล PCR ด้วยวิธี Southern blot hybridization ตรวจสอบยืนยัน <i>ipt</i> ด้วย <i>ipt</i> probe (ง) 95	

สารบัญภาพ (ต่อ)

ภาพที่	หน้า
35 การตรวจสอบจำนวนชุดของยีน AS-ACSB และ <i>ipt</i> ในกล้ายไม้ดัดแปลงพันธุกรรมที่ได้รับการถ่ายยีนด้วยชุดยีน pMAT21-AS-ACSB ย่อยดีเอ็นเอด้วยเอนไซม์ตัดจำเพาะ <i>Bg</i> III (ก) และตรวจวิเคราะห์จำนวนชุดของยีน AS-ACSB และ <i>ipt</i> ด้วยวิธี Southern blot hybridization ทำปฏิกิริยาไฮบริดิไซซ์ชั้นกับ 35S-promoter probe (吁) และ <i>ipt</i> probe (ค) ตามลำดับ และตรวจสอบด้วยวิธี chemiluminescence detection	98
36 การตรวจสอบจำนวนชุดของยีน AS-ACSB และ <i>ipt</i> ในกล้ายไม้ดัดแปลงพันธุกรรมที่ได้รับการถ่ายยีนด้วยชุดยีน pMAT21-AS-ACSB ย่อยดีเอ็นเอด้วยเอนไซม์ตัดจำเพาะ <i>Hind</i> III (ก) และตรวจวิเคราะห์จำนวนชุดของยีน AS-ACSB และ <i>ipt</i> ด้วยวิธี Southern blot hybridization ทำปฏิกิริยาไฮบริดิไซซ์ชั้นกับ 35S-promoter probe (吁) และ <i>ipt</i> probe (ค) ตามลำดับ และตรวจสอบด้วยวิธี chemiluminescence detection	99
37 การตรวจสอบจำนวนชุดของยีน AS-ACOA และ <i>ipt</i> ในกล้ายไม้ดัดแปลงพันธุกรรมที่ได้รับการถ่ายยีนด้วยชุดยีน pMAT21-AS-ACOA ย่อยดีเอ็นเอด้วยเอนไซม์จำเพาะ <i>Hind</i> III (ก) และตรวจวิเคราะห์จำนวนชุดของยีน AS-ACOA และ <i>ipt</i> ด้วยวิธี Southern blot hybridization ทำปฏิกิริยาไฮบริดิไซซ์ชั้นกับ 35S-promoter probe (吁) และ <i>ipt</i> probe (ค) ตามลำดับ และตรวจสอบด้วยวิธี chemiluminescence detection	101
38 การตรวจสอบจำนวนชุดของยีน AS-ACOA และ <i>ipt</i> ในกล้ายไม้ดัดแปลงพันธุกรรมที่ได้รับการถ่ายยีนด้วยชุดยีน pMAT21-AS-ACOA ย่อยดีเอ็นเอด้วยเอนไซม์ <i>Bg</i> III (ก) และตรวจวิเคราะห์จำนวนชุดของยีน AS-ACOA และ <i>ipt</i> ด้วยวิธี Southern blot hybridization ทำปฏิกิริยาไฮบริดิไซซ์ชั้นกับ 35S-promoter probe (吁) และ <i>ipt</i> probe (ค) ตามลำดับ และตรวจสอบด้วยวิธี chemiluminescence detection	103

สารบัญภาค (ต่อ)

ภาคที่	หน้า
39 การตรวจสอบจำนวนชุดของยีน AS-ACOB และ <i>ipt</i> ในกล้ายไม้ดัดแปลงพันธุกรรมที่ได้รับการถ่ายยีนด้วยชุดยีน pMAT21-AS-ACOB ย่องคีอีนເອດ้วยเอนไซม์จำเพาะ <i>Bg</i> II (ก) และตรวจวิเคราะห์จำนวนชุดของยีน AS-ACOB และ <i>ipt</i> ด้วยวิธี Southern blot hybridization ทำปฏิกิริยาไ xenon ไดเชชั่นกับ 35S-promoter probe (ข) และ <i>ipt</i> probe (ค) ตามลำดับ และตรวจสอบด้วยวิธี chemiluminescence detection	104
40 การตรวจสอบการแสดงออกของยีน sense ACS และ AS-ACSB ในต้นกล้ายไม้ดัดแปลงพันธุกรรมที่ได้รับการถ่ายยีนด้วยชุดยีน pMAT21-AS-ACSB ด้วยเทคนิค RT-PCR โดยใช้ไฟรเมอร์ S-ACSBC1F2 และ S-ACSBC215R2 สำหรับยีน sense ACS (ก) และยีนยันผล PCR ด้วยวิธี Southern blot hybridization ตรวจสอบยีน sense ACS ด้วย sense ACS probe (ข) ใช้ไฟรเมอร์ AS-ACS400R-BstEII และ AS-ACS900F-SpeI สำหรับตรวจสอบยีน AS-ACSB (ค) และยีนยันผล PCR ด้วยวิธี Southern blot hybridization ตรวจสอบยีน AS-ACSB ด้วย AS-ACSB probe (ง)	107
41 การตรวจสอบการแสดงออกของยีน sense ACO และ AS-ACOA ในต้นกล้ายไม้ดัดแปลงพันธุกรรมที่ได้รับการถ่ายยีนด้วยชุดยีน pMAT21-AS-ACOA ด้วยเทคนิค RT-PCR โดยใช้ไฟรเมอร์ S-ACOA745F1 กับ S-ACOA945R1 สำหรับยีน sense ACO (ก) และยีนยันผล PCR ด้วยวิธี Southern blot hybridization ตรวจสอบยีน sense ACO ด้วย sense ACO probe (ข) ใช้ไฟรเมอร์ AS-ACO301R-B2 และ AS-ACO635F-S1 สำหรับตรวจสอบยีน AS-ACOA (ค) และยีนยันผล PCR ด้วยวิธี Southern blot hybridization ตรวจสอบยีน AS-ACOA ด้วย AS-ACOA probe (ง)	108

สารบัญภาพ (ต่อ)

ภาพที่	หน้า
42 การตรวจสอบการแสดงออกของยีน sense <i>ACO</i> และ AS- <i>ACOB</i> ในต้นกล้วยไม้ดัดแปลงพันธุกรรมที่ได้รับการถ่ายยีนด้วยชุดยีน pMAT21-AS- <i>ACOB</i> ด้วยเทคนิค RT-PCR โดยใช้ไพรเมอร์ S-ACOBC1F2 กับ S-ACOBC200R2 สำหรับยีน sense <i>ACO</i> (ก) และยีนยัณผล PCR ด้วยวิธี Southern blot hybridization ตรวจสอบยีน sense <i>ACO</i> ด้วย sense <i>ACO</i> probe (ข) ใช้ไพรเมอร์ AS-ACO301R-B2 และ AS-ACO635F-S1 สำหรับตรวจสอบยีน AS- <i>ACOB</i> (ค) และยีนยัณผล PCR ด้วยวิธี Southern blot hybridization ตรวจสอบยีน AS- <i>ACOB</i> ด้วย AS- <i>ACOB</i> probe (ง)	109
43 การตรวจสอบการแสดงออกของยีน sense <i>ACS</i> (ก) ยีน AS- <i>ACSB</i> (ข) ยีน 18s rRNA (ค) ในต้นกล้วยไม้ดัดแปลงพันธุกรรมที่ได้รับการถ่ายยีนด้วยชุดยีน pMAT21-AS- <i>ACOA</i> โดยใช้เทคนิค northern blot hybridization ตรวจสอบด้วย AS- <i>ACS</i> RNA probe, sense <i>ACS</i> RNA probe และ 18s rRNA probe ตามลำดับ	112
44 การตรวจสอบการแสดงออกของยีน sense <i>ACO</i> (ก) ยีน AS- <i>ACOA</i> และ AS- <i>ACOB</i> (ข) ยีน 18s rRNA (ค) ในต้นกล้วยไม้ดัดแปลงพันธุกรรมที่ได้รับการถ่ายยีนด้วยชุดยีน pMAT21-AS- <i>ACOA</i> และ pMAT21-AS- <i>ACOB</i> โดยใช้เทคนิค northern blot hybridization ตรวจสอบด้วย AS- <i>ACO</i> RNA probe, sense <i>ACO</i> RNA probe และ 18s rRNA probe ตามลำดับ	113

ការងារប្រចាំឆ្នាំ

AS	=	antisense
bp	=	base pair
CaMV-35S promoter	=	35S promoter from <i>Cauliflower mosaic virus</i>
CIAP	=	calf intestinal alkaline phosphatase
dNTPs	=	deoxynucleoside triphosphate
<i>gus</i> gene	=	β -glucuronidase gene
<i>hpt</i>	=	hygromycin phosphotransferase
Hm	=	hygromycin
<i>ipt</i> gene	=	isopentenyl transferase gene
KPa	=	kilopascal
KV	=	kilovolt
<i>lac Z</i> gene	=	β -galactosidase gene
LB	=	left border
<i>Luc</i> gene	=	firefly luciferase gene
MATVS	=	Multi-Auto-Transformation Vector System
μ F	=	microfarad
μ g	=	microgram
μ l	=	microlitre
μ M	=	micromolar
M	=	molar
mM	=	millimolar
msec	=	millisecond
MCS	=	multi-cloning site
NAA	=	naphthalene acetic acid
NDM	=	New Dogashima Medium
Nos-terminator	=	nopaline synthase terminator
OD ₆₀₀	=	optical density at six hundred nanometer
<i>Pat</i>	=	phosphinothricin acetyltransferase
PCI	=	phenol: chloroform: isoamyl alcohol

คำอธิบายสัญลักษณ์และคำย่อ (ต่อ)

PCR	=	polymerase chain reaction
PLBs	=	protocorm-like bodies
PPT	=	phosphinothricin
R_{int}	=	recombinase gene with intron sequences from <i>Eucalyptus</i> histone gene
RS	=	recognition site
RB gene	=	right border
VW medium	=	Vacin & Went medium
X-gluc	=	5-bromo-4-chloro-3-indolyl- β -D-glucuronic acid

การถ่ายยีนที่เกี่ยวข้องกับการสร้างเอทิลีนเข้าสู่กลไกไม้สกุลหวายพันธุ์ปอมปาดัวร์โดยใช้เวกเตอร์ pMAT21

Transformation of Ethylene-Related Genes into *Dendrobium ‘Pompadour’* Using pMAT21 Vector

คำนำ

กลไกไม้เป็นหนึ่งในสินค้าเกษตรที่มูลค่าการส่งออกไปยังตลาดต่างประเทศสูง โดยในปี พ.ศ.2552 มีมูลค่าประมาณ 2,400 ล้านบาท กลไกไม้ที่นิยมปลูกเพื่อตัดดอกในปัจจุบัน ส่วนใหญ่ เป็นกลไกไม้สกุลหวาย ประมาณร้อยละ 80 ของผลผลิตทั้งหมด ปัจจุบันกำลังอยู่ในการพัฒนา และส่งออกกลไกไม้ คือ การร่วงโรยของดอกซึ่งทำให้สูญเสียมูลค่าของดอกกลไกไม้ การแก้ปัญหา ดังกล่าวทำได้หลายวิธี แต่วิธีที่นิยมได้แก่ การใช้สารละลาย silver thiosulfate และสาร 1-methylcyclopropane (1-MCP) ถึงแม้สารทั้งสองชนิดจะใช้ได้ผลดี แต่ก็มีข้อด้อยและวิธีการใช้ที่ ยุ่งยาก นอกจากนี้สารเงิน (silver) ที่ตกค้างก็เป็นอันตรายต่อสุขภาพ ดังนั้นการพัฒนาพันธุ์กลไกไม้ ให้มีอายุการปักแจกวันนานขึ้น โดยใช้เทคนิคทางพันธุ์วิศวกรรม ก็อาจเป็นอีกทางเลือกหนึ่งในการ ช่วยลดปัญหาและความเสียหายต่อดอกกลไกไม้ที่ส่งออกไปยังตลาดต่างประเทศ เป็นการเพิ่มมูลค่า ให้กับอุตสาหกรรมการส่งออกกลไกไม้ตัดดอกของไทย

ในพืชชั้นสูงเอทิลีนเกิดจากกระบวนการ biosynthetic pathway โดยเริ่มต้นจากการที่เมือง ไอโอนีน (methionine) ถูกเปลี่ยนเป็น S-adenosyl methionine (SAM) ด้วยเอนไซม์ S-adenosyl transferase และ SAM เปลี่ยนเป็น 1-aminocyclopropane-1-carboxylic acid (ACC) ด้วยเอนไซม์ ACC synthase จากนั้นเอนไซม์ ACC oxidase จะเปลี่ยน ACC เป็นเอทิลีนในสภาพที่มีออกซิเจน (Yang and Hoffman, 1984)

ในกระบวนการสร้างเอทิลีนของพืชชั้นสูง เอนไซม์ ACC synthase และ ACC oxidase เป็น เอนไซม์สำคัญที่ควบคุมการสร้างเอทิลีน (rate-limiting step) นอกจากนี้เอทิลีนยังมีส่วนที่เกี่ยวข้อง กับกระบวนการร่วงโรย (senescence) ในส่วนต่าง ๆ ของพืช เช่น ผล ใบ และดอก การยับยั้ง กระบวนการสร้างเอทิลีน สามารถชะลอการเกิดการร่วงโรย (senescence) ได้แสดงว่าเอทิลีนเป็น ตัวสั่งสัญญาณที่สำคัญในกระบวนการเสื่อมสภาพ (senescence) ในพืช (Yang and Hoffman, 1984)

ยืนที่ควบคุมการสร้างอีโนทีลีนในดอกไม้คือ *ACC synthase* และ *ACC oxidase* ในขณะที่ดอกไม้ยังไม่ร่วงโรย กิจกรรมของเอนไซม์ *ACC synthase* และ *ACC oxidase* มีอยู่น้อยมาก เมื่อดอกไม้เริ่มร่วงโรย กิจกรรมของเอนไซม์ทั้งสองชนิดนี้จะมีเพิ่มมากขึ้น (สายชล และคณะ, 2540) และปัญหาสำคัญของผู้ส่งออกดอกล้วยไม้ของประเทศไทยมีอยู่ 2 ประการคือ ดอกกล้วยไม้เหี้ยวซึ่งเกิดกับดอกบัวอย่างทั้งดอกตูมและดอกบาน (สายชล, 2530) และดอกกล้วยไม้ของไทยมีอายุการปักเจกันค่อนข้างสั้น (Ketsa, 1995)

ดังนั้นจึงมีการนำเทคโนโลยีที่เรียกว่า antisense RNA technology มาใช้เพื่อยับยั้งการแสดงออกของยีน *ACC synthase (ACS)* และยีน *ACC oxidase (ACO)* ซึ่งเกี่ยวข้องกับการร่วงโรยของดอกกล้วยไม้ โดยทำการศึกษาข้อมูลดังกล่าวและนำมาสร้างชุดยีนที่จะทำให้เกิดการสร้าง antisense RNA ต่อยีนทั้งสอง จากนั้นทำการถ่ายชุดยีนที่ได้เข้าสู่เนื้อเยื่อกล้วยไม้สกุลหวานพันธุ์ปอมปาดัวร์ เพราะเป็นกล้วยไม้ที่มีอายุในการปักเจกันที่สั้นประมาณ 7-10 วัน จึงเลือกใช้กล้วยไม้พันธุ์ปอมปาดัวร์เป็นต้นแบบในการถ่ายยีน เพื่อยืดอายุในการปักเจกันให้ยาวนานขึ้น

โดยทั่วไปในการถ่ายยีนเข้าสู่พืชใช้ยีนที่ต้านทานต่อสารปฏิชีวนะ (antibiotic resistant gene) หรือยีนที่ต้านทานสารกำจัดวัชพืช (herbicide resistant gene) เป็นยีนคัดเลือก (Permingeat *et al.*, 2003) แต่การคัดเลือกโดยวิธีนี้ก็มีข้อเสียอยู่บ้าง เช่น สารคัดเลือก (selective agents) บางชนิดจะไปลดความสามารถในการขยายขนาดของเซลล์ และการเจริญไปเป็นต้นที่สมบูรณ์ของพืช (Weising *et al.*, 1988; Zuo *et al.*, 2002) และความวิตกกังวลในด้านความปลอดภัยต่อผู้บริโภค การใช้ยีนคัดเลือกที่ต้านทานต่อสารปฏิชีวนะต่าง ๆ ซึ่งอาจก่อให้เกิดการสร้างสายพันธุ์ใหม่ของแบบพืชที่เรียกว่า "ต้านทานต่อสารปฏิชีวนะต่าง ๆ" ซึ่งอาจก่อให้เกิดการสร้างสายพันธุ์ใหม่ของพืชคัดแปลงพันธุกรรม จึงเป็นทางเลือกที่ช่วยลดความวิตกกังวลเกี่ยวกับความปลอดภัยทางชีวภาพของพืชคัดแปลงพันธุกรรม ซึ่งได้มีการพัฒนาระบบที่เรียกว่า MAT (Multi-Auto-Transformation) vector system มาใช้ในการถ่ายยีน เพื่อสร้างพืชคัดแปลงพันธุกรรมที่ปราศจากยีนคัดเลือก (marker-free transgenic plant) (Dale and Ow, 1991; Yoder and Goldsbrough, 1994; Ebinuma *et al.*, 2001; Hohn *et al.*, 2001)

ในการศึกษาครั้งนี้จะใช้วิแกกเตอร์ pMAT21 ในการถ่ายยีน antisense *ACC synthase* (AS-*ACS*) และยีน antisense *ACC oxidase* (AS-*ACO*) เข้าสู่กล้ามไม้สักกล่าวที่ไม่สกูตหมายพันธุ์ปอมปาดัวร์ เพื่อให้ได้กล้ามไม้สักกล่าวที่มียีนที่ต้องการและปราศจากยีนคัดเลือก

วัตถุประสงค์

1. ศึกษาปัจจัยต่าง ๆ ที่มีผลต่อการถ่ายยีนเข้าสู่กลัวยไม้สกุลหวายพันธุ์ปอมปาดัวร์ โดยการใช้ซอฟต์แวร์ที่บรรจุไวรัสโคตร์ pMAT21 เพื่อใช้ในการถ่ายยีนเป้าหมายเข้าสู่กลัวยไม้สกุลหวายพันธุ์ปอมปาดัวร์ โดยใช้ไวรัสโคตร์ pMAT21 เพื่อสร้าง antisense RNA เข้าสู่กลัวยไม้สกุลหวายพันธุ์ปอมปาดัวร์ โดยใช้ไวรัสโคตร์ pMAT21 เพื่อสร้างกลัวยไม้ดัดแปลงพันธุกรรมที่มียีนเป้าหมายและปราศจากยีนคัดเลือก
2. ถ่ายยีน ACS และ ACO ที่อยู่ในลักษณะที่สร้าง antisense RNA เข้าสู่กลัวยไม้สกุลหวายพันธุ์ปอมปาดัวร์ โดยใช้ไวรัสโคตร์ pMAT21 เพื่อสร้างกลัวยไม้ดัดแปลงพันธุกรรมที่มียีนเป้าหมายและปราศจากยีนคัดเลือก

การตรวจเอกสาร

1. ความสำคัญของกล้วยไม้ในเชิงเศรษฐกิจ

กล้วยไม้เป็นพืชใบเดี่ยวอยู่ในวงศ์ Orchidaceae ซึ่งมีหลายร้อยสกุล ประเทศไทย
นับเป็นแหล่งกำเนิดกล้วยไม้จำนวนมากถึง 1,100 ชนิด ใน 150 สกุล กล้วยไม้แบ่งตามลักษณะการ
เจริญเติบโตได้ 2 ประเภท คือ ประเภทที่เจริญเติบโตไปทางยอด ได้แก่ สกุลวนด้า อะแรนด้าและ
มีอคคาร่า อีกประเภทหนึ่งเจริญแบบแตกกอหรือเหง้า ได้แก่ สกุลหวาย และอนซิเดียม โดยปกติ
กล้วยไม้เป็นพืชที่ต้องการสภาพแวดล้อมที่ดีในการเจริญเติบโต เช่น น้ำที่สะอาด ความเป็นกรด-
ด่าง ประมาณ 5.2-6.2 แสงแดด 40-60% อุณหภูมิ 25-32 องศาเซลเซียส และความชื้นสัมพัทธ์ 50-
60% (สำนักวิจัยพัฒนาการอารักษาพืช, 2548)

แหล่งกำเนิดกล้วยไม้ป่าที่สำคัญของโลกมี 2 แหล่งใหญ่ ๆ คือ ลาตินอเมริกา และเอเชีย
แปซิฟิก สำหรับในลาตินอเมริกาเป็นอาณาบริเวณอเมริกากลางติดต่อกับเขตเหนือของอเมริกาใต้
ส่วนแหล่งกำเนิดกล้วยไม้ป่าในภูมิภาคเอเชียและแปซิฟิก มีประเทศไทยเป็นศูนย์กลาง มีพันธุ์
กล้วยไม้ป่าเป็นจำนวนมาก แสดงให้เห็นว่าประเทศไทยมีสภาพแวดล้อมเอื้ออำนวยต่อการเจริญ
ของกล้วยไม้ (อบพันท์, 2543)

กล้วยไม้เป็นไม้ตัดออกที่สำคัญของไทย เนื่องจากมีความหลากหลายด้านสี กลิ่น ขนาด
และรูปทรง ทำให้แนวโน้มการส่งออกกล้วยไม้เติบโตต่อเนื่อง มีความต้องการที่ยังคงเพิ่มขึ้นใน
ตลาดโลก ไทยเป็นประเทศส่งออกกล้วยไม้ตัดออกอันดับ 1 ของโลก มูลค่าส่งออกปี พ.ศ. 2551
ยังคงขยายต่อเนื่องจากปี พ.ศ. 2550 และปี พ.ศ. 2551 นำรายได้เข้าประเทศไทยไม่ต่ำกว่า 2,400-2,600
ล้านบาท เพิ่มจากปี พ.ศ. 2549-2550 ประมาณ 10-20% (สำนักงานเศรษฐกิจการเกษตร โดยความ
ร่วมมือของกรมศุลกากร, 2552) เนื่องมาจากการขยายตัวการส่งออกของตลาดหลัก โดยเฉพาะญี่ปุ่น
สหราชอาณาจักร และสหภาพยุโรป รวมทั้งการขยายตัวตลาดใหม่ ๆ โดยเฉพาะจีน พันธุ์ที่นิยมปลูกตัด
ออกมากที่สุดคือ กล้วยไม้หวายลูกผสม ซึ่งมีดอกสีขาว ม่วงเข้ม เช่น *Dendrobium Walter Oumae*,
D. Sonia Bom#17, *D. Sonia Bom#18*, *D. Sonia Bom#28* (จิตราพรรณ, 2537) และกล้วยไม้หวาย
พันธุ์ปอมปาดอร์ (*D. Pompadour*) ซึ่งเป็นกล้วยไม้หวายลูกผสมที่มีความสำคัญทางการค้าซึ่งเป็น^{ลูกผสมระหว่าง *D. Louis Bleriot* กับ *D. Phalaenopsis* (The Royal Horticultural Society, 1972)}

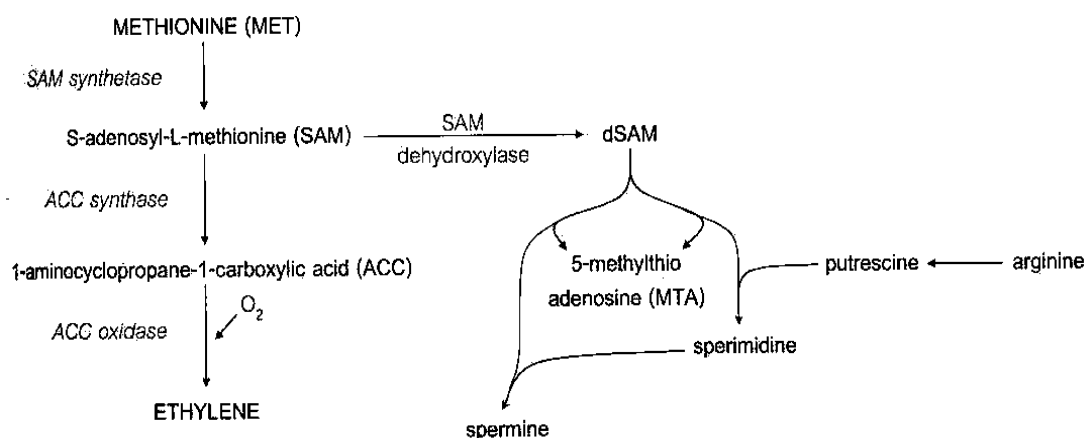
กล่าวไปไม่เป็นพิชเศรษฐกิจที่สำคัญของประเทศไทย กระทรวงเกษตรและสหกรณ์ได้กำหนดให้กล่าวไปเป็น 1 ใน 4 ของพิชเศรษฐกิจ เนื่องจากความนิยมใช้ในประเทศสูง และปริมาณการส่งออกมีจำนวนถึง 24,567 ตัน (สำนักงานเศรษฐกิจการเกษตร โดยความร่วมมือของกรมศุลกากร, 2552) ประเทศไทยส่งออกกล่าวไปสู่ตลาดโลก โดยมีทั้งไม้ตัดคอกและไม้กระถาง การค้ากล่าวไปไม่เติบโตมากทั้งปริมาณและมูลค่า โดยมีพื้นที่ปลูกกล่าวไปประมาณ 20,700 ไร่ (สำนักงานเศรษฐกิจการเกษตร โดยความร่วมมือของกรมศุลกากร, 2552) ส่วนใหญ่อยู่ในกรุงเทพฯ และจังหวัดใกล้เคียง ได้แก่ นครปฐม สมุทรสาคร ราชบุรี ปทุมธานี และพระนครศรีอยุธยา เนื่องจากสภาพภูมิอากาศเหมาะสมกับการเจริญเติบโตของกล่าวไป ใกล้แหล่งน้ำ ตลาด และการคมนาคมขนส่งสะดวก พื้นที่ปลูกกล่าวไปมีแนวโน้มจะขยายกรุงเทพฯ ไปจังหวัดใกล้เคียงมากขึ้น เนื่องจากที่ดินราคาสูง และประสบปัญหาผลกระทบภาวะน้ำและอากาศ ซึ่งมีผลต่อการเจริญเติบโต และคุณภาพกล่าวไป (บรรชิต, 2547)

ปริมาณและมูลค่าการส่งออกดอกล้วยไม้ของไทยเพิ่มขึ้นทุก ๆ ปี แต่ราคาน้ำดื่มต่อชุดของกลับลดลงตลอด สาเหตุหนึ่งมาจากการคุณภาพของดอกล้วยไม้ซึ่งเป็นปัญหาสำคัญในการส่งออก โดยผู้นำเข้าดอกล้วยไม้ของไทยจะร้องเรียนปัญหา 2 ประการคือ ดอกล้วยไม้เที่ยงและดอกยี่อ่ยร่วง โดยซึ่งมีทั้งดอกตูมและดอกบาน (สายชล, 2530) นอกจากนี้ยังพบว่าดอกล้วยไม้ของประเทศไทย มีอายุการปักแจกันค่อนข้างสั้น (Ketsa, 1995) โดยระหว่างที่มีการร่วง โรยมีการสร้างเอทิลีนเพิ่มมากขึ้นและเอทิลีนเป็นตัวการสำคัญทำให้ดอกไม้เหล่านี้มีอายุการปักแจกันสั้นลงกว่าปกติและร่วง โรยหมาดอย่างรุนแรง (Borochov and Woodson, 1989)

2. ເອທີລືນ (Ethylene)

เออทิลีนเป็นไฮdrocarbon มีสูตรทางเคมีคือ $\text{CH}_2 = \text{CH}_2$ ติดไฟและเกิดการระเบิดได้ในช่วงความเข้มข้น 3.2 – 32% สามารถแพร่กระจายไปยังส่วนต่าง ๆ ของพืชได้ง่าย ทำให้มีอิทธิพลต่อการเจริญเติบโตของพืช โดยทั่วไปเออทิลีนจะไปเร่งอัตราการเสื่อมสภาพของพืชหรือส่วนของพืชพืชและจุลินทรีย์หลายชนิดสามารถผลิตก๊าซเออทิลีนได้ (Van et al., 1995) การสังเคราะห์เออทิลีนภายในพืช โดยเริ่มจากเออทิลีนสร้างขึ้นจากการดัดแปลงเมทไธโอนีน (methionine) ผ่าน S-adenosyl-L-methionine (AdoMet หรือ SAM) และกรดอะมิโนวงแหวนที่ไม่ได้เป็นส่วนประกอบของโปรตีน 1-aminocyclopropane-1-carboxylic acid (ACC) (ภาพที่ 1) และเอนไซม์ที่เกี่ยวข้องกับปฏิกิริยาการสังเคราะห์เออทิลีน ได้แก่ SAM synthase, ACC synthase และ ACC oxidase เอนไซม์ ACC synthase

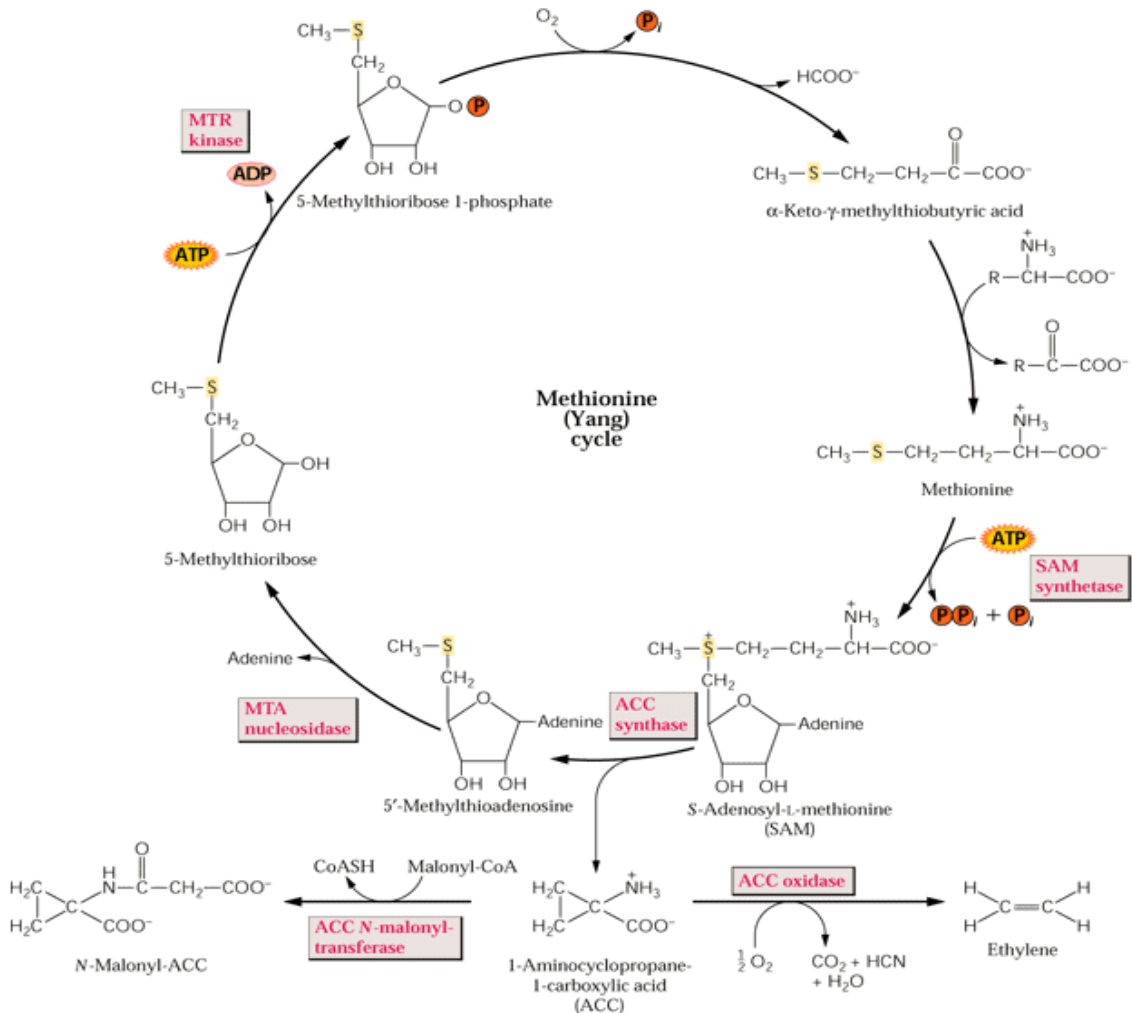
ซึ่งอยู่ภายในไซโตพลาซึม ทำหน้าที่สร้าง ACC และสร้าง 5-methylthioadenosine ซึ่งนำไปใช้สร้างเมทไธโอนีนขึ้นมาใหม่ผ่าน methionine cycle หรือที่เรียกว่า วัฏจักร Yang ตามชื่อผู้ค้นพบ วิธีการสร้างเอทิลีน (ภาพที่ 2) ในวัฏจักร Yang นี้ จะเห็นว่าได้คาร์บอนของน้ำตาลไร โรบส (ribose) จะถูกเปลี่ยนไปเป็นคาร์บอนหลักของเมทไธโอนีนซึ่งถูกใช้ไปในการสร้างเอทิลีน ดังนั้นการบันออกตุณของไมเดกุลของเอทิลีนที่ถูกสร้างขึ้นที่จริงแล้วได้มาจาก adenosine ซึ่งมาจากการบันออกตุณของ methylthio นั้น จะถูกนำกลับไปใช้ในการสร้างเมทไธโอนีนอยู่เรื่อยๆ ดังนั้นพืชจึงสามารถผลิตเอทิลีนได้ในปริมาณมาก ถึงแม้ว่าจะมีปริมาณกรดอะมิโนเมทไธโอนีนเพียงเล็กน้อย (Crozier *et al.*, 2000)



ภาพที่ 1 ขั้นตอนการสังเคราะห์เอทิลีนในพืช

ที่มา: Crozier *et al.* (2000)

สำหรับ ACC oxidase นั้น พบร่วมกับไนโตรที่เกี่ยวข้องกับเยื่อหุ้มเซลล์และมีข้อมูลสนับสนุนว่าอยู่บนผิวด้านนอกของเยื่อหุ้มเซลล์ นอกจากทำหน้าที่สร้างเอทิลีนแล้วยังปลดปล่อยการบันออกไซด์ (CO_2) น้ำ (H_2O) และไฮโดรเจนไนเต้ยาไนซ์ (HCN) ออกมายโดยที่เอทิลีนได้มาจากคาร์บอนตำแหน่งที่ 3 และ 4 ของเมทไธโอนีน ในขณะที่ HCN ได้จากคาร์บอนตำแหน่งที่ 2 ส่วน CO_2 ได้จาก carboxyl group โดย HCN ที่เกิดขึ้นรวมตัวกับ cysteine เปลี่ยนไปเป็น β -cyanoalanine และเปลี่ยนเป็นแอสฟาราจีน (asparagines) หรือ glutamyl- β -cyanoalanine ทำให้ไม่เกิดการสะสม HCN จนเกิดเป็นพิษต่อพืช (Crozier *et al.*, 2000)



ภาพที่ 2 วัฏจักรเมทไทดีโนนของ Yang ที่เกี่ยวข้องกับการสังเคราะห์เอทิลีน

ที่มา: Crozier *et al.* (2000)

นอกจาก ACC จะถูกเปลี่ยนไปเป็นเอทิลีนได้แล้วยังถูกเปลี่ยนไปเป็น 1-(malonylamino) cyclopropane-1-carboxylic acid (MACC) ซึ่งไม่สามารถเปลี่ยนกลับไปเป็น ACC ได้ แต่มีรายงานว่าในกรณีที่มีความเข้มข้นของ MACC สูง ๆ อาจจะกระตุ้นให้เกิดการเปลี่ยนแปลง MACC กลับไปเป็น ACC และมีรายงานว่า MACC สามารถกระตุ้นให้เกิดการสร้าง ACC ให้มีมากขึ้นได้ในดอกكار์เนชัน แต่ไม่ใช่การเปลี่ยนจาก MACC เป็นเอทิลีน การสร้าง MACC ขึ้นนี้จะเป็นกลไกหนึ่งในการควบคุมระดับของ ACC และปริมาณการสร้างเอทิลีน (ภาพที่ 2) (Crozier *et al.*, 2000) ในกระบวนการสร้างเอทิลีนของพืชชั้นสูง เอนไซม์ ACC synthase และเอนไซม์ ACC oxidase เป็นเอนไซม์สำคัญที่ควบคุมการสร้างเอทิลีน โดยเอทิลีนมีส่วนเกี่ยวข้องกับการเกิดการเสื่อมสภาพ (senescence) ในส่วนต่าง ๆ ของพืช เช่น ผล ใบและดอก การขับยิ่งกระบวนการสร้างเอทิลีน

สามารถช่วยลดการเสื่อมสภาพ (senescence) ได้ และคงว่าเออทิลีนเป็นตัวส่งสัญญาณที่สำคัญในกระบวนการเสื่อมสภาพในพืช (Yang and Hoffman, 1984)

ดอกไม้มีลักษณะการหายใจคล้ายผลไม้ ก拉丁คือ มีทั้งการหายใจแบบ climacteric ซึ่งเริ่มจากการหายใจในระดับต่ำและค่อยๆ เพิ่มสูงขึ้นเรื่อยๆ แล้วการหายใจจะค่อยๆ ลดลงพร้อมๆ กับการเสื่อมของดอก เช่น ในดอกเบญจมาศ มะลิลา คาร์เนชัน รากเร่ และ daylily และแบบ non-climacteric ซึ่งการหายใจลดลงโดยตลอด เช่น ดอกไออริส และ narcissus การเพิ่มขึ้นแล้วลดลงของอัตราการหายใจในดอกไม้ส่วนใหญ่จะพบในดอกไม้ที่กระบวนการร่วงโรยของดอกไม้ (senescence) อยู่ภายใต้การควบคุมของเออทิลีน ส่วนดอกไม้ซึ่งกระบวนการร่วงโรยไม่ได้ถูกควบคุมโดยเออทิลีนจะมีการหายใจลดลงโดยตลอด หรือถ้ามีการหายใจเพิ่มขึ้นก็เพิ่มขึ้นเพียงเล็กน้อย การเพิ่มขึ้นของการหายใจในดอกไม้ประเภท climacteric อาจเกิดขึ้นเนื่องจากกระบวนการตอบสนองต่อการผลิตเออทิลีน (จริงแท้, 2550)

2.1 ความเสียหายของดอกไม้เนื่องจากเออทิลีน

เออทิลีนเป็นฮอร์โมนพิชที่มีบทบาทมากที่สุดเกี่ยวกับคุณภาพของดอกไม้เออทิลีนจะเกิดจากดอกไม้เองหรือจากแหล่งอื่นๆ สามารถทำความเสียหายให้กับดอกไม้ได้เมื่อนอกน้ำเออทิลีนในบรรยายกาศเพียง 0.002-0.5 ไมโครลิตรต่อลิตร (พีพีเอ็ม) สามารถทำความเสียหายให้กับดอกไม้ได้ ดอกไม้ที่ได้รับเออทิลีนจะมีอายุการใช้งานสั้น เพราะเออทิลีนทำให้ดอกไม้เหี่ยวและกลืนดอกร่วงเร็ว ตัวอย่างของความเสียหายของดอกไม้ที่เกิดขึ้นเนื่องจากเออทิลีน เช่น กลีบดอกม้วนเข้าหรือไม่บาน (sleepiness) ซึ่งบางครั้งเรียกว่าดอกฟุนหรือซ็อก เช่น คาร์เนชัน และกุหลาบหิน (kalanchoe) กลีบดอกมีสีซีดและกลีบดอกม้วนงอเข้า เช่น ผักบุ้งฟรั่ง (morning glory) กลีบดอกมีสีซีดและปลายของกลีบดอกเหี่ยว เช่น กล้วยไม้ในสกุลแคಥลียา วนดาวา หวาน และฟาเคนนอฟซิส (สายชล, 2531)

2.2 การสังเคราะห์เออทิลีนในดอกไม้

ดอกไม้หลายชนิดมีอัตราการผลิตเออทิลีนเพิ่มสูงขึ้นมาก ก่อนที่ดอกจะแสดงอาการเหี่ยว หรือหดคลื่นร่วง เช่น ดอกฝ้าย ผักบุ้งฟรั่ง ชบา และดอกมะลิลา ในดอกควรเน้นชันพบว่า อัตราการผลิตเออทิลีนเพิ่มขึ้นสูงสุดถึง 50-200 เท่า อัตราการผลิตเออทิลีนนี้มีความสัมพันธ์กับอายุของดอก ดอกที่มีการผลิตเออทิลีนมากจะมีอายุสั้นกว่าดอกที่มีการผลิตเออทิลีนน้อยอย่างเห็นได้ชัด

แต่สำหรับดอกเบญจมาศ และดอก narcissus ไม่พบการเพิ่มขึ้นของการผลิตเออทิลีน ในกลุ่มดอกที่มีการผลิตเออทิลีนมากขึ้นพบว่าการเที่ยวของดอกเกิดจากกระบวนการระคุนด้วยเออทิลีน โดยจะมีอัตราการผลิตเออทิลีนสูงกว่าดอกที่การเที่ยวไม่ได้เกิดขึ้นจากการกระบวนการระคุนของเออทิลีน (Van *et al.*, 1993)

โดยทั่วไปการสร้างเออทิลีนของดอกไม้มีประกอบด้วย 3 ระยะ คือ 1) ระยะแรก ดอกไม้มีอัตราการสร้างเออทิลีนค่อนข้างต่ำ 2) ระยะกลาง ดอกไม้มีอัตราการสร้างเออทิลีนสูงสุด และ 3) ระยะสุดท้าย ดอกไม้มีอัตราการสร้างเออทิลีนลดลง การสร้างเออทิลีนของดอกไม้จะเห็นชัดในระยะกลาง ซึ่งเกิดขึ้นพร้อมกับการเปลี่ยนแปลงภายในอ่อน ๆ ของดอกไม้ซึ่งนำไปสู่การเกิดการร้าภายนอกไม้ เช่น การเที่ยวของดอกไม้ ดอกไม้บานชนิด เช่น หวายแยกเกอลีนสาไวอี มีอัตราการสร้างเออทิลีนสูงมากในระยะที่ดอกตูม และลดลงเมื่อดอกเริ่มบาน อัตราการสร้างเออทิลีนสูงขึ้นอีกเมื่อดอกที่บานแล้วเข้าสู่ระยะชราภาพ (สายชล, 2531) และช่วงดอกกล้ายไม้หวายพันธุ์ปอมปาดัวร์ ที่มีเฉพาะดอกตูมมีอัตราการสร้างเออทิลีนสูงกว่าช่วงดอกกล้ายไม้หวายที่มีเฉพาะดอกบานดอกตูมมีขนาดเล็กมีอัตราการสร้างเออทิลีนสูงกว่าดอกตูมที่มีขนาดใหญ่ ดอกเริ่มบานมีอัตราการสร้างเออทิลีนสูงกว่าดอกตูมที่มีขนาดโต และดอกบานที่เริ่มเข้าสู่วัยชราภาพมีอัตราการสร้างเออทิลีนเพิ่มมากขึ้น (สายชล และคณะ, 2540)

การผลิตเออทิลีนในดอกไม้ที่เพิ่มขึ้นนี้ถูกกระตุ้น ได้ด้วยเออทิลีโนง เรียกว่า autocatalytic ethylene production โดยพบว่าส่วนต่าง ๆ ของดอกมีการผลิตเออทิลีนเพิ่มมากขึ้นและตอบสนองต่อเออทิลีนในช่วงเวลาที่ต่างกัน ดังนั้นเออทิลีนน่าจะมีส่วนเกี่ยวข้องกับการส่งสัญญาณในการควบคุมกระบวนการเสื่อมสภาพ (senescence) ในส่วนต่าง ๆ ของดอก การศึกษาในระดับชีวโมโนเดกต์ พบร่วมกับการแสดงออกของยีน ACS และ ACO โดยมีปริมาณ mRNA เพิ่มขึ้นก่อนดอกكار์เรนชันจะเที่ยว ซึ่งยืนยันแล้วนี้เป็นตัวกระตุ้นปฏิกิริยาเปลี่ยน SAM เป็น ACC และจาก ACC เป็นเออทิลีน ตามลำดับ เช่นการทดลองถ่ายยีน antisense ACO ให้คาร์เรนชันทำให้ดอกการร์เรนชันมีการผลิตเออทิลีนต่ำลงและกลับดอกเสื่อมสภาพช้าลง (Woodson, 1994)

การผสมเกสร (pollination) เป็นปัจจัยหนึ่งที่กระตุ้นการผลิตเออทิลีนในทุกส่วนของดอกกล้ายไม้ ซึ่งมีผลต่อการเปลี่ยนสีของดอก กลีบดอกซีด รังไข่ มีการเจริญเติบโต (Stead, 1992) ในดอกการร์เรนชัน กล้ายไม้ และพิทูเนีย การผสมเกสรเป็นการชักนำให้เกิดการผลิตเออทิลีน ซึ่งเกี่ยวข้องกับการแสดงออกของยีน ACS และ ACO (Woodson *et al.*, 1992; O'Neill *et al.*, 1993; Tang and Woodson, 1996; O'Neill and Nadeau, 1997)

การร่วงโภของดอกกลีบไม้สูกกระตุ้นโดยการกำจัดเอาเกรเพศผู้ออกไป (emasculated) และการผสมเกสร (pollination) โดยพบว่ามีการผลิตเออทิลีนมากขึ้นภายหลัง emasculation และการผสมเกสร ทำให้กลีบดอกเสื่อมสภาพอย่างรวดเร็ว O'Neill *et al.* (1993) พบว่าหลังจากการทำ emasculation กับดอกกลีบไม้ทำให้ตรวจพบ ACS-mRNA และ ACO-mRNA มากในส่วนของ stigma, ovary และ labelum ในส่วนของกลีบดอกตรวจพบเออทิลีนสูงถึง 26 % จากส่วนของดอกทั้งหมด และมีการสะสมของ ACO-mRNA ภายหลังการผสมเกสรปริมาณมากแต่ไม่พบ ACS-mRNA ในส่วนของกลีบดอก

ดอกการ์เนชันจะมีอายุอยู่ได้ 6-7 วัน ถ้าไม่ได้รับการผสมเกสร แต่จะเหี่ยวและหลุดร่วงภายใน 1-2 วัน หลังการผสมเกสร แต่ถ้าให้สาร silver thiosulfate (STS) ซึ่งขับย้งการทำงานของเออทิลีน กลีบดอกจะยังคงสดอยู่ได้นาน เมื่อวัดอัตราการผลิตเออทิลีนในส่วนของเกรเพศ เมีย พบร่วงเกิดการสร้างเออทิลีนเพิ่มสูงขึ้นภายใน 1-2 ชั่วโมง หลังการผสมเกสร ตามด้วยการผลิตเออทิลีนในส่วนของรังไข่ และกลีบดอก เรณูของดอกการ์เนชันมีปริมาณ ACC ค่อนข้างสูงจึงอาจถ่ายเทให้กับเกรเพศเมียแล้วเคลื่อนย้ายไปสู่กลีบดอก หรืออาจเปลี่ยนไปเป็นเออทิลีนแล้วเคลื่อนที่ไปสู่กลีบดอก (Jonnes and Woodson, 1999)

การศึกษาการแสดงออกของยีน ACS และ ACO ในดอกการ์เนชัน พบว่าการแสดงออกของยีน ACS และ ACO เกิดขึ้นก่อนในส่วนของเกรเพศเมีย ช่วยยืนยันว่าการผลิตเออทิลีนในกลีบดอกเป็นผลมาจากการผลิตในส่วนเกรเพศเมียและการร่วงโภของกลีบดอกอยู่ภายใต้การควบคุมของ เออทิลีน การให้ 1-aminocyclopropane-1-carboxylic acid (ACC) แก่ดอกภายหลังการปลิดเอาเกรเพศเมียออก ไม่สามารถกระตุ้นให้กลีบดอกเหี่ยวและหลุดร่วง แต่ถ้าให้ ACC กับดอกที่ยังมีเกรเพศเมียอยู่จะกระตุ้นให้เกิดการร่วงโภของดอกไม่ได้ เพราะเกรเพศเมียเป็นส่วนที่มีการผลิตเอนไซม์ ACC synthase และ ACC oxidase ทำให้เกิดการสร้างเออทิลีนของดอก ควรเน้นและเกิดกระบวนการร่วงโภของดอกไม้เกิดขึ้น (Shibuya *et al.*, 2000)

ดอกพิทูเนียที่ได้รับการถ่ายเรณูจะเกิดการผลิตเออทิลีนเพิ่มสูงขึ้นจากปกติในระยะเวลาอันสั้น และการผลิตเออทิลีนนี้เพิ่มสูงขึ้นระยะเวลาหนึ่งจากนั้นจะลดลง แล้วจึงเกิดการสร้างเออทิลีนมากขึ้นอีกครึ่ง ๆ กับการร่วงโภของกลีบดอกหากเกรเพศเมียรับเรณูที่เข้ากันได้ (Hoeskstra and Weges, 1986)

2.3 การศึกษาการเสื่อมสภาพ (senescence) ของดอกกล้วยไม้สกุลหวาน (*Dendrobium*)

กล้วยไม้เป็นไม้ตัดดอกเศรษฐกิจที่สำคัญของประเทศไทย ซึ่งมีการผลิตจำหน่ายทั่วไปในประเทศและส่งออก แม้ว่าผู้ปลูกสามารถปลูกกล้วยไม้ได้ดีหากที่มีคุณภาพดี แต่เมื่อกล้วยไม้ถึงมือผู้ใช้คุณภาพของดอกมักจะเลื่อมลงอย่างรวดเร็ว ทำให้อายุการปักเจกันสั้นลง โดยปัจจัยที่มีผลต่ออายุการปักเจกัน คือ คุณภาพดอก อายุของดอกก่อนตัด และสภาพการเก็บรักษาระหว่างการขนส่ง ดอกกล้วยไม้พันธุ์ปอมปาดัวร์, บอน#28 และ Jo Big White ที่ลดอุณหภูมิเบื้องต้นและเสียบโคนก้านช่อดอกในหลอดพลาสติกบรรจุสารละลาย AgNO_3 30 มิลลิกรัมต่อลิตร + HQS 225 มิลลิกรัมต่อลิตร + กลูโคส 4% มีคุณภาพดีกว่าและสอดคล้องกับกล้วยไม้สกุลหวานทุกพันธุ์ที่ลดอุณหภูมิเบื้องต้นและเสียบโคนก้านช่อดอกในหลอดพลาสติกบรรจุน้ำกลั่น โดยมีลดต่ำลง 3.33 เปอร์เซ็นต์ ส่วนในกรณีลดอุณหภูมิเบื้องต้นและเสียบโคนก้านช่อดอกในสารละลายดังกล่าว ดอกตูมไม่ร่วง โดยลดต่ำลงเร็วกว่าที่ดอกที่เสียบโคนก้านช่อดอกในน้ำกลั่น ส่วนกล้วยไม้พันธุ์บอน#28 และ Jo Big White ที่ลดอุณหภูมิเบื้องต้นและเสียบโคนก้านช่อดอกในหลอดพลาสติกบรรจุน้ำกลั่นเกิดการร่วงและเสื่อมสภาพของดอกตูมมากกว่าและเร็วกว่าดอกที่เสียบโคนก้านช่อดอกในสารละลายเคมี ดอกกล้วยไม้พันธุ์โซเนียบอน#28 เกิดการเสื่อมสภาพของดอกตูมมากกว่าดอกกล้วยไม้พันธุ์โซเนียบอน#28 (สายชล และคณะ, 2540)

การศึกษาอิทธิพลของดอกบานที่มีผลต่อการร่วงและการบานของดอกตูมในกล้วยไม้สกุลหวาน โดยใช้ดอกกล้วยไม้พันธุ์ปอมปาดัวร์ มิสทิน ชาครุษ ซิชาร์ และอินทุวงศ์ ไม่ปลิดและปลิดดอกบานออก 50 และ 100% แล้วปักเจกันในน้ำกลั่นนาน 15 วัน พบว่าดอกกล้วยไม้ทุกพันธุ์ที่ไม่ปลิดดอกบาน มีดอกตูมร่วงน้อยกว่าและดอกบานเพิ่มมากกว่าดอกกล้วยไม้ที่ปลิดออกบาน 50 และ 100% ดอกกล้วยไม้พันธุ์ปอมปาดัวร์ที่ไม่ปลิดและปลิดออกบาน 50 และ 100% เกิดการร่วงของดอกตูมมากกว่าพันธุ์อื่นเมื่อสิ้นสุดการทดลอง ดอกกล้วยไม้พันธุ์ปอมปาดัวร์ที่ไม่ปลิดและปลิดออกบาน 50 และ 100% แล้วปักเจกันในน้ำกลั่น มีปริมาณ reducing sugars (RS), total sugars (TS), total non-structural carbohydrates (TNC) ในดอกตูมขนาดใหญ่ (อายุมาก) มากกว่า

ดอกตูมขนาดเล็ก (อายุน้อย) ปริมาณ non reducing sugars (NRS) ในดอกตูมขนาดเล็กมีมากกว่า ดอกตูมขนาดใหญ่ และมีปริมาณ NRS, RS, TS, TNC ลดลงหลังการปักแท้กัน (อารีรัตน์, 2547)

ดอกกลวยไม้สกุล hairyพันธุ์ป้อมปาดัวร์ อนยา บอม#28 และบลัสดซิง ที่เก็บไว้ ที่อุณหภูมิ 10° ช. นาน 60 นาที มีการผลิตเอทิลีนในดอกตูมและดอกบานลดลง โดยที่ดอกตูมลดลงมากกว่าในดอกบาน แต่ดอกตูมมีการผลิตเอทิลีนมากกว่าดอกบาน ดอกกลวยไม้พันธุ์ป้อมปาดัวร์ และขาวโจไว้ที่ผ่านการลดอุณหภูมิอยู่ปักแท้กันมากกว่าดอกที่เก็บไว้ในอุณหภูมิห้อง และดอกกลวยไม้ทั้ง 3 พันธุ์ที่ผ่านการลดอุณหภูมิมีกระบวนการของดอกตูมมากที่สุด ดอกตูมและดอกบานเกิดการเสื่อมสภาพน้อยและช้า และการเปลี่ยนแปลงน้ำหนักสดและการดูดน้ำลดลงช้าในดอกกลวยไม้พันธุ์ป้อมปาดัวร์ ส่วนดอกกลวยไม้พันธุ์อนยา บอม#28 และบลัสดซิง มีการเปลี่ยนแปลงน้ำหนักสดและการดูดน้ำไม่แตกต่างจากดอกที่เก็บไว้ในอุณหภูมิห้อง (วชิรญา, 2542) การลดอุณหภูมิเบื้องต้นของดอกกลวยไม้สกุล hairy โดยห้องเย็นที่อุณหภูมิ 10° ช. นาน 30, 60, 90 และ 120 นาที ก่อนบรรจุสามารถลดความเข้มข้นเอทิลีนภายในกล่องกระดาษลูกฟูกและการลดอุณหภูมิเบื้องต้นของดอกกลวยไม้ hairy ที่อุณหภูมิ 10° ช. นาน 60 นาที ทำให้ลดอัตราการสร้างเอทิลีนของดอกกลวยไม้ hairy ได้มากที่สุด (สายชล และคณะ, 2540)

การถ่ายเรณูทำให้ดอกกลวยไม้ hairy เสื่อมสภาพลงเร็วกว่าดอกที่ไม่ได้รับการถ่ายเรณูโดยมีอาการโถ้งของห้องก้านดอก ทำให้ดอกกลวยไม้ hairy ลดลง กลีบดอกกลู่ลง กลีบดอกบริเวณปากอาจเปลี่ยนเป็นสีเหลือง สังเกตเห็นริวนกลีบดอกได้ชัดเจนและมีอาการสีซีดหรือมีอาการน้ำมัน อัตราการเสื่อมสภาพของดอกที่ได้รับการถ่ายละของเรณูขึ้นอยู่กับปริมาณและชนิดของเรณู กล่าวคือ ถ้าปริมาณเรณูมากการร่วงโรยของกลีบดอกก็เกิดได้เร็วขึ้น การถ่ายละของเรณูชักนำให้เกิดการสร้างเอทิลีนทำให้กลีบดอกไม่เกิดการเพี้ยง เรณูจากกลวยไม้ hairy ต่างสายพันธุ์ถ้านำมาผสมกัน เช่น กลวยไม้พันธุ์ป้อมปาดัวร์และพันธุ์ Sonia Bom#28 ส่งผลให้อัตราการเสื่อมสภาพเกิดขึ้นช้าเร็ว ต่างกัน เพราะกลวยไม้แต่ละชนิดมีปริมาณเรณูมากน้อยต่างกัน เรณูที่มีปริมาณ ACC มาก หรือออกเข้ามาสักน้อย ไม่ได้จะส่งผลให้เกิดการร่วงโรยอย่างรวดเร็ว นอกจากนี้เรณูจากพืชชนิดอื่น เช่น ต้อยตึงสามารถทำให้เกิดการร่วงโรยของกลีบดอกกลวยไม้ hairy ได้อย่างรวดเร็ว ในขณะที่เรณูจากดอกทางนกยุงและพู่ระหงไม่มีผลมากนัก การร่วงโรยของกลีบดอกนี้สัมพันธ์กับอัตราการสังเคราะห์เอทิลีนที่เกิดขึ้นภายในกลีบดอกโดยการกระตุ้นของการถ่ายเรณู ในขณะเดียวกันก็พบว่า เอทิลีนช่วยกระตุ้นให้เกิดการพัฒนาของรังไข่ขึ้นอย่างรวดเร็ว (กนกพร, 2541)

อกิจญา (2544) รายงานว่าหลังการผสมเกสรดอกลั่วยไม้ hairyพันธุ์โซนีย บอม #28 (*Dendrobium Sonia #28*) กลีบดอกเกิดการเสื่อมสภาพอย่างรวดเร็วและมีการขยายขนาดของรังไข่เกิดขึ้นพร้อมกับมีการกระตุ้นให้ผลิตเออทิลีน Ketsa and Rugkong (2000) พบว่าการผสมเกสรดอกกลั่วยไม้ hairyพันธุ์ป้อมปาดัวร์สามารถกระตุ้นการผลิตเออทิลีนและการขยายขนาดของรังไข่ดังนั้นหลังการผสมเกสรอาจมีสารบางอย่างส่งผ่านจากเกรสรตัวผู้สู่เกรสรตัวเมีย เพื่อกระตุ้นให้เกิดการผลิตเออทิลีนและเกิดการเสื่อมสภาพของดอกตามมา ซึ่งสารดังกล่าวจะเป็น ACC (1-aminocyclopropane-1-carboxylic acid) หรือออกซิน เนื้องจากพบสาร ACC และ IAA (indole acetic acid) ในละอองเกรสรของดอกกลั่วยไม้ปริมาณมาก (Stead, 1992; Ketsa and Luangsuwalai, 1996) ออกซินเป็นสารที่ช่วยส่งเสริมให้มีการผลิตเออทิลีนขึ้นได้ในเนื้อเยื่อพืชโดยชักนำให้มีการสร้างเอนไซม์ ACC synthase เพิ่มขึ้น (Abeles *et al.*, 1992) ส่วน ACC เป็นตัวกลางของการผลิตเออทิลีน (Yang and Hoffman, 1984) เป็นไปได้ว่าเออทิลีนและออกซินทำงานร่วมกันในการส่งเสริมให้มีการขยายขนาดของรังไข่ภายหลังได้รับการผสมเกสรของดอกกลั่วยไม้และทำให้ดอกเสื่อมสภาพอย่างรวดเร็ว (O'Neill and Nadeau, 1997)

ประภาพร (2539) รายงานว่าการเสื่อมสภาพของดอกกลั่วยไม้ hairyพันธุ์เชزار์ (*Dendrobium Caesar*) ซึ่งเป็นลูกผสมระหว่าง *D. phalaenopsis* กับ *D. stratiotes* ถูกรบุให้เกิดเร็วขึ้นเมื่อได้รับการผสมเกสรภายในเวลา 3-4 วัน และมีการผลิตเออทิลีนในดอกที่มีการผสมเกสรมากกว่าดอกที่ไม่ได้รับการผสมเกสร Halevy (1986) ศึกษาระวงโรงของกลั่วยไม้ *Phalaenopsis* พบว่า ACC ลูกเคลื่อนย้ายจากละอองเกรสรไปสู่ยอดเกรสรตัวเมีย และในเวลาต่อมาเกรสรตัวเมียจะผลิต ACC ขึ้นโดยการกระตุ้นของเอนไซม์ ACC synthase และ ACC ที่ผลิตขึ้นมาในเกรสรตัวเมียจะถูกส่งไปยังกลีบดอกไม้เพื่อผลิตเออทิลีน

3. การควบคุมการสังเคราะห์เออทิลีนในระดับยีนโดยการใช้เทคโนโลยี antisense RNA

การขับย้งการแสดงออกของยีนที่เกี่ยวข้องกับการสร้างเออทิลีน ได้แก่ ยีน ACS และยีน ACO โดยเทคนิคที่เรียกว่า antisense RNA technology ทำให้สามารถลดการสูญเสียของผลไม้หรือชัลโกรร่วงโรงของดอกไม้ โดยมีการศึกษาถ่ายยีน antisense ACS หรือ ACO เข้าไปในต้นมะเขือเทศ พบร่วมกับความสามารถลดการสูญเสียของผลมะเขือเทศได้เป็นอย่างดี ส่วนระดับการชัลโกรร่วงจะลดลงมากหรือน้อยขึ้นอยู่กับการแสดงออกของ antisense RNA และพบว่าประมาณ 5% ของมะเขือเทศที่ได้รับการถ่ายยีนแล้ว การสร้างเออทิลีนลดลงมากกว่า 99% และจะไม่สูญเสียไม่ได้รับเออทิลีนจากภายนอก และประมาณ 25% ของมะเขือเทศที่ได้รับการถ่ายยีนมีการสร้างเออทิลีนลดลง

มากกว่า 95% และพบว่าเมื่อการสร้างเอทิลีนลดลงมากกว่า 90% จึงจะลดการสูญเสีย (Hamilton *et al.*, 1997) Bolitho *et al.* (1997) ศึกษาใน *ACO* ของแอปเปิล และทำการถ่าย antisense *ACO* เข้าสู่มะเขือเทศ (*Lycopersicon esculentum*) พบว่ามะเขือเทศที่ได้รับการถ่ายยังสามารถลดการสังเคราะห์เอทิลีนได้ถึง 95 เปอร์เซ็นต์ Klee *et al.* (1991) ศึกษาตอนใหม่ *ACC* ซึ่งเป็นตัวกำหนดการสร้างเนอเรนไซด์ *ACC deaminase* ที่สร้างมาจากยีน *ACC* ของแบคทีเรียในดิน และทำการถ่ายยังเข้าสู่มะเขือเทศด้วย antisense *ACS* พบว่าสามารถลดการสูญเสียของมะเขือเทศได้เนื่องจากไม่มีการสังเคราะห์เอทิลีน

สำหรับการขับยั้งการสร้างเอทิลีนในพืชโดยมีเป้าหมายที่ตัวรับเอทิลีน (ethylene receptor) นั้น ได้มีการศึกษาถ่ายยีน *ERT1* จาก *Arabidopsis* เข้าไปในต้นมะเขือเทศ พบว่าผลของมะเขือเทศดัดแปลงพันธุกรรมมีขนาดเล็กเหมือนกับผลจากต้นกล้วยพันธุ์ *Nerver ripen* (Nr) ซึ่งไม่ค่อยมีประโภชน์นักในทางการค้า (Kieber, 1997) ดังนั้นการขับยั้งการสร้างเอทิลีนที่มีเป้าหมายที่ตัวรับเอทิลีนจึงน่าจะใช้กับพืชที่ต้องการขับยั้งการสร้างเอทิลีนในการร่วงโรยของดอกไม้และพืชที่ไม่ต้องใช้เอทิลีนเพื่อการสูญเสียในภายหลัง (Mullins, 2000)

การใช้เทคนิค antisense RNA technology เพื่อยืดอายุการปักแจกันของดอกไม้สามารถทำได้สำเร็จในดอกการเนยชั้นและ *torenia* โดย Savin *et al.* (1995) ได้ถ่ายยีน antisense *ACO* เข้าสู่การเนยชั้น พบว่าสามารถยืดอายุการปักแจกันของดอกได้นานขึ้น 7 วัน Aida *et al.* (1998) ได้ทดลองยืดอายุการปักแจกันของ *torenia* (*Torenia fournieri* Lind.) โดยถ่ายยีน sense และ antisense *ACO* เข้าสู่ *torenia* โดยใช้เชื้ออะโกรแบคทีเรียม พบว่าต้นที่ได้รับการถ่ายยีน sense *ACO* สามารถช่วยยืดอายุของดอก *torenia* ได้ถึง 2.7-7.1 วัน และต้นที่ได้รับยีน antisense *ACO* สามารถช่วยยืดอายุของดอกได้ 2.5-2.7 วัน ในขณะที่ต้น *torenia* ที่ไม่ได้รับการถ่ายยีนปักติดจะมีอายุการปักแจกัน 2 วัน เมื่อนำมาวิเคราะห์การแสดงออกของยีนด้วยวิธี northern blot analysis พบว่าการยืดอายุการปักแจกันมีความสัมพันธ์กับการแสดงออกของยีนด้วยวิธี northern blot analysis โดยพบว่าระดับ mRNA ของยีน *ACO* ลดลงและการผลิตเอทิลีนลดลงทำให้ดอกไม้มีอายุการปักแจกันนานขึ้น

4. ยีนคัดเลือกับการถ่ายยีนเข้าสู่พืช

ยีนคัดเลือกใช้เป็น genetic tag เพื่อคัดเลือกเจ้าเฉพาะเซลล์หรือเนื้อเยื่อพืชที่ได้รับการถ่ายยีนเท่านั้น (transformed cells) ยีนคัดเลือกที่นิยมใช้มี 2 ประเภท คือ ยีนที่สร้างความต้านทานต่อ

สารปฏิชีวนะ และยีนที่สร้างความต้านทานต่อสารกำจัดวัชพืชแก่นี้อยู่เป็นอย่างมากที่ทำการถ่ายยีน (Keith, 1999)

ยีนคัดเลือกที่ต้านทานสารปฏิชีวนะ (antibiotic resistance gene) ได้แก่ ยีน *hpt/hph* แยกมาจากเชื้อแบคทีเรีย *Escherichia coli* มีคุณสมบัติในการสร้างเอนไซม์ hygromycin phosphotransferase (*hpt*) เมื่อนอนไซม์ลดความเป็นพิษของ hygromycin B (Hm) ซึ่งเป็นสารในกลุ่ม aminoglycoside antibiotic ที่มีบทบาทในการรับกระบวนการกระบวนการสังเคราะห์โปรตีน พืชที่ใช้ hygromycin B เป็นสารคัดเลือก ได้แก่ ยาสูบ *Arabidopsis* ข้าวโพด ข้าว พืชวงศ์หญ้า (Brian and Sylvia, 2004) สารปฏิชีวนะ aminoglycoside ได้แก่ กำนานมยชิน โน้มยชิน gentamycin ที่ได้มาจากการ G418 และ paromomycin สารพวกนี้มีความเป็นพิษกับพืช สัตว์และเชื้อร้า (Brian and Sylvia, 2004)

ยีนคัดเลือกที่ต้านทานต่อสารกำจัดวัชพืช (herbicide resistant gene) ได้แก่ ยีน *bar* ซึ่งสร้างเอนไซม์ phosphinothricin N-acetyltransferase (PAT) ต้านทานสารในกลุ่ม phosphinothricin และ bialaphos เป็นสารที่มีผลในการขับยึดการทำงานของเอนไซม์ glutamine synthase ที่ใช้ในกระบวนการ ammonia assimilation มีประสิทธิภาพสูงในการคัดเลือกเซลล์พืชในเลี้ยงเดี่ยว มีการใช้ยีน *bar* เป็นยีนคัดเลือกในพืช *Brassica napus* และ *Brassica oleracea* และต่อมายีน *bar* นี้ได้ถูกใช้เป็นยีนคัดเลือกในพืชหลายชนิด ได้แก่ ข้าวโพด ข้าวสาลี ข้าว ถั่ว และสน (Fromm et al., 1990) นอกจากนี้ยีน *bar* ยังถูกนำมาใช้ประโยชน์ในพืชชนิดอื่น เช่น กล้วยไม้ ทำให้กล้วยไม้ต้านทานต่อสารกำจัดวัชพืช (Brian and Sylvia, 2004)

ข้อเสียการใช้ยีนคัดเลือกที่ต้านทานต่อสารปฏิชีวนะหรือสารกำจัดวัชพืชอยู่หลายประการ ได้แก่

1. สารคัดเลือก (selective agents) บางชนิดจะไปลดความสามารถในการขยายขนาดของเซลล์ และการพัฒนาของเซลล์ไปเป็นต้นที่สมบูรณ์ (Weising et al., 1988; Zuo et al., 2002)
2. ในด้านความปลอดภัยต่อผู้บริโภค การใช้ยีนคัดเลือกที่ต้านทานต่อสารปฏิชีวนะต่างๆ อาจทำให้เกิดการสร้างสายพันธุ์ใหม่ของแบคทีเรีย ทำให้ต้านทานต่อสารปฏิชีวนะที่ใช้ในทางการแพทย์ หรือก่อให้เกิดการแพ้ยาต่อผู้บริโภค หรือยีนที่ใช้ในการคัดเลือกอาจจะถ่ายทอดไปสู่จุลินทรีย์ก่อโรคได้

3. การถ่ายยีนหล่าย ๆ ยืนเข้าสู่พืชโดยใช้ยีนคัดเลือกชนิดเดิมทำได้ยาก เพราะไม่สามารถแยกความแตกต่างได้ (Ebinuma *et al.*, 2000)

4. นอกจานี้ความวิตกกังวลในการใช้ยีนที่ต้านทานต่อสารกำจัดวัชพืช อาจจะมีการถ่ายทอดโดยเกิดการแพร่กระจายโดยละอองเกสรให้กับวัชพืชทั่วไป ทำให้วัชพืชเกิดการพัฒนาต้านทานต่อสารกำจัดวัชพืชหรือทำให้เกิด super weed และด้วยสาเหตุนี้อาจจะไปเปลี่ยนแปลงสมดุลของระบบนิเวศน์ได้ (Lu *et al.*, 2001)

จากการประเมินความปลอดภัยทางชีวภาพของยีนคัดเลือกในพืชดัดแปลงพันธุกรรมโดยผู้เชี่ยวชาญจาก Internationally Recognized Scientific Bodies และ Scientific Committees ใน European Union และผู้เชี่ยวชาญจากแคนาดา ญี่ปุ่น สวิตเซอร์แลนด์และอังกฤษ โดยได้ทำการศึกษา ยีนคัดเลือกที่ต้านทานสารปฏิชีวนะ ได้แก่ ยีน *nptII* ที่ต้านทานสารปฏิชีวนะ neomycin และ kanamycin ยีน *aad* ที่ต้านทานสารปฏิชีวนะ streptomycin และ spectinomycin และยีน *bla* ที่ต้านทานสารกำจัดวัชพืช ผู้เชี่ยวชาญลงมติกันว่าควรหลีกเลี่ยงยีนคัดเลือกที่ต้านทานสารปฏิชีวนะ เพื่อคุ้มครองความวิตกกังวลเกี่ยวกับความปลอดภัยทางชีวภาพของยีนคัดเลือกดังกล่าว ซึ่งอาจเคลื่อนย้ายจากพืชดัดแปลงพันธุกรรมไปสู่ชุมชนทรัพย์ได้ (European Federation of Biotechnology, 2001)

5. การสร้างพืชดัดแปลงพันธุกรรมให้ปราศจากยีนคัดเลือก (marker-free transgenic plant)

จากการที่พืชดัดแปลงพันธุกรรมมียีนคัดเลือกที่ต้านทานสารปฏิชีวนะหรือสารกำจัดวัชพืช ไม่เป็นที่ยอมรับในด้านความปลอดภัยทางชีวภาพ จึงมีการพัฒนาเทคนิคเพื่อกำจัดยีนคัดเลือกออก จากจีโนมพืชดัดแปลงพันธุกรรมภายหลังจากพืชได้รับการถ่ายยีนแล้ว เพื่อลดความวิตกกังวลในด้านความปลอดภัยทางชีวภาพของพืชดัดแปลงพันธุกรรมที่มีต่อสิ่งแวดล้อมและผู้บริโภค โดยการสร้างพืชดัดแปลงพันธุกรรมให้ปราศจากยีนคัดเลือกมีวิธีการต่าง ๆ ดังนี้

5.1 วิธี Co-transformation

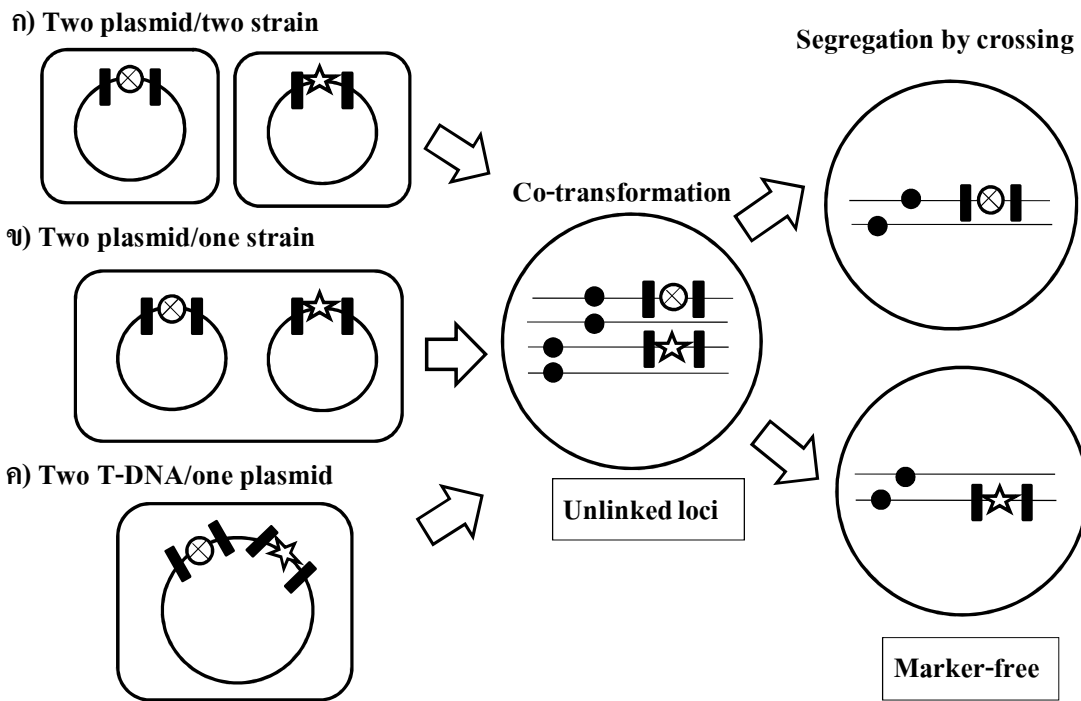
เป็นวิธีหนึ่งที่ใช้แยกยีนคัดเลือกออกจากยีนที่ต้องการซึ่งอยู่ต่างชุดยีนกัน โดยทำการถ่ายยีนทั้งสองเข้าสู่เซลล์พืชไปด้วยกัน เมื่อยีนทั้งสองแทรกเข้าไปที่ตำแหน่ง unlinked loci ของจีโนมพืช ยีนคัดเลือกจะถูกแยกออกจากยีนที่ต้องการในรุ่นลูกภายในกระบวนการพัฒนา และสามารถ

ถ่ายทอดไปสู่รุ่นลูกได้ (progeny) ทำให้ได้พืชคัดแปลงพันธุกรรมที่ปราศจากยีนคัดเลือกในรุ่นลูก (Komari *et al.*, 1996; Daley *et al.*, 1998) โดยแบ่งออกเป็น 3 วิธีคือ

5.1.1 การใช้เชื้ออ่องโกรแบคทีเรียม 2 สายพันธุ์ที่บรรจุพลาสมิดต่างชนิดกัน โดยเชื้ออ่องโกรแบคทีเรียมสายพันธุ์แรกบรรจุพลาสมิดที่มียีนที่สนใจและเชื้ออ่องโกรแบคทีเรียมสายพันธุ์ที่สองบรรจุพลาสมิดที่มียีนคัดเลือก ถ่ายยีนเข้าสู่พืชไปพร้อมกัน (two-plasmids/two-strains) (ภาพที่ 3ก)

5.1.2 การใช้เชื้ออ่องโกรแบคทีเรียมสายพันธุ์เดียว ที่มียีนคัดเลือกและยีนที่สนใจบรรจุอยู่ในพลาสมิดที่แตกต่างกัน ในการถ่ายยีนเข้าสู่พืช (two-plasmid/one strain) (ภาพที่ 3ข)

5.1.3 การใช้เชื้ออ่องโกรแบคทีเรียมสายพันธุ์เดียว ที่มียีนคัดเลือกและยีนที่สนใจบรรจุอยู่ในพลาสมิดเดียวกัน ในการถ่ายยีนเข้าสู่พืช (two-T-DNA/one plasmid) (ภาพที่ 3ค)



ภาพที่ 3 การผลิตพืชดัดแปลงพันธุกรรมที่ปราศจากยีนคัดเลือกโดยวิธี co-transformation ซึ่งประกอบด้วยยีนคัดเลือกและยีนที่สันใจมาจากการ T-DNA ที่แตกต่างกัน 2 ชนิด ไปรวมตัวกันอยู่ที่ unlinked loci โดยวิธีการ co-transformation ยีนที่สันใจถูกแยกออกจากยีนคัดเลือกโดยการผสมข้าม (sexual crossing)

- Two plasmid/two strain
- Two plasmid/one strain
- Two T-DNA/one plasmid

\otimes = ยีนคัดเลือก \star = ยีนที่สันใจ \blacksquare = LB/RB ของ T-DNA

Komari *et al.* (1996) ศึกษาการถ่ายยีนเข้าสู่ยาสูบและข้าวด้วยวิธี co-transformation 2 วิธี คือ การใช้เชื้ออะโกรแแบคทีเรียม 2 สายพันธุ์ที่บรรจุพลาสมิดต่างชนิดกัน (two-plasmids/two-strains) แล้วถ่ายยีนเข้าสู่พืชไปพร้อมกัน และการใช้เชื้ออะโกรแแบคทีเรียมสายพันธุ์เดียวที่มียีนคัดเลือกและยีนที่สันใจบรรจุอยู่ในพลาสมิดเดียวกัน (two-T-DNA/ one plasmid) พบว่าวิธีแรกยีน *nptII/hpt* และยีน *gus* เข้าไปแทรกที่ตำแหน่ง unlinked loci ของยาสูบ ยีนคัดเลือก *nptII* ถูกแยกออกจากยีน *gus* ในรุ่นลูกภายในพลาสมิดเดียวกัน ทำให้ได้ยาสูบดัดแปลงพันธุกรรมที่ปราศจากยีนคัดเลือกจำนวน 10 ต้น จากทั้งหมด 14 ต้น และได้ข้าวดัดแปลงพันธุกรรมที่ปราศจากยีนคัดเลือก 2 ต้น จากทั้งหมด 2 ต้น และวิธีที่ใช้เชื้ออะโกรแแบคทีเรียมสายพันธุ์เดียวที่มียีนคัดเลือกและยีนที่

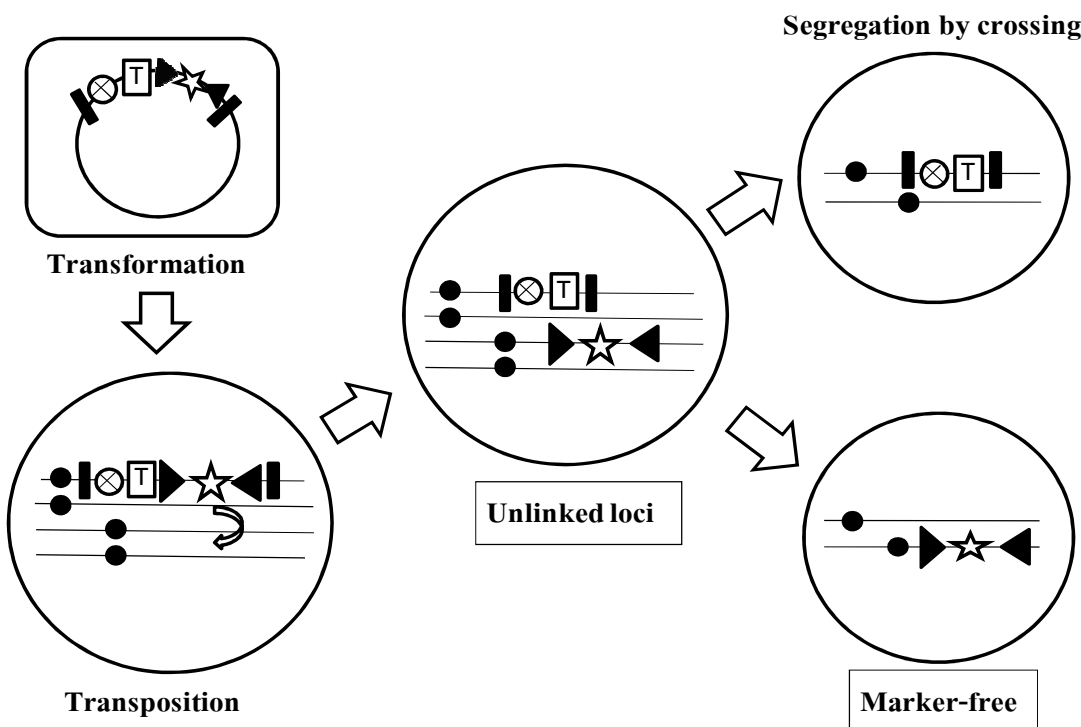
สนใจบรรจุอยู่ในพลาสมิดเดียวกัน สามารถสร้างยาสูบในรุ่นลูกที่มีการแสดงออกของยีน *gus* แต่ไม่มีการแสดงออกของยีนคัดเลือก จำนวน 5 ต้น จากทั้งหมด 9 ต้น และสามารถสร้างข้าวได้จำนวน 13 ต้น จากทั้งหมด 20 ต้น ตามลำดับ ทำให้ทราบว่าเมื่อยีน *gus* เข้าไปแทรกตรงตำแหน่ง unlinked locus มากกว่าครึ่งของการถ่ายยีนเข้าสู่พืชด้วยวิธี co-transformation

Daley *et al.* (1998) ศึกษาการถ่ายยีนเข้าสู่ rapeseed และยาสูบ โดยใช้เชื้ออะโกรแบคทีเรียมสายพันธุ์เดียวกัน ที่มียีนคัดเลือกและยีนที่สนใจบรรจุอยู่ในพลาสมิดที่แตกต่างกันในการถ่ายยีนเข้าสู่พืช (two-plasmid/one strain) พบว่า rapeseed จำนวน 8 ต้นจากทั้งหมด 20 ต้น และยาสูบจำนวน 24 ต้นจากทั้งหมด 41 ต้น เป็นต้นพืชคัดแปลงพันธุกรรมที่ปราศจากยีนคัดเลือก โดยพืชดังกล่าวมีการแยกตัวของยีนคัดเลือกออกจากยีนที่สนใจที่ตำแหน่ง unlinked loci

5.2 การใช้ transposable element

การใช้ transposable element สามารถสร้างพืชที่ปราศจากยีนคัดเลือก โดยการข้ายกตำแหน่งของยีนคัดเลือกออกจากยีนที่สนใจในพืชรุ่นลูก โดยอาศัยการทำงานของเอนไซม์ transposase ซึ่งอยู่ในส่วนของ non-mobile unit ขณะที่ mobile unit มีส่วนที่ใช้ในกลไกสำหรับเคลื่อนย้ายยีนคัดเลือกออก หลักการคือ ยีนคัดเลือกถูกวางในตำแหน่ง mobile element ซึ่งจะถูกกำจัดออกจากหลังการถ่ายยีน ซึ่งมียีนหลายชนิด เช่น *Ac/Ds* สามารถย้ายทั้งส่วนที่ linked และ unlinked site ในพืชได้ แต่ถ้ามีเคลื่อนย้ายมาอยู่ในส่วน unlinked site จะสามารถสร้างพืชคัดแปลงพันธุกรรมที่ปราศจากยีนคัดเลือกได้อย่างมีประสิทธิภาพ (ภาพที่ 4) (Hohn *et al.*, 2001)

Goldsborough *et al.* (1993) ศึกษาการถ่ายยีนเข้าสู่มะเขือเทศโดยใช้เชื้ออะโกรแบคทีเรียมที่บรรจุ binary vector ซึ่งมียีน *gus* อยู่บนนาฬิกา *Ds* ยีน *Ac* transposase และยีน *nptII* สามารถสร้างพืชคัดแปลงพันธุกรรมได้โดยการทดสอบตัวองคิดเป็น 2/87 (2.3%) และในรุ่นลูก 7/106 (6.6%) ซึ่งประกอบด้วย *Ds/gus* element แต่ไม่มียีน *nptII* ผลลัพธ์แสดงให้เห็นว่าระบบ *Ac/Ds* มีความสามารถเคลื่อนย้ายตำแหน่งของยีนที่สนใจและสร้างพืชคัดแปลงพันธุกรรมที่ปราศจากยีนคัดเลือกได้ (ภาพที่ 4)



ภาพที่ 4 การเคลื่อนย้ายยีนคัดเลือกโดยวิธี transposable elements ซึ่งประกอบด้วยยีน *Ds* ขนาดข้าง yin ที่สันใจร่วมกับยีนคัดเลือกและยีน *Ac* transposase หลังจากยีนที่สันใจเคลื่อนที่ไปที่ตำแหน่ง unlinked loci มีการแยกยีนคัดเลือกโดยการผสมข้าม (sexual crossing)

\otimes = ยีนคัดเลือก \star = ยีนที่สันใจ \blacksquare = LB/RB ของ T-DNA \triangleright = *Ds* \square_T = transposon

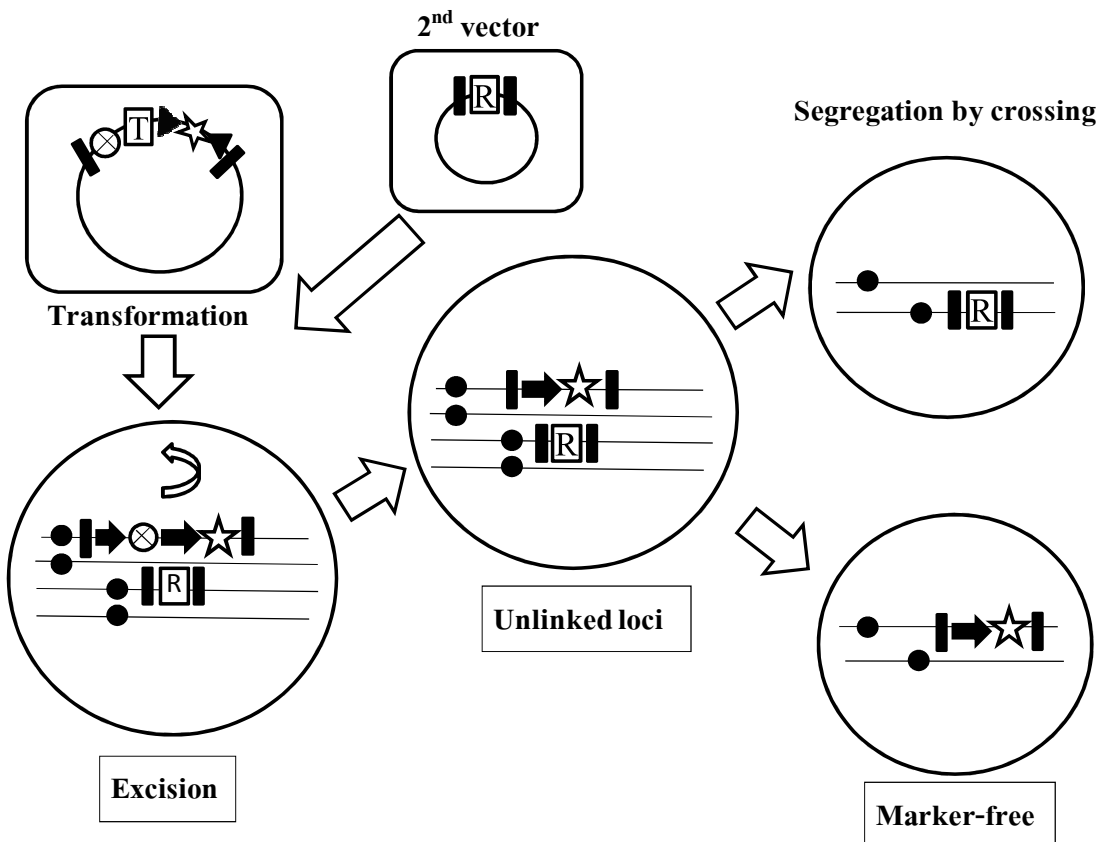
5.3 Site specific recombination

วิธีที่กำจัดยีนคัดเลือกออกจากจีโนมของพืชโดยอาศัยการทำงานของยีน *recombinase* ซึ่งประกอบด้วย 3 ระบบ ได้แก่

5.3.1 ระบบ *Cre/lox* มาจาก *Escherichia coli* ของ bacteriophage P1 ประกอบด้วยส่วนของยีน *recombinase* (*Cre*) และตำแหน่งที่จำเพาะเจาะจง (recognition site) คือ *lox P* site ยีน *Cre* เกิดกระบวนการ recombination ตัดส่วน DNA ตรงตำแหน่ง *lox P* (Odell *et al.*, 1990) หลังจากนั้น ยีนคัดเลือกจะถูกตัดออกจากจีโนมพืช สามารถสร้างพืชคัดแปลงพันธุกรรมที่ปราศจากยีนคัดเลือกได้ในรุ่นลูก (ภาพที่ 5)

5.3.2 ระบบ FLP/FRT มาจากเชื้อ Saccharomyces cerevisiae ประกอบด้วยส่วนของยีน FLP ซึ่งทำหน้าที่เป็นยีน recombination และ FRT เป็นตำแหน่งตัดจำเพาะ (FRT site) ซึ่งมีอยู่ 2 ตำแหน่ง และประสิทธิภาพของระบบ FLP/FRT ขึ้นอยู่กับการแสดงออกของยีน FLP ที่จะเกิดกระบวนการ recombination ตัดส่วนยีนคัดเลือกออกจากจีโนมพีชและขึ้นอยู่กับความยาวและโครงสร้างของยีน FRT ด้วย

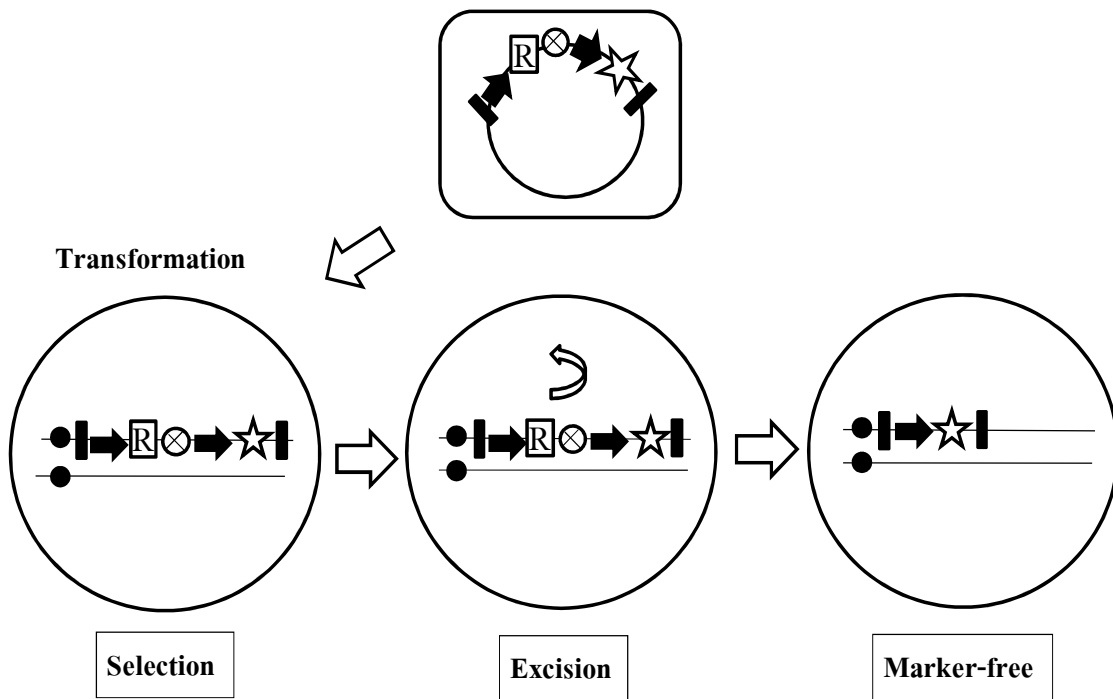
5.3.3 ระบบ R/Rs ซึ่งอาศัยการทำงานของกระบวนการที่เรียกว่า site-specific recombination พลasmid pRS1 ของ *Zygosaccharomyces rouxii* (Araki *et al.*, 1987) ยีน recombinase (R) ตัดคีอีนเอกสารตำแหน่งตัดจำเพาะ recognition site (RS) ซึ่งมีอยู่ 2 ตำแหน่ง Onouchi *et al.* (1991, 1995) และระบบนี้ยีนคัดเลือก (*ipt/rol*) และยีน R ถูกวางไว้ระหว่างตำแหน่ง RS และยีนที่สนใจถูกวางไว้ภายนอก R/RS cassette ซึ่งยีนคัดเลือกนี้จะถูกตัดจากจีโนมพีชที่ตำแหน่ง RS โดยการทำงานของยีน recombinase ทำให้ได้พีชที่มียีนที่ต้องการ แต่ไม่มียีนคัดเลือก (Ebinuma *et al.*, 1997b) (ภาพที่ 6)



ภาพที่ 5 การเกลี่อนข่ายยีนคัดเลือกออกจากระบบโดยวิธี Cre/lox ซึ่งประกอบด้วยยีน lox P ขนาด
ข้างยีนคัดเลือกและอยู่ร่วมกับยีนที่สนใจ ยีน Cre ทำหน้าที่เกลี่อนข่ายยีนคัดเลือกและยีน
ที่สนใจโดยวิธี re-transformation และ cross-pollination และสามารถสร้างพืชดัดแปลง
พันธุกรรมที่ปราศจากยีนคัดเลือกโดยการผสมข้าม

lox P = ตำแหน่งตัวจำเพาะเจาะจง (recognition site) และยีน R (Recombinase) = ยีน cre

\otimes = ยีนคัดเลือก \star = ยีนที่สนใจ \square = LB/RB ของ T-DNA \blacktriangleleft = *lox P* \square = ยีน *cre*



ภาพที่ 6 การผลิตพืชดัดแปลงพันธุกรรมที่ปราศจากยีนคัดเลือกโดยใช้ MAT Vector System

ซึ่งประกอบด้วยยีนที่สับ ใจอยู่ที่ข้างนอกส่วน recognition site ยีนคัดเลือกและยีน recombinase อุปกรณ์ภายในยีน RS, ยีนคัดเลือกจะถูกกำจัดออกจากจีโนมพืช โดยการทำงานของยีน recombinase (R)

\otimes = ยีนคัดเลือก \star = ยีนที่สับใจ \blacksquare = LB/RB ของ T-DNA \blacktriangleleft = RS

Dale and Ow (1991) ศึกษาการถ่ายยีนเข้าสู่ยาสูบโดยใช้เชื้ออะโกรแบคทีเรียม ซึ่งใช้ยีน Cre ในการเคลื่อนย้ายยีนคัดเลือก คือยีน hpt ออกจากจีโนมของพืช โดยระบบนี้ยีนคัดเลือกจะอยู่ในส่วน lox P site ของชุดยีน ส่วนยีนที่ต้องการอุปกรณ์ยานอกตำแหน่ง lox P (luc/lox/hpt/lox) ซึ่งพบต้นยาสูบที่ได้รับการถ่ายยีนจำนวน 78 ต้น มีเพียง 42 ต้น ที่ปราศจากยีนคัดเลือกโดยการทำงานของ Cre/lox

นอกจากนี้ Russell et al. (1992) ถ่ายยีนเข้าสู่ *Arabidopsis* โดยใช้ระบบ Cre/lox พบร่วมกับ *Arabidopsis* ที่ได้รับการถ่ายยีนในรุ่นลูกทั้งหมด 14 ต้น ต้านทานสาร sulfonylurea จำนวน 9 ต้น ทำให้สามารถสร้างพืชดัดแปลงพันธุกรรมที่ปราศจากยีนคัดเลือกได้คิดเป็น 64.3 %

Xiao-Yi *et al.* (2006) ทำการผลิตยาสูบดัดแปลงพันธุกรรมที่ปราศจากยีนคัดเลือกโดยใช้ site-specific recombination ระบบ FLP/FRT โดยใช้เวกเตอร์ pCAMBIA1300-betA-FRT-als-FRT และเวกเตอร์ pCAMBIA1300-HSP-FLP-hpt พบว่าสามารถสร้างต้นยาสูบดัดแปลงพันธุกรรมด้วยวิธี re-transformation และหลังจากนั้นนำมาทำ heat-shock ต่อมายืน FLP recombinase ที่อยู่ภายในได้การควบคุมของ heat-shock inducible promoter (HSP) เกิดกระบวนการ site-specific recombination กำจัดยีนคัดเลือก (als) ออกจากยาสูบดัดแปลงพันธุกรรม (re-transgenic tobacco plants) ทำให้สามารถสร้างยาสูบดัดแปลงพันธุกรรมได้ถึง 41%

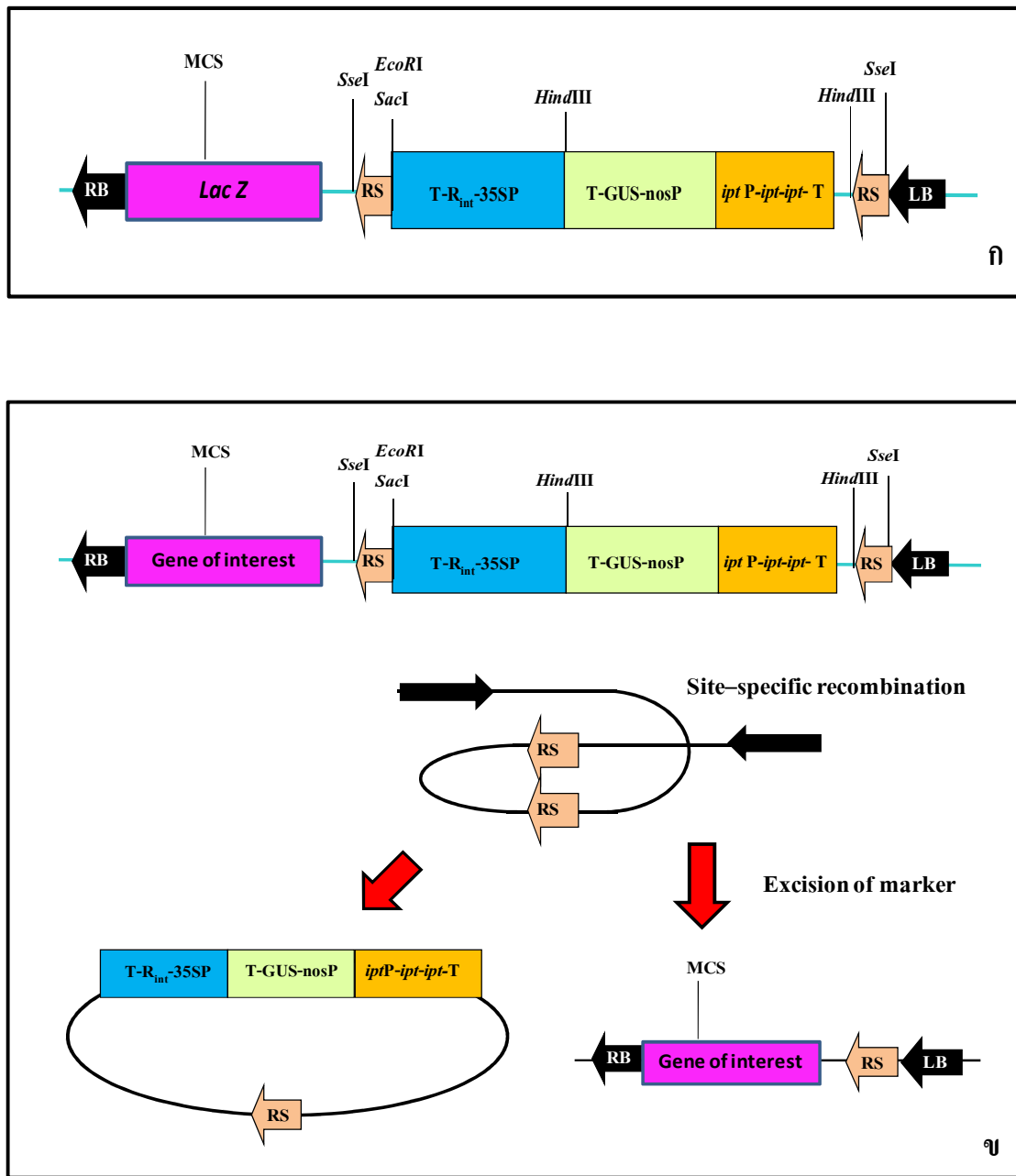
ในการสร้างพืชที่ปราศจากยีนคัดเลือกโดยใช้ oncogenes เป็นยีนที่ใช้คัดเลือกร่วมกับระบบ site-specific recombination เพื่อให้เกิดการพัฒนาของเซลล์พืชที่ผิดปกติเนื่องจากการแสดงออกของยีน *ipt* ที่ใช้เป็นยีนคัดเลือก หลังจากนั้นยีนคัดเลือกจะถูกกำจัดออกจากพืช ทำให้ได้ต้นที่มีลักษณะการเจริญที่ปกติและปราศจากยีนคัดเลือก เรียกว่า Multi-Auto-Transformation Vector System (MATVS) ระบบนี้ชักนำให้เกิดการเปลี่ยนแปลงลักษณะทางสัณฐานวิทยาโดยใช้ยีน *ipt* หรือยีน *rol* จากเชื้ออสต์โรแบคทีเรียมเป็นยีนคัดเลือก และยีน *recombinase (R)* จากยีสต์โดยตั้งอยู่ที่ตำแหน่งที่จำแนก ซึ่งยีนคัดเลือกนี้จะถูกตัดจากจีโนมพืชที่ตำแหน่ง RS และยีนที่ต้องการถูกวางไว้ภายนอก R/RS cassette ซึ่งยีนคัดเลือกนี้จะถูกตัดจากจีโนมพืชที่ตำแหน่ง RS โดยการทำงานของยีน *recombinase* ทำให้ได้พืชที่มียีนที่ต้องการแต่ไม่มียีนคัดเลือก (Ebinuma *et al.*, 1997b)

เวกเตอร์ pMAT21 (ภาพที่ 7ก) อาศัยการทำงานโดยกระบวนการที่เรียกว่า site-specific recombination (ภาพที่ 7ข) ซึ่งเป็นเวกเตอร์ที่สร้างพืชดัดแปลงพันธุกรรมที่ปราศจากยีนคัดเลือก โดยเวกเตอร์นี้ประกอบด้วยยีน *ipt* (*isopentenyl transferase*) ที่ควบคุมการสร้างของริบอฟิโลตีโคนินที่ทำให้เกิดยอดกระฉุก ยีน *gus* ซึ่งเป็นยีนรายงานผล ทำให้เกิดสีน้ำเงินบนเนื้อเยื่อที่ได้รับการถ่ายยีน ยีน *recombinase (R)* ซึ่งตั้งอยู่ภายใต้ recognition site (RS) ทำหน้าที่เกิดกระบวนการที่เรียกว่า site-specific recombination ตัดชุดของยีนคัดเลือกออกจากระบบ ทำให้ได้พืชที่ปราศจากยีนคัดเลือกแต่มียีนที่สนใจ และส่วนของ *lac Z* ที่ตั้งอยู่ภายนอก R/RS cassette เป็นส่วนที่ไว้บรรจุยีนที่สนใจในตำแหน่ง multi-cloning site (Ebinuma *et al.*, 1997a, 1997b)

มีการนำระบบ MAT มาใช้ในการถ่ายยีนเข้าสู่พืชหลาย ๆ ชนิด เพื่อสร้างพืชดัดแปลงพันธุกรรมที่ปราศจากยีนคัดเลือก ได้แก่ ยาสูบ (*Nicotiana tabacum*), snapdragon (*Antirrhinum majus*) ข้าว (Sugita *et al.*, 1999; Cui *et al.*, 2001; Ebinuma and Komamine, 2001; Endo *et al.*, 2002) *Nierembergia caerulea* (Khan *et al.*, 2006), white poplar (*Populus alba* L., cv.

‘Villafranca’) (Zelasco *et al.*, 2007) มันสำปะหลังพันธุ์ KU50 (Saelim *et al.*, 2008) hybrid aspen (*Populus sieboldii* × *P. grandentata*) (Ebinuma and Komamine, 2001), sweet orange (*Citrus sinensis* L.) (Ballester *et al.*, 2007) และ Apricot (Lopez-Noguera *et al.*, 2007)

การสร้างพืชดัดแปลงพันธุกรรมที่ปราศจากยีนคัดเลือกด้วยวิธี co-transformation ประสบความสำเร็จในถั่วเหลืองสายพันธุ์ Thorne ซึ่งมีประสิทธิภาพในการสร้างพืชดัดแปลงพันธุกรรมที่ปราศจากยีนคัดเลือกได้ถึง 37.1% (Ye and Qin 2008) และ canola (*Brassica napus*) ซึ่งมีประสิทธิภาพในการสร้างพืชดัดแปลงพันธุกรรมที่ปราศจากยีนคัดเลือกได้ 1.8%-9.9% (Richael *et al.*, 2008) นอกจากนี้ยังได้มีการปรับปรุงพันธุ์พืชดัดแปลงพันธุกรรมที่ปราศจากยีนคัดเลือก ต้านทานโรคแมลงและทนเค็มได้ เช่น สามารถสร้างมันฝรั่ง 4 สายพันธุ์ (*Solanum tuberosum* cv. Mindnes, Kisvardai Rozsa, Gulbaba และ Russet Burbank) ที่ต้านทานโรค *Potato virus Y* (PVY) โดยถ่ายยืนหุ่ม โปรตีน (ยีน PVY-NTN) ที่อยู่ในลักษณะ hairpin เข้าไปปับบั้งการสร้างยีนหุ่ม โปรตีนของเชื้อ PVY โดยใช้วิธี site specific recombination ระบบ R/RS ซึ่งมียีน *ipt* เป็นยีนคัดเลือก (Bukovinszki *et al.*, 2007) สร้างข้าวที่ต้านทานโรคกาบใบแห้ง (sheath blight resistant transgenic rice plants) โดยถ่ายยืน chitinase (*chi11*) เข้าไปปับบั้งเชื้อรา *Rhizoctonia solani* ที่เป็นสาเหตุของโรคกาบใบแห้งด้วยวิธี co-transformation พบร่วมกับความสามารถยับยั้งเชื้อโรคนี้ได้ 38-40% (Sripriya *et al.*, 2008) สร้างยาสูบที่ต้านทานแมลงปากดูด (*Myzus persiceae*) ซึ่งเป็นแมลงศัตรุพืชที่สำคัญของพืชหลายชนิด เช่น ยาสูบ สามารถสร้างโดยถ่ายยืนที่ต้านทานแมลง (*Allium sativum leaf agglutinin*) โดยใช้ระบบ Cre/lox ซึ่งประกอบด้วย binary vector พบร่วมกับความสามารถดัดแปลงพันธุกรรมที่ปราศจากยีนคัดเลือกได้ถึง 19.2 % (Chakraborti *et al.*, 2008) และใช้ระบบ Cre/lox เช่นเดียวกันในการถ่ายยืน *glyI* จาก *Brassica juncea* ซึ่งเป็นยีนทนเค็มและใช้ salt-inducible rd29A promoter ควบคุมยีน *glyI* ในการถ่ายยืนเข้าสู่ *Arabidopsis thaliana* พบร่วมกับความสามารถสร้าง *Arabidopsis thaliana* ดัดแปลงพันธุกรรมที่ปราศจากยีนคัดเลือกซึ่งทนเค็มได้ถึง 150 มิลลิโมล (Roy *et al.*, 2008) ทำให้เกิดประโยชน์ทางการเกษตรและทำให้ไม่เกิดผลกระทบต่อสิ่งแวดล้อม



ภาพที่ 7 ส่วนประกอบต่าง ๆ ของเวกเตอร์ pMAT21 (γ) และการผลิตพืชดัดแปลงพันธุกรรมที่ปราศจากยีนคัดเลือก โดยวิธี site-specific recombination (ψ)

RB/LB = right border/left border; RS = Recombination site, CaMV-35S-P = 35S-promoter of *Cauliflower mosaic virus*, R_{int} = Recombinase gene with intron sequences from *Eucalyptus* histone gene, *ipt* = isopentenyl transferase gene, GUS = β -glucuronidase gene, MCS = multicloning site, *lac Z* = β -galactosidase gene

อุปกรณ์และวิธีการ

1. การเตรียมเนื้อเยื่อกลวยไม้ที่เหมาะสมสำหรับใช้ในการถ่ายยีน

เตรียม protocorm-like bodies (PLBs) จากส่วนเนื้อเยื่อเจริญ (meristem) โดยการนำหน่ออ่อนของกลวยไม้สกุลหวายพันธุ์ป้อมป้าดัวร์มาฟอกผ่าเชือกที่ผิวโลกกานใบออกจนเหลือส่วนปลายยอด ตัดเฉพาะส่วนเนื้อเยื่อเจริญขนาดประมาณ 0.2-0.3 มิลลิเมตร ภายใต้กล้องจุลทรรศน์แบบ stereomicroscope นำเนื้อเยื่อมาเพาะเลี้ยงในอาหารเหลาสูตร VW (Vacin and Went, 1949) เปลี่ยนอาหารทุก ๆ 2 สัปดาห์ หลังจากนั้นประมาณ 6 เดือน นำ PLBs ที่เพาะเลี้ยงได้ไปตรวจสอบด้วย GLIFT kit เพื่อตรวจหา PLBs ที่ปลดปล่อยเชื้อไวรัส *Cymbidium mosaic virus* (CyMV) และ *Odontoglossum ringspot virus* (ORSV) จากนั้นนำ PLBs ที่ปราศจากเชื้อไวรัสมาเพาะเลี้ยงเพิ่มปริมาณเพื่อใช้ในการถ่ายยีน

2. การศึกษาปัจจัยต่าง ๆ ที่มีผลต่อการถ่ายยีนเข้าสู่ PLBs ของกลวยไม้สกุลหวายพันธุ์ป้อมป้าดัวร์โดยการใช้เวกเตอร์ pMAT21

นำเนื้อเยื่อ PLBs ของกลวยไม้สกุลหวายพันธุ์ป้อมป้าดัวร์ที่ปราศจากเชื้อไวรัส มาใช้ในการถ่ายยีน โดยใช้เวกเตอร์ pMAT21 ซึ่งได้รับความอนุเคราะห์มาจาก Dr. H. Ebinuma (Nippon Paper Industries Co. Ltd., Japan) (ภาพที่ 7) ซึ่งมียีน *ipt* (*isopentenyl transferase*) ที่ควบคุมการสร้างฮอร์โมน cytokinin เป็นยีนคัดเลือก และมียีน *gus* เป็นยีนรายงานผล โดยศึกษาปัจจัยต่าง ๆ ดังต่อไปนี้ คือ

2.1 สายพันธุ์ของเชื้ออะโกรแบคทีเรียมที่เหมาะสมกับการถ่ายยีน โดยทำการทดสอบเชื้ออะโกรแบคทีเรียม 3 สายพันธุ์ที่บรรจุเวกเตอร์ pMAT21 ได้แก่ AGL-1:: pMAT21, C58:: pMAT21 และ EHA105:: pMAT21

2.2 ความเข้มข้นของเชื้ออะโกรแบคทีเรียม โดยวัดจากค่าการดูดกลืนแสงที่ความยาวคลื่น 600 นาโนเมตร ของสารแวนโนลอยเชื้ออะโกรแบคทีเรียมที่เหมาะสม (จากข้อ 2.1) โดยทำการทดสอบค่าการดูดกลืนแสงที่ความยาวคลื่น 600 นาโนเมตร (OD_{600}) ที่ช่วงต่าง ๆ ดังนี้ 0.80-1.20, 1.21-1.60 และ 1.61-2.00

2.3 การทดสอบความเจือจางของสารแ变幻ลอยเชื้ออะโกรแบคทีเรียมที่เหมาะสมสำหรับการถ่ายยีน โดยทำการเจือจางสารแ变幻ลอยเชื้ออะโกรแบคทีเรียม ณ ช่วงค่า OD₆₀₀ ที่ได้จากการทดสอบข้อ 2.2 ดังนี้ 1:0, 1:1, 1:10, 1:20, 1:50 และ 1:100 (สารแ变幻ลойเชื้อ : อาหารเหลวสูตร VW) (ตารางภาคผนวกที่ 1)

2.4 การทดสอบระยะเวลาในการ co-cultivation ระหว่างสารแ变幻ลอยเชื้ออะโกรแบคทีเรียมกับเนื้อเยื่อกล้ามไม่มีได้แก่ 10, 30 และ 60 นาที

2.5 การทดสอบวิธีการ co-cultivation ระหว่างสารแ变幻ลอยเชื้ออะโกรแบคทีเรียมกับเนื้อเยื่อกล้ามไม่มีได้แก่ การเขย่าเป็นครั้งคราวทุก ๆ 5 นาทีเป็นเวลา 30 นาที, การใช้ vortex mixer ขึ้ห้อ vortex-2 Genie ที่ความเร็วระดับ 7 และการใช้เครื่องเขย่าที่ความเร็ว 175 รอบต่อนาที

2.6 การทดสอบปริมาณของสาร celite ซึ่งเป็นสารที่ทำให้เกิดบาดแผลกับเนื้อเยื่อพืชที่มีผลต่อการถ่ายยีนเข้าสู่เนื้อเยื่อกล้ามไม่โดยเชื้ออะโกรแบคทีเรียม

2.7 การทดสอบระดับความเข้มข้นของสารปฏิชีวนะ cefotaxime ที่มีผลต่อการเจริญเติบโตของเนื้อเยื่อกล้ามไม่มี

2.8 การทดสอบระดับความเข้มข้นของสารปฏิชีวนะ cefotaxime ที่สามารถกำจัดเชื้ออะโกรแบคทีเรียมออกจากเนื้อเยื่อกล้ามไม้ม้ายหลังจากการถ่ายยีน

ทำการตรวจสอบประสิทธิภาพการส่งถ่ายยีน gus เข้าสู่เนื้อเยื่อกล้ามไม้ด้วยวิธี histochemical assay (Jefferson, 1987) ภายหลังการถ่ายยีนเป็นเวลา 7 วัน นำ PLBs มาแช่ในสารละลาย 5-bromo-4-chloro-3-indolyl-β-D-glucuronide (X-Gluc) บ่มที่อุณหภูมิ 37 องศาเซลเซียส นาน 12-16 ชั่วโมง จากนั้นกำจัดสีเขียวของคลอโรฟิลล์ออกด้วยแอลกอฮอล์ 70 เปอร์เซ็นต์ ตรวจผลโดยการนับ PLBs ที่ติดสีน้ำเงิน การทดลองครั้งนี้ทดสอบปัจจัยละ 3 ชั้น ๆ ละ 20 ชิ้น และนำมาวิเคราะห์ค่าทางสถิติด้วย Duncan's Multiple Range Test (DMRT) โดยใช้โปรแกรม SPSS 15.0 Family Serial 5048214

3. การสร้าง construct ของยีน ACS และ ACO เข้าสู่เวกเตอร์ pMAT 21

ยีนที่เกี่ยวข้องกับการสังเคราะห์อีลีนของดอกกล้วยไม้พันธุ์ป้อมปาด้วรซึ่งได้แก่ ยีน *ACS* (GeneBank Accession No. EF488013) และยีน *ACO* (GeneBank Accession No. EF487342) ซึ่งได้รับความอนุเคราะห์จากโครงการวิจัย “การยืดอายุการปักแจกนของกล้วยไม้สกุลหวาน” ซึ่งทางโครงการได้แบ่งยีน *ACS* และ *ACO* แต่ละยีนออกเป็นส่วนต่าง ๆ 3 ส่วน ได้แก่ บริเวณ 5' ของยีน (ส่วน A), บริเวณ central region (ส่วน B) และบริเวณ 3' ของยีน (ส่วน C) ซึ่งเรียกว่า *ACSA*, *ACSB*, *ACSC* สำหรับยีน *ACS* และ *ACOA*, *ACOB*, *ACOC* สำหรับยีน *ACO* ตามลำดับ และยีนดังกล่าวถูกสร้างเป็น construct ในลักษณะที่เป็น antisense ใน pCAMBIA 1304 ซึ่งเป็น plant expression vector เพื่อใช้ในการถ่ายยีนเข้าสู่กล้วยไม้ (ภาพที่ 8 และ 9) ดังนั้นจึงข่ายชุดยีนซึ่งประกอบด้วย 35S promoter, ยีน *ACS* หรือยีน *ACO* (antisense orientation) และ NOS-terminator ไปสู่เวกเตอร์ pMAT21 ซึ่งเป็นเวกเตอร์สำหรับการสร้าง marker-free transgenic orchid (ภาพที่ 10) โดยได้ออกแบบไพรเมอร์เพื่อย้ายชุดยีนดังกล่าวโดยใช้ไพรเมอร์ 35S-SmaI (5' GG CCC GGG CAT GGA GTC AAA GAT TCA AA 3') และไพรเมอร์ NOS-T-SmaI (5' GG CCC GGG CCC GAT CTA GTA ACA TAG AT 3') ซึ่งมีลำดับเบสของendonuclease *SmaI* (CCCGGG) ตรงส่วนปลาย 5' ของแต่ละไพรเมอร์ เพื่อสะดวกในการโคลนเข้าสู่ตำแหน่ง *SmaI* ของเวกเตอร์ pMAT21

การทำปฏิกิริยา PCR โดยใช้ construct ของยีน AS-*ACS* และ AS-*ACO* ในเวกเตอร์ pCAMBIA 1304 เป็นดีเอ็นเอต้นแบบ ได้แก่ p1304-AS-*ACSA*, p1304-AS-*ACSB* และ p1304-AS-*ACSC* สำหรับยีน *ACS* และ p1304-AS-*ACOA*, p1304-AS-*ACOB* และ p1304-AS-*ACOC* สำหรับยีน *ACO* เป็นต้นแบบในการทำปฏิกิริยา PCR โดยใช้ไพรเมอร์ 35S-SmaI และ NOS-T-SmaI ส่วนประกอบของปฏิกิริยาปริมาตรรวม 25 ไมโครลิตร ประกอบด้วย 10X PCR buffer (500 mM KCl, 200 mM Tris HCl, pH 8.4) ปริมาตร 2.5 ไมโครลิตร, 50 mM MgCl₂ ปริมาตร 1 ไมโครลิตร, 2 mM dNTP ปริมาตร 2 ไมโครลิตร, 20 μM ไพรเมอร์ แต่ละชนิดปริมาตร 0.5 ไมโครลิตร และ *Taq* DNA polymerase (0.02 ยูนิตต่อ ไมโครลิตร; Invitrogen, USA) ปริมาตร 1 ไมโครลิตร เริ่มปฏิกิริยา PCR โดยใช้อุณหภูมิสำหรับ denaturation ในครั้งแรกที่ 94 องศาเซลเซียส เป็นเวลา 3 นาที จากนั้นทำปฏิกิริยา PCR จำนวน 30 รอบ โดยใช้อุณหภูมิสำหรับ denaturation, annealing และ extension เป็น 94, 55 และ 72 องศาเซลเซียส เป็นเวลา 30 วินาที, 30 วินาที และ 1 นาที ตามลำดับ และใช้อุณหภูมิสำหรับ extension รอบสุดท้าย 72 องศาเซลเซียส เป็นเวลา 7 นาที ตรวจสอบขนาดดีเอ็นเอด้วย 0.8% agarose gel electrophoresis ได้ผลผลิตของแต่ละยีน และตัดແ劈ดีเอ็นเอขนาด

ตามชุดขึ้นที่ต้องการ (ตารางที่ 1) แล้วทำการสกัดแยกดีเอ็นเอที่ต้องการจากแผ่นเจลด้วยวิธี QIA Quick Gel Extraction Kit (QIAGEN, USA) ตรวจสอบขนาดดีเอ็นเอด้วย 0.8% agarose gel electrophoresis

นำดีเอ็นเอที่สกัดได้ด้วยวิธี QIA Quick Gel Extraction Kit (QIAGEN, USA) มาเข้ามอต์อ กับพลาสมิดพาหะ pGEM[®]-T Easy Vector (Promega, USA) ด้วยอนไซซ์มีไลเกส โดยปฏิกริยา ประกอบด้วยดีเอ็นเอ 5' ไมโครลิตเตอร์, 10X ligation buffer (60 mM Tris HCl pH 7.8, 20 mM MgCl₂, 20 mM DTT, 2 mM ATP, 10% polyethylene glycol) ปริมาตร 1 ไมโครลิตเตอร์, pGEM[®]-T Easy Vector (25 นาโนกรัมต่อไมโครลิตเตอร์) ปริมาตร 0.5 ไมโครลิตเตอร์ และ T4 DNA ligase (400 ยูนิตต่อไมโครลิตเตอร์; Biolabs, USA) ปริมาตร 1 ไมโครลิตเตอร์ เดินนำ๊าให้ครบ 10 ไมโครลิตเตอร์ ทำปฏิกริยาที่ อุณหภูมิ 16 องศาเซลเซียส เป็นเวลา 12-16 ชั่วโมง นำดีเอ็นเอสายพสม (recombinant DNA) ที่ได้ ถ่ายเข้าสู่เชื้อบакทีเรีย *E. coli* สายพันธุ์ XL1-blue ด้วยวิธี heat shock transformation ที่อุณหภูมิ 42 องศาเซลเซียส เป็นเวลา 1 นาที กัดเลือกเซลล์ที่ได้รับดีเอ็นเอสายพสมด้วยระบบ blue-white colony บนอาหารเลี้ยงเชื้อที่มีสารปฏิชีวนะแอมพิชิลิน 100 มิลลิกรัมต่อลิตร และเดิน IPTG (100 มิลลิโน ลาร์) 100 ไมโครลิตเตอร์ และ X-Gal (20 มิลลิกรัมต่อมิลลิลิตร) 50 ไมโครลิตเตอร์ กัดเลือกโคลoni สีขาวที่ คาดว่าจะมีดีเอ็นเอสายพสม สกัดแยกดีเอ็นเอจากเซลล์โดยวิธี Alkaline lysis (Sambrook *et al.*, 1989) โดยเลี้ยงเชื้อในอาหารเหลว 2X-YT ที่เติมสารปฏิชีวนะแอมพิชิลิน 100 มิลลิกรัมต่อลิตร ปริมาตร 1 มิลลิลิตร ที่อุณหภูมิ 37 องศาเซลเซียส เขย่าด้วยความเร็ว 200 รอบต่อนาที เป็นเวลา 12-16 ชั่วโมง หลังจากนั้นทำการสกัดดีเอ็นเอโดยตกละ恭นเซลล์ใน Solution I (50 mM glucose, 25 mM Tris-HCl, pH 8.0, 10 mM EDTA, pH 8.0) ปริมาตร 100 ไมโครลิตเตอร์ แช่ในน้ำแข็ง 5 นาที จากนั้นเติม Solution II [0.2 N NaOH, 1% SDS] ปริมาตร 200 ไมโครลิตเตอร์ ผสมให้เข้ากันโดยพลิกหลอดกลับไปมาแช่น้ำแข็ง เป็นเวลา 5 นาที เติม Solution III (3 M potassium acetate, 0.2 M glacial acetic acid) ปริมาตร 150 ไมโครลิตเตอร์ ผสมให้เข้ากันโดยพลิกหลอดกลับไปมา แล้วแช่น้ำแข็งทันทีเป็นเวลา 5 นาที ปั่นหมุน เหวี่ยงด้วยความเร็ว 10,000 รอบต่อนาทีนาน 5 นาที ดูดส่วนใสประมาณ 400 ไมโครลิตเตอร์ มาเติม PCI (phenol:chroloform:isoamyl อัตราส่วน 25:24:1 โดยปริมาตร) ในอัตราส่วน 1:1 ผสมให้เข้ากัน ด้วยเครื่อง vortex แล้วหมุนเหวี่ยงด้วยความเร็ว 10,000 รอบต่อนาที นาน 5 นาที นำส่วนใสมาเติม 2.5 เท่าของ absolute ethanol แล้วแช่ที่อุณหภูมิ -20 องศาเซลเซียส เป็นเวลา 30 นาที แล้วนำมา หมุนเหวี่ยงเพื่อตกละ恭นดีเอ็นเอด้วยความเร็ว 10,000 รอบต่อนาที นาน 5 นาที จากนั้นจึงล้าง ตกละ恭นด้วย 70% ethanol ปริมาตร 500 ไมโครลิตเตอร์ หมุนเหวี่ยงความเร็ว 10,000 รอบต่อนาที เป็นเวลา 5 นาที ทำการตกละ恭นให้แห้งแล้วละลายตกละ恭นด้วย TE buffer (10 mM Tris, pH 8.0 และ

1 mM EDTA, pH 8.0) ที่มี RNase A 20 ไมโครกรัมต่อมิลลิลิตร ปริมาตร 20 ไมโครลิตร เพื่อกำจัดอาร์เอ็นเอ ตรวจสอบพลาสมิดลูกผสมที่ได้ด้วยการตัดดีเอ็นเอด้วยเอนไซม์ *Sma*I โดยใช้ดีเอ็นเอ 5 ไมโครลิตร, 10X NEB buffer 4 (50 mM potassium acetate, 20 mM Tris-acetate, 10 mM magnesium acetate, 1 mM dithiothreitol, pH 7.9) ปริมาตร 1 ไมโครลิตรและเอนไซม์ *Sma*I (20 ยูนิตต่อ ไมโครลิตร; BioLabs, USA) ปริมาตร 0.2 ไมโครลิตรเติมน้ำให้ครบ 10 ไมโครลิตร ทำปฏิกิริยาที่อุณหภูมิ 25 องศาเซลเซียส เป็นเวลา 12-16 ชั่วโมง ตรวจสอบขนาดดีเอ็นเอด้วย 0.8% agarose gel electrophoresis เลือกดีเอ็นเอขนาดตามชุดยืนที่ต้องการ (ตารางที่ 1) ทำการสกัดแยกดีเอ็นเอที่ต้องการจากแผ่นเจลโดยใช้ QIA Quick Gel Extraction Kit (QIAGEN, USA) ตรวจสอบขนาดดีเอ็นเอด้วย 0.8% agarose gel electrophoresis

เตรียมเวกเตอร์ pMAT21 ขนาด 17.1 กิโลเบส เพื่อใช้ในการสร้าง construct โดยใช้ดีเอ็นเอของ pMAT21 ปริมาตร 15 ไมโครลิตร, 10X NEB buffer 4 (50 mM potassium acetate, 20 mM Tris-acetate, 10 mM magnesium acetate, 1 mM dithiothreitol, pH 7.9) ปริมาตร 10 ไมโครลิตร และเอนไซม์ *Sma*I (20 ยูนิตต่อ ไมโครลิตร; Biolabs, USA) ปริมาตร 4 ไมโครลิตร เติมน้ำให้ครบ 60 ไมโครลิตร ทำปฏิกิริยาที่อุณหภูมิ 25 องศาเซลเซียส เป็นเวลา 12-16 ชั่วโมง จากนั้นเติม PCI เพื่อกำจัดเอนไซม์ แล้วนำดีเอ็นเอที่ได้ไปทำ dephosphorylation เพื่อกำจัดหมู่ฟอสเฟตที่ปลาย 5' ของดีเอ็นเอ โดยใช้ *Sma*I-digested pMAT21 ปริมาตร 25 ไมโครลิตร 10X NEB buffer 3 (100 mM NaCl, 50 mM Tris-HCl, 10 mM MgCl₂, 1 mM dithiothreitol, pH 7.9) ปริมาตร 10 ไมโครลิตร เอนไซม์ calf intestinal alkaline phosphatase (CIAP 1 ยูนิตต่อ ไมโครลิตร; Biolabs, USA) ปริมาตร 3 ไมโครลิตร เติมน้ำให้ครบ 100 ไมโครลิตร ทำปฏิกิริยาที่อุณหภูมิ 37 องศาเซลเซียส เป็นเวลา 15 นาที จากนั้นเติม CIAP เพิ่มอีก 3 ไมโครลิตร ทำปฏิกิริยาที่ 55 องศาเซลเซียส เป็นเวลา 15 นาที เติม 0.5% SDS จำนวน 5 ไมโครลิตร และ 5 mM EDTA จำนวน 1 ไมโครลิตร ผสมให้เข้ากันแล้วเติม proteinase K (1 มิลลิกรัมต่อมิลลิลิตร) ปริมาตร 10 ไมโครลิตร ทำปฏิกิริยาที่อุณหภูมิ 56 องศาเซลเซียส เป็นเวลา 30 นาที ทำการสกัดดีเอ็นเอด้วย PCI และละลายดีเอ็นเอด้วยน้ำ 20 ไมโครลิตร ตรวจสอบขนาดดีเอ็นเอด้วย 0.8% agarose gel electrophoresis และตรวจสอบการเกิด dephosphorylation ว่าเกิดขึ้นสมบูรณ์หรือไม่ โดยการทำด้วย self-ligation ของ pMAT21 ที่ผ่านการทำ dephosphorylation

เชื่อมต่อชุดยืน AS-ACS และยืน AS-ACO ซึ่งถูกตัดด้วยเอนไซม์ *Sma*I ต่อเข้ากับเวกเตอร์ pMAT21 ส่วนผสมของปฏิกิริยาประกอบด้วยชุดยืน AS-ACS cassette หรือชุดยืน AS-ACO cassette ปริมาตร 15 ไมโครลิตร, *Sma*I-digested pMAT21 ที่ผ่านการทำ dephosphorylation ปริมาตร

1 ไมโครลิตร, 10X T4 DNA ligase reaction buffer (500 mM Tris-HCl, pH 7.5, 100 mM MgCl₂, 100 mM dithiothreitol, 10 mM ATP) ปริมาตร 1 ไมโครลิตร, เอนไซม์ T4 DNA ligase (400 ยูนิตต่อไมโครลิตร; Biolabs, USA) ปริมาตร 1 ไมโครลิตร เติมน้ำให้ครบ 20 ไมโครลิตร ทำปฏิกิริยาที่ 16 องศาเซลเซียส เป็นเวลาอย่างน้อย 16 ชั่วโมง จนนั้นเคลื่อนย้ายพลาสมิดสายพสมเข้าสู่ *A. tumefaciens* สายพันธุ์ EHA105 (ซึ่งเป็นสายพันธุ์ที่ได้จากการทดสอบปัจจัย) โดยวิธี electroporation

3.1 การเตรียม competent cell ของเชื้อ *A. tumefaciens* สำหรับการทำ electroporation

นำโคลoniเดียวของเชื้อ *A. tumefaciens* สายพันธุ์ EHA105 หรือ C58 หรือ AGL-1 มาเลี้ยงในอาหารเหลว 2X-YT ปริมาตร 5 มิลลิลิตร ที่อุณหภูมิ 28 องศาเซลเซียส เบ่งด้วยความเร็ว 250 รอบต่อนาที เป็นเวลา 16-18 ชม. นำเชื้อที่เลี้ยงไว้ 1 มิลลิลิตร มาเลี้ยงต่อในอาหาร 2X-YT ปริมาตร 100 มิลลิลิตร ที่อุณหภูมิ 28 องศาเซลเซียส เป็นเวลา 3 ชั่วโมง หรือมีค่า OD_{600nm} ประมาณ 0.25-0.3 หมุนเหวี่ยงแยกเซลล์ออกจากอาหารด้วยความเร็ว 8,000 รอบต่อนาที ที่อุณหภูมิ 4 องศาเซลเซียส เป็นเวลา 15 นาที ละลายตะกอนเซลล์ใน 10% sterile glycerol ที่แช่ไว้ในที่เย็นปริมาตร 100 มิลลิลิตร แช่น้ำแข็งเป็นเวลา 30 นาที จนนั้นนำมาตกตะกอนเซลล์ด้วยความเร็ว 8,000 รอบต่อนาที ที่อุณหภูมิ 4 องศาเซลเซียส เป็นเวลา 15 นาที ละลายตะกอนเซลล์ใน 10% sterile glycerol ที่แช่ไว้ในที่เย็นปริมาตร 20 มิลลิลิตร ปั่นตกตะกอนเซลล์ด้วยความเร็ว 8,000 รอบต่อนาที ที่อุณหภูมิ 4 องศาเซลเซียส เป็นเวลา 15 นาที ละลายตะกอนเซลล์ใน 10% sterile glycerol ที่แช่ไว้ในที่เย็นปริมาตร 2 มิลลิลิตร แบ่งใส่หลอด หลอดละ 120 ไมโครลิตร ทำให้เซลล์แข็งอย่างรวดเร็วในไนโตรเจนเหลวเก็บเซลล์ไว้ที่ -80 องศาเซลเซียส เพื่อนำมาใช้ในการเคลื่อนย้ายพลาสมิดเข้าสู่เซลล์ด้วยวิธี electroporation (Walkerpeach and Velten, 1994)

3.2 ขั้นตอนการถ่ายชุดยีน AS-ACS หรือ AS-ACO cassette เข้าสู่เชื้ออะโกรแแบคทีเรียม

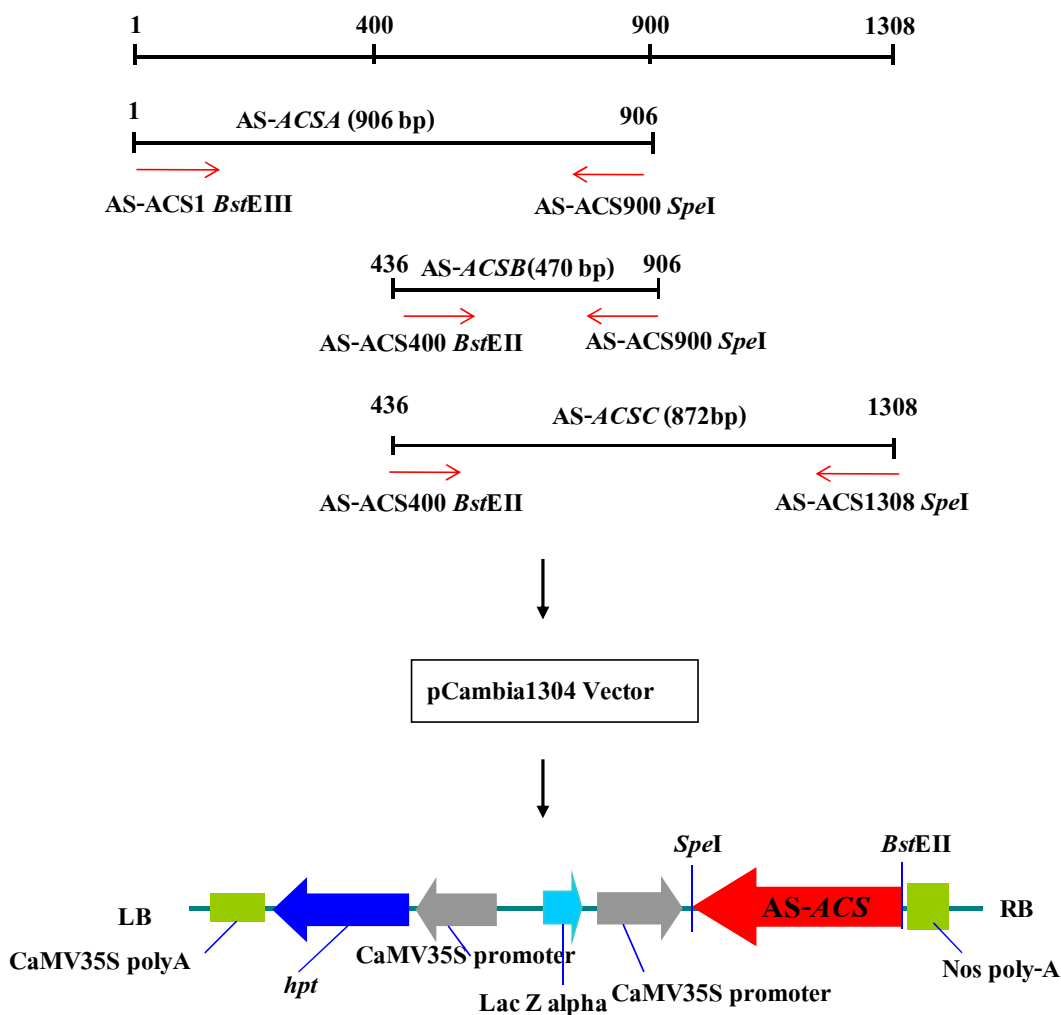
นำดีเอ็นเอสายพสม pMAT-AS-ACS หรือ pMAT21-AS-ACO ถ่ายเข้าสู่เซลล์อะโกรแแบคทีเรียมด้วยวิธี electroporation (Walkerpeach and Velten, 1994) โดยนำ competent cell ของเชื้ออะโกรแแบคทีเรียมสายพันธุ์ที่ได้จากการทดสอบปัจจัย ปริมาตร 120 ไมโครลิตร มาแช่น้ำแข็งให้เย็นจัด เติมพลาสมิดสายพสมปริมาตร 2 ไมโครลิตร (2.5 ไมโครกรัมต่อไมโครลิตร) ผสมให้เข้ากันแล้วเติมลงใน cuvette แช่น้ำแข็ง เป็นเวลา 10-20 นาที ใช้สภาวะการถ่ายยีนเข้าสู่เซลล์อะโกรแแบคทีเรียมตามคำแนะนำของบริษัท Bio-Rad โดยใช้เครื่อง Gene Pulser ซึ่งตั้งค่าการใช้

งานดังนี้ Cuvette Gap 0.2 cm, Voltage 2.5 kV, Capacitor 25 μ F, Resistor 400 Ω และ time constant 8-9 msec เซ็ต cuvette ให้แห้งแล้วใส่ในช่องสำหรับผ่านกระแสไฟฟ้า กดปุ่ม pulse ที่หน้าจอจะปรากฏเลข 9 ซึ่งแสดงว่าได้ผ่านกระแสไฟแล้ว จากนั้นดึง cuvette ออก แล้วใช้พลาสเซอร์ปีเพตต์ข่ายเซลล์ใส่ในหลอดขนาด 1.5 มิลลิลิตร ที่มีอาหารเหลว 2X-YT ปริมาตร 1 มิลลิลิตร ผสมอาหารกับเซลล์เลี้ยงเชื้อโดยนำໄไปเบย่าที่ความเร็ว 200 รอบต่อนาที อุณหภูมิ 28 องศาเซลเซียส เป็นเวลา 1 ชั่วโมง นำเชื้อ 100 ไมโครลิตร และ 200 ไมโครลิตร มาเลี้ยงบนอาหารแข็ง 2X-YT ที่เติมสารปฏิชีวนะกามามัยชินความเข้มข้น 50 มิลลิกรัมต่อลิตร เลี้ยงเชื้อที่อุณหภูมิ 28 องศาเซลเซียส นาน 2-3 วัน ตรวจสอบชุดขึ้น AS-ACS หรือ AS-ACO จากโคลนที่เจริญได้บนอาหารทัดเดือดด้วยวิธี PCR โดยใช้ไพรเมอร์ 35S-SmaI กับ NOST-SmaI ตรวจสอบคีอีเอ็นเอที่สังเคราะห์ได้ด้วย 0.8% agarose gel electrophoresis จากนั้นนำโคลนที่ได้มาใช้ในการถ่ายทอดเชื้อกลับไปทับที่ไม้พันธุ์ป้อมปาดัวร์ต่อไป

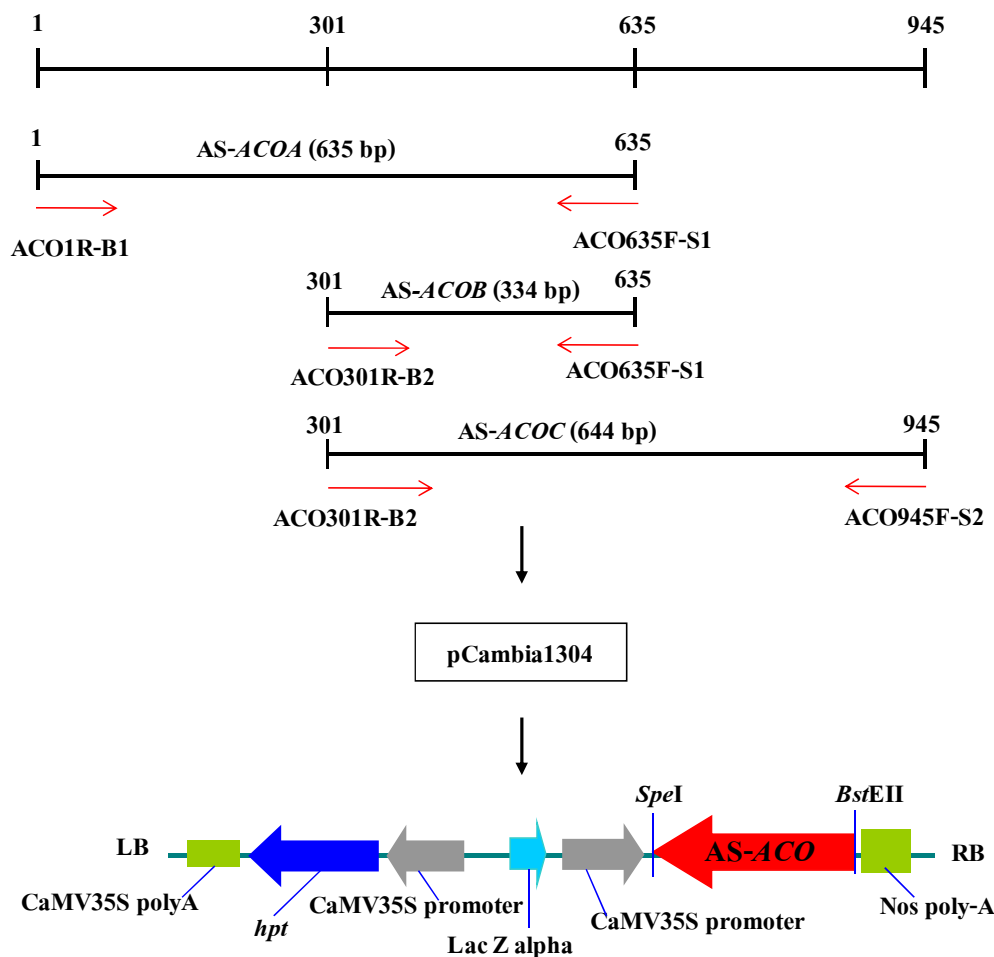
ตารางที่ 1 ชุดยีน AS-ACS และยีน AS-ACO ในເວັກເຕອຣ໌ pMAT21 ທີ່ໃຊ້ໃນການຄ່າຍືນເຂົ້າສູ່ກລ້າຍໄມ້ສຸລະຫວາຍພັນຖຸປ່ອມປາດວັງ

ชนาດ ຢືນ	ຂອງ ຢືນ	ດີເອັນເດັ່ນແບບຂອງ PCR ໃຫ້ໄພຮມອ່ວ໌ 35P-SmaI/ NOST-Sma I	ชຸດຢືນ	ຂາດຂອງ ຈຸດຢືນ ທັງໝາດ ^{1/} (bp)	
ຢືນ ACS					
ACSA	906	p1304 AS-ACSA	1697	pMAT21-AS-ACSA	18,797
ACSB	470	p1304 AS-ACSB	1261	pMAT21-AS-ACSB	18,361
ACSC	872	p1304 AS-ACSC	1663	pMAT21-AS-ACSC	18,763
ຢືນ ACO					
ACOA	635	p1304 AS-ACOA	1426	pMAT21-AS-ACOA	18,526
ACOB	334	p1304 AS-ACOB	1125	pMAT21-AS-ACOB	18,225
ACOC	644	p1304 AS-ACOC	1435	pMAT21-AS-ACOC	18,535

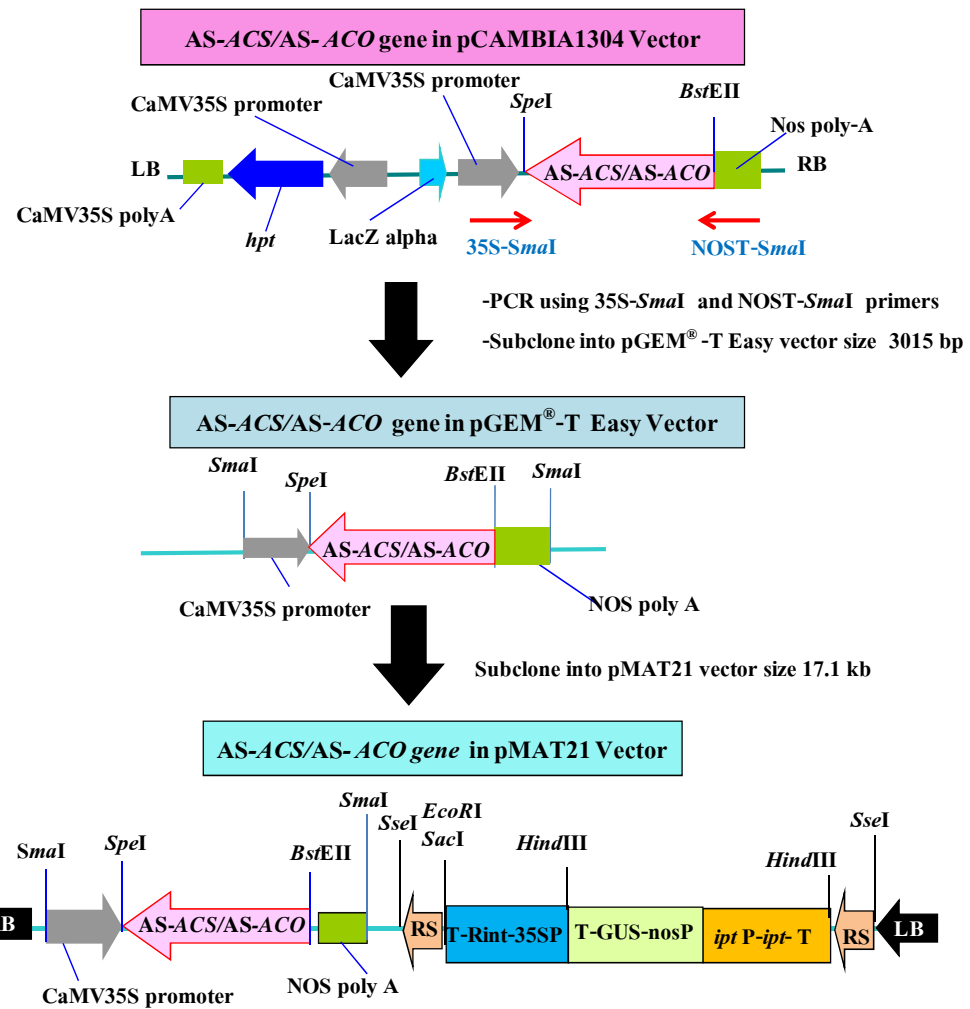
^{1/}ຈຸດຢືນປະກອບດ້ວຍເວັກເຕອຣ໌ pMAT21 ມີຂາດ 17,100 ຄູ່ບັສ, CaMV-35S promoter ຂາດ 538 ຄູ່ບັສ, ຢືນຕິນແບບ ໃດ້ແກ່ ຢືນ AS-ACS ຮີ້ອ AS-ACO ແລະ NOS terminator ຂາດ 253 ຄູ່ບັສ



ภาพที่ 8 แผนภาพแสดงส่วนต่าง ๆ ของยีน *ACS* ในลักษณะ antisense (AS-*ACS*) ซึ่งแบ่งเป็น 3 ส่วน ได้แก่ AS-*ACSA*, AS-*ACSB* และ AS-*ACSC* และชนิดของไพรเมอร์ที่นำมาใช้ในการสร้าง construct ของยีน AS-*ACS* ใน plant expression vector pCAMBIA1304 ในตำแหน่ง *Spe*I และ *Bst*EII



ภาพที่ 9 แผนภาพแสดงส่วนต่าง ๆ ของยีน *ACO* ในลักษณะ antisense (AS-*ACO*) ซึ่งแบ่งเป็น 3 ส่วน ได้แก่ AS-*ACOA*, AS-*ACOB* และ AS-*ACOC* และชนิดของไพรเมอร์ที่นำมาใช้ในการสร้าง construct ของยีน AS-*ACO* ใน plant expression vector pCAMBIA1304 ในตำแหน่ง *SpeI* และ *Bst*EII



ภาพที่ 10 ขั้นตอนการสร้างชุดยีน AS-ACS และ AS-ACO เข้าสู่เวกเตอร์ pMAT21

โดยเริ่มจากการเพิ่มปริมาณดีอีนของยีน AS-ACS และยีน AS-ACO ที่อยู่ในเวกเตอร์ pCAMBIA1304 ซึ่งประกอบด้วย 35S promoter, AS-ACS หรือ AS-ACO และ NOS-T ยีนชุดยีนเข้าสู่เวกเตอร์ pGEM®-T Easy จากนั้นทำการยืดชุดยีนเข้าสู่เวกเตอร์ pMAT21 ที่ดำเนินการดังนี้จะได้ pMAT21-AS-ACS หรือ pMAT21-AS-ACO

ประกอบด้วยส่วนต่าง ๆ ดังนี้คือ RB = right border, LB = left border;

RS = Recombination site, CaMV-35SP = 35S-promoter of *Cauliflower mosaic virus*;

R_{int} = Recombinase gene with intron sequences, *ipt* = isopentenyl transferase gene,

MCS = multicloning site, AS-ACO = antisense-1-aminocyclopropane-1-carboxylic acid oxidase (ACO) gene, AS-ACS = antisense-1-aminocyclopropane-1-carboxylic acid synthase (ACS) gene, *gus* gene = β -galactosidase gene

3.3 การถ่ายยีน AS-ACS หรือยีน AS-ACO เข้าสู่ PLBs ของกล้วยไม้สกุลหวานพันธุ์ป้อมป่าด้วร์

หลังจากได้ทำการทดสอบปัจจัยต่าง ๆ แล้วจึงได้นำผลการทดสอบมาใช้ในการถ่ายยีนซึ่งมีวิธีการดังนี้

3.3.1 เตรียมเชื้ออุ่น โกรแบคทีเรียมที่มีพลาสมิดสายพสม

การเตรียมเชื้อ *A. tumefaciens* สายพันธุ์ที่ได้จากการทดสอบปัจจัยที่บรรจุชุดขึ้นของ pMAT21-AS-ACS หรือ pMAT21-AS-ACO (ตารางที่ 1) โดยการเติบโตเชื้ออุ่น โกรแบคทีเรียมในอาหารเหลว 2X-YT ที่เติมสารปฏิชีวนะการนามัยชิน ความเข้มข้น 50 มิลลิกรัมต่อลิตร และเติมสาร acetosyringone ความเข้มข้น 200 ไมโครโมลาร์ เลี้ยงเชื้อบนเครื่องเทาด้วยความเร็ว 200-250 รอบต่อนาที ที่อุณหภูมิ 28 องศาเซลเซียส เป็นเวลา 16-18 ชั่วโมง จากนั้นนำมาวัดค่าความเข้มข้นของเชื้อให้ได้ค่า OD_{600nm} ประมาณ 1.61-2.00 นำเชื้อที่เติบโตได้มาปั่นตกลอกนเซลล์แล้วเจือจางเซลล์ในอาหารเหลวสูตร VW ที่ไม่เติมน้ำมะพร้าวในอัตรา 1:1 (สารแ xenobiotin : อาหารเหลวสูตร VW) ซึ่งมีความเข้มข้นประมาณ 4.1×10^{17} cfu/ml และเติมสาร acetosyringone ความเข้มข้น 200 ไมโครโมลาร์

3.3.2 การถ่ายยีนเข้าสู่กล้วยไม้พันธุ์ป้อมป่าด้วร์โดยใช้เชื้ออุ่น โกรแบคทีเรียม

ตัด PLBs ของกล้วยไม้เป็นชิ้นหนา ประมาณ 2 มิลลิเมตร ผสม PLBs กับสารแ xenobiotin โดย co-cultivation ด้วยเครื่อง vortex mixer (vortex-2 Genie) ที่ความเร็วระดับ 7 ที่อุณหภูมิห้องเป็นเวลา 30 นาที เมื่อครบเวลาดูดสารแ xenobiotin ออก ซับ PLBs บนกระดาษทิชชูที่ปิดด้วยเชือก วางบนอาหารแข็งสูตร VW ที่ไม่เติมน้ำมะพร้าว และเติมสาร acetosyringone ความเข้มข้น 200 ไมโครโมลาร์ บ่มไว้นาน 3 วัน ที่อุณหภูมิ 25 ± 2 องศาเซลเซียส ในสภาพมืด จากนั้นขยามมาเพาะเลี้ยงบนอาหารสูตร VW ที่ไม่เติมน้ำมะพร้าว และเติมสารปฏิชีวนะ cefotaxime ความเข้มข้น 200 มิลลิกรัมต่อลิตร เพื่อกำจัดเชื้ออุ่น โกรแบคทีเรียมและเปลี่ยนอาหารทุก ๆ 2 สัปดาห์ จน PLBs พัฒนาเป็นยอดกระฉูก (*ipt-shooties*) จากนั้นเพาะเลี้ยงให้เป็นต้นเดี่ยวที่สมบูรณ์ต่อไป

4. การตรวจวิเคราะห์ต้นกล้วยไม้ที่ได้รับการถ่ายยืน

กัดเลือก PLBs ที่ได้รับการถ่ายยืนซึ่งมีลักษณะเป็นยอดกระจุกที่เก่าตัวกันแน่น (*ipt-shooty*) ซึ่งเป็นผลมาจากการแสดงออกของยีน *ipt* เลี้ยงบนอาหารสูตร VW ที่ไม่เติมน้ำมันพืชไว้ เติมสารปฏิชีวนะ cefotaxime ความเข้มข้น 200 มิลลิกรัมต่อลิตร และนำยอดกระจุกของกล้วยไม้ที่ได้รับการถ่ายยืนมาวิเคราะห์ด้วยเทคนิค polymerase chain reaction (PCR) และ Southern blot hybridization of PCR products หลังจากนั้นนำยอดกระจุกที่มียีน AS-ACS หรือ AS-ACO และยีน *ipt* ซึ่งเป็นยีนคัดเลือกมาเลี้ยงบนอาหารสูตร VW ที่ไม่เติมน้ำมันพืชไว้ แต่เติมสารปฏิชีวนะ cefotaxime ความเข้มข้น 200 มิลลิกรัมต่อลิตร และสังเกตการพัฒนาของกล้วยไม้ที่ได้รับการถ่ายยืนพัฒนาเป็นยอดปกติ ซึ่งคาดว่าปราศจากยีน *ipt* ซึ่งเป็นยีนคัดเลือก มาเลี้ยงบนอาหารสูตร VW ที่ไม่เติมน้ำมันพืชไว้ สำหรับพัฒนาให้เกิดรากต่อไปและนำยอดปกติดังกล่าวมาวิเคราะห์ด้วยเทคนิค PCR, Southern blot analysis of PCR products และ Southern blot analysis โดยแบ่งการวิเคราะห์เป็น 2 ส่วน คือ

4.1 การตรวจวิเคราะห์เนื้อเยื่อกล้วยไม้ที่ได้รับการถ่ายยืนโดยเทคนิค polymerase chain reaction (PCR)

นำ PLBs ที่ได้รับการถ่ายยืนมาตรวจสอบประสิทธิภาพการส่งถ่ายยืนโดยการแยกสักดีโนมิกดีอีนของกล้วยไม้ซึ่งดัดแปลงมาจากวิธีของ Verwoerd *et al.* (1989) โดยใช้ชิ้นส่วนของใบกล้วยไม้ประมาณ 0.2 กรัม มากดให้ละเอียดใน TLES buffer (2 M Tris-HCl, 4 M LiCl, 0.5 M EDTA, pH 8.0, 20% SDS) และ 2% Na₂SO₃ ปริมาตร 750 ไมโครลิตร และเติม PCI (25 : 24 : 1 ปริมาตร โดยปริมาตร) ในอัตราส่วน 1:1 ผสมให้เข้ากันด้วย vortex เป็นเวลา 2 นาที นำมาหมุนให้วิบากความเร็ว 13,000 รอบต่อนาที เป็นเวลา 10 นาที ดูดส่วนใส่ไส้หลอดใหม่ประมาณ 500 ไมโครลิตร และเติม PCI ในอัตราส่วน 1:1 ผสมให้เข้ากันด้วย vortex เป็นเวลา 2 นาที นำมาหมุนให้วิบากความเร็ว 13,000 รอบต่อนาที เป็นเวลา 10 นาที ดูดส่วนใส่ไส้หลอดใหม่ประมาณ 400 ไมโครลิตร เติม 0.1 เท่า ของ sodium acetate, pH 5.2 และ 1 เท่า ของ isopropanol จากนั้นผสมโดยพลิกหลอดไปมา แซ่ที่ -20 องศาเซลเซียส เป็นเวลา 30 นาที นำมาหมุนให้วิบากความเร็ว 13,000 รอบต่อนาที เป็นเวลา 10 นาที ล้างตะกอนดีอีนเอดีวาย 70% ethanol ปริมาตร 500 ไมโครลิตร นำมาหมุนให้วิบากที่ความเร็ว 13,000 รอบต่อนาที เป็นเวลา 5 นาที เทส่วนใส่ทิ้ง ทำตะกอนดีอีนเอให้แห้งแล้วละลายดีอีนเอดีวาย TE buffer ที่มี RNaseA 20 ไมโครกรัมต่อมิลลิลิตร ปริมาตร 20 ไมโครลิตร จากนั้นนำไปทดสอบยีน AS-ACS หรือ AS-ACO และ ยีน *ipt* ด้วยเทคนิค PCR โดย

ใช้ไพรเมอร์ที่มีความจำเพาะเจาะจงต่อยีน AS-ACS หรือ AS-ACO (ตารางที่ 2) ปฏิกิริยา PCR ปริมาตร 25 ไมโครลิตร ประกอบด้วย 10X PCR buffer (50 mM KCl, 1.5 mM MgCl₂, 10 mM Tris-HCl, pH 8.3, 0.1 mg/ml BSA, 10 mM (NH4)₂SO₄) ปริมาตร 2.5 ไมโครลิตร, 10 mM dNTP ปริมาตร 0.75 ไมโครลิตร, 10 ไมโครโมลาร์ของไพรเมอร์แต่ละชนิด ปริมาตร 1 ไมโครลิตร, *Taq* DNA polymerase (5 ยูนิตต่อไมโครลิตร; RBC, Taiwan) ปริมาตร 0.25 ไมโครลิตร และดีเอ็นเอที่สกัดจากไบกลั่วไม้ 1 ไมโครลิตร เริ่มปฏิกิริยา PCR โดยใช้อุณหภูมิสำหรับ denaturation รอบแรกที่ 94 องศาเซลเซียส เป็นเวลา 3 นาที จากนั้นทำปฏิกิริยา PCR จำนวน 31 รอบ โดยใช้อุณหภูมิสำหรับ denaturation, annealing และ extension เป็น 94, 55 และ 72 องศาเซลเซียส เป็นเวลา 3 นาที จากนั้นทำปฏิกิริยา PCR จำนวน 31 รอบ โดยใช้อุณหภูมิสำหรับ denaturation, annealing และ extension เป็น 94, 60 และ 72 องศาเซลเซียส เป็นเวลา 30 วินาที, 30 วินาที และ 1 นาที ตามลำดับ และใช้อุณหภูมิสำหรับ extension รอบสุดท้าย 72 องศาเซลเซียส เป็นเวลา 7 นาที สำหรับตรวจสอบยีน AS-ACS/AS-ACO ส่วนยีน *ip1* ใช้อุณหภูมิสำหรับ denaturation รอบแรกที่ 94 องศาเซลเซียส เป็นเวลา 3 นาที จากนั้นทำปฏิกิริยา PCR จำนวน 31 รอบ โดยใช้อุณหภูมิสำหรับ denaturation, annealing และ extension เป็น 94, 60 และ 72 องศาเซลเซียส เป็นเวลา 30 วินาที, 30 วินาที และ 1 นาที ตามลำดับ และใช้อุณหภูมิสำหรับ extension รอบสุดท้าย 72 องศาเซลเซียส เป็นเวลา 7 นาที ตรวจสอบขนาดดีเอ็นเอด้วย 0.8% agarose gel electrophoresis ใช้กระแสไฟฟ้าความต่างศักย์ 100 โวลต์เป็นเวลา 30 นาที ตรวจดูແคนดีเอ็นเอโดยชี้อมด้วยสารละลายอิเดียมไบร์ ไมคร์ และตรวจดูແคนดีเอ็นเอภายในตัวอย่างโดยการยืนยันผลของ PCR ด้วยเทคนิค Southern blot hybridization of PCR products โดยเกลี่อนย้ายดีเอ็นเอจากเจลไปยังแผ่นไนลอนเมมเบรน (positively charged nylon membrane; Roche, Germany) ด้วยเทคนิค capillary transfer โดยนำเจลไปแช่ใน 0.25 M HCl เป็นเวลา 10 นาที ที่อุณหภูมิห้อง ล้างด้วยน้ำกลั่นน้ำมันเชื้อ เป็นเวลา 1 นาที จากนั้นแช่เจลใน 0.4 N NaOH ที่อุณหภูมิห้อง เป็นเวลา 10 นาที เพื่อปรับดีเอ็นเอเข้าสู่สภาพเป็นกลาง วางแผ่นพลาสติกพาดปากกล่องแล้วนำกระดาษกรอง What mann 3 MM มาวางพาดแผ่นพลาสติกให้ปลายทั้ง 2 ข้างของกระดาษจุ่มน้ำใน 0.4 N NaOH วางแผ่นไนลอนลงบนเจล วางแผ่นกระดาษกรองทับบนแผ่นไนลอน วางกระดาษทิชชูช้อนด้านบนตามลำดับ ให้สูงประมาณ 10 เซนติเมตร นำวัสดุกดทับด้านบนน้ำหนักประมาณ 1 กิโลกรัม ปล่อยให้ดีเอ็นเอเคลื่อนย้ายจากแผ่นเจลไปสู่แผ่นไนลอนเป็นเวลา 16-20 ชั่วโมง จากนั้นนำแผ่นไนลอนเมมเบรนมาแช่ใน 2X SSC buffer เป็นเวลา 10 นาที นำแผ่นไนลอนเมมเบรนอบที่อุณหภูมิ 120 องศาเซลเซียส เป็นเวลา 30 นาที เพื่อตราชีดีเอ็นเอไว้กับแผ่นไนลอนเมมเบรน แล้วนำมาตรวจสอบการมีอยู่ของยีน โดยทำปฏิกิริยา prehybridization เริ่มจากแช่แผ่นไนลอนเมมเบรนในสารละลายน้ำบริไಡเซซัน (5X SSC, 0.1% N-lauroylsarcosine, 1% blocking reagent, 0.02% SDS) ที่อุณหภูมิ 65 องศาเซลเซียส เป็นเวลา 2 ชั่วโมง แซ่บแผ่นเมมเบรนในสารละลายน้ำบริไಡเซซันที่เติม 35S promoter probe เพื่อตรวจสอบยีน AS-ACS หรือ AS-ACO

และใช้ *ipt* probe เพื่อตรวจสอบยืน *ipt* ซึ่งติดตลาดด้วยสาร digoxigenin โดยใช้ PCR DIG Probe Synthesis Kit (Roche, Germany) ทำปฏิกิริยา hybridization ที่อุณหภูมิ 65 องศาเซลเซียส เป็นเวลา 16 ชั่วโมง หลังจากนั้นล้าง probe ส่วนเกินด้วย washing solution I (2X SSC, 0.1% SDS) ที่ อุณหภูมิห้อง 2 ครั้ง ๆ ละ 5 นาที และล้างด้วย washing solution II (0.1X SSC, 0.1% SDS) ที่ อุณหภูมิ 65 องศาเซลเซียส จำนวน 2 ครั้ง ๆ ละ 15 นาที และตรวจผล ไอบริโอดเชชันด้วยเทคนิค chemiluminescence detection โดยใช้ CDP starTM (Roche, Germany) เป็นสับสเตรท ตามวิธีการที่ระบุโดยบริษัทผู้ผลิต

ตารางที่ 2 ไพรเมอร์ที่ใช้ในการตรวจวิเคราะห์เนื้อเยื่อกลับไม้ที่ได้รับการถ่ายยืนด้วยชุดยืน
AS-ACS หรือ AS-ACO

ยืน	ไพรเมอร์	ลำดับนิวคลีโอไทด์
ยืน ACS		
AS-ACSA	35S-SmaI AS-ACS1BstEII	5'GG CCC GGG CAT GGA GTC AAA GAT TCA AA 3' 5'GGT TAC CAT GTC CAA AGA GTT TGG G 3'
AS-ACSB หรือ AS-ACSC	35S-SmaI AS-ACS400BstEII	5'GG CCC GGG CAT GGA GTC AAA GAT TCA AA 3' 5'GGT TAC CGT CTG AGA AGA AAC AAG A 3'
ยืน ACO		
AS-ACOA	35S-SmaI ACO1R-B1	5'GG CCC GGG CAT GGA GTC AAA GAT TCA AA 3' 5'GGT TAC CAT GGA GCT TCT TGA GGG T 3'
AS-ACOB หรือ AS-ACOC	35S-SmaI ACO301R-B2	5'GG CCC GGG CAT GGA GTC AAA GAT TCA AA 3' 5'GGT TAC CGA TTG CCG CAG CAC GAT 3'
ยืน <i>ipt</i>	IPT1 IPT2	5'CTT GCA CAG GAA AGA CGT CG 3' 5'AAT GAA GAC AGG TGT GAC GC 3'

4.2 การตรวจวิเคราะห์จำนวนชุดของยีนจากต้นกล้ามไม้ดัดแปลงพันธุกรรม โดยวิธี Southern blot hybridization

ตรวจสอบจำนวนชุดของยีน AS-ACS หรือ AS-ACO ของกล้ามไม้ต้นที่ตรวจพบยีน AS-ACS หรือ AS-ACO ด้วยเทคนิค PCR โดยใช้ใบกล้ามไม้ประมาณ 5 กรัม มาบดในไนโตรเจนเหลวให้ละเอียด นำมาใส่ในหลอดที่มี TLES buffer และ 2% Na₂SO₃ ปริมาตร 10 มิลลิลิตร นำมาเติม PCI ในอัตราส่วน 1:1 ผสมให้เข้ากันด้วยเครื่อง vortex นำไปหมุนเหวี่ยงด้วยความเร็วรอบ 13,000 รอบต่อนาที ดูดส่วนไส้ใส่หลอดใหม่ นำมาเติม PCI ในอัตราส่วน 1:1 ผสมให้เข้ากัน นำมาหมุนเหวี่ยงด้วยความเร็วรอบ 13,000 รอบต่อนาที ดูดส่วนไส้ใส่หลอดใหม่ ประมาณ 400 ไมโครลิตร เติม 1 เท่าของ isopropanol จากนั้นพักหลอดกลับไปมา จากนั้นนำมาหมุนเหวี่ยงที่ความเร็วรอบ 13,000 รอบต่อนาที เป็นเวลา 5 นาที เทส่วนไสทึ้ง ล้างตะกรอนด้วย 70% ethanol ปริมาตร 500 ไมโครลิตร นำมาหมุนเหวี่ยงด้วยความเร็ว 13,000 รอบต่อนาที เป็นเวลา 5 นาที เทส่วนไสทึ้ง ทำการล้างตะกรอนด้วย TE ที่มี RNaseA 20 ไมโครกรัม ต่อมิลลิลิตร ปริมาตร 80 ไมโครลิตร วิเคราะห์หาความเข้มข้นของดีเอ็นเอโดยนำดีเอ็นเอที่ได้มาวัดค่าการดูดกลืนแสงที่ความยาวคลื่น 260 นาโนเมตร นำดีเอ็นเอ 100 ไมโครกรัม มาตัดด้วยเอนไซม์ *Bg*II ปริมาตร 17 ไมโครลิตร (10 units/ μ l; Biolabs, USA) ในปฏิกิริยารวม 500 ไมโครลิตร ประกอบด้วย 10X NEB buffer 3 (100 mM NaCl, 50 mM Tris-HCl, 10 mM MgCl₂, 1 mM dithiothreitol, pH 7.9) ปริมาตร 50 ไมโครลิตร เติมน้ำให้ได้ครบ 500 ไมโครลิตร ผสมให้เข้ากันแล้วนำไปทำปฏิกิริยาที่อุณหภูมิ 37 องศาเซลเซียส เป็นเวลา 12-16 ชั่วโมง หรือตัดด้วยเอนไซม์ *Hind*III 3 ไมโครลิตร (100 ยูนิตต่อไมโครลิตร; Biolabs, USA) ในปฏิกิริยารวม 500 ไมโครลิตร ประกอบด้วย 10X NEB buffer 2 (50 mM NaCl, 10 mM Tris-HCl, 10 mM MgCl₂, 1 mM dithiothreitol, pH 7.9) ปริมาตร 50 ไมโครลิตร เติมน้ำให้ได้ 500 ไมโครลิตร ผสมให้เข้ากันแล้วนำไปทำปฏิกิริยาที่อุณหภูมิ 37 องศาเซลเซียส เป็นเวลา 12-16 ชั่วโมง จากนั้นเกลี่อน้ำยาดีเอ็นเอด้วย PCI และละลายดีเอ็นเอด้วยน้ำกลั่นน้ำแข็ง 40 ไมโครลิตร

นำดีเอ็นเอที่ได้มารวบรวมจำนวนชุดของยีน โดยแยกขนาดดีเอ็นเอด้วย 0.8% agarose gel ใน 1XTAE buffer (0.004 M Tris-acetate, 0.001 M EDTA) (ตารางภาคผนวกที่ 5) ใช้กระแสไฟฟ้าความต่างศักย์ 60 โวลต์ เป็นเวลา 2 ชั่วโมง ตรวจดูແฉบดีเอ็นเอโดยบื้อมด้วยสารละลายเอชิดีเยน โบร์โนด์ และตรวจดูແฉบดีเอ็นเอภายในตัวอย่างให้แสงอุตราชีวิโอเลต จากนั้นเกลี่อน้ำยาดีเอ็นเอจากเจลไปปั้งแผ่นในลอนเมมเบรน (positively charged nylon membrane; Roche, Germany) ด้วยเทคนิค capillary transfer โดยนำเจลไปแช่ใน 0.25 M HCl เป็นเวลา 10 นาที ที่อุณหภูมิห้อง ล้าง

ด้วยน้ำกลั่นนิ่งม่าเชื้อ เป็นเวลา 1 นาที จากนั้นแช่เจลใน 0.4 N NaOH ที่อุณหภูมิห้อง เป็นเวลา 10 นาที เพื่อปรับดีเอ็นเอเข้าสู่สภาพเป็นกลาง วางแผ่นพลาสติกพอดปากกล่องแล้วนำกระดาษรอง Whatmann 3 MM มาวางพอดแผ่นพลาสติกให้ปลายทั้ง 2 ข้างของกระดาษจุ่นใน 0.4 N NaOH วางแผ่นในล่อนลงบนเจล วางแผ่นกระดาษรองทับบนแผ่นในล่อน วางกระดาษทิชชูซ้อนด้านบนตามลำดับ ให้สูงประมาณ 10 เซนติเมตร นำวัสดุกดทับด้านบนน้ำหนักประมาณ 1 กิโลกรัม ปล่อยให้ดีเอ็นเอเคลื่อนข่ายจากแผ่นเจลไปสู่แผ่นในล่อนเป็นเวลา 16-20 ชั่วโมง จากนั้นนำแผ่นในล่อนเมมเบรนมาแขวนใน 2X SSC buffer เป็นเวลา 10 นาที นำแผ่นในล่อนเมมเบรนอบที่อุณหภูมิ 120 องศาเซลเซียส เป็นเวลา 30 นาที เพื่อตั้งดีเอ็นเอไว้กับแผ่นในล่อนเมมเบรน แล้วนำมาตรวจสอบจำนวนชุดของยีน AS-ACS หรือ AS-ACO โดยใช้ 35S promoter probe หรือตรวจสอบยีน *ipt* ด้วย *ipt* probe โดยทำตามวิธีการในหัวข้อ 4.1 แต่ทำปฏิกิริยา prehybridization และ hybridization ที่อุณหภูมิ 55 องศาเซลเซียส

5. การตรวจสอบการแสดงออกของยีนในกล้ามไม้ดัดแปลงพันธุกรรม

ตรวจสอบการแสดงออกของยีน sense ACS, antisense ACS (AS-ACS), sense ACO, antisense ACO (AS-ACO) และ 18s rRNA ในระดับอาร์เอ็นเอด้วยวิธี reverse transcription-polymerase chain reaction (RT-PCR) และ northern blot analysis

5.1 การสกัด total RNA จากกล้ามไม้ดัดแปลงพันธุกรรม

สกัด total RNA จากใบกล้ามไม้ตามวิธีการของ Verwoerd *et al.* (1989) โดยนำตัวอย่างต้นกล้ามไม้ดัดแปลงพันธุกรรมที่ทราบผลการวิเคราะห์จำนวนชุดของยีน AS-ACS หรือ AS-ACO มาตรวจสอบการแสดงออกของยีน AS-ACS และ AS-ACO ในระดับอาร์เอ็นเอ ใช้ใบพืช 3 กรัม นำมานบดด้วยในโตรเจนเหลวให้ละเอียด นำมาใส่ในหลอดที่มี TLES buffer (0.1 M Tris-HCL, pH 8.0, 0.1 M LiCl, 10 mM EDTA, pH 8.0, 1% SDS) และ 2% Na₂SO₃ ปริมาตร 7 มิลลิลิตร เติม phenol ปริมาตร 7 มิลลิลิตร ผสมให้เข้ากันโดยใช้ vortex ประมาณ 2 นาที ปั่นหมุนเหวี่ยงด้วยความเร็ว 12,000 รอบต่อนาที เป็นเวลา 10 นาที คุณน้ำใสปริมาตร 6 มิลลิลิตร ใส่ในหลอดใหม่ เติม chloroform : isoamyl alcohol, CI (24:1, ปริมาตรต่อปริมาตร) ผสมให้เข้ากันดีโดยใช้ vortex เป็นเวลา 2 นาที จากนั้นหมุนเหวี่ยงเพื่อแยกเก็บน้ำใสด้วยความเร็วรอบ 12,000 รอบต่อนาที เป็นเวลา 15 นาที คุณส่วนใส ปริมาตร 700 ไมโครลิตร ใส่หลอดใหม่ เติม 4 M LiCl ปริมาตร 700 ไมโครลิตร ผสมให้เข้ากัน เก็บที่อุณหภูมิ 4 องศาเซลเซียส นานข้ามคืน หมุนเหวี่ยงด้วยความเร็ว 12,000 รอบ

ต่อนาที เป็นเวลา 15 นาที ที่อุณหภูมิ 4 องศาเซลเซียส ทำตะกอนอาร์เอ็นเอให้แห้ง ละลายอาร์เอ็นเอด้วยน้ำที่ปราศจาก RNase ปริมาตร 100 ไมโครลิตร ที่ 37 องศาเซลเซียส เป็นเวลา 30 นาที จากนั้นนำมาตกละตะกอนอาร์เอ็นเอด้วย 2.5 M CH₃COONa, pH 6.0 ปริมาตร 0.1 เท่าของส่วนใส และ absolute ethanol ปริมาตร 2.5 เท่าของส่วนใส ผสมให้เข้ากันแล้วนำไปเก็บที่อุณหภูมิ -70 องศาเซลเซียส เป็นเวลา 15 นาที นำมามนุนเหวี่ยงด้วยความเร็ว 12,000 รอบต่อนาที เป็นเวลา 15 นาที เทส่วนน้ำใสทิ้ง ล้างตะกอนอาร์เอ็นเอด้วย 70% ethanol ปริมาตร 500 ไมโครลิตร พลิกหลอดกลับไปมาแล้วนำไปหมุนเหวี่ยงด้วยความเร็ว 12,000 รอบต่อนาที เป็นเวลา 5 นาที ทำตะกอนให้แห้ง ละลายตะกอนอาร์เอ็นเอด้วยน้ำที่ปราศจาก RNase ปริมาตร 30 ไมโครลิตร จากนั้นนำมารักษาการคุณลักษณะที่ 230 นาโนเมตร โดยใช้เครื่อง spectrophotometer เพื่อคำนวณความเข้มข้นของอาร์เอ็นเอ

5.2 การตรวจวิเคราะห์การแสดงออกของยีนในระดับอาร์เอ็นเอด้วยเทคนิค reverse transcription-polymerase chain reaction (RT-PCR)

กำจัดดีเอ็นเอกจากตัวอย่าง total RNA ที่สกัดได้ โดยปฏิกริยาประกอบด้วย total RNA ความเข้มข้น 1 ไมโครกรัม, 10X Reaction buffer with MgCl₂ (100 mM Tris-HCl pH 7.5, 1 mM CaCl₂, 50% glycerol) (Fermentas, Lithuania) ปริมาตร 1 ไมโครลิตร, DNase I (1 ยูนิตต่อ 1 ไมโครลิตร; Fermentas, Lithuania) ปริมาตร 1 ไมโครลิตร และเติมน้ำที่ปราศจาก RNase ให้ปริมาตรครบ 10 ไมโครลิตร นำไปทำปฏิกริยาที่อุณหภูมิ 37 องศาเซลเซียส เป็นเวลา 30 นาที จากนั้นหยุดปฏิกริยาโดยเติม 25 mM EDTA ปริมาตร 1 ไมโครลิตร โดยนำไปอุ่นที่ 65 องศาเซลเซียส เป็นเวลา 10 นาที เมื่อครบเวลานำหลอดปฏิกริยาแซนในน้ำแข็งทันที จากนั้นนำ total RNA ที่กำจัดดีเอ็นเอแล้วนำไปใช้ในการสังเคราะห์ยีน AS-ACS หรือ AS-ACO และยีน 18s rRNA ซึ่งนำมาใช้เป็น internal control ด้วยเทคนิค RT-PCR ต่อไป

เตรียมปฏิกริยา reverse transcription โดยเติมส่วนผสมของปฏิกริยาดังนี้ total RNA ที่ทำการกำจัดดีเอ็นเอแล้วความเข้มข้น 1 ไมโครกรัม เติม reverse primer ของยีน sense ACSA ได้แก่ S-ACSA-1270R1, ยีน sense ACSB และยีน sense ACSC ได้แก่ S-ACSB215R2, ยีน AS-ACS ได้แก่ AS-ACS400R-BstEII (ตารางที่ 3) ของยีน sense ACOA ได้แก่ S-ACOA945R1, ยีน sense ACOB และ sense ACOC ได้แก่ S-ACOBC200R2, ยีน AS-ACO ได้แก่ AS-ACO301R-B2 (ตารางที่ 3) และยีน 18s rRNA ซึ่งเป็น internal control ได้แก่ 18s rRNA-R (ตารางที่ 3) ความเข้มข้น 20 ไมโครโมลาร์ ปริมาตร 2 ไมโครลิตร หลังจากนั้นเติมน้ำที่ปราศจาก RNase ให้ครบปริมาตร 12 ไมโครลิตร

นำไปทำปฏิกิริยาที่อุณหภูมิ 70 องศาเซลเซียส นาน 5 นาที และแช่น้ำแข็งทันที จากนั้นเติม 5X Reaction buffer (250 mM Tris-HCl, pH 8.3, 250 mM KCl, 20 mM MgCl₂, 50 mM DTT) (Fermentas, Lithuania) ปริมาตร 4 ไมโครลิตร, 10 mM dNTP mix ปริมาตร 2 ไมโครลิตร, Ribonuclease inhibitor (1.2 mM EDTA, 0.1 mg/ml *E.coli* [³H]-RNA, 50 mg/ml yeast RNA, 8 mM DTT (40 ยูนิตต่อไมโครลิตร; Fermentas, Lithuania) ปริมาตร 0.5 ไมโครลิตร, RevertAidTM M-MuLV RT (200 ยูนิตต่อไมโครลิตร; Fermentas, Lithuania) ปริมาตร 0.5 ไมโครลิตรและเติมน้ำที่ปราศจาก RNase ให้ปริมาตรครบ 20 ไมโครลิตร ผสมให้เข้ากัน นำไปทำปฏิกิริยาที่อุณหภูมิ 42 องศาเซลเซียส เป็นเวลา 60 นาที เมื่อครบเวลาหยุดปฏิกิริยาที่อุณหภูมิ 70 องศาเซลเซียส เป็นเวลา 10 นาที จากนั้นนำ cDNA ที่สังเคราะห์ได้มาใช้เป็นต้นแบบสำหรับปฏิกิริยา PCR

สำหรับปฏิกิริยา PCR ในแต่ละตัวอย่างจะแบ่งเป็น 3 ชุด ชุดแรกใช้คู่ไพรเมอร์ที่เฉพาะกับยีน AS-ACS หรือ AS-ACO ชุดที่สองใช้คู่ไพรเมอร์ที่เฉพาะกับยีน sense ACS หรือ sense ACO ชุดที่สามใช้คู่ไพรเมอร์ที่เฉพาะกับยีน 18s rRNA ซึ่งนำมาใช้เป็น internal control (ตารางที่ 3)

ส่วนผสมของปฏิกิริยา PCR ประกอบด้วย 10X PCR buffer (50 mM KCl, 1.5 mM MgCl₂, 10 mM Tris-HCl, pH 8.3, 0.1 mg/ml BSA, 10 mM (NH₄)₂SO₄) (RBC, Taiwan), 0.1 mM dNTPs, 0.3 ไมโครโมลาร์ ของไพรเมอร์แต่ละชนิด (ตารางที่ 3) และ *Taq* DNA polymerase (RBC, Taiwan) (5 ยูนิตต่อไมโครลิตร) ปริมาตร 0.25 ไมโครลิตร สำหรับปฏิกิริยา 25 ไมโครลิตร ทำปฏิกิริยา PCR จำนวน 30 รอบ อุณหภูมิที่ใช้สำหรับ denature, annealing และ extension คือ 94, 55 และ 72 องศาเซลเซียส ตามลำดับ เป็นเวลา 50 วินาที, 1 นาที และ 1 นาที ตามลำดับ เมื่อปฏิกิริยา PCR สิ้นสุด นำ PCR product ที่ได้มาตรวจสอบขนาดของดีเอ็นเอด้วย 1% agarose gel electrophoresis ใน 1X TAE buffer และทำการยืนยันผลของ PCR โดยการทำ Southern blot hybridization of PCR products ตรวจผลโดยทำปฏิกิริยา prehybridization เริ่มจากแช่แผ่นในล่อนเมมเบรนในสารละลายไฮบริไดเซชัน (hybridization) (5X SSC, 0.1% N-lauroylsarcosine, 1% blocking reagent, 0.02% SDS) ที่อุณหภูมิ 65 องศาเซลเซียส เป็นเวลา 2 ชั่วโมง แซ่บแผ่นเมมเบรนในสารละลายไฮบริไดเซชันที่เติมยีน AS-ACS/AS-ACO หรือยีน sense ACS/sense ACO หรือ 18s rRNA ซึ่งติดคลากด้วยสาร digoxigenin โดยใช้ PCR DIG Probe Synthesis Kit (Roche, Germany) ทำปฏิกิริยาไฮบริไดเซชันที่อุณหภูมิ 65 องศาเซลเซียส เป็นเวลา 16 ชั่วโมง หลังจากนั้นล้าง probe ส่วนเกินด้วย washing solution I (2X SSC, 0.1% SDS) ที่อุณหภูมิห้อง 2 ครั้ง ๆ ละ 5 นาที และล้างด้วย washing solution II (0.1X SSC, 0.1% SDS) ที่อุณหภูมิ 65 องศาเซลเซียส จำนวน

2 ครั้ง ๆ ละ 15 นาที และตรวจผลโดยวิธีเดชันด้วยเทคนิค chemiluminescence detection โดยใช้ CDP star™ (Roche, Germany) เป็นสับสเตรท ตามวิธีการที่ระบุโดยบริษัทผู้ผลิต

ตารางที่ 3 ไพรเมอร์ที่ใช้ในการตรวจวิเคราะห์การแสดงออกของยีน AS-ACS และยีน AS-ACO ด้วยวิธี RT-PCR

ยีน	ไพรเมอร์	ลำดับนิวคลีโอไทด์	ขนาด PCR product (bp)
ยีน antisense-ACS			
AS-ACSA		AS-ACS400R-BstEII 5' GTC CCG ACT CCT TAT TAC CC 3'	
AS-ACSB		AS-ACS900F-SpeI 5' GTC TGA GAA GAA ACA AGA CT 3'	470
AS-ACSC			
ยีน sense ACS			
ACSA	S-ACSA1070F1	5' GAT TGT TCT GCT GGG TGA AT 3'	215
	S-ACSA-1270R1	5' ATC TCT TCA GCG CCA CCT CC 3'	
ACSB	S-ACSBC1F2	5' ATG TCC AAA GAG TTT GGG AT 3'	
ACSC	S-ACSBC215R2	5' GCT TCT GGG TGC TGC TCC AG 3'	215
ยีน antisense-ACO			
AS-ACOA	AS-ACO301R-B2	5' GAT TGC CGC AGC ACG ATG AA 3'	
AS-ACOB	AS-ACO635F-S1	5' GCC GAT ATT AAC AAV AAT GG 3'	334
AS-ACOC			
ยีน sense ACO			
ACOA	S-ACOA745F1	5' AGC GAC GCT GTC ATC TTC CC 3'	200
	S-ACOA945R1	5' TCA AGC AGT AGG AAT CGG CT 3'	
ACOB	S-ACOBC1F2	5' ATG GAG CTT CTT GAG GGT TC 3'	
ACOC	S-ACOBC200R2	5' GAA TCT AAG GTT TTC GCA GC 3'	200
ยีน 18s rRNA			
	18s rRNA-F	5' GGA TCC ATT GGA GGG CAA GT 3'	
	18s rRNA-R	5' CCC TCT TAA TCA TTA CTC-CG 3'	295

5.3 การตรวจเคราะห์การแสดงออกของยีนในระดับอาร์เอ็นเอในกล้ามไม้ดัดแปลงพันธุกรรมโดยวิธี northern blot hybridization

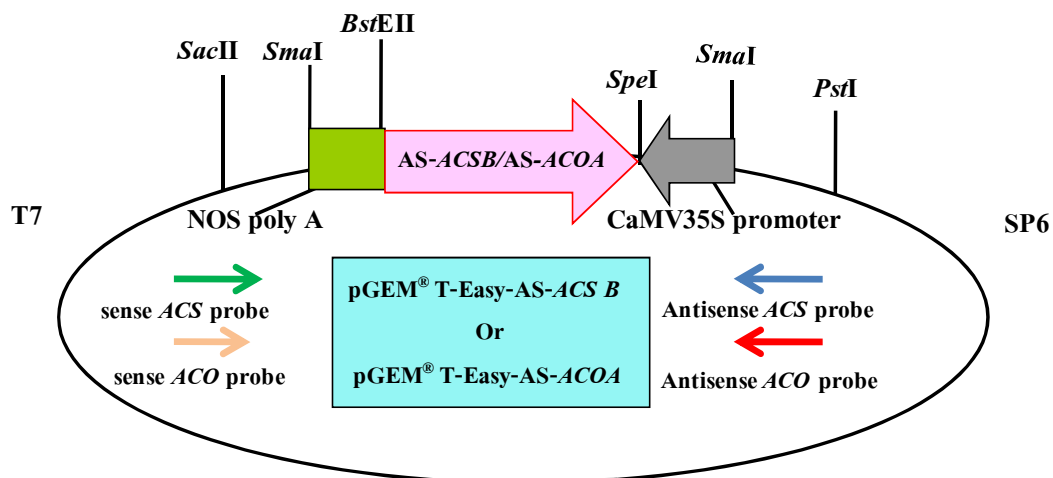
นำ total RNA ที่สกัดได้จากกล้ามไม้ดัดแปลงพันธุกรรม มาตรวจสอบการแสดงออกของยีนด้วยเทคนิค northern blot hybridization โดยนำ total RNA ความเข้มข้น 30 μg ไปครกัม มาทำปฏิกิริยาที่ประกอบด้วย 10X Reaction buffer with MgCl₂ (100 mM Tris-HCl, pH 7.5, 1 mM CaCl₂, 50% glycerol) (Fermentas, Lithuania) ปริมาตร 30 μl ไปครกัม นาที ทำปฏิกิริยาที่อุณหภูมิ 37 องศาเซลเซียส เป็นเวลา 30 นาที หยุดปฏิกิริยาโดยเติม 25 mM EDTA ปริมาตร 10 μl ไปครกัม โดยนำไปอุ่นที่อุณหภูมิ 65 องศาเซลเซียส เป็นเวลา 10 นาที เมื่อครบเวลานำหลอดปฏิกิริยาแซนในน้ำแข็งทันที นำมาเติม PCI ในอัตราส่วน 1:1 ผสมให้เข้ากันด้วยเครื่อง vortex นำไปปั่นด้วยความเร็วรอบ 13,000 รอบต่อนาที คุณลักษณะที่สำคัญที่สุดคือการต้องใช้หลอดใหม่ประมาณ 400 μl ไปครกัม เติม 1 เท่าของ isopropanol และ 0.1 เท่าของ sodium acetate, pH 5.2 ผสมให้เข้ากันโดยพักหลอดกลับไปปั่นที่อุณหภูมิ -20 องศาเซลเซียส เป็นเวลา 30 นาที นำมาหมุนเหวี่ยงด้วยความเร็วรอบ 13,000 รอบต่อนาที เป็นเวลา 5 นาที เทส่วนใสทึบถังตะกอนด้วย 70% ethanol ปริมาตร 500 μl ไปครกัม นำมาหมุนเหวี่ยงด้วยความเร็ว 13,000 รอบต่อนาที เทส่วนใสทึบถัง ทำตะกอนดีอีนเอให้แห้ง แล้วละลายตะกอน RNA ด้วยน้ำที่ปราศจาก RNase หลังจากนั้นเติม 2 เท่าของตัวอย่างด้วย 1.5X RNA loading dye [1.5X dye (0.06% bromophenol blue, 0.06% xylene cyanol), 1.5X MOPS, 9% formaldehyde, 60% formamide] นำไปต้มที่อุณหภูมิ 65 องศาเซลเซียส เป็นเวลา 10 นาที แซ่น้ำแข็งเป็นเวลา 5 นาที แยกขนาดอาร์เอ็นเอด้วย 1% formaldehyde gel ใน 1X MOPS (20 mM MOPS, 5 mM sodium citrate, 2 mM EDTA) โดยหลอมเจล ก่อนเติม 37% formaldehyde ใช้กระแทไฟฟ้าที่ความต่างศักย์ 60 โวลต์ ขี้ยาร์เอ็นเอจากเจลไปสู่แผ่นในลอนเมมเบรนโดยใช้ 20X SSC (3 M NaCl, 0.3 M sodium citrate, pH 7.0) เป็นเวลาประมาณ 12-16 ชั่วโมง นำแผ่นในลอนเมมเบรนมาด้านด้วย 2X SSC เป็นเวลา 10 นาที ตรึงแผ่นในลอนเมมเบรนโดยอบที่อุณหภูมิ 120 องศาเซลเซียส เป็นเวลา 30 นาที หลังจากนั้นตรวจผลโดยทำปฏิกิริยา prehybridization และ hybridization เริ่มจากแซ่นในลอนเมมเบรนในสารละลาย high SDS (50 mM Sodium phosphate, pH 7.0, 30X SSC, 0.1% (w/v) N-lauroylsarcosine, 2% blocking reagent, 7% SDS, 50% formamide deionized) ที่อุณหภูมิ 68 องศาเซลเซียส เป็นเวลา 2 ชั่วโมง แซ่นในลอนเมมเบรนในสารละลาย high SDS ที่เติม AS-ACS probe หรือ AS-ACO probe (antisense RNA probe) เพื่อใช้ตรวจการแสดงออกของยีน ACS หรือ ACO ที่ผลิตจากพีซของ (sense RNA) และตรวจสอบการแสดงออกของยีน AS-ACS หรือ AS-ACO (antisense RNA) ที่ใส่

เข้าไปในพีช sense RNA probe ที่จำเพาะเจาะจงสำหรับแต่ละยีน ติดคลากด้วยสาร digoxigenin โดยใช้ RNA Labelling Kit (Roche, Germany) ตามวิธีที่ระบุ โดยปรับอัตราส่วนยีน 18s rRNA ซึ่งใช้เป็น internal control โดยติดคลากด้วย digoxigenin โดยใช้ PCR DIG Probe Synthesis Kit (Roche, Germany) ทำปฏิกิริยา hybridize ที่อุณหภูมิ 68 องศาเซลเซียส เป็นเวลา 16-20 ชั่วโมง หลังจากนั้นล้าง probe ส่วนเกินด้วย washing solution I (2X SSC, 0.1% SDS) ที่ อุณหภูมิห้อง 2 ครั้ง ๆ ละ 5 นาที และล้างด้วย washing solution II (0.1X SSC, 0.1% SDS) ที่ อุณหภูมิ 68 องศาเซลเซียส จำนวน 2 ครั้ง ๆ ละ 15 นาที และตรวจผลโดยบริโภค เชิง (hybridization) ด้วยเทคนิค chemiluminescence detection โดยใช้สันบสเตรท CDPStar (Roche, Germany) ตามวิธีที่ระบุ โดยผู้ผลิต

5.3.1 การสร้าง RNA Probe โดยใช้ DIG RNA Labeling Kit (SP6/T7)

5.3.1.1 การเตรียมพลาสมิคสายพสນ

นำพลาสมิคสายพสນ pGEM®-T Easy AS-ACSB หรือ pGEM®-T Easy AS-ACOA ซึ่งมีโครงสร้างยีนดังภาพที่ 11 มาตัดด้วยเอนไซม์ *Pst*I ในกรณีสร้าง sense RNA probe ของยีน ACS และ ACO และตัดด้วยเอนไซม์ *Sac*II สำหรับสร้าง antisense RNA probe ของยีน ACS และ ACO ความเข้มข้น 1 ไมโครกรัม มาทำปฏิกิริยาการสร้าง RNA probe ด้วยชุดปฏิกิริยา DIG RNA Labeling Kit (SP6/T7) (Roche, Germany) ในปฏิกิริยาประกอบด้วยพลาสมิคสายพสນความเข้มข้น 1 ไมโครกรัม 10X NEB buffer 3 (100 mM NaCl, 50 mM Tris-HCl, 10 mM MgCl₂, 1 mM dithiothreitol, pH 7.9) ปริมาตร 2 ไมโครลิตร, เติม 100 ไมโครกรัมต่อไมโครลิตร BSA ปริมาตร 0.2 ไมโครลิตร, เอนไซม์ *Pst*I (10 ยูนิตต่อไมโครลิตร; Biolabs; USA) ปริมาตร 1 ไมโครลิตร สำหรับสร้าง sense RNA probe ส่วนการสร้าง antisense RNA probe ปฏิกิริยาประกอบด้วย 10X NEB buffer 4 (50 mM potassium acetate, 20 mM Tris-acetate, 10 mM magnesium acetate, 1 mM dithiothreitol, pH 7.9), เอนไซม์ *Sac*II (10 ยูนิตต่อไมโครลิตร; Biolabs; USA) ปริมาตร 1 ไมโครลิตร และเติมน้ำให้ปริมาตรครบ 20 ไมโครลิตร ทำปฏิกิริยาที่อุณหภูมิ 37 องศาเซลเซียส เป็นเวลา 2 ชั่วโมงหรือจนกว่าจะย่อย ดีเอ็นเอได้สมบูรณ์ นำพลาสมิคสายพสນที่ตัดสมบูรณ์แล้ว มาทำให้ดีเอ็นเอบรรเทาโดยใช้ชุดปฏิกิริยา GF-1 Gel DNA Recovery Kit (Vivantis, Malaysia) และลากายตะกอนดีเอ็นเอด้วย 10 mM Tris; pH 8.0 นำดีเอ็นเอที่ได้มาใช้ในการผลิต RNA probe



ภาพที่ 11 แสดงตำแหน่งและทิศทางของยีน AS-ACSB หรือ AS-ACOA ที่อยู่ในพลาสมิด pGEM® -T Easy ลูกศรสีต่าง ๆ แสดงโพรงบันไดต่าง ๆ ดังนี้

← sense ACS probe ← antisense ACS probe ← sense ACO probe ← antisense ACO probe

5.3.1.2 วิธีการติดฉลาก RNA probe ด้วยชุด DIG RNA Labeling Kit (SP6/T7) (Roche, Germany)

การสร้าง sense RNA probe เพื่อใช้ตรวจสอบการแสดงออกของยีน AS-ACS หรือ AS-ACO จากกล้ามไม่ตัดแปลงพันธุกรรม โดยใช้ T7 RNA polymerase ปฏิกิริยาการสังเคราะห์ sense RNA probe ด้วยชุดปฏิกิริยา DIG RNA Labeling Kit (SP6/T7) (Roche, Germany) ประกอบด้วยพลาสมิด pGEM® -T Easy-AS-ACSB สำหรับสร้าง sense ACS RNA probe และ pGEM® -T Easy-AS-ACOA สำหรับสร้าง sense ACO RNA probe ซึ่งย่อมาจากชื่อ PstI ความเข้มข้น 1 ไมโครกรัม, 10X NTP labeling mixture (10 mM ATP, 10mM GTP, 6.5 mM UTP, 3.5 mM DIG-UTP in Tris-HCl, pH 7.5) ปริมาตร 2 ไมโครลิตร, 10X Transcription buffer (400 mM Tris-HCl, pH 8.0, 60 mM MgCl₂, 100 mM dithioerythritol (DTE), 20 mM spermidine, 100 mM NaCl, 1 ยูนิตต่อมิลลิลิตร RNase inhibitor ปริมาตร 2 ไมโครลิตร, protector RNase inhibitor ปริมาตร 1 ไมโครลิตร, T7 RNA polymerase (20 ยูนิตต่อไมโครลิตร) ปริมาตร 2 ไมโครลิตร ปรับปริมาตรด้วยน้ำกลั่นที่ปราศจาก RNase ให้ครบ 20 ไมโครลิตร ผสมให้เข้ากันเบา ๆ และนำไปทำปฏิกิริยาที่อุณหภูมิ 37 องศาเซลเซียส เป็นเวลา 2 ชั่วโมง หลังปฏิกิริยาโดยเติม 0.2 mM EDTA, pH 8.0 ปริมาตร 2 ไมโครลิตร หลังจากนั้นนำ RNA probe ที่ได้มาตกร่อนโดยเติม 4 M LiCl ปริมาตร 2.5 ไมโครลิตรและ 100% ethanol ปริมาตร 75 ไมโครลิตร ผสมให้เข้ากัน

นำไปแช่ที่อุณหภูมิ-70 องศาเซลเซียส เป็นเวลา 30 นาที หรือที่อุณหภูมิ -15 ถึง -25 องศาเซลเซียส เป็นเวลา 2 ชั่วโมง เพื่อตัดตะกอนอาร์เอ็นเอ นำมาปั่นหมุนเหวี่งด้วยความเร็ว 13,000 รอบต่อนาที เป็นเวลา 15 นาที ที่อุณหภูมิ 2-8 องศาเซลเซียส ล้างตะกอนด้วย 70% ethanol ปริมาตร 50 ไมโครลิตร และนำมาปั่นหมุนเหวี่งด้วยความเร็ว 13,000 รอบต่อนาที เป็นเวลา 5 นาที ที่อุณหภูมิ 2-8 องศาเซลเซียส ทำตะกอนให้แห้ง ละลายตะกอนอาร์เอ็นเอด้วยน้ำที่ปราศจาก RNase ปริมาตร 100 ไมโครลิตร ที่อุณหภูมิ 37 องศาเซลเซียส เป็นเวลา 30 นาที เก็บ RNA probe ไว้ที่อุณหภูมิ -70 องศาเซลเซียส โดยแบ่งเก็บตามปริมาตรที่ต้องการใช้ในแต่ละครั้ง

การสร้าง antisense RNA probe เพื่อใช้ในการตรวจสอบการแสดงออกของยีน ACS หรือ ACO จากกล้ามไม้ดัดแปลงพันธุกรรมโดยใช้ SP6 RNA polymerase ปฏิกิริยาการสังเคราะห์ antisense RNA probe ด้วยชุดปฏิกิริยา DIG RNA Labeling Kit (SP6/T7) ปฏิกิริยาประกอบด้วยพลาสมิด pGEM®-T Easy-AS-ACSB สำหรับสร้าง AS-ACS RNA probe และ pGEM®-T Easy-AS-ACOA สำหรับสร้าง AS-ACO RNA probe ซึ่งบอยด้วยเอนไซม์ SacII ความเข้มข้น 1 ไมโครกรัม, 10X NTP labeling mixture (10 mM ATP, 10mM GTP, 6.5 mM UTP, 3.5 mM DIG-UTP in Tris-HCl, pH 7.5) ปริมาตร 2 ไมโครลิตร, 10X Transcription buffer (400 mM Tris-HCl, pH 8.0, 60 mM MgCl₂, 100 mM dithioerythritol (DTE), 20 mM spermidine, 100 mM NaCl, 1 ยูนิตต่อมิลลิลิตร RNase inhibitor ปริมาตร 2 ไมโครลิตร, protector RNase inhibitor ปริมาตร 1 ไมโครลิตร, SP6 RNA polymerase (20 ยูนิตต่อไมโครลิตร) ปริมาตร 2 ไมโครลิตร ปรับปริมาตรด้วยน้ำกลั่นที่ปราศจาก RNase ให้ครบ 20 ไมโครลิตร และขั้นตอนการสังเคราะห์ antisense RNA probe เช่นเดียวกับการสร้าง sense RNA probe

6. สถานที่ทำการทดลอง

กลุ่มวิจัยด้านพืช สุนย์พันธุวิศวกรรมและเทคโนโลยีชีวภาพแห่งชาติ มหาวิทยาลัยเกษตรศาสตร์
วิทยาเขตกำแพงแสน

โรงเรือนปลูกพืชทดลองของกลุ่มวิจัยด้านพืช สุนย์พันธุวิศวกรรมและเทคโนโลยีชีวภาพแห่งชาติ
มหาวิทยาลัยเกษตรศาสตร์ วิทยาเขตกำแพงแสน

7. ระยะเวลาทำการทดลอง

การทดลองครั้งนี้เริ่มตั้งแต่กุมภาพันธ์ 2549 ถึง กุมภาพันธ์ 2552

ผลและวิจารณ์

ผล

1. การศึกษาปัจจัยต่าง ๆ ที่มีผลต่อการถ่ายยีนเข้าสู่กลัวยไม้สกุลหวานพันธุ์ป้อมปาดัวร์ด้วยอะโกรเบคทีเรียมโดยใช้วekเตอร์ pMAT21

1.1 การศึกษาสายพันธุ์และความเข้มข้นของสารแ徊นโลยเชื้ออะโกรเบคทีเรียมที่เหมาะสมในการถ่ายยีนเข้าสู่ PLBs ของกลัวยไม้พันธุ์ป้อมปาดัวร์

จากการทดสอบสายพันธุ์ *A. tumefaciens* ที่ใช้ในการศึกษาการถ่ายยีนโดยใช้วekเตอร์ pMAT21 เข้าสู่ PLBs ของกลัวยไม้พันธุ์ป้อมปาดัวร์ ได้แก่ สายพันธุ์ EHA105, C58 และ AGL-1 โดยใช้ความเข้มข้นของเชื้อที่ใช้อยู่ในช่วง OD_{600} 0.8-1.20 , 1.21-1.60 และ 1.61-2.00 ซึ่งปริมาณความเข้มข้นของเชื้ออะโกรเบคทีเรียมแต่ละสายพันธุ์แตกต่างกันในแต่ละช่วง OD_{600} คือ สายพันธุ์ C58 ในช่วง $OD_{600} = 0.80-1.20$ มีความเข้มข้นของเชื้อ $\sim 4.4 \times 10^7$ cfu/ml ในช่วง $OD_{600} = 1.21-1.60$ มีความเข้มข้นของเชื้อ $\sim 2.0 \times 10^8$ cfu/ml และในช่วง $OD_{600} = 1.60-2.00$ มีความเข้มข้นของเชื้อ $\sim 2.5 \times 10^8$ cfu/ml ส่วนสายพันธุ์ AGL-1 ในช่วง $OD_{600} = 0.80-1.20$ มีความเข้มข้นของเชื้อ $\sim 1.0 \times 10^8$ cfu/ml ในช่วง $OD_{600} = 1.21-1.60$ มีความเข้มข้นของเชื้อ $\sim 1.9 \times 10^8$ cfu/ml และในช่วง $OD_{600} = 1.60-2.00$ มีความเข้มข้นของเชื้อ $\sim 2.9 \times 10^8$ cfu/ml และสายพันธุ์ EHA105 ในช่วง $OD_{600} = 0.80-1.20$ มีความเข้มข้นของเชื้อ $\sim 6.0 \times 10^{16}$ cfu/ml ในช่วง $OD_{600} = 1.21-1.60$ มีความเข้มข้นของเชื้อ $\sim 4.7 \times 10^{17}$ cfu/ml และ ในช่วง $OD_{600} = 1.60-2.00$ มีความเข้มข้นของเชื้อ $\sim 8.2 \times 10^{17}$ cfu/ml ตรวจสอบการแสดงออกของยีน *gus* ด้วยวิธี histochemical assay

ผลการทดลองพบว่าเชื้ออะโกรเบคทีเรียมทั้งสามสายพันธุ์มีประสิทธิภาพในการถ่ายยีนที่ไม่มีความแตกต่างกันอย่างมีนัยสำคัญทางสถิติ ($p < 0.05$) จากการตรวจนับจำนวน PLBs ที่ติดสีน้ำเงินของยีน *gus* ในกลัวยไม้ที่ได้รับการถ่ายยีนด้วยวekเตอร์ pMAT21 พบว่าเชื้อ *A. tumefaciens* สายพันธุ์ EHA105 ในช่วงความเข้มข้น $OD_{600} = 1.61-2.00$ มีจำนวนชิ้น PLBs ที่ติดสีน้ำเงินมากที่สุด คือ 85 เปอร์เซ็นต์ ส่วนเชื้อ *A. tumefaciens* สายพันธุ์ AGL-1 และ C58 ในช่วงความเข้มข้นที่ $OD_{600} = 1.61-2.00$ มี PLBs ติดสีน้ำเงิน 75 และ 70 เปอร์เซ็นต์ ตามลำดับ (ตารางที่ 4)

ดังนั้นการทดลองขั้นตอนคือไปจึงเลือกใช้เชื้อ *A. tumefaciens* สายพันธุ์ EHA105 ที่ความเข้มข้น 8.2×10^{17} cfu/ml มีค่า OD₆₀₀ เท่ากับ 1.61-2.00 ซึ่งมีปริมาณของเชื้อที่เหมาะสมในการถ่ายยีนเข้าสู่กล่าวไม้พันธุ์ปอมปาดัวร์

ตารางที่ 4 ผลของการทดสอบสายพันธุ์และความเข้มข้นของสารแ拜วนโดยเชื้อ *A. tumefaciens* สายพันธุ์ EHA105, AGL-1 และ C58 ที่บรรจุแกนต์เรตอร์ pMAT21 ต่อประสิทธิภาพในการถ่ายยีนเข้าสู่ PLBs ของกล่าวไม้สกุลหวานพันธุ์ปอมปาดัวร์

สายพันธุ์เชื้อ อะโกรเบคทีเรียม	ความเข้มข้นของเชื้อ อะโกรเบคทีเรียม ที่ OD ₆₀₀	จำนวน PLBs ที่ให้ผล บีน gus บวก ต่อจำนวน PLBs ทั้งหมด ^{1/}	เปอร์เซ็นต์การเกิดสี นำเงินของ PLBs ที่ได้ รับการถ่ายยีน ^{2/}
EHA105	0.80 - 1.20	12.00/20	60.00 ^b
	1.21 - 1.60	13.33/20	66.67 ^a
	1.61 - 2.00	17.00/20	85.00 ^a
AGL-1	0.80 - 1.20	11.67/20	58.35 ^b
	1.21 - 1.60	14.00/20	70.00 ^a
	1.61 - 2.00	15.00/20	75.00 ^a
C58	0.80 - 1.20	8.00/20	40.00 ^b
	1.21 - 1.60	13.00/20	65.00 ^a
	1.61 - 2.00	14.00/20	70.00 ^a
<i>F-test</i>			*
CV (%)			16.04

^{1/}ค่าเฉลี่ยจากการทดลอง 3 ชุด โดย 1 ชุดใช้ PLBs จำนวน 20 ชิ้น

^{2/}ค่าเฉลี่ยที่ตามด้วยอักษรที่ต่างกันมีความแตกต่างกันทางสถิติ ที่ระดับความเชื่อมั่น 95 เปอร์เซ็นต์
เปรียบเทียบโดยวิธี DMRT

* แตกต่างทางสถิติอย่างมีนัยสำคัญ เมื่อเปรียบเทียบโดยวิธี DMRT ที่ระดับความเชื่อมั่น 95
เปอร์เซ็นต์

1.2 การศึกษาอัตราการเจือจางของสารแ变幻ลอยเชื้อ *A. tumefaciens* สายพันธุ์ EHA105

จากการทดลองถ่ายยีนที่ผ่านมา เลือกใช้ *A. tumefaciens* สายพันธุ์ EHA105 ที่บรรจุ เวกเตอร์ pMAT21 ถ่ายยีนเข้าสู่ PLBs กลีบวัยไม้พันธุ์ปอมปาดัวร์ ด้วยการเจือจางเซลล์แ变幻ลой ของเชื้ออะโกรเบคทีเรียมที่ค่า $OD_{600} = 1.61-2.00$ ขั้นต่ำมาทำการทดสอบอัตราการเจือจางสาร แ变幻ลอยเชื้ออะโกรเบคทีเรียมต่ออาหารเหลวเพาะเลี้ยงกลีบวัยไม้สูตร VW ที่ไม่เติมน้ำมะพร้าวใน อัตรา 1:0, 1:1, 1:10, 1:20, 1:50 และ 1:100 และตรวจสอบการแสดงออกของยีน *gus* ด้วยวิธี histochemical assay

ผลการทดลองพบว่า PLBs ที่ผ่านการถ่ายยีน มีการติดลีน้ำเงินของยีน *gus* เท่ากับ 48.35, 68.35, 50.00, 48.35, 46.35 และ 48.35 เปอร์เซ็นต์ ตามลำดับ ซึ่งไม่มีความแตกต่างกันอย่างมี นัยสำคัญทางสถิติ ($p<0.05$) (ตารางที่ 5) อย่างไรก็ตามเมื่อพิจารณาถึงการกำจัดเชื้อ อะโกรเบคทีเรียมออกจาก PLBs ของกลีบวัยไม้ภายหลังการถ่ายยีน ปริมาณของเชื้อที่ใช้ไม่គรรมาก เกินไป เนื่องจากจะกำจัดเชื้ออออกจากชิ้นพืชภายหลังการถ่ายยีนได้มาก และมีผลบับบั้งการ เจริญเติบโตของเนื้อเยื่อพืชทำให้ประสิทธิภาพการถ่ายยีนลดลง (Lin *et al.*, 1994) ดังนั้นปริมาณ เชื้ออะโกรเบคทีเรียมที่เหมาะสมสำหรับใช้ในการถ่ายยีน คือ มีค่า OD_{600} ในช่วง 1.61-2.00 และเจือ จางเชื้อในอัตรา 1:1 ซึ่งมีปริมาณเชื้ออะโกรเบคทีเรียมที่มีชีวิต 4.1×10^{17} cfu/ml (ตารางที่ 5)

ตารางที่ 5 ผลของการเจือจางสารแ xenobiotic ของ PLBs ของกลีบไม้สกุลหวายพันธุ์ปอมปาดัวร์ ที่บรรจุ เวคเตอร์ pMAT21 ในช่วงค่า $OD_{600} = 1.61-2.00$ ที่มีต่อประสิทธิภาพการถ่ายยีนเข้าสู่ PLBs ของกลีบไม้สกุลหวายพันธุ์ปอมปาดัวร์

		ผลการแสดงออกของยีน <i>gus</i> ใน PLBs		
ช่วงความเข้มข้น	อัตราการเจือจางเชื้อ	ของกลีบไม้		
ของเชื้ออะโกร	อะโกรเบปที่เรียมใน	ค่าเฉลี่ยของจำนวน PLBs	เปอร์เซ็นต์การ	
เบปที่เรียมที่	อาหารเหลวสูตร VW ที่	ที่ได้รับการถ่ายยีนต่อ	เกิดสีนำเงินของ	
OD_{600}	ไม่เติมน้ำมะพร้าว	จำนวน PLBs ที่ทำ	PLBs ที่ได้รับการ	
		การถ่ายยีน ^{1/}	ถ่ายยีน ^{2/}	
1.61-2.00	1:0 ($\sim 8.2 \times 10^{17}$ cfu/ml)	9.67/20	48.35 ^a	
($\sim 8.2 \times 10^{17}$ cfu/ml)	1:1 ($\sim 4.1 \times 10^{17}$ cfu/ml)	13.67/20	68.35 ^a	
	1:10 ($\sim 8.2 \times 10^{16}$ cfu/ml)	10.00/20	50.00 ^a	
	1:20 ($\sim 4.1 \times 10^{16}$ cfu/ml)	9.67/20	48.35 ^a	
	1:50 ($\sim 1.64 \times 10^{16}$ cfu/ml)	9.33/20	46.65 ^a	
	1:100 ($\sim 8.2 \times 10^{15}$ cfu/ml)	9.67/20	48.35 ^a	
<i>F-test</i>			ns	
CV (%)			34.81	

^{1/} ค่าเฉลี่ยจากการทดลอง 3 จำพวกโดย 1 จำพวก PLBs จำนวน 20 ชิ้น

^{2/} ค่าเฉลี่ยที่ตามด้วยอักษรที่เหมือนกันไม่มีความแตกต่างกันทางสถิติ ที่ระดับความเชื่อมั่น 95 เปอร์เซ็นต์ เปรียบเทียบโดยวิธี DMRT

ns ไม่แตกต่างทางสถิติ เมื่อเปรียบเทียบโดยวิธี DMRT ที่ระดับความเชื่อมั่น 95 เปอร์เซ็นต์

1.3 การศึกษาระยะเวลาที่ใช้ในการ co-cultivation ระหว่าง PLBs ของกลีบไม้สกุลหวายพันธุ์ปอมปาดัวร์กับสารแ xenobiotic ของ PLBs ที่เรียม

เมื่อทำการ co-cultivation ระหว่าง PLBs ของกลีบไม้กับสารแ xenobiotic ของ PLBs ที่เรียมด้วยวิธี vortex mixer (Vortex-2 Genie) ที่ความเร็วระดับ 7 เป็นเวลา 10 นาที, 30 นาที และ 60 นาที และตรวจสอบการแสดงออกของยีน *gus* ด้วยวิธี histochemical assay พบว่า เปอร์เซ็นต์การเกิดสีนำเงินของยีน *gus* บน PLBs เท่ากับ 20.00, 53.35 และ 38.35 เปอร์เซ็นต์

ตามลำดับ ซึ่งไม่มีความแตกต่างกันอย่างมีนัยสำคัญทางสถิติ ($p<0.05$) (ตารางที่ 6) ในการทดลองต่อไปได้เลือกใช้ระยะเวลาในการ co-cultivation เป็นเวลา 30 นาที ใน การถ่ายทอดเชื้ออะโกรแบคทีเรียมสายพันธุ์ EHA105 เข้าสู่ PLBs ของกล้วยไม้พันธุ์ปอมปาดัวร์ เนื่องจากเป็นระยะเวลาที่พบจำนวน PLBs ติดสีน้ำเงินมากที่สุด

ตารางที่ 6 ผลการทดสอบระยะเวลาที่ใช้ในการ co-cultivation ระหว่างสารแ变幻ลoly เชื้ออะโกรแบคทีเรียมสายพันธุ์ EHA105 กับ PLBs ของกล้วยไม้สกุลหวานพันธุ์ปอมปาดัวร์

ระยะเวลาในการ co-cultivation	ผลการแสดงออกของยีน <i>gus</i> ใน PLBs กล้วยไม้	
	ค่าเฉลี่ยจำนวน PLBs ที่ได้รับการถ่ายยีน	เปอร์เซ็นต์การเกิดสีน้ำเงินของ PLBs ที่ได้รับการถ่ายยีน ^{2/}
10 นาที	4.00/20	20.00 ^a
30 นาที	10.67/20	53.35 ^a
60 นาที	7.67/20	38.35 ^a
<i>F-test</i>		ns
CV (%)		50.46

^{1/}ค่าเฉลี่ยจากการทดลอง 3 ชั้า โดย 1 ชั้า ใช้ PLBs จำนวน 20 ชิ้น

^{2/}ค่าเฉลี่ยที่ตามด้วยอักษรที่เหมือนกัน ไม่มีความแตกต่างกันทางสถิติ ที่ระดับความเชื่อมั่น 95 เปอร์เซ็นต์ เปรียบเทียบโดยวิธี DMRT

ns ไม่แตกต่างทางสถิติ เมื่อเปรียบเทียบโดยวิธี DMRT ที่ระดับความเชื่อมั่น 95 เปอร์เซ็นต์

1.4 การทดสอบวิธีในการ co-cultivation ระหว่าง PLBs ของกล้วยไม้สกุลหวานพันธุ์ปอมปาดัวร์ กับสารแ变幻ลoly เชื้ออะโกรแบคทีเรียม

จากการทดสอบวิธีการต่าง ๆ ของการ co-cultivation ได้แก่ วิธีสมสารแ变幻ลoly เชื้ออะโกรแบคทีเรียมกับ PLBs โดยเบย่าไปมาเป็นครั้งคราวทุก ๆ 5 นาที เป็นเวลา 30 นาที ใช้เครื่อง vortex mixer (Vortex-2 Genie) ที่ความเร็วระดับ 7 เป็นเวลา 30 นาที และใช้เครื่องเบย่าที่ความเร็ว 175 รอบต่อนาที ทำการ co-cultivation เป็นเวลา 30 นาที ที่อุณหภูมิห้อง และตรวจสอบการแสดงออกของยีน *gus* ด้วยวิธี histochemical assay

เมื่อนำ PLBs ของกลวยไม้ที่ผ่านการถ่ายยีนมาตรวจสอบการแสดงออกของยีน *gus* ภายหลังการถ่ายยีน 7 วัน พนว่าวิธีการ co-cultivation โดยใช้เครื่อง vortex mixer (Vortex-2 Genie) ที่ความเร็วระดับ 7 เป็นเวลา 30 นาที และใช้เครื่องเบเย่าที่ความเร็ว 175 รอบต่อนาที เป็นเวลา 30 นาที เป็นวิธีที่พน PLBs ที่ติดสีน้ำเงินมากที่สุด คือ 65 และ 60 เปอร์เซ็นต์ ตามลำดับ ซึ่งไม่มีความแตกต่างกันอย่างมีนัยสำคัญทางสถิติ ($p<0.05$) สำหรับวิธีการ co-cultivation โดยการเบเย่าไปมาเป็นครั้งคราวทุก ๆ 5 นาที เป็นเวลา 30 นาที พน PLBs ที่ติดสีน้ำเงินต่ำสุด คือ 31.65 เปอร์เซ็นต์ (ตารางที่ 7) ดังนั้นวิธีการที่เหมาะสมในการทำ co-cultivation คือ วิธีพสมสารแ xenoloy เชื้ออะโกรแบบที่เรียบกับ PLBs โดยใช้เครื่อง vortex mixer (Vortex-2 Genie) ที่ความเร็วระดับ 7 เป็นเวลา 30 นาที ที่อุณหภูมิห้อง เนื่องจากเป็นวิธีการที่พนจำนวน PLBs ที่ติดสีน้ำเงินมากที่สุด

ตารางที่ 7 ผลการทดสอบวิธีการ co-cultivation ของสารแ xenoloy เชื้ออะโกรแบบที่เรียบสายพันธุ์ EHA105 กับ PLBs ของกลวยไม้สกุลหวายพันธุ์ปอมปาดัวร์

วิธี co-cultivation	ผลการแสดงออกของยีน <i>gus</i> ใน PLBs กลวยไม้		
	ค่าเฉลี่ยจำนวน PLBs ที่ได้รับการถ่ายยีนต่อจำนวน PLBs ที่ทำการถ่ายยีน ^{1/}	เปอร์เซ็นต์การเกิดสีน้ำเงินของ PLBs ที่ได้รับการถ่ายยีน ^{2/}	รับการถ่ายยีน ^{2/}
เบเย่าไปมาเป็นครั้งคราวทุก ๆ 5 นาที เป็นเวลา 30 นาที	6.33/20	31.65 ^b	
ใช้เครื่อง vortex mixer ที่ความเร็วระดับ 7 เป็นเวลา 30 นาที	13.00/20	65.00 ^a	
ใช้เครื่องเบเย่าที่ความเร็ว 175 รอบต่อนาที เป็นเวลา 30 นาที	12.00/20	60.00 ^a	
<i>F-test</i>		*	
CV (%)		24.62	

^{1/}ค่าเฉลี่ยจากการทดลอง 3 ชุดโดย 1 ชุดใช้ PLBs จำนวน 20 ชิ้น

^{2/}ค่าเฉลี่ยที่ตามด้วยอักษรที่ต่างกันมีความแตกต่างกันทางสถิติ ที่ระดับความเชื่อมั่น 95 เปอร์เซ็นต์ * แตกต่างทางสถิติอย่างมีนัยสำคัญ เมริยมเทียบโดยวิธี DMRT ที่ระดับความเชื่อมั่น 95 เปอร์เซ็นต์

1.5 การทดสอบการเติมสาร celite ที่มีผลต่อประสิทธิภาพการถ่ายยีนเข้าสู่ PLBs ของกล้วยไม้ด้วยเชื้ออะโกรแบคทีเรียม

จากการทำ co-cultivation ของ PLBs กล้วยไม้กับสารแ xenoloy เชื้ออะโกรแบคทีเรียมโดยใช้เครื่อง vortex mixer ที่ความเร็วระดับ 7 เป็นเวลา 30 นาที เป็นวิธีที่เหมาะสมสำหรับการถ่ายยีน และเพื่อเพิ่มประสิทธิภาพการถ่ายยีนให้ดียิ่งขึ้น จึงนำสาร celite ซึ่งเป็นสารที่ทำให้เกิดบาดแผลมาช่วยในการส่งถ่ายยีนเข้าสู่ PLBs กล้วยไม้ ดังนั้นจึงได้ทำการทดลองเติมสาร celite ปริมาณ 2.5 กรัมต่อลิตร ลงในสารแ xenoloy เชื้ออะโกรแบคทีเรียมในช่วงการทำ co-cultivation ที่ระยะเวลา 10, 30, และ 60 นาที ตามลำดับ เพื่อยืนยันกับการไม่เติมสาร celite และตรวจสอบการแสดงออกของยีน *gus* ด้วยวิธี histochemical assay

ผลการตรวจสอบการแสดงออกของยีน *gus* ใน PLBs กล้วยไม้ที่ผ่านการถ่ายยีนในสภาวะที่ได้ก่อตัวมาแล้วข้างต้นเป็นเวลา 7 วัน พบว่าการเติมสาร celite ปริมาณ 2.5 กรัมต่อลิตร ลงในสารแ xenoloy เชื้ออะโกรแบคทีเรียมในช่วงการทำ co-cultivation ที่ระยะเวลา 10, 30 และ 60 นาที ตรวจพบ PLBs ที่ติดสีน้ำเงินเท่ากับ 33.35, 65.00 และ 51.65 เปลอร์เซ็นต์ ซึ่งมากกว่าในการทดลองที่ไม่เติมสาร celite โดยมีความแตกต่างกันอย่างมีนัยสำคัญทางสถิติ ($p<0.05$) (ตารางที่ 8 และภาพที่ 12) ดังนั้นการเติมสาร celite ลงในสารแ xenoloy เชื้ออะโกรแบคทีเรียมในช่วงการทำ co-cultivation ปริมาณ 2.5 กรัมต่อลิตร ที่ระยะเวลา 30 นาที สามารถเพิ่มประสิทธิภาพในการส่งถ่ายยีนเข้าสู่ PLBs ของกล้วยไม้พันธุ์ปอมปาดัวร์ ในการทดลองขั้นต่อไปจึงทำการทดสอบปริมาณของสาร celite ในปริมาณต่าง ๆ ดังนี้ 0, 0.5, 2.5, 4.5, 6.5, 8.5 และ 10.5 กรัมต่อลิตร ที่เหมาะสมต่อการถ่ายยีนเข้าสู่ PLBs ของกล้วยไม้ด้วยเชื้ออะโกรแบคทีเรียม

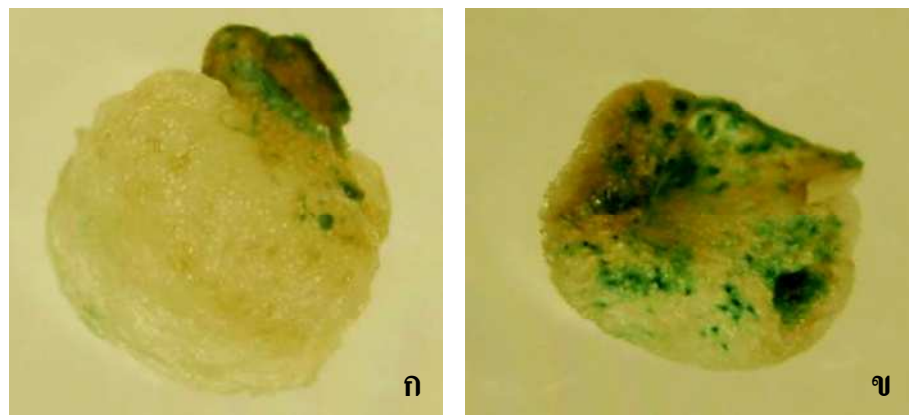
ตารางที่ 8 ผลของการเติมสาร celite ในสารแurenoloy เชื้ออะโกรแบคทีเรียมในการ co-cultivation กับ PLBs ของกล้วยไม้ต่อประสิทธิภาพการถ่ายยีนเข้าสู่กล้วยไม้พันธุ์ปอมปาดัวร์

ระยะเวลาในการ co-cultivation (นาที)	การเติม สาร celite	ผลการแสดงออกของเชิง <i>gus</i> ใน PLBs กล้วยไม้		
		ค่าเฉลี่ยของจำนวน PLBs ที่ได้รับการถ่ายยีนต่อจำนวน PLBs ที่ทำการถ่ายยีน ^{1/}	เปอร์เซ็นต์การเกิดสีนำ เงินของ PLBs ที่ได้รับการ ถ่ายยีน ^{2/}	
10	ไม่เติม	5.67/20	28.35 ^c	
	เติม	6.67/20	33.35 ^c	
30	ไม่เติม	6.00/20	30.00 ^c	
	เติม	13.00/20	65.00 ^a	
60	ไม่เติม	8.33/20	41.65 ^{bc}	
	เติม	10.33/20	51.65 ^{ab}	
<i>F-test</i>				
CV (%)				
*				
18.46				

^{1/}ค่าเฉลี่ยจากการทดลอง 3 ชุดโดย 1 ชุดใช้ PLBs จำนวน 20 ชิ้น

^{2/}ค่าเฉลี่ยที่ตามด้วยอักษรที่ต่างกันมีความแตกต่างกันทางสถิติ ที่ระดับความเชื่อมั่น 95 เปอร์เซ็นต์ เปรียบเทียบโดยวิธี DMRT

* แตกต่างทางสถิติอย่างมีนัยสำคัญ ที่ เมื่อเปรียบเทียบโดยวิธี DMRT ระดับความเชื่อมั่น 95 เปอร์เซ็นต์



ภาพที่ 12 การติดสีน้ำเงินของ PLBs กลวยไม้ที่ทำการถ่ายยืนด้วยเชื้ออะโกรแบคทีเรียมโดยเติมสาร celite ปริมาณ 2.5 กรัม ในระหว่างการ co-cultivation
 ก) ไม่มีการเติมสาร celite
 ข) มีการเติมสาร celite

1.6 การทดสอบปริมาณของสาร celite ที่มีผลต่อประสิทธิภาพในการถ่ายยืนด้วยเชื้ออะโกรแบคทีเรียมเข้าสู่ PLBs ของกลวยไม้

จากการทดสอบปริมาณของสาร celite ปริมาณต่าง ๆ ดังนี้ 0, 0.5, 2.5, 4.5, 6.5, 8.5 และ 10.5 กรัมต่อลิตร ในระหว่างการ co-cultivation โดยใช้เครื่อง vortex mixer (Vortex-2 Genie) ที่ความเร็วระดับ 7 เป็นเวลา 30 นาที และตรวจสอบการแสดงออกของยีน *gus* ด้วยวิธี histochemical assay พบว่าการเติมสาร celite ปริมาณ 0, 0.5, 2.5, 4.5, 6.5, 8.5 และ 10.5 กรัมต่อลิตร ในสารแขวนโดยเชื้ออะโกรแบคทีเรียมในช่วงการ co-cultivation เป็นเวลา 30 นาที มีเปอร์เซ็นต์การติดสีน้ำเงินบน PLBs เท่ากับ 60.00, 65.00, 66.65, 85.00, 81.65, 75 และ 78.50 ตามลำดับ ซึ่งไม่มีความแตกต่างทางสถิติ ($p < 0.05$) และพบว่า PLBs ที่ได้รับการถ่ายยืนติดจุดสีน้ำเงินในระดับความเข้มที่แตกต่างกัน โดยพบว่าการเติมสาร celite ปริมาณ 4.5 กรัมต่อลิตร PLBs ติดสีน้ำเงินเข้มมากกว่าการเติมสาร celite ที่ปริมาณอื่น ๆ (ตารางที่ 9 และภาพที่ 13)

ดังนั้นในการทดลองครั้งต่อไปได้เลือกเติมสาร celite ปริมาณ 4.5 กรัมต่อลิตร ลงในสารแขวนโดยเชื้ออะโกรแบคทีเรียมช่วงในการ co-cultivation เนื่องจากช่วยเพิ่มประสิทธิภาพในการถ่ายยืนเข้าสู่ PLBs ของกลวยไม้พันธุ์ป้อมปาดัวร์ได้ดีที่สุดและทำให้ PLBs มีการติดสีน้ำเงินในปริมาณที่เข้มมากขึ้น

ตารางที่ 9 ผลการทดสอบการเพิ่มสาร celite ปริมาณต่าง ๆ ในสารแ拜นโลอยเชื้ออะโกรเบคทีเรียมในการ co-cultivation

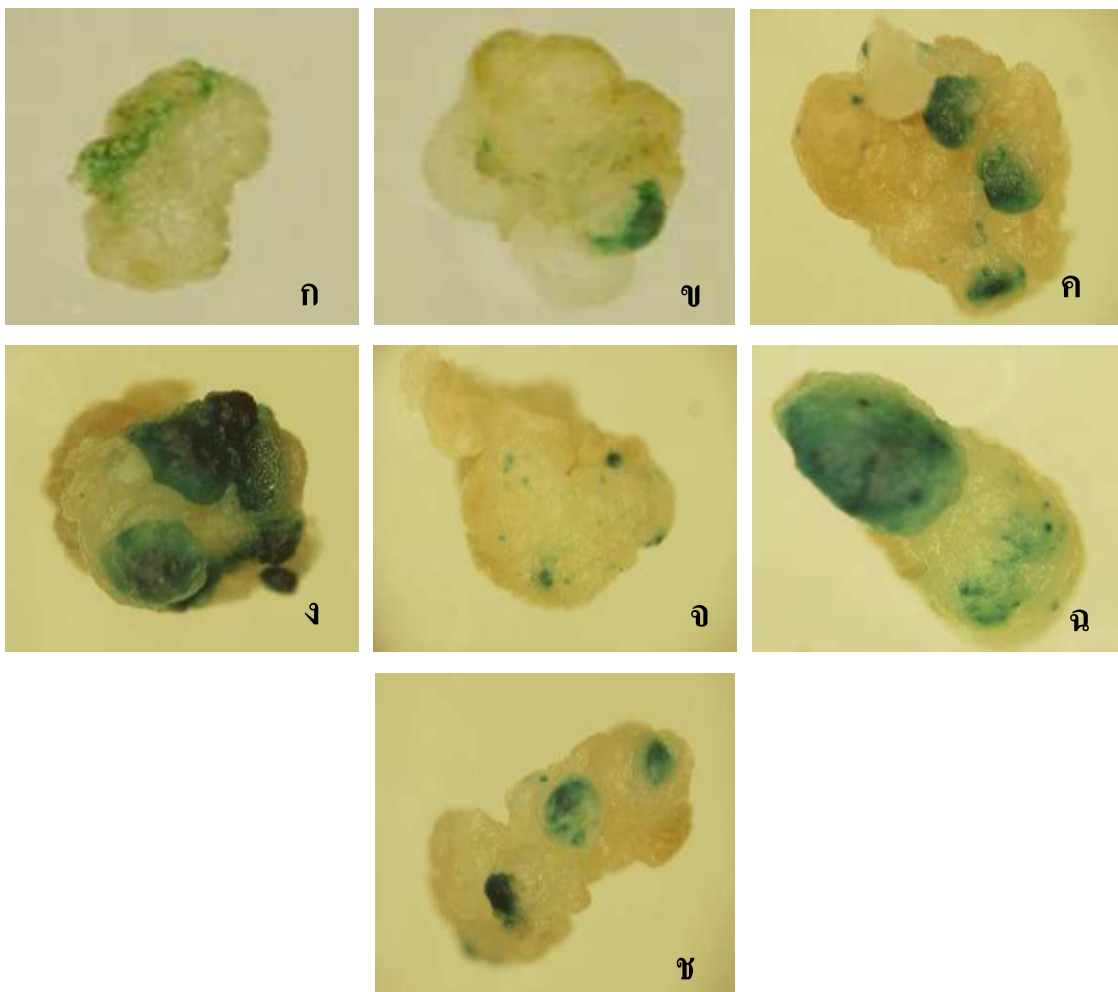
ปริมาณของสาร celite (กรัมต่อลิตร)	ผลการแสดงออกของยีน <i>gus</i> ใน PLBs ของกล้วยไม้		
	ค่าเฉลี่ยของจำนวน PLBs ที่ได้รับการถ่ายยีนต่อจำนวน PLBs ที่ทำการถ่ายยีน ^{1/}	เปอร์เซ็นต์การเกิดสีนำเงินของ PLBs ที่ได้รับการถ่ายยีน ^{2/}	
0	12.00/20	60.00 ^a	
0.5	13.33/20	65.00 ^a	
2.5	14.33/20	66.67 ^a	
4.5	17.00/20	85.00 ^a	
6.5	16.33/20	81.65 ^a	
8.5	15.00/20	75.00 ^a	
10.5	15.67/20	78.35 ^a	
<i>F-test</i>		ns	
CV (%)		5.52	

^{1/} ค่าเฉลี่ยจากการทดลอง 3 จำพวกโดย 1 จำพวกใช้ PLBs จำนวน 20 ชิ้น

^{2/} ค่าเฉลี่ยที่ตามด้วยอักษรที่เหมือนกัน ไม่มีความแตกต่างกันทางสถิติ ที่ระดับความเชื่อมั่น 95

เปอร์เซ็นต์ เปรียบเทียบโดยวิธี DMRT

ns ไม่มีความแตกต่างทางสถิติ เมื่อเปรียบเทียบโดยวิธี DMRT ที่ระดับความเชื่อมั่น 95 เปอร์เซ็นต์



ภาพที่ 13 ลักษณะการติดสีน้ำเงินที่เกิดจากการแสดงออกของยีน *gus* ในเนื้อเยื่อกล้ำยไม้ PLBs ที่เติมสาร celite ในปริมาณต่าง ๆ ในช่วงของการทำ co-cultivation

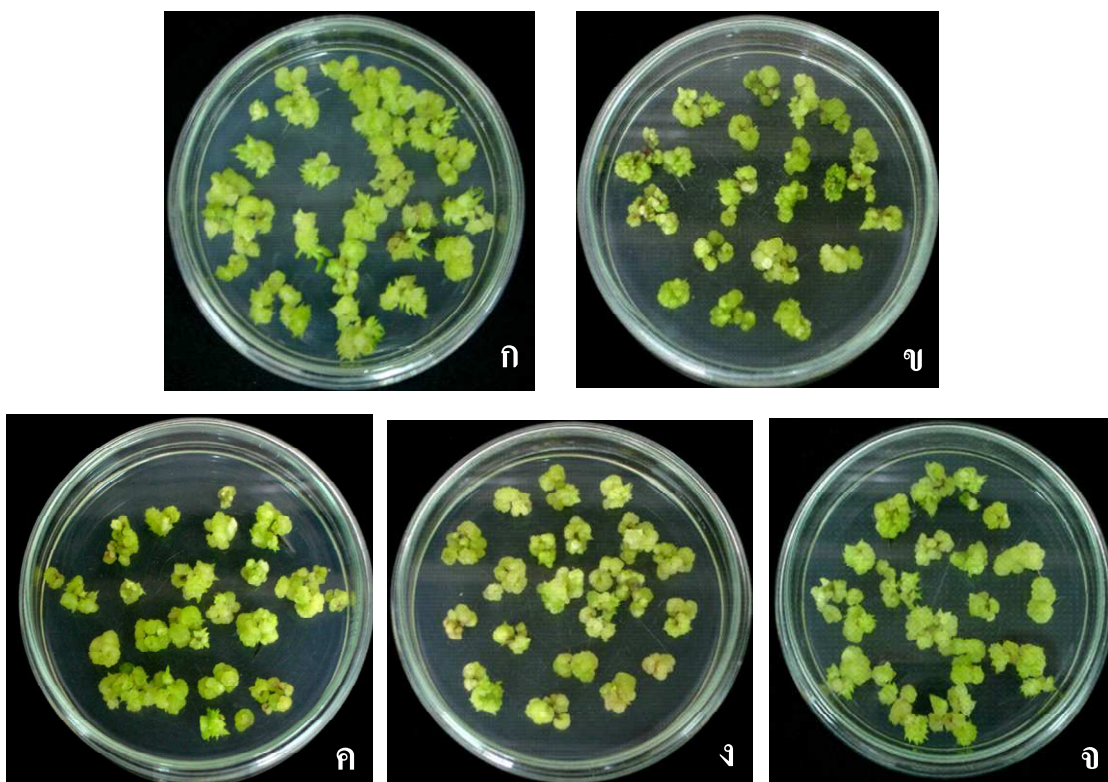
- ก. ไม่เติมสาร celite ในช่วงการทำ co-cultivation
- ข. เติมสาร celite ในปริมาณ 0.5 กรัมต่อลิตร
- ค. เติมสาร celite ในปริมาณ 2.5 กรัมต่อลิตร
- จ. เติมสาร celite ในปริมาณ 4.5 กรัมต่อลิตร
- ฉ. เติมสาร celite ในปริมาณ 6.5 กรัมต่อลิตร
- น. เติมสาร celite ในปริมาณ 8.5 กรัมต่อลิตร
- ฯ. เติมสาร celite ในปริมาณ 10.5 กรัมต่อลิตร

1.7 การทดสอบผลของสารปฎิชีวนะ cefotaxime และระดับความเข้มข้นของสารปฎิชีวนะ cefotaxime ต่อการเจริญเติบโตของ PLBs กล้วยไม้พันธุ์ปอมปาดัวร์

1.7.1 การทดสอบผลของสารปฎิชีวนะ cefotaxime ต่อการเจริญเติบโตของ PLBs กล้วยไม้พันธุ์ปอมปาดัวร์

ตัด PLBs กล้วยไม้หนานประมาณ 2 มิลลิเมตร เพาส์เลี้ยงบนอาหารสูตร VW ที่ไม่เติมน้ำมะพร้าว (ตารางภาคผนวกที่ 1) เติมสารปฎิชีวนะ cefotaxime ความเข้มข้น 0, 100, 200, 300 และ 400 มิลลิกรัมต่อลิตร โดยใช้ PLBs จำนวน 20 ชิ้น ในแต่ละความเข้มข้น ทำการทดลอง 3 ชั้้า ตรวจผลโดยการนับจำนวน PLBs ที่เจริญได้ภายในห้องการเพาส์เลี้ยงนาน 4 สัปดาห์ ผลการทดลองพบว่า เนื้อเยื่อกล้วยไม้สามารถเจริญได้ในอาหารที่มีสารปฎิชีวนะ cefotaxime ทุกระดับความเข้มข้น เมื่อเพาส์เลี้ยงนาน 4 สัปดาห์ โดยเนื้อเยื่อกล้วยไม้มีขนาด และปริมาณเพิ่มมากขึ้น กลุ่มของเนื้อเยื่อมีสีเขียว และสามารถพัฒนาไปเป็นยอดได้ตามปกติ (ภาพที่ 14)

ดังนั้นการเพาส์เลี้ยง PLBs ของกล้วยไม้สายพันธุ์ปอมปาดัวร์ โดยการเติมสารปฎิชีวนะ cefotaxime ที่ระดับความเข้มข้น 100 – 400 มิลลิกรัมต่อลิตร ในอาหารสูตร VW ที่ไม่เติมน้ำมะพร้าว ไม่มีผลต่อการยับยั้งการเจริญเติบโตไปเป็นยอดของเนื้อเยื่อกล้วยไม้ ดังนั้นในการถ่ายยืนจึงสามารถเลือกใช้สารปฎิชีวนะ cefotaxime ในการกำจัดเชื้ออห์ โกรแบบที่เรียบง่ายหลังการถ่ายยืนได้



ภาพที่ 14 ลักษณะการเจริญของ PLBs ของกล้วยไม้พันธุ์ป้อมปาด้วร์เพาะเลี้ยงบนอาหารสังเคราะห์สูตร VW ที่ไม่เติมน้ำมะพร้าวและเติมสารปฎิชีวนะ cefotaxime ระดับความเข้มข้นต่าง ๆ เป็นเวลา 4 สัปดาห์

- ก. ความเข้มข้นของสารปฎิชีวนะ cefotaxime 0 มิลลิกรัมต่อลิตร
- ข. ความเข้มข้นของสารปฎิชีวนะ cefotaxime 100 มิลลิกรัมต่อลิตร
- ค. ความเข้มข้นของสารปฎิชีวนะ cefotaxime 200 มิลลิกรัมต่อลิตร
- ง. ความเข้มข้นของสารปฎิชีวนะ cefotaxime 300 มิลลิกรัมต่อลิตร
- จ. ความเข้มข้นของสารปฎิชีวนะ cefotaxime 400 มิลลิกรัมต่อลิตร

1.7.2 การทดสอบระดับความเข้มข้นของสารปฎิชีวนะ cefotaxime ที่เหมาะสมสำหรับใช้ในการกำจัดเชื้ออห์ โกรแบคทีเรียมออกจาก PLBs ของกลัวยไม้ภายหลังจากการถ่ายยืน

นำ PLBs ของกลัวยไม้พันธุ์ปอมปาดัวร์ที่ได้รับการถ่ายยืนด้วยอะโกรแบคทีเรียมสายพันธุ์ EHA105 ซึ่งบรรจุเวกเตอร์ pMAT21 มาเพาะเลี้ยงบนอาหารสูตร VW ที่ไม่เติมน้ำมะพร้าว และเติมสารปฎิชีวนะ cefotaxime ความเข้มข้น 0, 100, 200, 300 และ 400 มิลลิกรัมต่อลิตร ตามลำดับ เพื่อกำจัดเชื้ออห์ โกรแบคทีเรียมภายหลังการถ่ายยืน โดยเมื่อนำ PLBs ที่ผ่านการถ่ายยืนมาเพาะเลี้ยงบนอาหารแข็งสูตร VW ที่ไม่เติมน้ำมะพร้าว และไม่เติมสารปฎิชีวนะ cefotaxime พบว่า PLBs ทุกชิ้นที่ทดสอบมีเชื้ออห์ โกรแบคทีเรียมมีสีขาวขุ่นเจริญปกคลุมชิ้นพืชและบนอาหารภายหลังการเพาะเลี้ยงบนอาหารเป็นเวลา 1 สัปดาห์ (ภาพที่ 15) ส่วน PLBs ที่เพาะเลี้ยงบนอาหารสูตร VW ที่ไม่เติมน้ำมะพร้าว และเติมสารปฎิชีวนะ cefotaxime ที่ระดับความเข้มข้น 50 และ 100 มิลลิกรัมต่อลิตร ตรวจพบการปนเปื้อนของเชื้ออห์ โกรแบคทีเรียมบน PLBs ของกลัวยไม้ 31.65 และ 26.65 เปอร์เซ็นต์ ตามลำดับ ส่วนเนื้อเยื่อที่เพาะเลี้ยงบนอาหารสูตร VW ที่ไม่เติมน้ำมะพร้าว และเติมสารปฎิชีวนะ cefotaxime ที่ระดับความเข้มข้น 200, 300 และ 400 มิลลิกรัมต่อลิตร ไม่พบการปนเปื้อนของเชื้ออห์ โกรแบคทีเรียม เมื่อเพาะเลี้ยงจนครบเวลา 4 สัปดาห์(ตารางที่ 10 และภาพที่ 15)

ดังนั้นในการถ่ายยืนเข้าสู่กลัวยไม้จึงเลือกใช้สารปฎิชีวนะ cefotaxime ที่ระดับความเข้มข้น 200 มิลลิกรัมต่อลิตร เติมลงในอาหารสำหรับเพาะเลี้ยงเนื้อเยื่อกลัวยไม้ เพื่อกำจัดเชื้ออห์ โกรแบคทีเรียมภายหลังการถ่ายยืน โดยไม่มีผลต่อการเจริญเติบโตของ PLBs ของกลัวยไม้

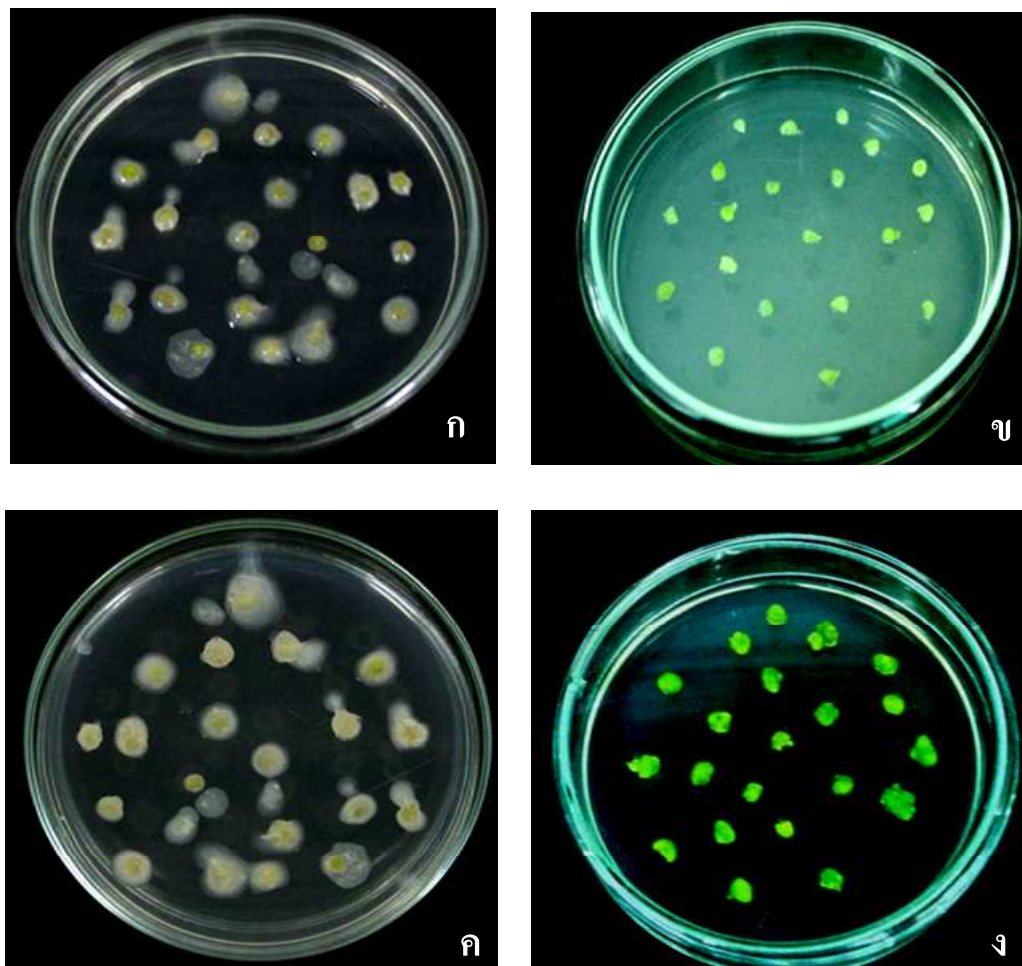
ตารางที่ 10 ผลการทดสอบระดับความเข้มข้นของสารปฏิชีวนะ cefotaxime ที่สามารถกำจัดเชื้ออะโกรแบคทีเรียมสายพันธุ์ EHA105 ออกจาก PLBs ของกลุ่มที่ไม่สกุล化วายพันธุ์ป่อนป้าด้วร์กายหลังการถ่ายยืนเป็นเวลา 4 สัปดาห์

ระดับความเข้มข้นของสารปฏิชีวนะ cefotaxime (มิลลิกรัมต่อลิตร)	ค่าเฉลี่ยของจำนวน PLBs ที่ปนเปื้อนเชื้ออะโกรแบคทีเรียมต่อจำนวน PLBs ที่ทดสอบ ^{1/}	เปอร์เซ็นต์การปนเปื้อนของเชื้ออะโกรแบคทีเรียม ^{2/}
0	20.00/20	100.00 ^a
50	6.33/20	31.65 ^b
100	5.33/20	26.65 ^b
200	0.00/20	0.00 ^c
300	0.00/20	0.00 ^c
400	0.00/20	0.00 ^c
<i>F-test</i>		*
CV (%)		5.90

^{1/}ค่าเฉลี่ยจากการทดลอง 3 จำพวก 1 จำพวก PLBs จำนวน 20 ชิ้น

^{2/}ค่าเฉลี่ยที่ตามด้วยอักษรที่ต่างกันมีความแตกต่างกันทางสถิติ ที่ระดับความเชื่อมั่น 95 เปอร์เซ็นต์เปรียบเทียบโดยวิธี DMRT

* แตกต่างทางสถิติอย่างมีนัยสำคัญ ที่ระดับความเชื่อมั่น 95 เปอร์เซ็นต์



ภาพที่ 15 ลักษณะของเนื้อเยื่ออكلด้วยไม็กายหลังการถ่ายยืน เพาะเลี้ยงบนอาหารสูตร VW ที่ไม่เติม น้ำมะพร้าว

- ก. ไม่เติมสารปฎิชีวนะ cefotaxime ลงในอาหาร และเพาะเลี้ยงเป็นเวลา 1 สัปดาห์
- ข. เติมสารปฎิชีวนะ cefotaxime ความเข้มข้น 200 มิลลิกรัมต่อลิตร ลงในอาหารและ เพาะเลี้ยงเป็นเวลา 1 สัปดาห์
- ค. ไม่เติมสารปฎิชีวนะ cefotaxime ลงในอาหาร และเพาะเลี้ยงเป็นเวลา 4 สัปดาห์
- ง. เติมสารปฎิชีวนะ cefotaxime ความเข้มข้น 200 มิลลิกรัมต่อลิตร ลงในอาหารและ เพาะเลี้ยงเป็นเวลา 4 สัปดาห์

2. การโคลนยีน AS-ACS และ AS-ACO เข้าสู่เวกเตอร์ pMAT21

จากการเพิ่มปริมาณชุดยีน AS-ACSA, AS-ACSB และ AS-ACSC และชุด AS-ACOA, AS-ACOB และ AS-ACOC จากเวกเตอร์ pCAMBIA1304-AS-ACSA, pCAMBIA1304-AS-ACSB, pCAMBIA1304-AS-ACSC, pCAMBIA1304-AS-ACOA, pCAMBIA1304-AS-ACOB และ pCAMBIA1304-AS-ACOC ที่ประกอบด้วย 35S-promoter ยีน ACS หรือ ACO ส่วน A, B และ C และ NOS-terminator ด้วยเทคนิค PCR โดยใช้ไพรเมอร์ 35S-SmaI และ NOST-SmaI สามารถเพิ่มปริมาณชุดยีนได้ดังนี้ ชุดยีน AS-ACSA มีขนาด 1,697 กู๊บส์ ชุดยีน AS-ACSB มีขนาด 1,261 กู๊บส์ ชุดยีน AS-ACSC มีขนาด 1,663 กู๊บส์ ชุดยีน AS-ACOA มีขนาด 1,426 กู๊บส์ ชุดยีน AS-ACOB มีขนาด 1,125 กู๊บส์ และชุดยีน AS-ACOC มีขนาด 1,435 กู๊บส์ตามลำดับ (ภาพที่ 16 และ ตารางที่ 11)

ข่ายชุดยีนดังกล่าวเข้าสู่เวกเตอร์ pGEM®-T Easy เพื่อเพิ่มปริมาณดีเอ็นเอ และตรวจสอบทิศทางของชุดยีนที่อยู่ในเวกเตอร์ pGEM®-T Easy โดยใช้endon ไซม์ SpeI ผลการตรวจสอบพบว่า ชุดยีน AS-ACSA พบແແບດดีเอ็นເອຂນາດ 4,110 และ 602 กູ່ບສ ຍິນ AS-ACSB ພບແແບດດີເອັນເອຂນາດ 3,674 ແລະ 602 ກູ່ບສ ຍິນ AS-ACSC ພບແແບດດີເອັນເອຂນາດ 3,489 ແລະ 1,189 ກູ່ບສ ຍິນ AS-ACOA ພບແແບດດີເອັນເອຂນາດ 3,839 ແລະ 602 ກູ່ບສ ຍິນ AS-ACOB ພບແແບດດີເອັນເອຂນາດ 3,489 ແລະ 651 ກູ່ບສ ແລະ ຍິນ AS-ACOC ພບແແບດດີເອັນເອຂນາດ 3,839 ແລະ 602 ກູ່ບສ (ภาพที่ 17, ภาพที่ 18 และ ตารางที่ 11) ຜຶ່ງເປັນນາດທີ່ຄູກຕ້ອງສໍາຫຼັບແຕ່ລະຊຸດຍືນ

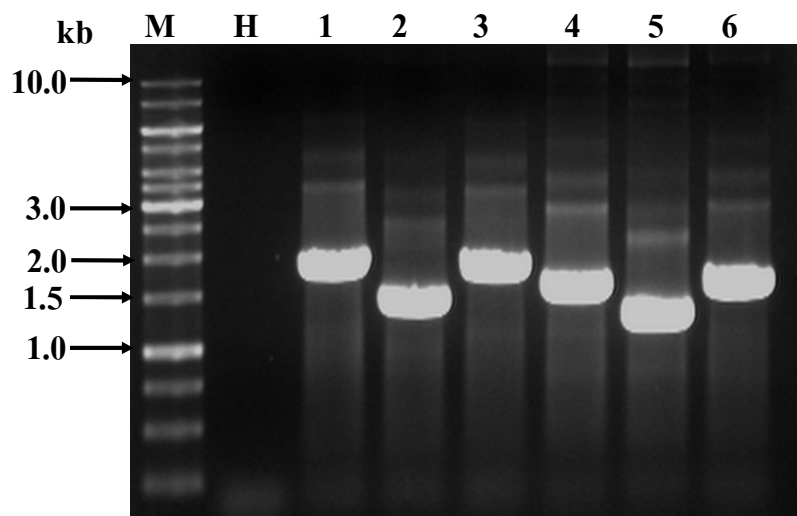
จากนั้นทำการข่ายชุดยีน AS-ACS หรือ AS-ACO ส่วน A, B และ C จากเวกเตอร์ pGEM®-T Easy โดยย่อด้วยendon ไซม์ SmaI ผลการตรวจสอบพบว่า ชุดยีน AS-ACSA ພບແແບດດີເອັນເອຂນາດ 3,015 ແລະ 1,697 ກູ່ບສ ສ່ວນຍິນ AS-ACSB ພບແແບດດີເອັນເອຂນາດ 3,015 ແລະ 1,261 ກູ່ບສ ຍິນ AS-ACSC ພບແແບດດີເອັນເອຂນາດ 3,015 ແລະ 1,663 ກູ່ບສ ຍິນ AS-ACOA ພບແແບດດີເອັນເອຂນາດ 3,015 ແລະ 1,426 ກູ່ບສ ຍິນ AS-ACOB ພບແແບດດີເອັນເອຂນາດ 3,015 ແລະ 1,125 ກູ່ບສ ແລະ ຍິນ AS-ACOC ພບແແບດດີເອັນເອຂນາດ 3,015 ແລະ 1,435 ກູ່ບສ (ภาพที่ 17, ภาพที่ 19 และ ตารางที่ 11) ຜຶ່ງເປັນນາດທີ່ຄູກຕ້ອງສໍາຫຼັບແຕ່ລະຊຸດຍືນ

นำชุดยีนดังกล่าวเข้าสู่เวกเตอร์ pMAT21 ที่ตำแหน่ง SmaI ในบริเวณ multicloning site (ภาพที่ 7) ได้ชุดยีน pMAT21-AS-ACS หรือ AS-ACO ส่วน A, B และ C (ภาพที่ 20ก) จากนั้นทำการถ่ายชุดยีนที่ได้เข้าสู่เชื้อ *A. tumefaciens* สายพันธุ์ EHA105 ຜຶ່ງตรวจสอบการมีอยู่ของ

ชุดยีน pMAT21-AS-ACS หรือ AS-*ACO* ส่วน A, B และ C ในเชื้ออะโกรแแบคทีเรียมโดยเทคนิค PCR โดยใช้ไพรเมอร์ 35S-*Sma*I กับ NOST-*Sma*I (ภาพที่ 20ก) ตรวจพบชุดยีน AS-*ACSA* มีขนาด 1,697 คู่เบส ชุดยีน AS-*ACSB* มีขนาด 1,261 คู่เบส ชุดยีน AS-*ACSC* มีขนาด 1,663 คู่เบส ชุดยีน AS-*ACOA* มีขนาด 1,426 คู่เบส ชุดยีน AS-*ACOB* มีขนาด 1,125 คู่เบส และชุดยีน AS-*ACOC* มีขนาด 1,435 คู่เบสตามลำดับ (ภาพที่ 20خ และตารางที่ 11) ซึ่งเป็นขนาดของ 35S promoter, AS-*ACS* หรือ AS-*ACO* ส่วน A, B และ C, และ NOS-poly A ในทุก construct ดังภาพที่ 20ก และตารางที่ 11 จากนั้นใช้เชื้ออะโกรแแบคทีเรียมดังกล่าวในการถ่ายยีนเข้าสู่ PLBs กลวยไม้สกุลหวานซึ่งป้อมปาดัวร์ต่อไป

ตารางที่ 11 ชุดเป็น AS-ACS และเป็น AS-ACO ในวิธีด้วย pCAMBIA1304, pGEM®-T Easy และ pMAT21 ที่ใช้ในการถ่ายทอดเชิงทางชีวภาพ
พัฒนาการของแบคทีเรียส์กับตัวรับ

ชุดเป็น	ปั๊ม AS-ACS ได้ AS-ACO ที่บรรจุในไวโภคตอร์ pGEM®-T Easy			ชุดเป็น
	อ่อนหัก SphI	อ่อนหัก SmaI		
ชุดเป็น	ชุดเป็น PCR	ชุดเป็น Product	ชุดเป็น ขนาดพื้นที่สี่เหลี่ยม	ชุดเป็น PCR Product
(กิโลกรัม)				
ปั๊ม AS-ACS			(กิโลกรัม)	(กิโลกรัม)
pCAMBIA1304-AS-ACSA	1,697	pGEM®-T Easy-AS-ACSA	4,110 ไมล์ 602	3,015 ไมล์ 1,697
pCAMBIA1304-AS-ACSB	1,261	pGEM®-T Easy-AS-ACSB	3,674 ไมล์ 602	3,015 ไมล์ 1,261
pCAMBIA1304-AS-ACSC	1,663	pGEM®-T Easy-AS-ACSC	3,489 ไมล์ 1,189	3,015 ไมล์ 1,663
ปั๊ม AS-ACO				
pCAMBIA1304-AS-ACOA	1,426	pGEM®-T Easy-AS-ACOA	3,839 ไมล์ 602	3,015 ไมล์ 1,426
pCAMBIA1304-AS-ACOB	1,125	pGEM®-T Easy-AS-ACOB	3,261 ไมล์ 651	3,015 ไมล์ 1,125
pCAMBIA1304-AS-ACOC	1,435	pGEM®-T Easy-AS-ACOC	3,839 ไมล์ 602	3,015 ไมล์ 1,435



ภาพที่ 16 การตรวจวิเคราะห์ชุดยีน AS-ACS และ ยีน AS-ACO ส่วน A, B และ C ที่เพิ่มปริมาณได้จากในเวกเตอร์ pCAMBIA1304-AS-ACSA, pCAMBIA1304-AS-ACSB,
pCAMBIA1304-AS-ACSC, pCAMBIA1304-AS-ACOA, pCAMBIA1304-AS-ACOB
และ pCAMBIA1304-AS-ACOC ตามลำดับ ด้วยวิธี PCR โดยใช้ไพรเมอร์ 35S-SmaI
และ NOST-SmaI

M : ดีเอ็นเอมาตรฐาน (1 kb ladder-DNA marker; Fermentas, Lithuania)

H : น้ำกัดนั่งม่าเซื้อ ใช้เป็น negative control

1 : PCR product ขนาด 1,697 กูเบส จาก pCAMBIA1304-AS-ACSA

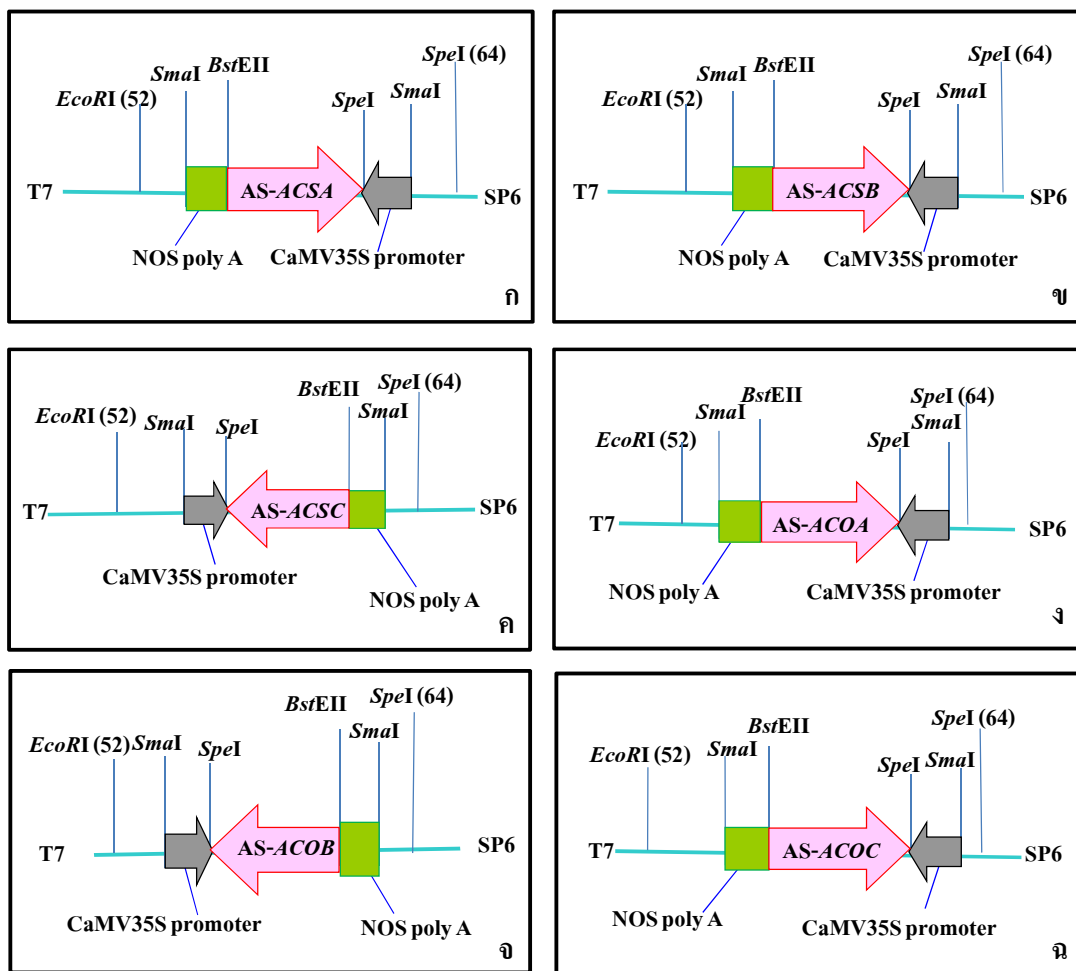
2 : PCR product ขนาด 1,261 กูเบส จาก pCAMBIA1304-AS-ACSB

3 : PCR product ขนาด 1,663 กูเบส จาก pCAMBIA1304-AS-ACSC

4 : PCR product ขนาด 1,426 กูเบส จาก pCAMBIA1304-AS-ACOA

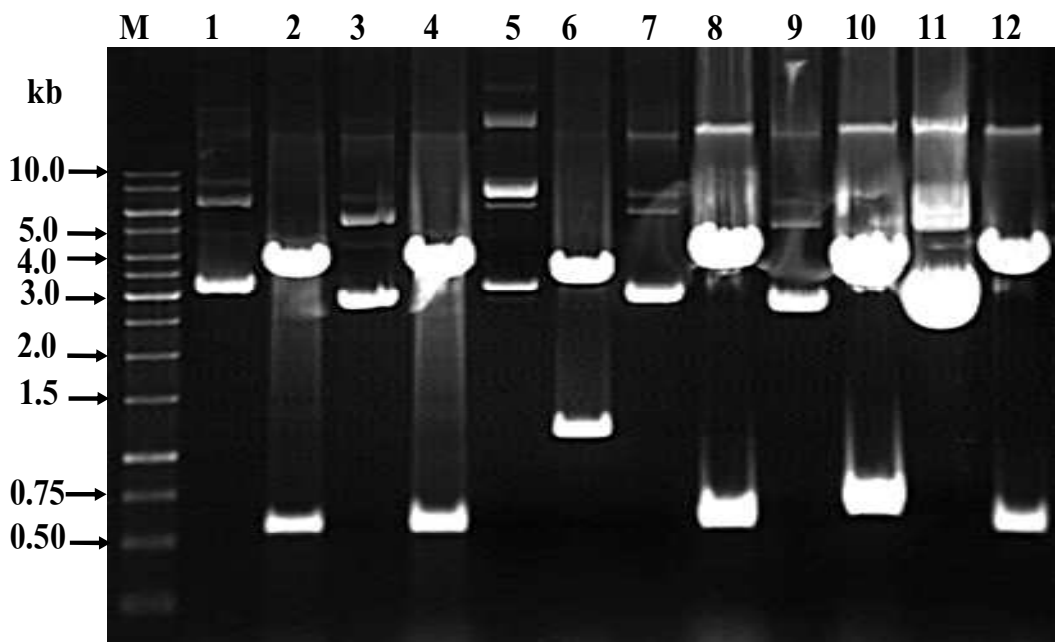
5 : PCR product ขนาด 1,125 กูเบส จาก pCAMBIA1304-AS-ACOB

6 : PCR product ขนาด 1,435 กูเบส จาก pCAMBIA1304-AS-ACOC



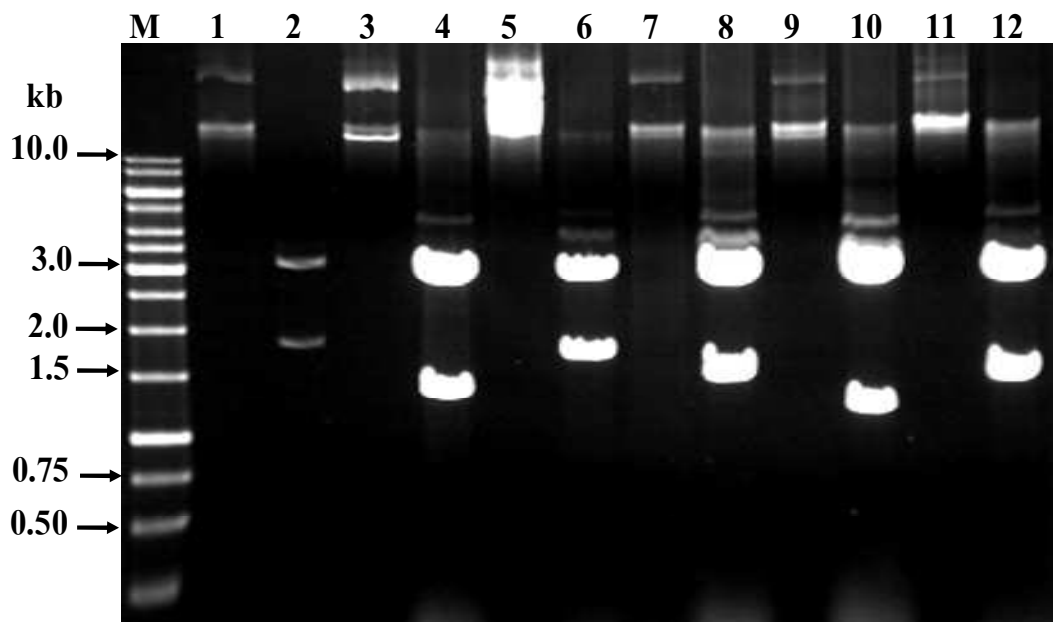
ภาพที่ 17 แผนที่ของยีน AS-ACSA, AS-ACSB, AS-ACSC, AS-ACOA, AS-ACOB และ AS-ACOC ที่บรรจุอยู่ในภาคเตอร์ pGEM®-T Easy

- pGEM®-T Easy-AS-ACSA
- pGEM®-T Easy-AS-ACSB
- pGEM®-T Easy-AS-ACSC
- pGEM®-T Easy-AS-ACOA
- pGEM®-T Easy-AS-ACOB
- pGEM®-T Easy-AS-ACOC



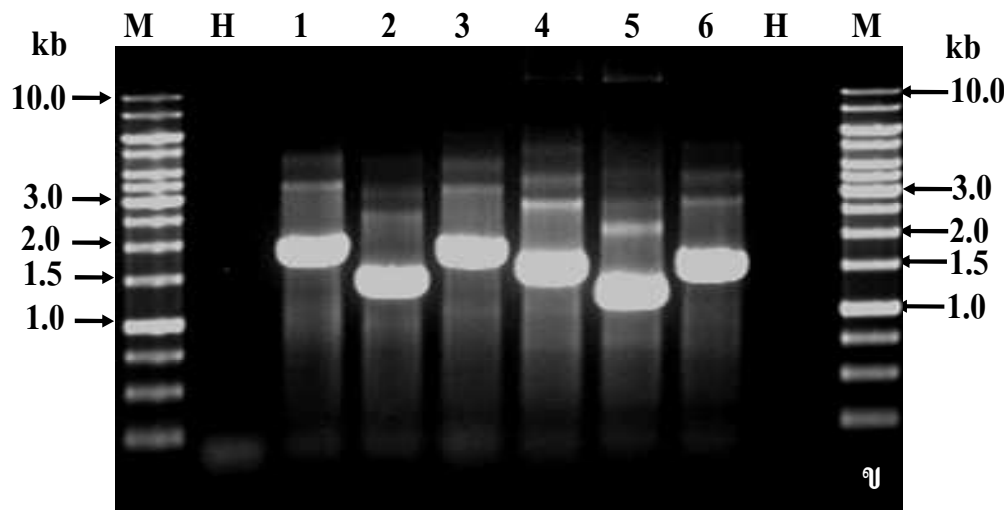
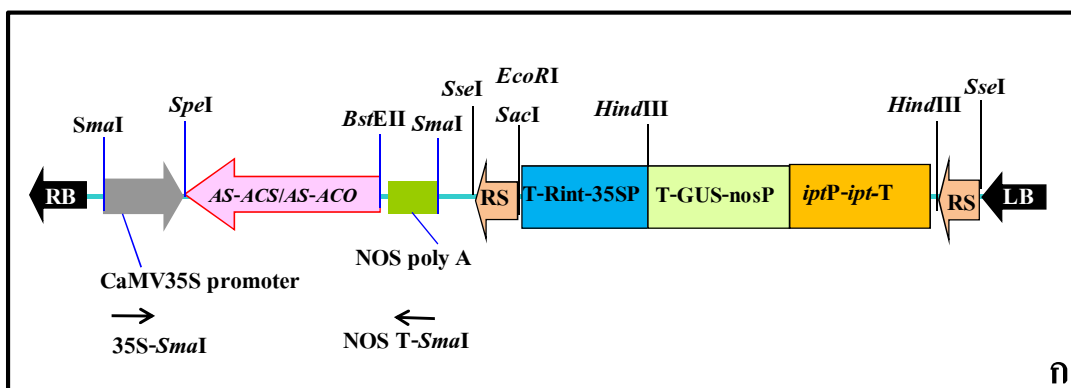
ภาพที่ 18 การตรวจวิเคราะห์ชุดขึ้น AS-ACS และ ขึ้น AS-ACO ส่วน A, B และ C ที่อยู่ในเวกเตอร์ pGEM[®]-T Easy ตรวจสอบโดยการย่อยด้วยเอนไซม์ตัดจำเพาะ *SpeI*

- M : ดีเอ็นเอมาตรฐาน (1 kb ladder-DNA marker; Fermentas, Lithuania)
- 1 : ดีเอ็นเอของ pGEM[®]-T Easy -AS-ACSA ที่ไม่ได้ย่อยด้วยเอนไซม์
- 2 : ดีเอ็นเอของ pGEM[®]-T Easy -AS-ACSA ที่ย่อยด้วยเอนไซม์ตัดจำเพาะ *SpeI*
- 3 : ดีเอ็นเอของ pGEM[®]-T Easy -AS-ACSB ที่ไม่ได้ย่อยด้วยเอนไซม์
- 4 : ดีเอ็นเอของ pGEM[®]-T Easy -AS-ACSB ที่ย่อยด้วยเอนไซม์ตัดจำเพาะ *SpeI*
- 5 : ดีเอ็นเอของ pGEM[®]-T Easy -AS-ACSC ที่ไม่ได้ย่อยด้วยเอนไซม์
- 6 : ดีเอ็นเอของ pGEM[®]-T Easy -AS-ACSC ที่ย่อยด้วยเอนไซม์ตัดจำเพาะ *SpeI*
- 7 : ดีเอ็นเอของ pGEM[®]-T Easy -AS-ACOA ที่ไม่ได้ย่อยด้วยเอนไซม์
- 8 : ดีเอ็นเอของ pGEM[®]-T Easy -AS-ACOA ที่ย่อยด้วยเอนไซม์ตัดจำเพาะ *SpeI*
- 9 : ดีเอ็นเอของ pGEM[®]-T Easy -AS-ACOB ที่ไม่ได้ย่อยด้วยเอนไซม์
- 10 : ดีเอ็นเอของ pGEM[®]-T Easy -AS-ACOB ที่ย่อยด้วยเอนไซม์ตัดจำเพาะ *SpeI*
- 11 : ดีเอ็นเอของ pGEM[®]-T Easy -AS-ACOC ที่ไม่ได้ย่อยด้วยเอนไซม์
- 12 : ดีเอ็นเอของ pGEM[®]-T Easy -AS-ACOC ที่ย่อยด้วยเอนไซม์ตัดจำเพาะ *SpeI*



ภาพที่ 19 การตรวจวิเคราะห์ชุดยีน AS-ACS และ ยีน AS-ACO ส่วน A, B และ C ที่อยู่ในเวกเตอร์ pGEM®-T Easy ตรวจสอบโดยการย่อยด้วยเอนไซม์ตัดจำเพาะ *Sma*I

- M : ดีเอ็นเอมาตรฐาน (1 kb ladder-DNA marker; Fermentas, Lithuania)
- 1 : ดีเอ็นเอของ pGEM®-T Easy -AS-ACSA ที่ไม่ได้ย่อยด้วยเอนไซม์
- 2 : ดีเอ็นเอของ pGEM®-T Easy -AS-ACSA ที่ย่อยด้วยเอนไซม์ตัดจำเพาะ *Sma*I
- 3 : ดีเอ็นเอของ pGEM®-T Easy -AS-ACSB ที่ไม่ได้ย่อยด้วยเอนไซม์
- 4 : ดีเอ็นเอของ pGEM®-T Easy -AS-ACSB ที่ย่อยด้วยเอนไซม์ตัดจำเพาะ *Sma*I
- 5 : ดีเอ็นเอของ pGEM®-T Easy -AS-ACSC ที่ไม่ได้ย่อยด้วยเอนไซม์
- 6 : ดีเอ็นเอของ pGEM®-T Easy -AS-ACSC ที่ย่อยด้วยเอนไซม์ตัดจำเพาะ *Sma*I
- 7 : ดีเอ็นเอของ pGEM®-T Easy -AS-ACOA ที่ไม่ได้ย่อยด้วยเอนไซม์
- 8 : ดีเอ็นเอของ pGEM®-T Easy -AS-ACOA ที่ย่อยด้วยเอนไซม์ตัดจำเพาะ *Sma*I
- 9 : ดีเอ็นเอของ pGEM®-T Easy -AS-ACOB ที่ไม่ได้ย่อยด้วยเอนไซม์
- 10 : ดีเอ็นเอของ pGEM®-T Easy -AS-ACOB ที่ย่อยด้วยเอนไซม์ตัดจำเพาะ *Sma*I
- 11 : ดีเอ็นเอของ pGEM®-T Easy -AS-ACOC ที่ไม่ได้ย่อยด้วยเอนไซม์
- 12 : ดีเอ็นเอของ pGEM®-T Easy -AS-ACOC ที่ย่อยด้วยเอนไซม์ตัดจำเพาะ *Sma*I



ภาพที่ 20 แผนที่ของยีน AS-ACS และ AS-ACO ที่บรรจุในเวกเตอร์ pMAT21 (ก) และ การตรวจวิเคราะห์ชุดยีน AS-ACS และยีน AS-ACO ส่วน A, B และ C ที่อยู่ในเวกเตอร์ pMAT21 ด้วยวิธี PCR โดยใช้ไพรเมอร์ 35S-SmaI และ NOST-SmaI (ภ)

M : ดีเอ็นเอมาตรฐาน (1 kb ladder-DNA marker; Fermentas, Lithuania)

H : น้ำกัดนั่งม่าเชื้อ ใช้เป็น negative control

1 : PCR product ขนาดประมาณ 1,697 กูเบส จาก pMAT21-AS-ACSA

2 : PCR product ขนาดประมาณ 1,261 กูเบส จาก pMAT21-AS-ACSB

3 : PCR product ขนาดประมาณ 1,663 กูเบส จาก pMAT21-AS-ACSC

4 : PCR product ขนาดประมาณ 1,426 กูเบส จาก pMAT21-AS-ACOA

5 : PCR product ขนาดประมาณ 1,125 กูเบส จาก pMAT21-AS-ACOB

6 : PCR product ขนาดประมาณ 1,435 กูเบส จาก pMAT21-AS-ACOC

3. การตรวจสอบยืน AS-ACS หรือ AS-ACO และยืน *ipt* ซึ่งเป็นยืนคัดเลือกในกลัวยไม้ดัดแปลงพันธุกรรมในระบบทะอุดกระเจุก

จากการถ่ายยืน pMAT21-AS-ACS และ pMAT21-AS-ACO ที่มียืน AS-ACS และ AS-ACO ส่วน A, B และ C เข้าสู่กลัวยไม้สกุลหวานพันธุ์ปอมปาดัวร์โดยใช้เชื้ออะโกรแบคทีเรียม พบว่า ภายหลังการถ่ายยืนเป็นเวลา 2 เดือน เนื้อเยื่อเริ่มพัฒนาเป็นกลุ่มแคลลัสสีเทา และพัฒนาต่อไปเป็นยอดกระเจุก เมื่อเลี้ยงบนอาหารสูตร VW ที่ไม่เติมน้ำมะพร้าว นานประมาณ 4-6 เดือน (ภาพที่ 21 และภาพที่ 22) ลักษณะของยอดกระเจุกที่สังเกตได้มี 2 แบบ คือ ยอดกระเจุกแบบที่เกาะตัวกันอย่างหนาแน่น และแบบเกาะตัวกันห้วง ๆ จากนั้นนำยอดกระเจุกที่เกาะตัวกันอย่างหนาแน่นมาตรวจวิเคราะห์หาเชิง AS-ACS, AS-ACO และเชิง *ipt* โดยเทคนิค PCR และ Southern blot hybridization of PCR products

ผลการตรวจสอบเชิง AS-ACSA, AS-ACSB, AS-ACSC, AS-ACOA, AS-ACOB, AS-ACOC และเชิง *ipt* ในกลัวยไม้ดัดแปลงพันธุกรรมในระบบทะอุดกระเจุกด้วยเทคนิค PCR และทำการถ่ายยืนผลด้วย Southern blot hybridization of PCR products โดยใช้ไพรเมอร์ 35S-SmaI และ AS-ACS1BstEII, 35S-SmaI และ AS-ACS400BstEII, 35S-SmaI และ AS-ACS400BstEII, 35S-SmaI และ ACO1R-B1, 35S-SmaI และ ACO301R-B2, 35S-SmaI และ ACO301R-B2, IPT1 และ IPT2 ตามลำดับ (ตารางที่ 2)

กลัวยไม้ที่มีเชิง AS-ACSA ตรวจพบແບดีอีนออกนาด 1,440 คู่เบส (ภาพที่ 23ก และ 23ข) และเชิง *ipt* ขนาด 800 คู่เบส (ภาพที่ 23ก และ 23ง) จำนวน 8 ต้น จากจำนวนยอดกระเจุกทั้งหมด 300 กระเจุก ซึ่งมีประสิทธิภาพในการถ่ายยืนคิดเป็น 2.66 เปอร์เซ็นต์ (ตารางที่ 12)

กลัวยไม้ที่มีเชิง AS-ACSB ตรวจพบແບดีอีนออกนาด 1,008 คู่เบส (ภาพที่ 24ก และ 24ข) และเชิง *ipt* ขนาด 800 คู่เบส (ภาพที่ 24ก และ 24ง) จำนวน 124 ต้น จากจำนวนยอดกระเจุกทั้งหมด 281 กระเจุก ซึ่งมีประสิทธิภาพในการถ่ายยืนคิดเป็น 44.12 เปอร์เซ็นต์ (ตารางที่ 12)

กลัวยไม้ที่มีเชิง AS-ACSC ตรวจพบແບดีอีนออกนาด 1,410 คู่เบส (ภาพที่ 25ก และ 25ข) และเชิง *ipt* ขนาด 800 คู่เบส (ภาพที่ 25ก และ 25ง) จำนวน 76 ต้น จากจำนวนยอดกระเจุกทั้งหมด 300 กระเจุก ซึ่งมีประสิทธิภาพในการถ่ายยืนคิดเป็น 25.33 เปอร์เซ็นต์ (ตารางที่ 12)

กล้วยไม้ที่มียีน AS-ACOA ตรวจพบແຄบดีເອັນເອນາດ 1,173 ຄູ່ບັສ (ກາພທີ 26ກ ແລະ 26ຂ) ແລະຍືນ *ipt* ແນາດ 800 ຄູ່ບັສ (ກາພທີ 26ຄ ແລະ 26ງ) ຈຳນວນ 219 ຕິ່ນ ຈາກຈຳນວນຍອດກະຈຸກທັງໝາດ 540 ກະຈຸກ ຜຶ້ງມີປະສິທິກາພໃນການຄ່າຍືນຄົດເປັນ 40.55 ເປົ້ອຮັ້ນຕີ (ຕາຮາງທີ 12)

กล้วยไม้ທີ່ມີຍືນ AS-ACOB ตรวจພົບແຄບດີເອັນເອນາດ 872 ຄູ່ບັສ (ກາພທີ 27ກ ແລະ 27ຂ) ແລະຍືນ *ipt* ແນາດ 800 ຄູ່ບັສ (ກາພທີ 27ຄ ແລະ 28ງ) ຈຳນວນ 240 ຕິ່ນ ຈາກຈຳນວນຍອດກະຈຸກທັງໝາດ 404 ກະຈຸກ ຜຶ້ງມີປະສິທິກາພໃນການຄ່າຍືນຄົດເປັນ 59.40 ເປົ້ອຮັ້ນຕີ (ຕາຮາງທີ 12)

ແລະກລ້ວຍໄມ້ທີ່ມີຍືນ AS-ACOC ຕຽບພົບແຄບດີເອັນເອນາດ 1,182 ຄູ່ບັສ (ກາພທີ 28ກ ແລະ 28ຂ) ແລະຍືນ *ipt* ແນາດ 800 ຄູ່ບັສ (ກາພທີ 28ຄ ແລະ 28ງ) ຈຳນວນ 169 ຕິ່ນ ຈາກຈຳນວນຍອດກະຈຸກທັງໝາດ 457 ກະຈຸກ ຜຶ້ງມີປະສິທິກາພໃນການຄ່າຍືນຄົດເປັນ 36.98 ເປົ້ອຮັ້ນຕີ (ຕາຮາງທີ 12) ສ່ວນຕິ່ນທີ່ໄດ້ການຄ່າຍືນທີ່ໄມ້ມີຍືນແລະຕິ່ນທີ່ໄມ້ໄດ້ຄ່າຍືນຈະຕຽບໄມ້ພົບແຄບດີເອັນເອນາດດັ່ງກ່າວ

ການຕຽບສອບການມືອງຢູ່ຂຸດຍືນ AS-ACS ອີຣີ AS-ACO ແລະຍືນ *ipt* ນັ້ນ ເປັນການຕຽບສອບຍືນເບື້ອງຕິ່ນ ໃນເນື້ອເຂົ້ອທີ່ພັດນາເປັນຍອດກະຈຸກ ນໍາຍອດກະຈຸກທີ່ໄຫ້ພົບວກຈາກການຕຽບສອບດ້ວຍວິທີ PCR ແລະ Southern blot hybridization of PCR products (ຕາຮາງທີ 12) ມາເພາະເລື້ອງໃຫ້ພັດນາໃຫ້ເປັນຕິ່ນທີ່ສມບູຮົມ (ກາພທີ 21 ແລະ 22) ແລະນຳໄປຕຽບສອບຍືນ AS-ACS, AS-ACO ແລະຍືນ *ipt* ດ້ວຍວິທີ PCR ແລະ Southern blot hybridization of PCR product ອີກຄັ້ງ ເພື່ອຕຽບຈິງເວລາທີ່ຍືນ *ipt* ຜຶ້ງມີປະສິທິກາພໃນການຄ່າຍືນຄົດເປັນໄດ້ຖຸກຕັດອອກຈາກຈິໂນມກລ້ວຍໄມ້ແລະມີເລີພາຍືນ AS-ACS ອີຣີ AS-ACO



ภาพที่ 21 ขั้นตอนในการถ่ายยีนเข้าสู่กล้าวยไม้ด้วยเชื้ออะโกรแบคทีเรียม โดยใช้วีแกตเตอร์ pMAT21

ก. ลักษณะของ PLBs ที่ใช้สำหรับการถ่ายยีน

ข. ขั้นตอนการ co-cultivation ในการถ่ายยีนเข้าสู่กล้าวยไม้ด้วยเชื้ออะโกรแบคทีเรียม

ค. ขยาย PLBs วางบนอาหารสูตร VW ที่ไม่เติมน้ำมะพร้าว

ง. ลักษณะเนื้อเยื่อพัฒนาเป็นกลุ่มแคลลัสสีขาว ภายหลังการถ่ายยีนเป็นเวลา 2 เดือน

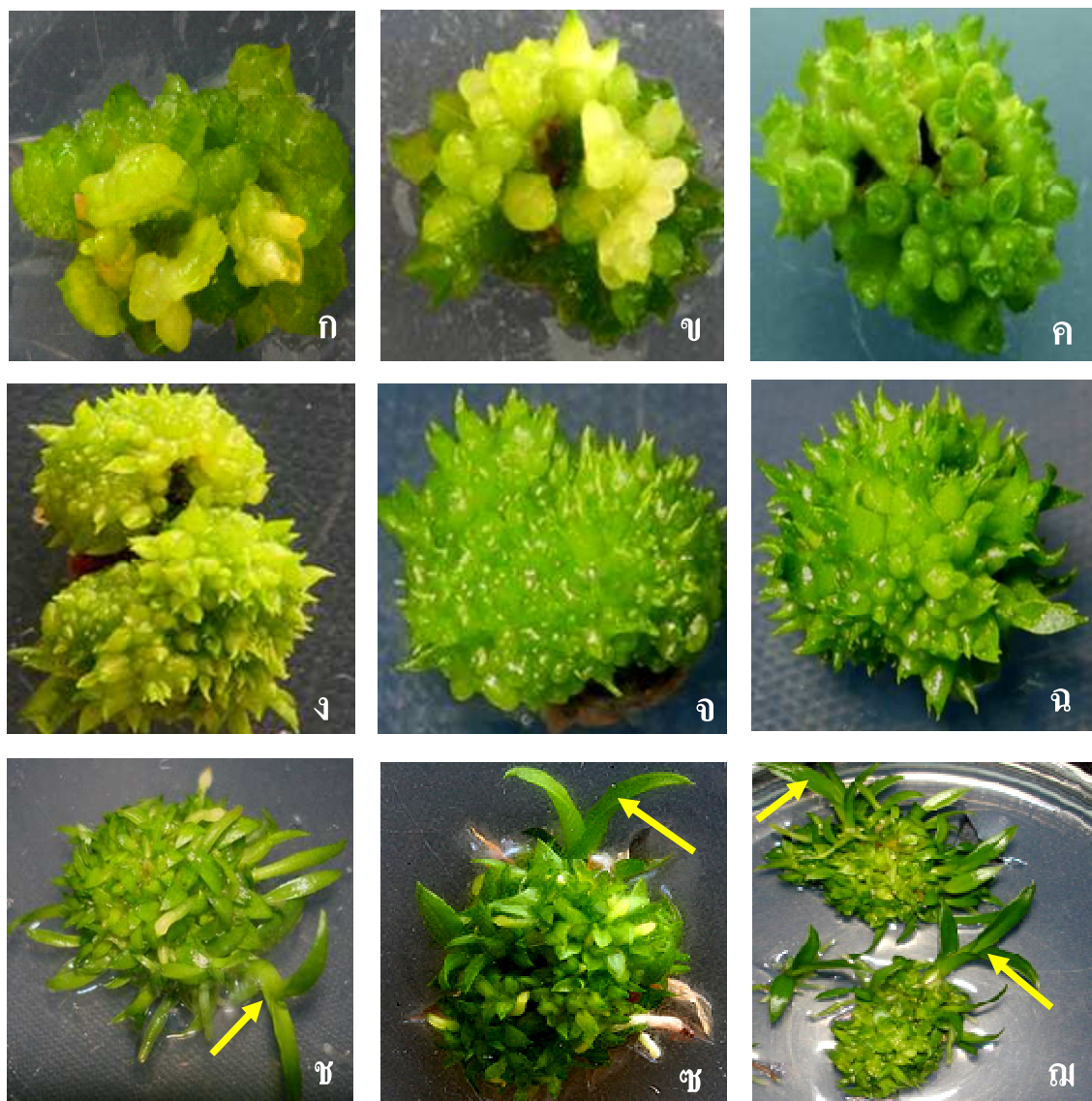
จ. ลักษณะยอดที่แตกเป็นกระจุก (*ipt*-shooties) ภายหลังการถ่ายยีนเป็นเวลา 4 เดือน

ฉ. ลักษณะยอดที่แตกเป็นกระจุก (*ipt*-shooties) ภายหลังการถ่ายยีนเป็นเวลา 5 เดือน

ช. ลักษณะยอดที่แตกเป็นกระจุก (*ipt*-shooties) ภายหลังการถ่ายยีนเป็นเวลา 6 เดือน

ฌ. ยอดปกติพัฒนามาจากยอดกระจุก บริเวณลูกศรชี้

ญ. พัฒนาขอยอดปกติให้เป็นต้นและรากที่สมบูรณ์



ภาพที่ 22 ลักษณะการพัฒนาเป็นยอดกระฉูกของ PLBs กล้วยไม้ภายหลังการค่ายืน pMAT21-AS-

ACS หรือ pMAT21-AS-*ACO*

ก-ค. การเกิดยอดของกล้วยไม้ที่ไม่ได้รับการค่ายืน

ง-ฉ. การเกิดยอดกระฉูก (*ipt-shooties*) ภายหลังการค่ายืนเป็นเวลา 4-5 เดือน

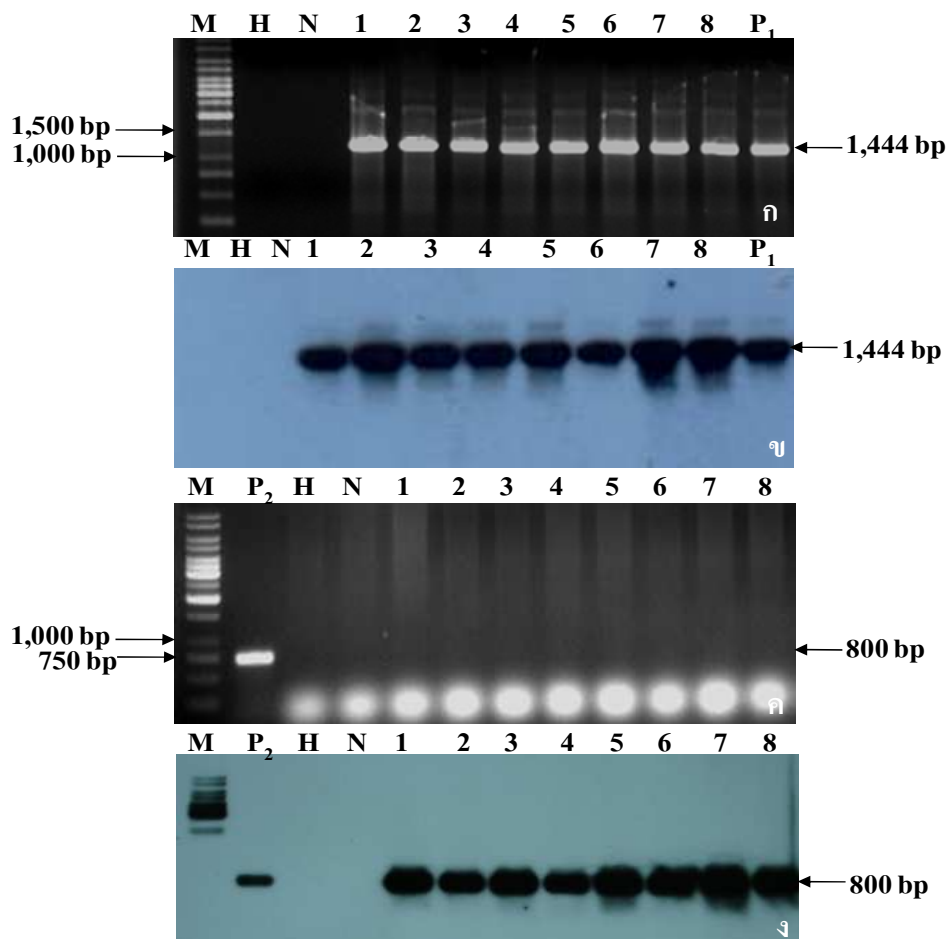
ฉ-ฉ. การเกิดยอดปกติ (normal-shooty) บริเวณลูกศรชี้ ภายหลังการค่ายืนเป็นเวลา

6-8 เดือน

ตารางที่ 12 ประสิทธิภาพในการถ่ายยีนเข้าสู่กล้วยไม้พันธุ์ป้อมปาดัวร์ในระยะยอดกระจุก (*ipt* shooties)

ชุดยีน	จำนวน PLBs ที่ใช้ในการ ถ่ายยีน	จำนวนยอดกระจุกที่ตรวจพบยีน AS-ACS หรือ AS-ACO และยีน <i>ipt</i> รวมต่อจำนวนยอดกระจุกทั้งหมด	เปอร์เซ็นต์ ที่ได้รับการ ถ่ายยีน ⁽¹⁾
ยีน AS-ACS			
pMAT21-AS-ACSA	250	8/300	2.66
pMAT21-AS-ACSB	290	124/281	44.12
pMAT21-AS-ACSC	220	76/300	25.33
ยีน AS-ACO			
pMAT21-AS-ACOA	300	219/540	40.55
pMAT21-AS-ACOB	285	240/404	59.40
pMAT21-AS-ACOC	230	169/457	36.98

⁽¹⁾ เปอร์เซ็นต์ที่ได้รับการถ่ายยีน = $\frac{\text{จำนวนยอดกระจุกที่ตรวจพบยีน AS-ACS}^+/\text{AS-ACO}^+ \text{ และยีน } ipt^+}{\text{จำนวนยอดกระจุกทั้งหมด}} \times 100$



ภาพที่ 23 การตรวจสอบยืน AS-ACSA และยืน *ipt* ในกลดีวย์ไม้ที่ได้รับการถ่ายยืน ระยะยอดกระจุก ด้วยวิธี PCR โดยใช้ไพรเมอร์ 35S-SmaI และ ACS1BstEII ในการตรวจสอบยืน AS-ACSA วิเคราะห์ขนาดดีเย็นเอ็งเอดดี้ 0.8 % agarose gel electrophoresis (ก) และยืนขันผล PCR ด้วยวิธี Southern blot hybridization ตรวจสอบยืน AS-ACSA ด้วย

AS-ACSA ไพรเมอร์ IPT1 และ IPT2 ตรวจสอบยืน *ipt* (ค) และยืนขันผล PCR ด้วยวิธี Southern blot hybridization ตรวจสอบยืน *ipt* ด้วย *ipt* probe (จ) ไพรเมอร์ IPT1 และ IPT2 ตรวจสอบยืน *ipt* (ค) และยืนขันผล PCR ด้วยวิธี Southern blot hybridization ตรวจสอบยืน *ipt* ด้วย *ipt* probe (จ)

M : ดีเย็นเอ็นเอทรูจัน (1 kb ladder-DNA marker; Fermentas, Lithuania)

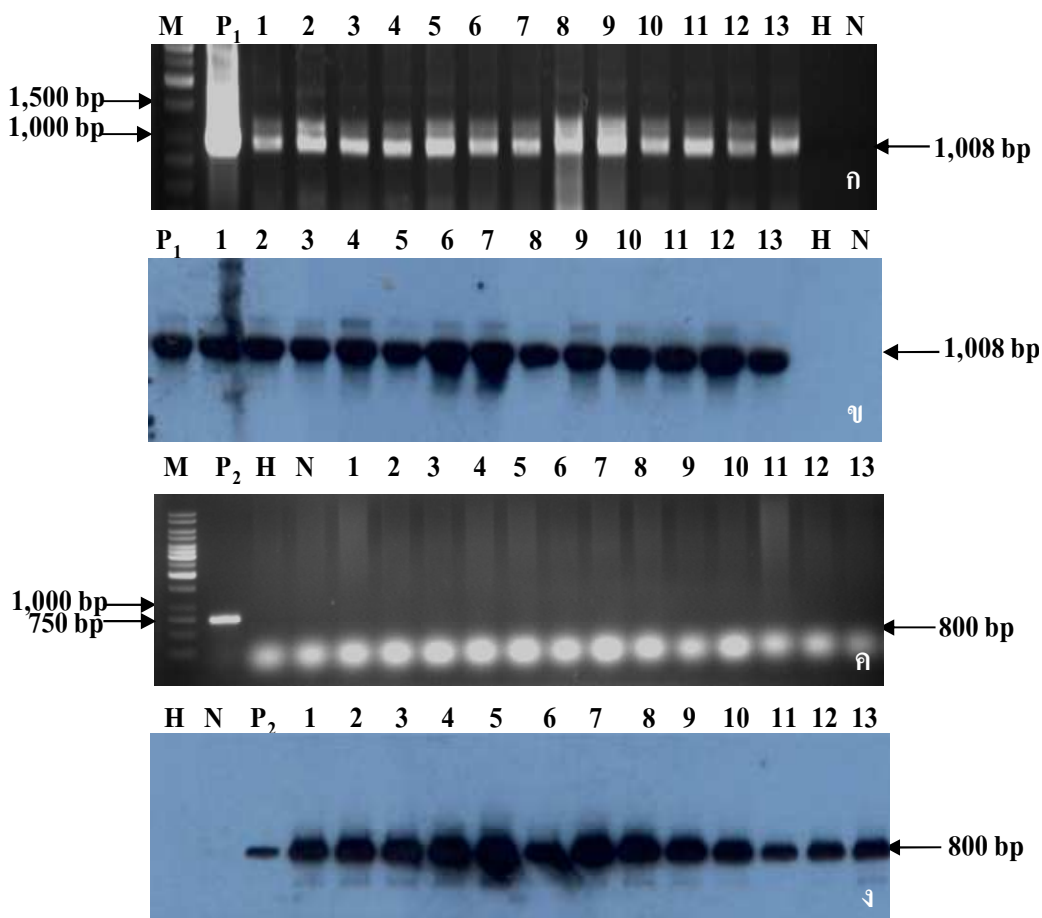
H : นำกลั่นน้ำมันเชื้อ ใช้เป็น negative control

N : ดีเย็นเออกากลดีวย์ไม้ที่ไม่ได้ถ่ายยืน ใช้เป็น negative control

1-8 : ดีเย็นเออกากลดีวย์ไม้ดัดแปลงพันธุกรรม line 1-8

P₁ : พลาสมิด pMAT21-AS-ACSA เป็น positive control ของยืน AS-ACSA ซึ่งมีขนาด 1,444 คู่เบส

P₂ : พลาสมิด pMAT21 vector เป็น positive control ของยืน *ipt* ซึ่งมีขนาด 800 คู่เบส



ภาพที่ 24 การตรวจสอบยีน AS-ACSB และยีน *ipt* ในกลั่วycin ไม้ที่ได้รับการถ่ายยีน ระยะยอดกระจุก ด้วยวิธี PCR โดยใช้ไพรเมอร์ 35S-SmaI และ ACS400BstEII ในการตรวจสอบยีน AS-ACSB วิเคราะห์ขนาดดีเอ็นเอด้วย 0.8 % agarose gel electrophoresis (ก) และยีนยันผล PCR ด้วยวิธี Southern blot hybridization ตรวจสอบยีน AS-ACSB ด้วย 35S-promoter probe (ข) ไพรเมอร์ IPT1 และ IPT2 ตรวจสอบยีน *ipt* (ค) และยีนยันผล PCR ด้วยวิธี Southern blot hybridization ตรวจสอบยีน *ipt* ด้วย *ipt* probe (จ)

M : ดีอีนเอมาตรฐาน (1 kb ladder-DNA marker; Fermentas, Lithuania)

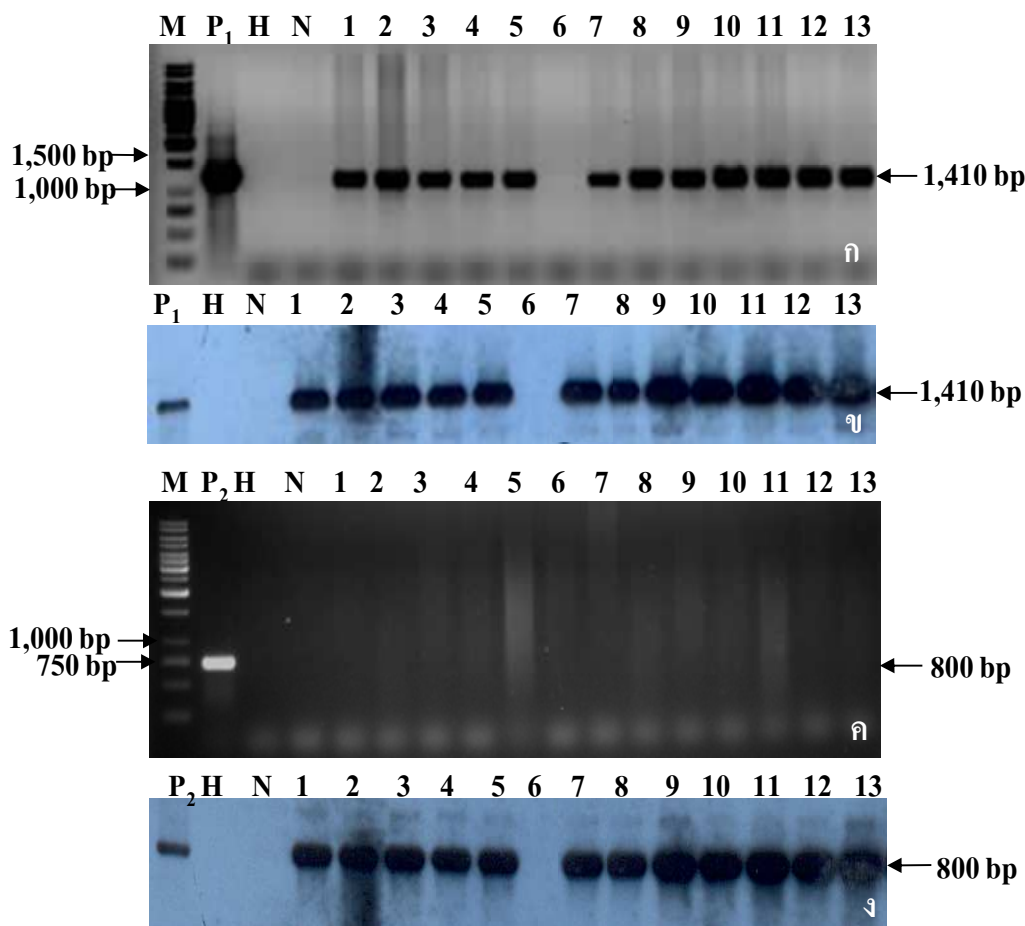
H : น้ำกลั่นนึ่งผ่าเชื้อ ใช้เป็น negative control

N : ดีอีนออกจากกลั่วycin ไม้ที่ไม่ได้ถ่ายยีน ใช้เป็น negative control

1-13 : ดีอีนจากกลั่วycin ไม้ได้ดัดแปลงพันธุกรรม line 1-13

P₁ : พลasmid pMAT21-AS-ACSB เป็น positive control ของยีน AS-ACSB ซึ่งมีขนาด 1,008 คู่เบส

P₂ : พลasmid pMAT21 vector เป็น positive control ของยีน *ipt* ซึ่งมีขนาด 800 คู่เบส



ภาพที่ 25 การตรวจสอบยืนยัน AS-ACSC และยืนยัน *ipt* ในกลั่วัยไม่ที่ได้รับการถ่ายยืนยัน ระยะยอดกระจุก ด้วยวิธี PCR โดยใช้ไพรเมอร์ 35S-SmaI และ ACS400BstEII ตรวจสอบยืนยัน AS-ACSC วิเคราะห์ขนาดดีเอ็นเอด้วย 0.8 % agarose gel electrophoresis (ก) และยืนยันผล PCR ด้วยวิธี Southern blot hybridization ตรวจสอบยืนยัน AS-ACSC ด้วย 35S-promoter probe (ข) ไพรเมอร์ IPT1 และ IPT2 ตรวจสอบยืนยัน *ipt* (ค) และยืนยันผลวิเคราะห์ PCR ด้วยวิธี Southern blot hybridization ตรวจสอบยืนยัน *ipt* ด้วย *ipt* probe (จ)

M : ดีเอ็นเอมาตรฐาน (1 kb ladder-DNA marker; Fermentas, Lithuania)

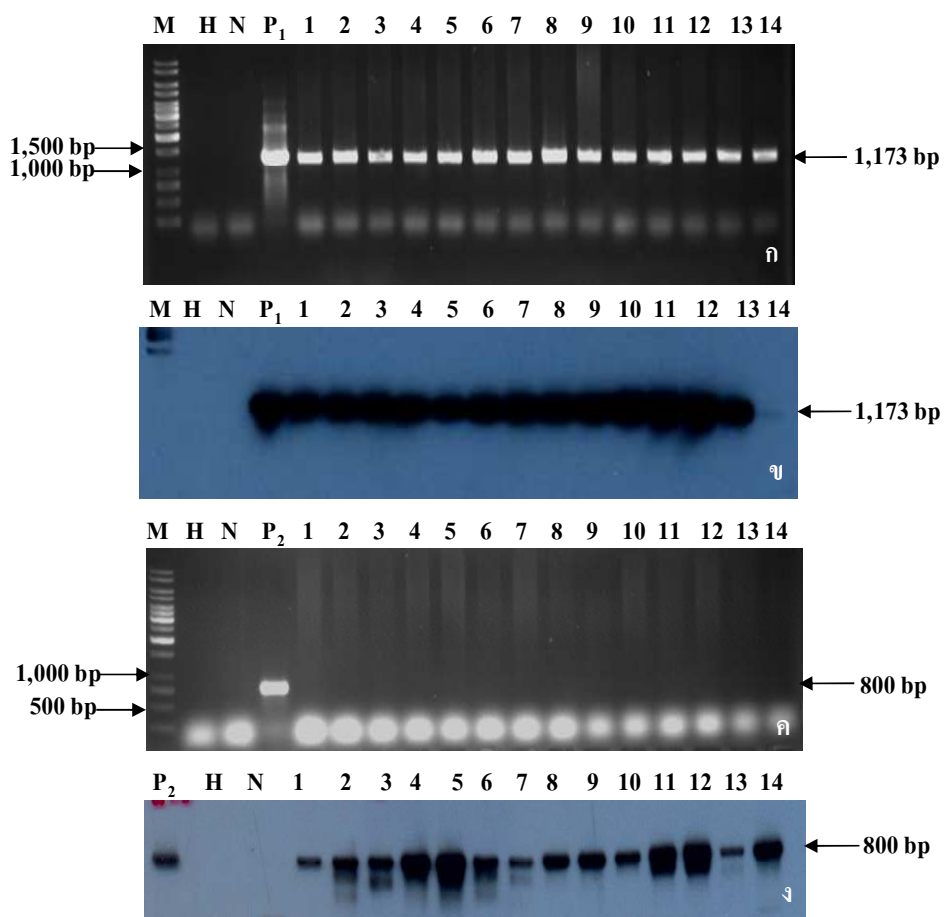
H : น้ำกลั่นน้ำแข็งเชื้อ ใช้เป็น negative control

N : ดีเอ็นเอจากกลั่วัยไม่ที่ไม่ได้ถ่ายยืน ใช้เป็น negative control

1-13 : ดีเอ็นเอจากกลั่วัยไม่ดัดแปลงพันธุกรรม line 1-13

P₁ : พลasmid pMAT21-AS-ACSC เป็น positive control ของยืนยัน AS-ACSC ซึ่งมีขนาด 1,410 คู่เบส

P₂ : พลasmid pMAT21 vector เป็น positive control ของยืนยัน *ipt* ซึ่งมีขนาด 800 คู่เบส



ภาพที่ 26 การตรวจสอบยืนยัน AS-*ACOA* และยืน *ipt* ในกล้วยไม้ที่ได้รับการถ่ายยืนยัน ระยะยอดกระจุก ด้วยวิธี PCR โดยใช้ไพรเมอร์ 35S-*Sma*I และ ACO1R-B1 ตรวจสอบยืนยัน AS-*ACOA* วิเคราะห์ขนาดดีเอ็นเอด้วย 0.8 % agarose gel electrophoresis (ก) และยืนยันผล PCR ด้วยวิธี Southern blot hybridization ตรวจสอบยืนยัน AS-*ACOA* ด้วย 35S-promoter probe (จ) ไพรเมอร์ IPT1 และ IPT2 ตรวจสอบยืน *ipt* (จ) และทำการยืนยันผล PCR ด้วยวิธี Southern blot hybridization ตรวจสอบยืน *ipt* ด้วย *ipt* probe (ว)

M : ดีอีนเอมาตรฐาน (1 kb ladder-DNA marker; Fermentas, Lithuania)

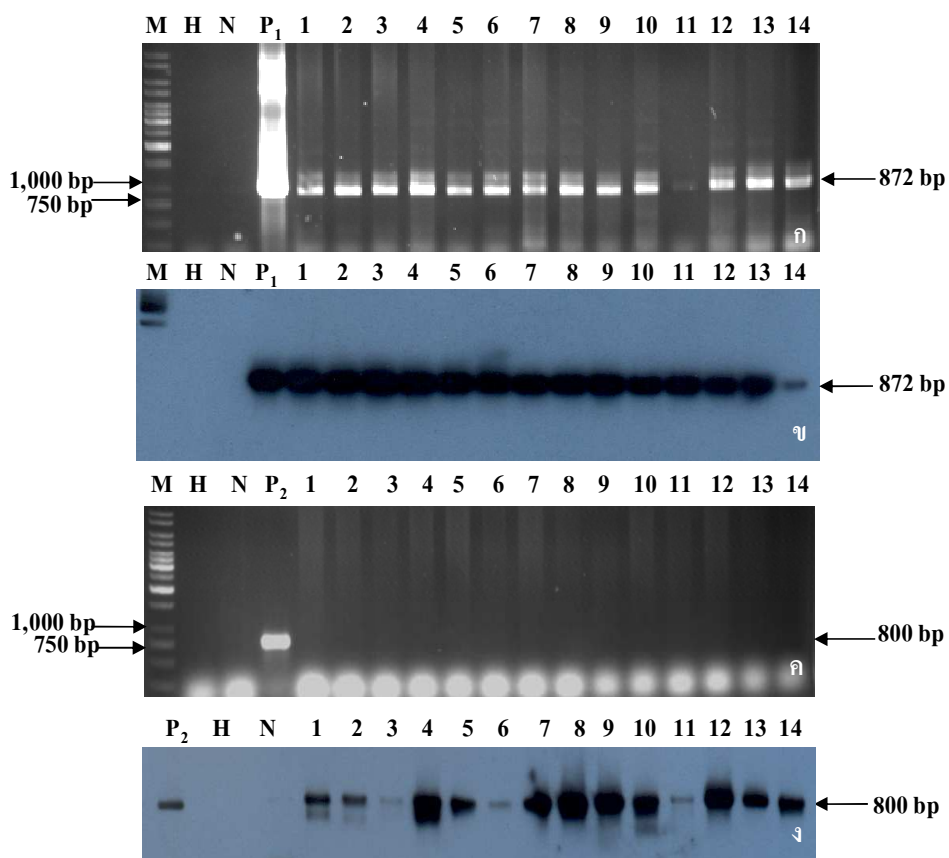
H : น้ำกลั่นน้ำมันเชื้อไวรัส เป็น negative control

N : ดีอีนเอจากกล้วยไม้ที่ไม่ได้ถ่ายยืน เป็น negative control

1-14 : ดีอีนเอจากกล้วยไม้ตัดแบ่งพันธุกรรม line 1-14

P₁ : พลasmid pMAT21-AS-*ACOA* เป็น positive control ของยืน AS-*ACOA* ซึ่งมีขนาด 1,173 คู่เบส

P₂ : พลasmid pMAT21 vector เป็น positive control ของยืน *ipt* ซึ่งมีขนาด 800 คู่เบส



ภาพที่ 27 การตรวจสอบยีน AS-ACOB และยีน *ipt* ในกลั่วຢิไม้ที่ได้รับการถ่ายยีน ระยะยอดกระจุก ด้วยวิธี PCR โดยใช้ไพรเมอร์ 35S-SmaI และ ACO301R-B2 ตรวจสอบยีน AS-ACOB วิเคราะห์ขนาดดีเอ็นเอด้วย 0.8 % agarose gel electrophoresis (ก) และยีนยันผล PCR ด้วยวิธี Southern blot hybridization ตรวจสอบยีน AS-ACOB ด้วย 35S-promoter probe (ข) ไพรเมอร์ IPT1 และ IPT2 ตรวจสอบยีน *ipt* (ค) และยีนยันผล PCR ด้วยวิธี Southern blot hybridization ตรวจสอบยีน *ipt* ด้วย *ipt* probe (ง)

M : ดีเอ็นเอมาตรฐาน (1 kb ladder-DNA marker; Fermentas, Lithuania)

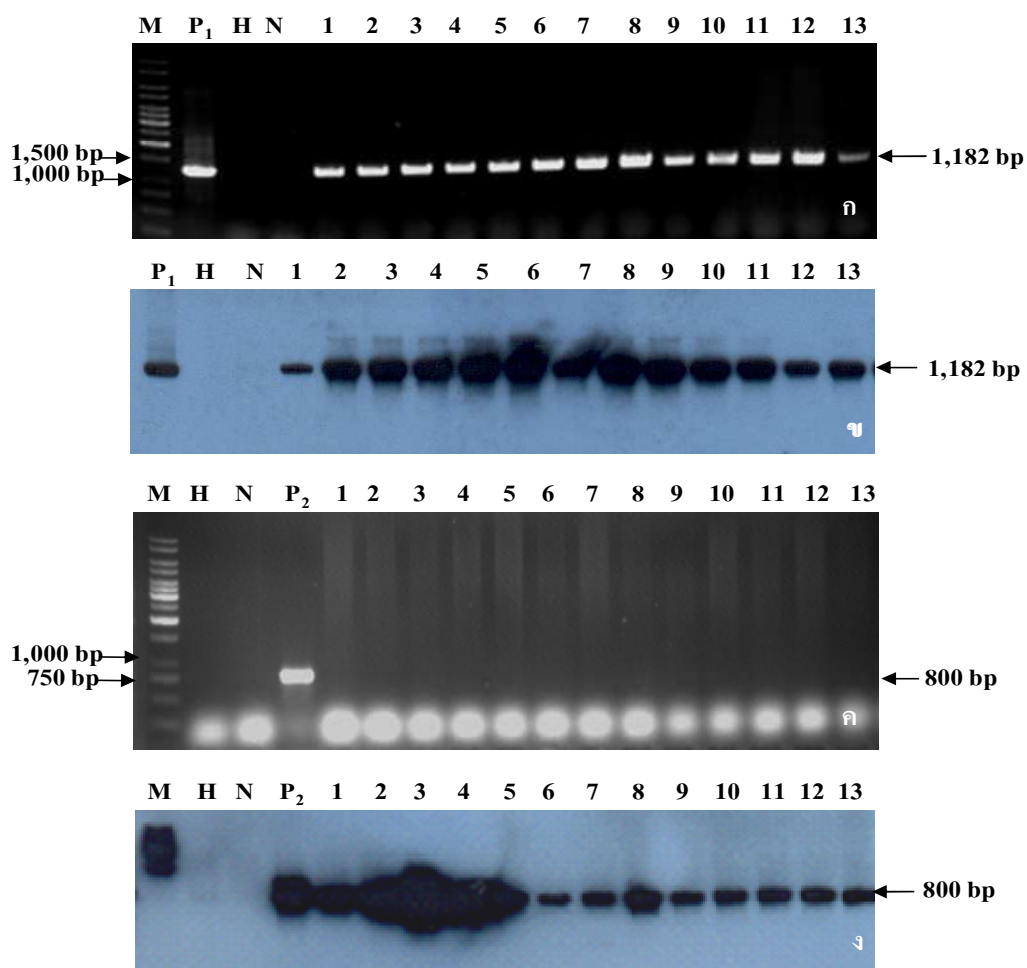
H : นำกลั่นน้ำมันเชื้อ ใช้เป็น negative control

N : ดีเอ็นเอจากกลั่วຢิไม้ที่ไม่ได้ถ่ายยีน ใช้เป็น negative control

1-14 : ดีเอ็นเอจากกลั่วຢิไม้ดัดแปลงพันธุกรรม line 1-14

P₁ : พลasmid pMAT21-AS-ACOB เป็น positive control ของยีน AS-ACOB ซึ่งมีขนาด 872 คู่เบส

P₂ : พลasmid pMAT21 vector เป็น positive control ของยีน *ipt* ซึ่งมีขนาด 800 คู่เบส



ภาพที่ 28 การตรวจสอบยีน AS-ACOC และยีน *ipt* ในกล้วยไม้ที่ได้รับการถ่ายยีน ระยะยอดกระจุก ด้วยวิธี PCR โดยใช้ไพรเมอร์ 35S-SmaI และ ACO301R-B2 ตรวจสอบยีน AS-ACOC วิเคราะห์ขนาดดีเอ็นเอด้วย 0.8 % agarose gel electrophoresis (g) และยีนขั้นผล PCR ด้วยวิธี Southern blot hybridization ตรวจสอบยีน AS-ACOC ด้วย 35S-promoter probe (x) ไพรเมอร์ IPT1 และ IPT2 ตรวจสอบยีน *ipt* (x) และยีนขั้นผล PCR ด้วย วิธี Southern blot hybridization ตรวจสอบยีน *ipt* ด้วย *ipt* probe (x)

M : ดีเอ็นเอมาตรฐาน (1 kb ladder-DNA marker; Fermentas, Lithuania)

H : น้ำกลั่นนึ่งผ่าเชื้อ ใช้เป็น negative control

N : ดีเอ็นเอจากกล้วยไม้ที่ไม่ได้ถ่ายยีน ใช้เป็น negative control

1-13 : ดีเอ็นเอจากกล้วยไม้ดัดแปลงพันธุกรรม line 1-13

P₁ : พลasmid pMAT21-AS-ACOC เป็น positive control ของยีน AS-ACOC ซึ่งมีขนาด 1,182 คู่เบส

P₂ : พลasmid pMAT21 vector เป็น positive control ของยีน *ipt* ซึ่งมีขนาด 800 คู่เบส

4. การตรวจสอบยืนยัน AS-ACS หรือ AS-ACO และยืน *ipt* ซึ่งเป็นยืนคัดเลือกในกลัวยไม้ดัดแปลงพันธุกรรมในระยะต้นปกติ

นำยอดกระจุกที่ตรวจพบยืนยัน AS-ACS และ AS-ACO ส่วน A, B, และ C และตรวจพบยืน *ipt* ด้วยวิธี PCR และ Southern blot hybridization of PCR product (ตารางที่ 12) มาเลี้ยงให้พัฒนาเป็นต้นที่สมบูรณ์ (ภาพที่ 21 และ 22) และนำไปตรวจสอบยืนดังกล่าวอีกรังสึด้วยวิธี PCR และทำการเย็บขันผล PCR ด้วยวิธี Southern blot hybridization of PCR products เพื่อวิเคราะห์ว่าต้นปกติที่ได้ยังคงมียืน AS-ACS และ AS-ACO ออยู่แต่ปราศจากยืน *ipt* ซึ่งเป็นยืนคัดเลือก ผลการตรวจสอบพบว่ากลัวยไม้ที่ได้รับการถ่ายยืน AS-ACSA ตรวจพบต้นที่มียืน AS-ACSA (ภาพที่ 29ก และ 29ข) ที่ยังมียืน *ipt* ออยู่ในจีโนม (ภาพที่ 29ค, 29ง และตารางที่ 13)

ต้นกลัวยไม้ที่ได้รับการถ่ายยืน AS-ACSB ที่เป็นยอดเดียวและให้ผล PCR บวกในระยะยอดกระจุก จำนวน 124 ต้น มาตรวจสอบด้วยวิธี PCR อิกครัง พบต้นที่มียืน AS-ACSB ซึ่งให้ແຄນດີເຈັ້ນເອຂນາດ 1,008 ຄູ່ບັສ (ภาพที่ 30ກ และ 30ข) ແຕ່ตรวจໄມ່ພບຍืน *ipt* ขนาด 800 ຄູ່ບັສ (ภาพที่ 30ກ และ 30ງ) จำนวน 5 ต้น ໄດ້ແກ່ ตັນກລ້ວຍໄມ້ line 1 = AS-ACSB-107A, line 2 = AS-ACSB-108A, line 3 = AS-ACSB-117A, line 5 = AS-ACSB-203A และ line 6 = AS-ACSB-208A ຄືດເປັນກລ້ວຍໄມ້ດັດແປລັງພັນຫຼຸກຮຽນທີ່ปราศจากຍืนคัดเลือกທ່າກັນ 4 ເປົ້ອງເຊັ່ນຕໍ່ (ตารางที่ 13)

ตັນກລ້ວຍໄມ້ທີ່ໄດ້ຮັບການຄ່າຍຍืน AS-ACSC ທີ່ເປັນยอดເດືອນເຊິ່ງໃຫ້ຜົດ PCR บวกในระยะยอดกระจุก จำนวน 76 ตັນ มาตรวจสอบด้วยวิธี PCR อิกครัง พบต้นที่มียืน AS-ACSC ซึ่งให้ແຄນດີເຈັ້ນເອຂນາດ 1,410 ຄູ່ບັສ (ภาพที่ 31ກ และ 31ข) ແຕ່ตรวจໄມ່ພບຍืน *ipt* ขนาด 800 ຄູ່ບັສ (ภาพที่ 31ກ และ 31ງ) จำนวน 4 ตັນ ໄດ້ແກ່ຕັນກລ້ວຍໄມ້ line 2 = AS-ACSC-2E, line 3 = AS-ACSC-7E, line 6 = AS-ACSC-34E และ line 7 = AS-ACSC-50E ຄືດເປັນກລ້ວຍໄມ້ດັດແປລັງພັນຫຼຸກຮຽນທີ່ปราศจากຍืนคัดเลือกທ່າກັນ 5.26 ເປົ້ອງເຊັ່ນຕໍ່ (ตารางที่ 13)

สำหรับตັນກລ້ວຍໄມ້ທີ່ໄດ້ຮັບການຄ່າຍຍืน AS-ACOA ທີ່ເປັນยอดເດືອນເຊິ່ງທີ່ໃຫ້ຜົດ PCR บวกในระยะยอดกระจุก จำนวน 219 ตັນ มาตรวจสอบด้วยวิธี PCR อิกครัง พบต้นที่มียืน AS-ACOA ซึ่งให้ແຄນດີເຈັ້ນເອຂນາດ 1,173 ຄູ່ບັສ (ภาพที่ 32ກ และ 32ข) ແຕ່ตรวจໄມ່ພບຍืน *ipt* ขนาด 800 ຄູ່ບັສ (ภาพที่ 32ກ และ 32ງ) จำนวน 11 ตັນ ໄດ້ແກ່ ຕັນກລ້ວຍໄມ້ line 1 = AS-ACOA-30B, line 2 = AS-ACOA-10C, line 3 = AS-ACOA-11C, line 4 = AS-ACOA -12C, line 5 = AS-ACOA-14C, line 6 = AS-ACOA-16C, line 7 = AS-ACOA-18C, line 8 = AS-ACOA-29C, line 11 = AS-ACOA-33C, line 12 =

AS-ACOA-45C และ line 13 = AS-ACOA-61C กิตเป็นกลวายไม้ดัดแปลงพันธุกรรมที่ปราศจากยีนกัดเลือกเท่ากับ 5 เปอร์เซ็นต์ (ตารางที่ 13)

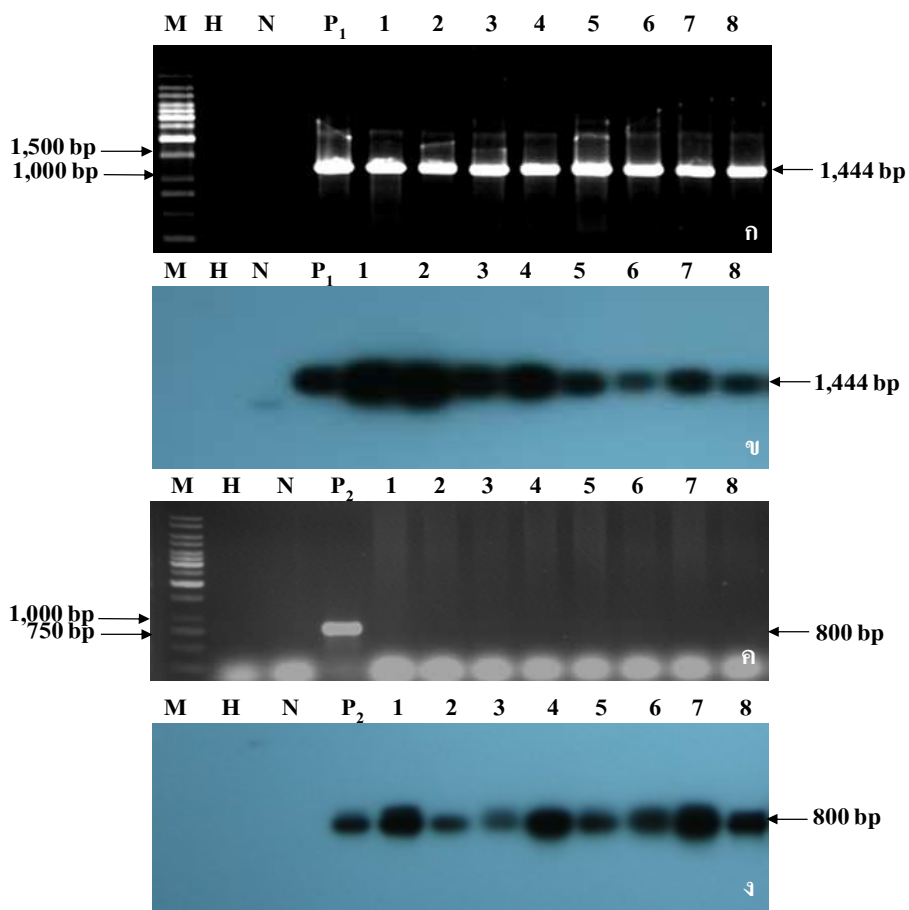
ต้นกลวายไม้ที่ได้รับการถ่ายยีน AS-ACOB ที่เป็นยอดเดียวที่ให้ผล PCR บวกในระยะยอดกระจุก จำนวน 221 ต้น มาตรวจสอบด้วยวิธี PCR อิกครั้ง พบรต้นที่มียีน AS-ACOB ซึ่งให้ແນບดีเอ็นอ่อนน้ำด 872 คู่เบส (ภาพที่ 33ก และ 33ข) แต่ตรวจไม่พบยีน *ipt* ขนาด 800 คู่เบส (ภาพที่ 33ค และ 33ง) จำนวน 2 ต้น ได้แก่ ต้นกลวายไม้ line 11 = AS-ACOB-10B และ line 12 = AS-ACOB-11B กิตเป็นกลวายไม้ดัดแปลงพันธุกรรมที่ปราศจากยีนกัดเลือกเท่ากับ 0.90 เปอร์เซ็นต์ (ตารางที่ 13)

ต้นกลวายไม้ที่ได้รับการถ่ายยีน AS-ACOC ที่เป็นยอดเดียวที่ให้ผล PCR บวกในระยะยอดกระจุก จำนวน 169 ต้น มาตรวจสอบด้วยวิธี PCR อิกครั้ง ตรวจพบต้นที่มียีน AS-ACOC ซึ่งให้ແນບดีเอ็นอ่อนน้ำด 1,182 คู่เบส (ภาพที่ 34ก และ 34ข) แต่ตรวจไม่พบยีน *ipt* ขนาด 800 คู่เบส (ภาพที่ 34ค และ 34ง) จำนวน 12 ต้น ได้แก่ ต้นกลวายไม้ line 2 = AS-ACOC-7E, line 3 = AS-ACOC-10E, line 4 = AS-ACOC-14E, line 5 = AS-ACOC-20E, line 6 = AS-ACOC-21E, line 7 = AS-ACOC-22E, line 9 = AS-ACOC-30E, line 10 = AS-ACOC-34E, line 11 = AS-ACOC-36E, line 12 = AS-ACOC-55E, line 13 = AS-ACOC-56E และ line 14 = AS-ACOC-98E กิตเป็นกลวายไม้ดัดแปลงพันธุกรรมที่ปราศจากยีนกัดเลือกเท่ากับ 7.10 เปอร์เซ็นต์ (ตารางที่ 13)

ตารางที่ 13 ประสิทธิภาพในการถ่ายยีน AS-ACS และ AS-ACO เข้าสู่กล่าวไม้พันธุ์ปอมปาดัวร์ ตรวจสอบในระยะต้นปกติโดยวิธี PCR

ชุดยีน	จำนวนยอดปกติ ที่ตรวจพบยีน ACS^+/ACO^+ และยีน ipt ต่อจำนวนยอดกระจุกทั้งหมด ที่เป็นยอดเดี่ยวที่ให้ผล PCR บวก	เปอร์เซ็นต์กล่าวไม้ดัดแปลงพันธุกรรมที่ปราศจากยีน ipt (%)
ยีน AS-ACS		
pMAT21-AS-ACSA	0/8	0.00
pMAT21-AS-ACSB	5/124	4.00
pMAT21-AS-ACSC	4/76	5.26
ยีน AS-ACO		
pMAT21-AS-ACOA	11/219	5.00
pMAT21-AS-ACOB	2/221	0.90
pMAT21-AS-ACOC	12/169	7.10

⁽¹⁾ % กล่าวไม้ดัดแปลงพันธุกรรมที่ปราศจากยีนคัดเลือก = $\frac{\text{จำนวนยอดกระจุกที่พบรอย AS-}ACS^+/\text{AS-}ACO^+\text{ยีน } ipt}{\text{จำนวนยอดกระจุกทั้งหมดที่เป็นยอดเดี่ยวที่ให้ผล PCR บวก}} \times 100$



ภาพที่ 29 การตรวจสอบยีน AS-ACSA และยีน *ipt* ในกลั่วycin ไม้ที่ได้รับการถ่ายยีน ในระดับอุดปกติ ด้วยวิธี PCR โดยใช้ไพรเมอร์ 35S-SmaI และ ACS1BstEII ในการตรวจสอบยีน AS-ACSA วิเคราะห์ขนาดดีเอ็นเอด้วย 0.8 % agarose gel electrophoresis (ก) และยีนยันผล PCR ด้วยวิธี Southern blot hybridization ตรวจสอบยีน AS-ACSA ด้วย 35S-promoter probe (ข) ไพรเมอร์ IPT1 และ IPT2 ในการตรวจสอบยีน *ipt* (ค) และยีนยันผล PCR และวิเคราะห์ PCR product ด้วยวิธี Southern blot hybridization ตรวจสอบยีน *ipt* ด้วย *ipt* probe (จ)

M : ดีเอ็นเอมาตรฐาน (1 kb ladder-DNA marker; Fermentas, Lithuania)

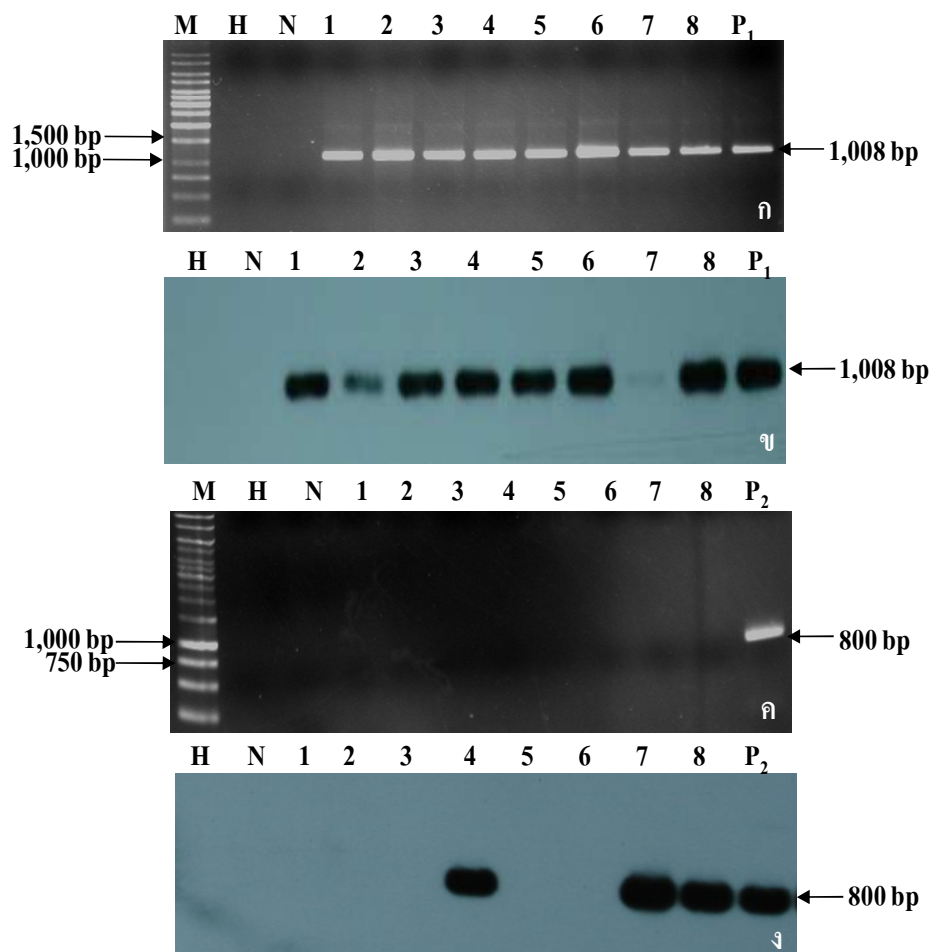
H : น้ำกลั่นนึ่งผ่าเชื้อใช้เป็น negative control

N : ดีเอ็นเอจากกลั่วycin ไม้ที่ไม่ได้ถ่ายยีน ใช้เป็น negative control

1-8 : ดีเอ็นเอจากกลั่วycin ไม้ดัดแปลงพันธุกรรม line 1-8

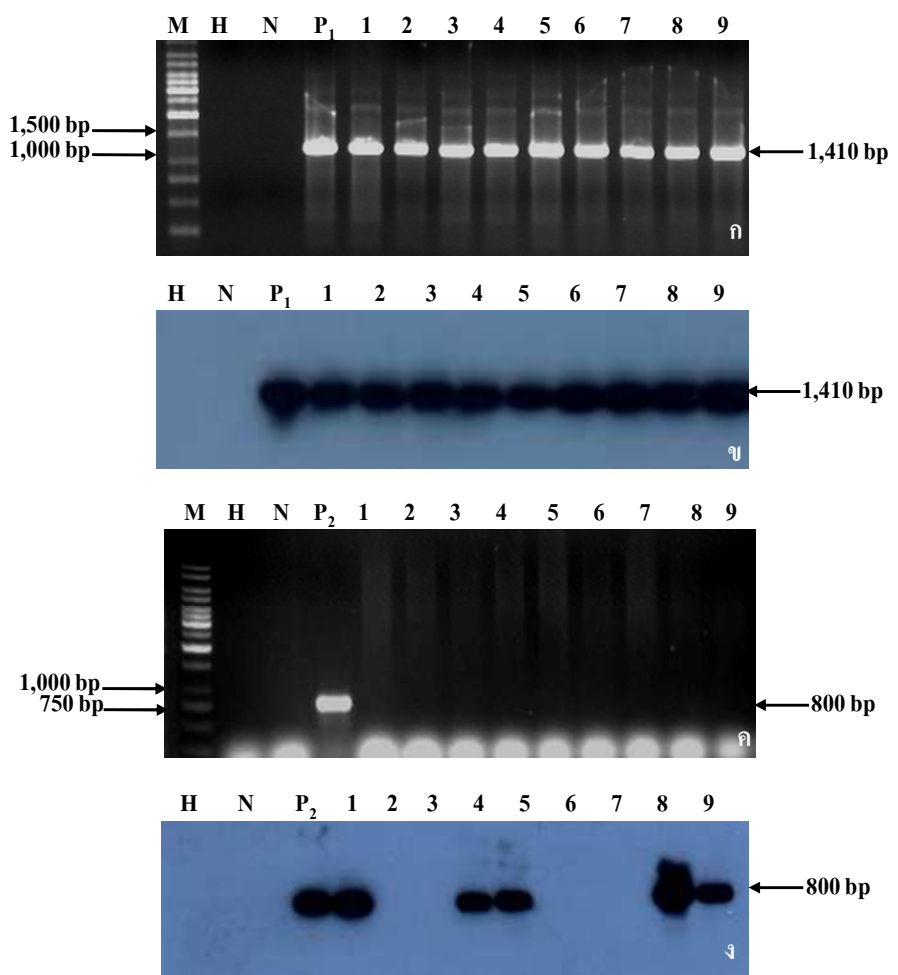
P₁ : พลasmid pMAT21-AS-ACSB เป็น positive control ของยีน AS-ACSB ซึ่งมีขนาด 1,008 คู่เบส

P₂ : พลasmid pMAT21 vector เป็น positive control ของยีน *ipt* ซึ่งมีขนาด 800 คู่เบส

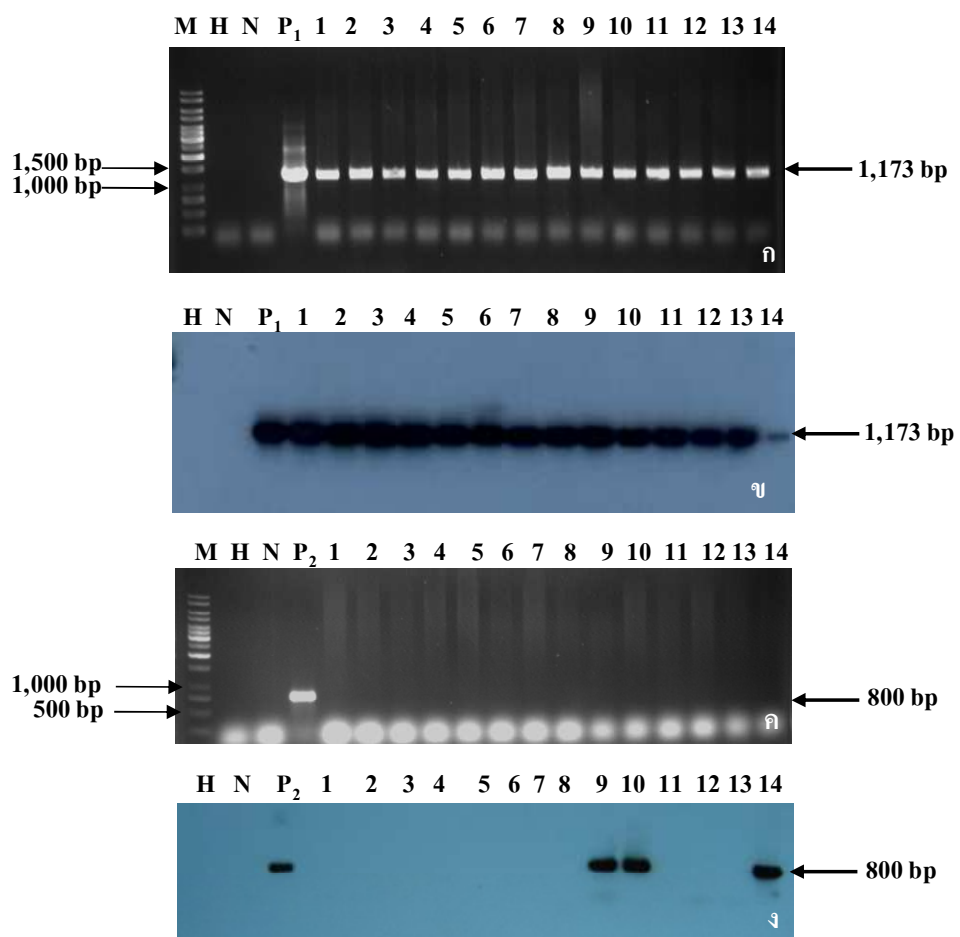


ภาพที่ 30 การตรวจสอบยืนยัน AS-ACSB และยืน *ipt* ในกลั่วไม้ที่ได้รับการถ่ายยืน ระยะยอดปักดิ้น
ด้วยวิธี PCR โดยใช้ไพรเมอร์ 35S-SmaI และ ACS400BstEII ในการตรวจสอบยืน AS-ACSB ด้วย 35S-
promoter probe (ก) ไพรเมอร์ IPT1 และ IPT2 ในการตรวจสอบยืน *ipt* (ก) และยืนยันผล
PCR ด้วยวิธี Southern blot hybridization ตรวจสอบยืน *ipt* ด้วย *ipt* probe (ก)

- M : ดีเอ็นเอมาตรฐาน (1 kb ladder-DNA marker; Fermentas, Lithuania)
- H : น้ำกลั่นน้ำม่าเชื้อ ใช้เป็น negative control
- N : ดีเอ็นเอจากกลั่วไม้ที่ไม่ได้ถ่ายยืน ใช้เป็น negative control
- 1-8 : ดีเอ็นเอจากกลั่วไม้ดัดแปลงพันธุกรรม line 1-8
- P₁ : พลasmid pMAT21-AS-ACSC เป็น positive control ของยืน AS-ACSC ซึ่งมีขนาด 1,410 คู่เบส
- P₂ : พลasmid pMAT21 vector เป็น positive control ของยืน *ipt* ซึ่งมีขนาด 800 คู่เบส



ภาพที่ 31 การตรวจสอบยืนยัน AS-ACSC และยืนยัน *ipt* ในกลด้วยไม้ที่ได้รับการถ่ายยืนยัน ระยะยอดปกติ ด้วยวิธี PCR โดยใช้ไพรเมอร์ 35S-SmaI และ ACS400BstEII ในการตรวจสอบยืนยัน AS-ACSC วิเคราะห์ขนาดดีเอ็นเอด้วย 0.8 % agarose gel electrophoresis (ก) และยืนยันผล PCR ด้วยวิธี Southern blot hybridization ตรวจสอบยืนยัน AS-ACSC ด้วย 35S-promoter probe (บ) ไพรเมอร์ IPT1 และ IPT2 ในการตรวจสอบยืนยัน *ipt* (ค) และ ยืนยันผล PCR ด้วย วิธี Southern blot hybridization ตรวจสอบยืนยัน *ipt* ด้วย *ipt* probe (ง)
 M : ดีเอ็นเอมาตรฐาน (1 kb ladder-DNA marker; Fermentas, Lithuania)
 H : น้ำกลั่นนึ่งม่าเชื้อ ใช้เป็น negative control
 N : ดีเอ็นเอจากกลด้วยไม้ที่ไม่ได้ถ่ายยืน ใช้เป็น negative control
 1-9 : ดีเอ็นเอจากกลด้วยไม้ดัดแปลงพันธุกรรม line 1-9
 P₁ : พลasmid pMAT21-AS-ACSC เป็น positive control ของยืนยัน AS-ACSC ซึ่งมี ขนาด 1,410 คู่เบส
 P₂ : พลasmid pMAT21 vector เป็น positive control ของยืนยัน *ipt* ซึ่งมีขนาด 800 คู่เบส



ภาพที่ 32 การตรวจสอบยืนยัน AS-ACOA และยืนยัน *ipt* ในกลั่วๆไม้ที่ได้รับการถ่ายยืนยัน ระหว่างอดปกติ ด้วยวิธี PCR โดยใช้ไพรเมอร์ 35S-SmaI และ ACO1R-B1 ในการตรวจสอบยืนยัน AS-ACOA วิเคราะห์ขนาดดีเอ็นเอด้วย 0.8 % agarose gel electrophoresis (η) และยืนยันผล PCR ด้วยวิธี Southern blot hybridization ตรวจสอบยืนยัน AS-ACOA ด้วย 35S-promoter probe (υ) ไพรเมอร์ IPT1 และ IPT2 ในการตรวจสอบยืนยัน *ipt* (κ) และยืนยันผล PCR ด้วยวิธี Southern blot hybridization ตรวจสอบยืนยัน *ipt* ด้วย *ipt* probe (ι)

M : ดีเอ็นเอมาตรฐาน (1 kb ladder-DNA marker; Fermentas, Lithuania)

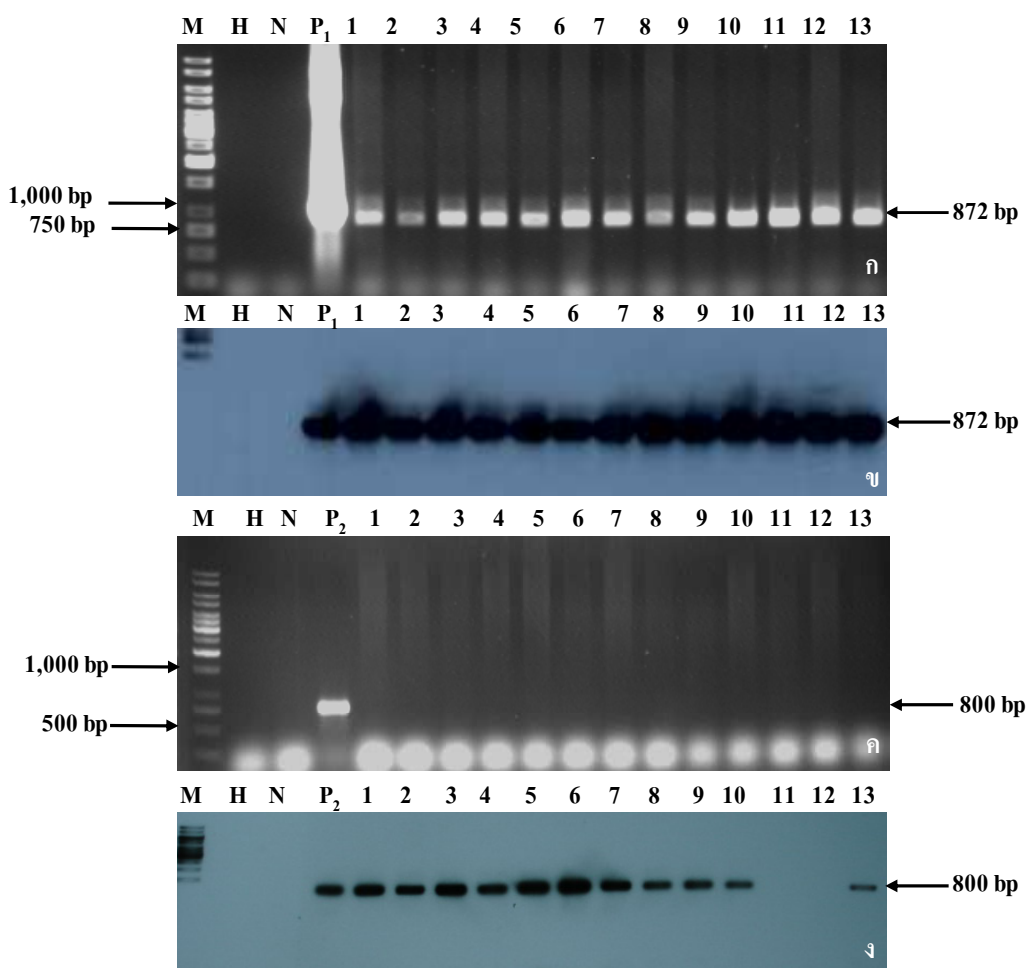
H : นำกลั่นน้ำแข็งชื่อ ใช้เป็น negative control

N : ดีเอ็นเอจากกลั่วๆไม้ที่ไม่ได้ถ่ายยืน ใช้เป็น negative control

1-14 : ดีเอ็นเอจากกลั่วๆไม้ดัดแปลงพันธุกรรม line 1-14

P₁ : พลasmid pMAT21-AS-ACOA เป็น positive control ของยืนยัน AS-ACOA ซึ่งมีขนาด 1,173 คู่เบส

P₂ : พลasmid pMAT21 vector เป็น positive control ของยืนยัน *ipt* ซึ่งมีขนาด 800 คู่เบส



ภาพที่ 33 การตรวจสอบยืน AS-ACOB และยืน *ipt* ในกล้วยไม้ที่ได้รับการถ่ายยืน ระยะยอดปกติ ด้วยวิธี PCR โดยใช้ไพรเมอร์ 35S-SmaI และ ACO301R-B2 ในการตรวจสอบยืน AS-ACOB วิเคราะห์ขนาดดีเอ็นเอด้วย 0.8 % agarose gel electrophoresis (ก) และยืนยันผล PCR ด้วยวิธี Southern blot hybridization ตรวจสอบยืน AS-ACOB ด้วย

35S-promoter probe (ข) ไพรเมอร์ IPT1 และ IPT2 ในการตรวจสอบยืน *ipt* (ค) และยืนยันผล PCR ด้วยวิธี Southern blot hybridization ตรวจสอบยืน *ipt* ด้วย *ipt* probe (ง)

M : ดีเอ็นเอมาตรฐาน (1 kb ladder-DNA marker; Fermentas, Lithuania)

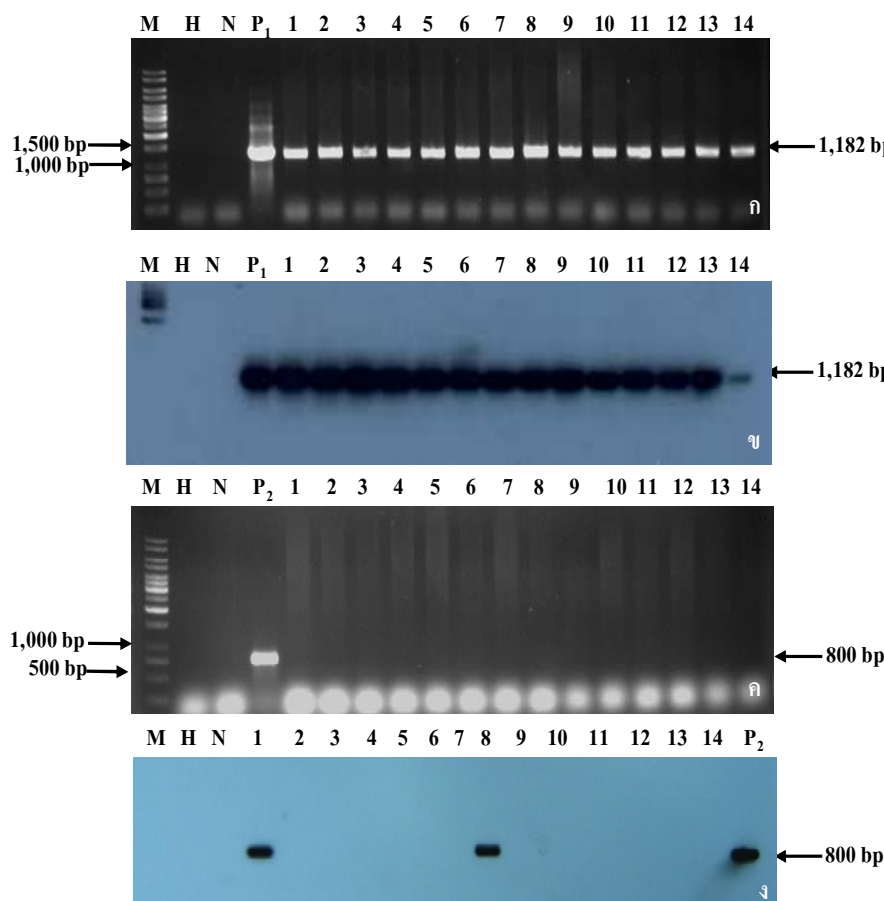
H : น้ำกลั่นนึ่งม่าเซื้อ ใช้เป็น negative control

N : ดีเอ็นเอจากกล้วยไม้ที่ไม่ได้ถ่ายยืน ใช้เป็น negative control

1-13 : ดีเอ็นเอจากกล้วยไม้ดัดแปลงพันธุกรรม line 1-13

P₁ : พลาสมิด pMAT21-AS-ACOB เป็น positive control ของยืน AS-ACOB ซึ่งมีขนาด 872 คู่เบส

P₂ : พลาสมิด pMAT21 vector เป็น positive control ของยืน *ipt* ซึ่งมีขนาด 800 คู่เบส



ภาพที่ 34 การตรวจสอบยืนยัน AS-ACOC และยืน *ipt* ในกลีบ翼ไม้ที่ได้รับการถ่ายยืน ระยะยอดปกติ
ด้วยวิธี PCR โดยใช้ไพรเมอร์ 35S-SmaI และ ACO301R-B2 ในการตรวจสอบยืน AS-ACOC ด้วย
AS-ACOC วิเคราะห์ขนาดดีเอ็นเอด้วย 0.8 % agarose gel electrophoresis (ก) และยืนยันผล
PCR ด้วยวิธี Southern blot hybridization ตรวจสอบยืน AS-ACOC ด้วย
35S-promoter probe (ข) ไพรเมอร์ IPT1 และ IPT2 ในการตรวจสอบยืน *ipt* (ค) และ
ยืนยันผล PCR ด้วยวิธี

Southern blot hybridization ตรวจสอบยืน *ipt* ด้วย *ipt* probe (ง)

M : ดีเอ็นเอมาตรฐาน (1 kb ladder-DNA marker; Fermentas, Lithuania)

H : นำกลั่นน้ำมันเชื้อ ใช้เป็น negative control

N : ดีเอ็นเอจากกลีบ翼ไม้ที่ไม่ได้ถ่ายยืน ใช้เป็น negative control

1-14 : ดีเอ็นเอจากกลีบ翼ไม้ดัดแปลงพันธุกรรม line 1-14

P₁ : พลasmid pMAT21-AS-ACOC เป็น positive control ของยืน AS-ACOC ซึ่งมี
ขนาด 1,182 คู่เบส

P₂ : พลasmid pMAT21 vector เป็น positive control ของยืน *ipt* ซึ่งมีขนาด 800 คู่เบส

5. การตรวจสอบจำนวนชุดของยีน AS-ACS หรือ AS-ACO และยีน *ipt* ในต้นกล้วยไม้ดัดแปลงพันธุกรรมโดยวิธี Genomic Southern blot hybridization

ตรวจสอบจำนวนชุดของยีน AS-ACS หรือ AS-ACO และยีน *ipt* บนโครโน่โซมของต้นกล้วยไม้ดัดแปลงพันธุกรรมโดยนำดีเอ็นเอที่สกัดได้มาข่อยด้วยเอนไซม์ตัดจำเพาะ *Hind*III หรือ *Bg*II และตรวจหาเชิง AS-ACSB หรือ AS-ACO และเชิง *ipt* ด้วยเทคนิค Southern blot hybridization ผลการตรวจสอบในต้นกล้วยไม้ที่ได้รับการถ่ายยีนด้วยชุดยีน pMAT21-AS-ACSB จำนวน 5 line ได้แก่ line AS-ACSB-107A, AS-ACSB-108A, AS-ACSB-117A, AS-ACSB-203A และ AS-ACSB-208A ตรวจพบยีน AS-ACSB แทรกอยู่ในโครโน่โซมของกล้วยไม้จำนวน 1 ชุด (ภาพที่ 35x, 36x และตารางที่ 14) และตรวจไม่พบยีน *ipt* (ภาพที่ 35c และ 36c)

ผลการตรวจสอบต้นกล้วยไม้ที่ได้รับการถ่ายยีนด้วยชุดยีน pMAT21-AS-ACOA จำนวน 11 ต้น พบร่วมต้นกล้วยไม้ line AS-ACOA-30B, AS-ACOA-10C, AS-ACOA-12C, AS-ACOA-14C, AS-ACOA-18C, AS-ACOA-33C และ AS-ACOA-61C พบร่อง AS-ACOA แทรกอยู่ในโครโน่โซมของกล้วยไม้จำนวน 2 ชุด ส่วน line AS-ACOA-29C ตรวจพบยีน AS-ACOA แทรกอยู่ในโครโน่โซมของกล้วยไม้จำนวน 4 ชุด และ line AS-ACOA-11C, AS-ACOA-16C และ AS-ACOA-45C ตรวจพบยีน AS-ACOA แทรกอยู่ในโครโน่โซมของกล้วยไม้จำนวน 3 ชุด (ภาพที่ 37x, 38x และตารางที่ 14) และตรวจไม่พบยีน *ipt* จากกล้วยไม้ดัดแปลงพันธุกรรมทุกต้น (ภาพที่ 37c, 38c และตารางที่ 14)

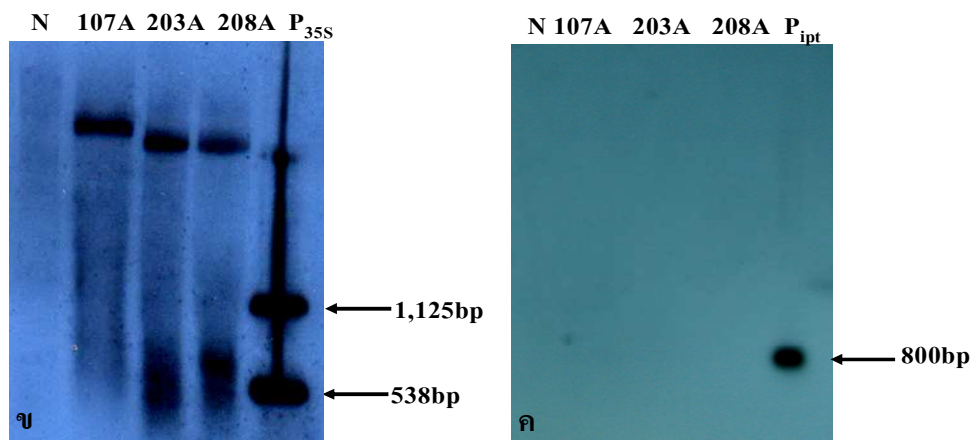
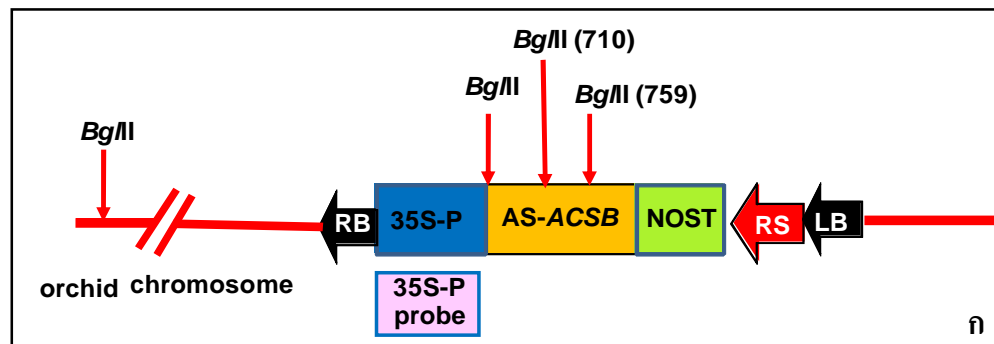
ต้นกล้วยไม้ที่ได้รับการถ่ายยีนด้วยชุดยีน pMAT21-AS-ACOB จำนวน 2 ต้น ได้แก่ line AS-ACOB-10B และ AS-ACOB-11B สามารถตรวจพบยีน AS-ACOB แทรกอยู่ในโครโน่โซมของกล้วยไม้จำนวน 1 ชุด (ภาพที่ 39x และตารางที่ 14) และตรวจไม่พบยีน *ipt* (ภาพที่ 39c) แสดงให้เห็นว่าต้นกล้วยไม้ดัดแปลงพันธุกรรมที่ทำการตรวจสอบเป็นต้นที่ปราศจากยีนคัดเลือก (marker free transgenic orchid) นำต้นกล้วยไม้ที่ปราศจากยีนคัดเลือกมาศึกษาการแสดงออกของยีนในระดับอาร์เอ็นเอต่อไป

สำหรับต้นกล้วยไม้ที่ได้รับการถ่ายยีนด้วยชุดยีน pMAT21-AS-ACSC และยีน pMAT21-AS-ACOC ยังไม่สามารถนำมาตรวจสอบจำนวนชุดของยีน AS-ACS หรือ AS-ACO และยีน *ipt* โดยวิธี Southern blot hybridization ได้ เนื่องจากต้นกล้วยไม้เหล่านี้มีขนาดเล็กมากยังไม่เหมาะสมสำหรับนำมาใช้ในการตรวจสอบด้วยวิธีดังกล่าว ซึ่งต้องใช้ปริมาณของจีโนมิกดีเอ็นเออย่างน้อย

100 ไมโครกรัม และต้องใช้ใบพืชเริ่มต้นในการสกัดดีเอ็นเอประมาณ 3 กรัม จึงมีปริมาณไม่เพียงพอในการตรวจสอบด้วยเทคนิค Southern blot hybridization

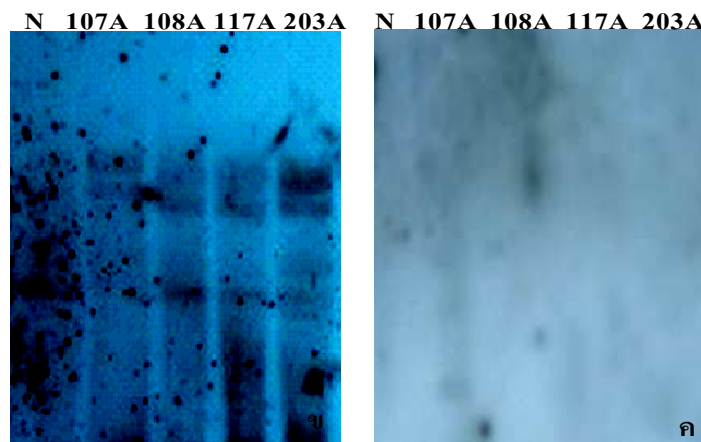
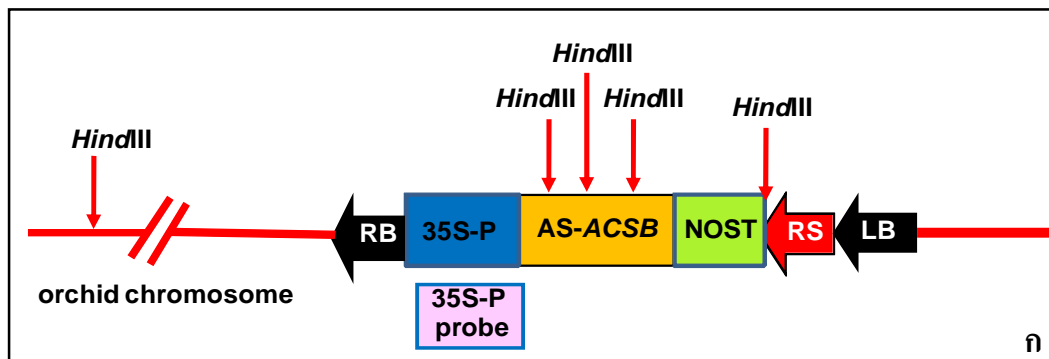
ตารางที่ 14 การตรวจวิเคราะห์จำนวนชุดของยีนที่อยู่ในจีโนมของกล้ามไม้พันธุ์ปอมปาดัวร์ที่ได้รับการถ่ายยีนด้วยชุดยีน AS-ACS และ AS-ACO ส่วน A, B และ C ด้วยเทคนิค Southern blot hybridization

ชุดยีนที่ถ่ายเข้าสู่กล้ามไม้/ line	จำนวนชุดของยีน AS-ACS/AS-ACO ที่ตรวจพบ
ยีน AS-ACS ส่วน B	
AS-ACSB-107A	1
AS-ACSB-108A	1
AS-ACSB-117A	1
AS-ACSB-203A	1
AS-ACSB-208A	1
ยีน AS-ACO ส่วน A	
AS-ACOA-30B	2
AS-ACOA-10C	2
AS-ACOA-11C	3
AS-ACOA-12C	2
AS-ACOA-14C	2
AS-ACOA-16C	3
AS-ACOA-18C	2
AS-ACOA-29C	4
AS-ACOA-33C	2
AS-ACOA-45C	3
AS-ACOA-61C	2
ยีน AS-ACOB	
AS-ACOB-10B	1
AS-ACOB-11B	1



ภาพที่ 35 การตรวจสอบจำนวนชุดของยีน AS-ACSB และ *ipt* ในกล้วยไม้ดัดแปลงพันธุกรรมที่ได้รับการถ่ายทอดด้วยชุดยีน pMAT21-AS-ACSB ย่องดีเอ็นเอด้วยเอนไซม์ตัดจำเพาะ *Bg*III (ก) และตรวจวิเคราะห์จำนวนชุดของยีน AS-ACSB และ *ipt* ด้วยวิธี Southern blot hybridization ทำปฏิกิริยาไอกบาริโคเดชั่นกับ 35S-promoter probe (ก) และ *ipt* probe (ค) ตามลำดับ และตรวจสอบด้วยวิธี chemiluminescence detection

- N : ต้นกล้วยไม้ที่ไม่ได้ถ่ายทอดใช้เป็น negative control
- P_{35S} : PCR products ของ 35S-promoter จาก pGEM®-T Easy-AS-ACOB ขนาด 538 กูเบส ใช้เป็น positive control และ 35S-promoter จาก pGEM®-T Easy-AS-ACOB ขนาด 1,125 กูเบส เป็น positive control
- P_{ipt} : pMAT21-AS-ACOB ซึ่งใช้ส่วนยีน *ipt* เป็น positive control
- AS-ACSB-107A : ต้นกล้วยไม้ดัดแปลงพันธุกรรมรุ่น R₀-line 107A
- AS-ACSB-203A : ต้นกล้วยไม้ดัดแปลงพันธุกรรมรุ่น R₀-line 203A
- AS-ACSB-208A : ต้นกล้วยไม้ดัดแปลงพันธุกรรมรุ่น R₀-line 208A



ภาพที่ 36 การตรวจสอบจำนวนชุดของยีน AS-ACSB และ *ipt* ในกล้วยไม้ดัดแปลงพันธุกรรมที่ได้รับการถ่ายยีนด้วยชุดยีน pMAT21-AS-ACSB บอยดีอีนเอคัลิวอน ใช้มีดัดจำเพาะ *HindIII* (ก) และตรวจวิเคราะห์จำนวนชุดของยีน AS-ACSB และ *ipt* ด้วยวิธี Southern blot hybridization ทำปฏิกิริยาไฮบริดไซซ์ชั้นกับ 35S-promoter probe (ข) และ *ipt* probe (ก) ตามลำดับ และตรวจสอบด้วยวิธี chemiluminescence detection

N : ต้นกล้วยไม้ที่ไม่ได้ถ่ายยีน ซึ่งใช้เป็น negative control

AS-ACSB-107A : ต้นกล้วยไม้ดัดแปลงพันธุกรรมรุ่น R₀-line 107A

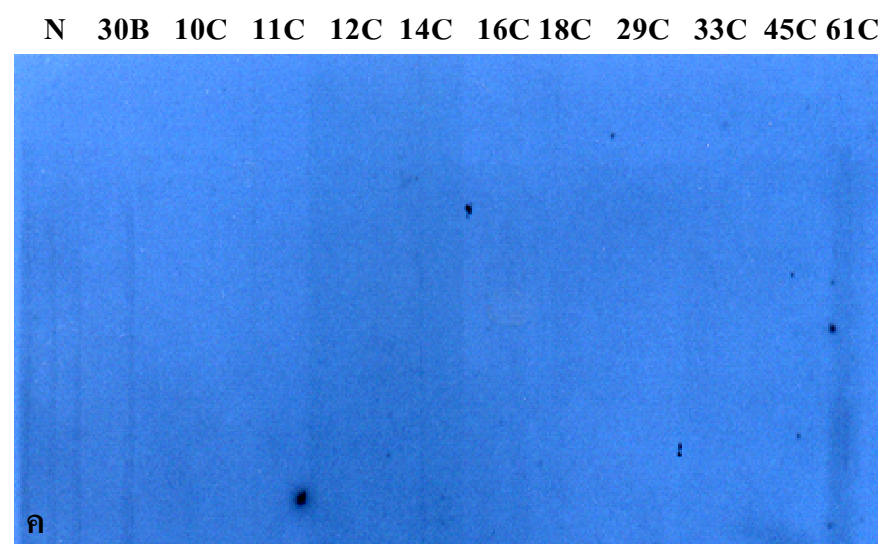
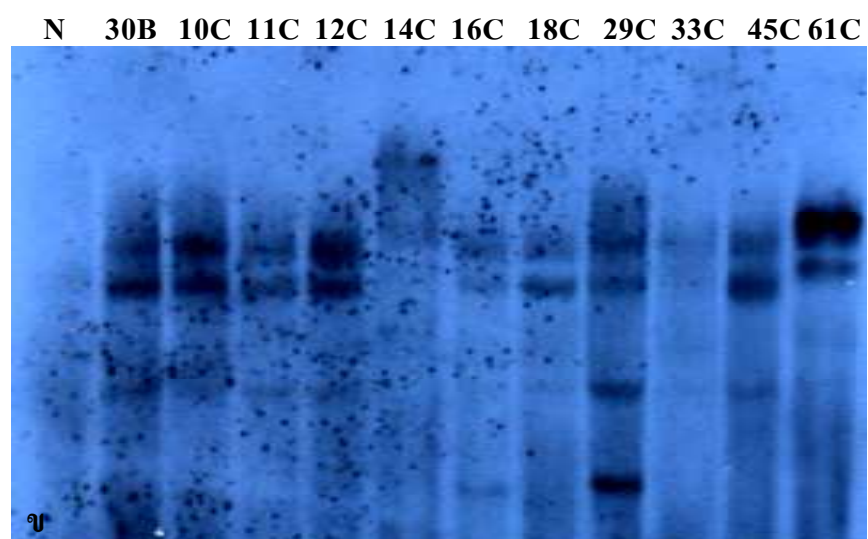
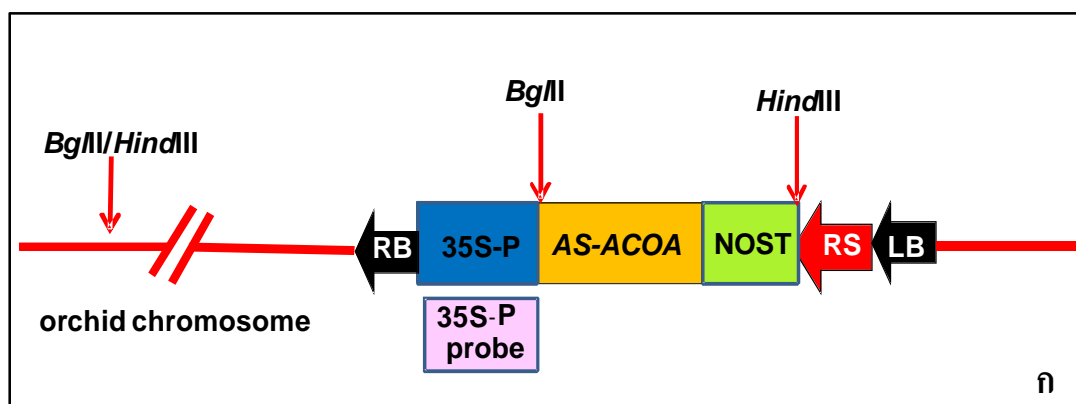
AS-ACSB-108A : ต้นกล้วยไม้ดัดแปลงพันธุกรรมรุ่น R₀-line 108A

AS-ACSB-117A : ต้นกล้วยไม้ดัดแปลงพันธุกรรมรุ่น R₀-line 117A

AS-ACSB-203A : ต้นกล้วยไม้ดัดแปลงพันธุกรรมรุ่น R₀-line 203A

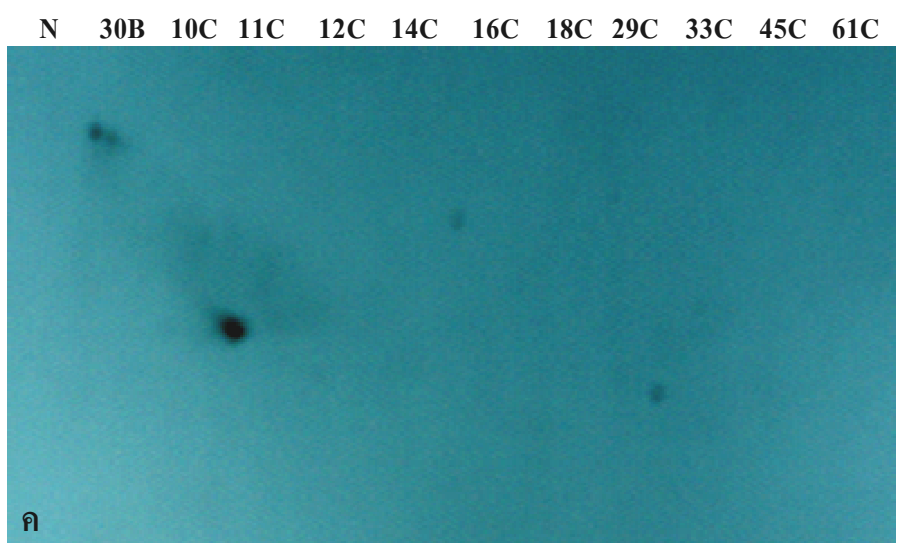
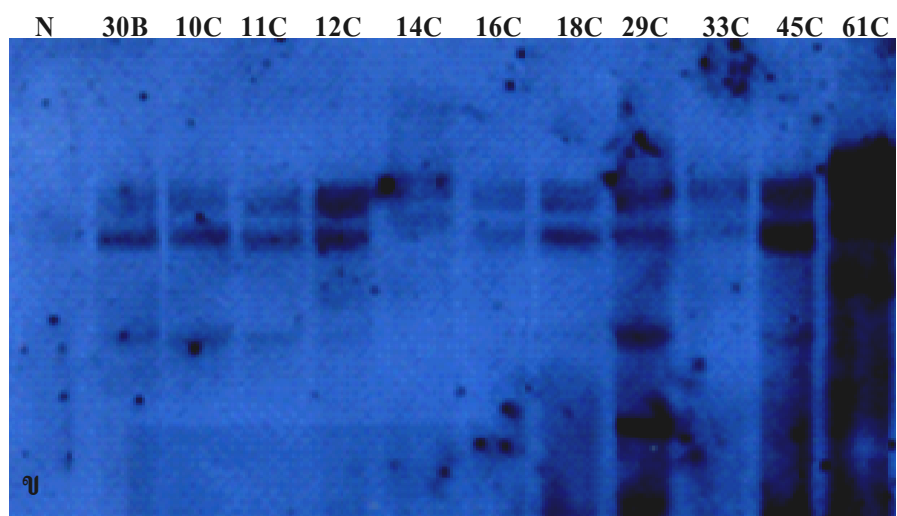
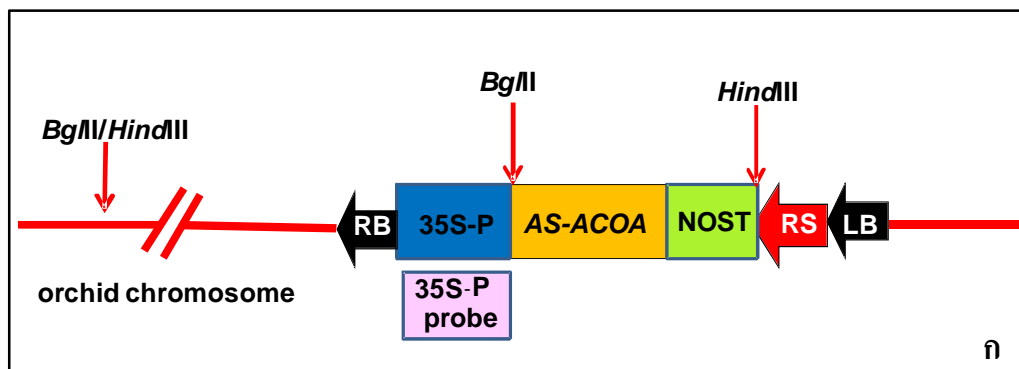
ภาพที่ 37 การตรวจสอบจำนวนชุดของยีน AS-ACOA และ *ipt* ในกลีบไม้คัดแปลงพันธุกรรมที่ได้รับการถ่ายยืนด้วยชุดยีน pMAT21-AS-ACOA ย้อมดีอีนเอด้วยเอนไซม์จำเพาะ *Hind*III (ก) และตรวจวิเคราะห์จำนวนชุดของยีน AS-ACOA และ *ipt* ด้วยวิธี Southern blot hybridization ทำปฏิกิริยาไฮบริดเชิงกับ 35S-promoter probe (ข) และ *ipt* probe (ค) ตามลำดับ และตรวจสอบด้วยวิธี chemiluminescence detection

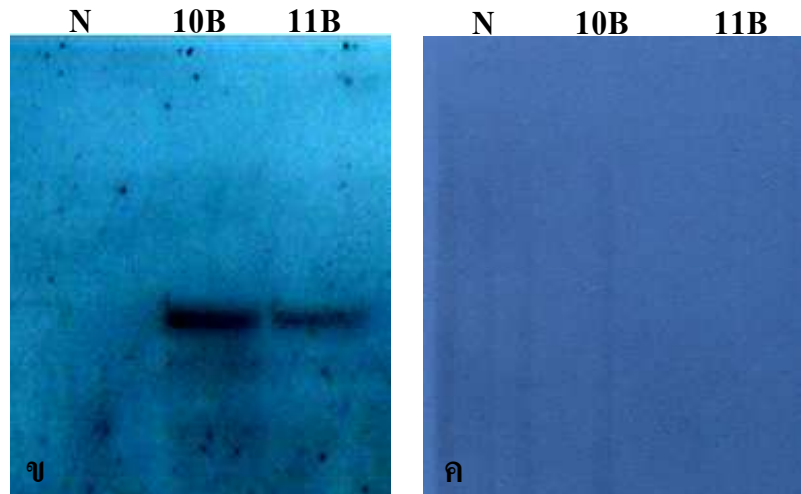
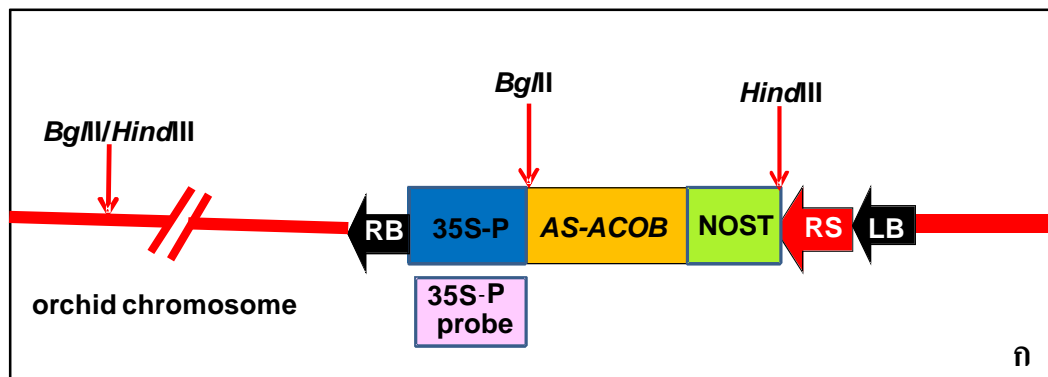
N	: ต้นกลีบไม้ที่ไม่ได้ถ่ายยืนซึ่งใช้เป็น negative control
AS-ACOA-30B	: ต้นกลีบไม้คัดแปลงพันธุกรรมรุ่น R ₀ -line 30B
AS-ACOA-10C	: ต้นกลีบไม้คัดแปลงพันธุกรรมรุ่น R ₀ -line 10C
AS-ACOA-11C	: ต้นกลีบไม้คัดแปลงพันธุกรรมรุ่น R ₀ -line 11C
AS-ACOA-12C	: ต้นกลีบไม้คัดแปลงพันธุกรรมรุ่น R ₀ -line 12C
AS-ACOA-14C	: ต้นกลีบไม้คัดแปลงพันธุกรรมรุ่น R ₀ -line 14C
AS-ACOA-16C	: ต้นกลีบไม้คัดแปลงพันธุกรรมรุ่น R ₀ -line 16C
AS-ACOA-18C	: ต้นกลีบไม้คัดแปลงพันธุกรรมรุ่น R ₀ -line 18C
AS-ACOA-29C	: ต้นกลีบไม้คัดแปลงพันธุกรรมรุ่น R ₀ -line 29C
AS-ACOA-33C	: ต้นกลีบไม้คัดแปลงพันธุกรรมรุ่น R ₀ -line 33C
AS-ACOA-45C	: ต้นกลีบไม้คัดแปลงพันธุกรรมรุ่น R ₀ -line 45C
AS-ACOA-61C	: ต้นกลีบไม้คัดแปลงพันธุกรรมรุ่น R ₀ -line 61C



ภาพที่ 38 การตรวจสอบจำนวนชุดของยีน AS-ACOA และ *ipt* ในกลีบไม้คัดแปลงพันธุกรรมที่ได้รับการถ่ายยีนด้วยชุดยีน pMAT21-AS-ACOA ย่อยดีเอ็นเอด้วยเอนไซม์ *Bgl*II (ก) และตรวจวิเคราะห์จำนวนชุดของยีน AS-ACOA และ *ipt* ด้วยวิธี Southern blot hybridization ทำปฏิกิริยาไอโซบริไಡเชิงกับ 35S-promoter probe (ข) และ *ipt* probe (ค) ตามลำดับ และตรวจสอบด้วยวิธี chemiluminescence detection

N	: ต้นกลีบไม้ที่ไม่ได้ถ่ายยีนซึ่งใช้เป็น negative control
AS-ACOA-30B	: ต้นกลีบไม้คัดแปลงพันธุกรรมรุ่น R ₀ -line 30B
AS-ACOA-10C	: ต้นกลีบไม้คัดแปลงพันธุกรรมรุ่น R ₀ -line 10C
AS-ACOA-11C	: ต้นกลีบไม้คัดแปลงพันธุกรรมรุ่น R ₀ -line 11C
AS-ACOA-12C	: ต้นกลีบไม้คัดแปลงพันธุกรรมรุ่น R ₀ -line 12C
AS-ACOA-14C	: ต้นกลีบไม้คัดแปลงพันธุกรรมรุ่น R ₀ -line 14C
AS-ACOA-16C	: ต้นกลีบไม้คัดแปลงพันธุกรรมรุ่น R ₀ -line 16C
AS-ACOA-18C	: ต้นกลีบไม้คัดแปลงพันธุกรรมรุ่น R ₀ -line 18C
AS-ACOA-29C	: ต้นกลีบไม้คัดแปลงพันธุกรรมรุ่น R ₀ -line 29C
AS-ACOA-33C	: ต้นกลีบไม้คัดแปลงพันธุกรรมรุ่น R ₀ -line 33C
AS-ACOA-45C	: ต้นกลีบไม้คัดแปลงพันธุกรรมรุ่น R ₀ -line 45C
AS-ACOA-61C	: ต้นกลีบไม้คัดแปลงพันธุกรรมรุ่น R ₀ -line 61C





ภาพที่ 39 การตรวจสอบจำนวนชุดของยีน AS-ACOB และ *ipt* ในกล้วยไม้ดัดแปลงพันธุกรรมที่ได้รับการถ่ายยีนด้วยชุดยีน pMAT21-AS-ACOB ข้อดีอีกอย่างหนึ่งของการใช้ชุดยีน AS-ACOB และ *ipt* คือวิธี Southern blot hybridization ทำปฏิกิริยาไฮบริดไซซ์ชั้นกับ 35S-promoter probe (ก) และ *ipt* probe (ก) ตามลำดับ และตรวจสอบด้วยวิธี chemiluminescence detection

N : ต้นกล้วยไม้ที่ไม่ได้ถ่ายยีนซึ่งใช้เป็น negative control

AS-ACOB-10B : ต้นกล้วยไม้ดัดแปลงพันธุกรรมรุ่น R₀-line 10B

AS-ACOB-11B : ต้นกล้วยไม้ดัดแปลงพันธุกรรมรุ่น R₀-line 11B

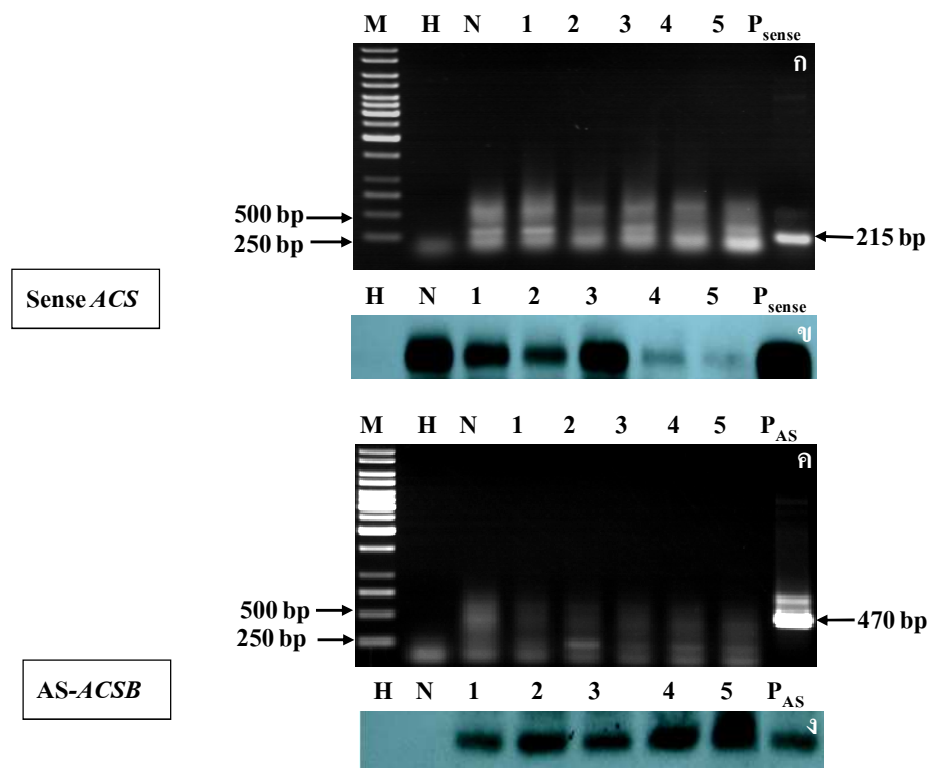
6. การตรวจสอบการแสดงออกในระดับอาร์เอ็นเอของยีน AS-ACS หรือ AS-ACO เปรียบเทียบกับการแสดงออกของยีน ACS หรือ ACO จากกลัวยไม้ดัดแปลงพันธุกรรมด้วยเทคนิค RT-PCR

การตรวจสอบการแสดงออกของยีน AS-ACS และ AS-ACO ในกลัวยไม้ดัดแปลงพันธุกรรมที่ปราศจากยีนคัดเลือกด้วยเทคนิค RT-PCR และทำการยืนยันผลของ PCR products of RT-PCR ด้วยเทคนิค Southern blot hybridization เพื่อศึกษาการเปลี่ยนแปลงในการแสดงออกของยีน sense ACS และ sense ACO หลังจากกลัวยไม้ได้รับการถ่ายยีน AS-ACS และ AS-ACO โดยใช้ 18s rRNA เป็น internal control

กลัวยไม้ดัดแปลงพันธุกรรมที่ได้รับการถ่ายยีนด้วยชุดยีน AS-ACSB ตรวจพบการแสดงออกของยีน AS-ACSB จำนวน 5 ต้น ได้แก่ line AS-ACSB-107A, AS-ACSB-108A, AS-ACSB-117A, AS-ACSB-203A และ AS-ACSB-208A โดยตรวจพบแถบดีเอ็นเอขนาดประมาณ 470 คู่เบส พบร่วมกับยีน ACS ที่ไม่ได้ถ่ายยีน (ภาพที่ 40ก และ 40ง) และกลัวยไม้ดัดแปลงพันธุกรรมและกลัวยไม้ที่ไม่ได้ถ่ายยีนทุกต้น ตรวจพบการแสดงออกของยีน sense ACS ขนาด 215 คู่เบส (ภาพที่ 40ก และ 40ข) โดยพบว่าต้นที่มีการแสดงออกของยีน AS-ACSB มาก จะมีการแสดงออกของยีน sense ACS น้อยลง ได้แก่ line AS-ACSB-203A และ AS-ACSB-208A ส่วนต้นที่พบการแสดงออกของยีน AS-ACSB น้อย จะพบว่ามีการแสดงออกของยีน sense ACS มาก ได้แก่ line AS-ACSB-107A, AS-ACSB-108A, AS-ACSB-117A (ภาพที่ 40 และตารางที่ 15)

กลัวยไม้ดัดแปลงพันธุกรรมที่ได้รับการถ่ายยีน AS-ACOA ตรวจพบการแสดงออกของยีน AS-ACOA จำนวน 11 ต้น ได้แก่ line AS-ACOA-30B, AS-ACOA-10C, AS-ACOA-11C, AS-ACOA-12C, AS-ACOA-16C, AS-ACOA-18C, AS-ACOA-29C, AS-ACOA-33C, AS-ACOA-45C, AS-ACOA-61C (ภาพที่ 41ก และ 41ง) โดยตรวจพบแถบดีเอ็นเอขนาดประมาณ 334 คู่เบส แต่ตรวจไม่พบแถบดีเอ็นเอขนาดดังกล่าวในต้นกลัวยไม้ที่ไม่ได้ถ่ายยีน และตรวจพบการแสดงออกของยีน sense ACO ขนาด 200 คู่เบส ทุกต้น (ภาพที่ 41ก และ 41ข) โดยพบว่าต้นที่มีการแสดงออกของยีน AS-ACOA มากจะมีการแสดงออกของยีน sense ACO น้อย ส่วนต้นที่มีการแสดงออกของยีน AS-ACOA น้อย จะพบการแสดงออกของยีน sense ACO มาก ได้แก่ line AS-ACOA-30B, AS-ACOA-10C, AS-ACOA-11C, AS-ACOA-12C, AS-ACOA-14C, AS-ACOA-16C, AS-ACOA-18C, AS-ACOA-29C, AS-ACOA-33C, AS-ACOA-45C และ AS-ACOA-61C (ภาพที่ 41 และตารางที่ 15)

กล้ำย ไม่คัดแปลงพันธุกรรมที่ได้รับการถ่ายยืน AS-ACOB ตรวจพบการแสดงออกของยืน AS-ACOB จำนวน 2 ต้น ได้แก่ line AS-ACOB-10B, AS-ACOB-11B (ภาพที่ 42ก และ 42ง) โดยตรวจพบແບดีເຈັ້ນເອນາດ 334 ຄູ່ເບສ ຕຽວໄມ່ພົນແບດີເຈັ້ນເອນາດດັກລ່າວໃນກລ້ວຍໄມ້ທີ່ໄມ່ໄດ້ຄ່າຍືນ ແລະ ตรวจພົບກາຣແສດງອອກຂອງຍືນ sense ACO ຂາດ 200 ຄູ່ເບສ ຖຸກຕົ້ນ (ภาพที่ 42ກ และ 42ข) ກລ້ວຍໄມ້คັດແປລັງພັນຫຼຸກຮົມທີ່ມີກາຣແສດງອອກຂອງຍືນ AS-ACOB ມາກ ຈະມີກາຣແສດງອອກຂອງຍືນ sense ACO ໃນປິຣິມານນ້ອຍ ໄດ້ແກ່ line AS-ACOB-10B, AS-ACOB-11B ເມື່ອເທີຍບັນກັບຕົ້ນທີ່ໄມ່ໄດ້ຄ່າຍືນ (ภาพที่ 42 ແລະ ตารางที่ 15)



ภาพที่ 40 การตรวจสอบการแสดงออกของยีน sense ACS และ AS-ACSB ในต้นกล้วยไม้ดัดแปลงพันธุกรรมที่ได้รับการถ่ายยีนด้วยชุดยีน pMAT21-AS-ACSB ด้วยเทคนิค RT-PCR โดยใช้ไพรเมอร์ S-ACSB1F2 และ S-ACSB21R2 สำหรับยีน sense ACS (ก) และยีนยังผล PCR ด้วยวิธี Southern blot hybridization ตรวจสอบยีน sense ACS ด้วย sense ACS probe (ข) ใช้ไพรเมอร์ AS-ACS400R-BstEII และ AS-ACS900F-SpeI สำหรับตรวจสอบยีน AS-ACSB (ค) และยีนยังผล PCR ด้วยวิธี Southern blot hybridization ตรวจสอบยีน AS-ACSB ด้วย AS-ACSB probe (ง)

M : ดีเอ็นเอนาโนตราฐาน (1 kb ladder-DNA marker; Fermentas, Lithuania)

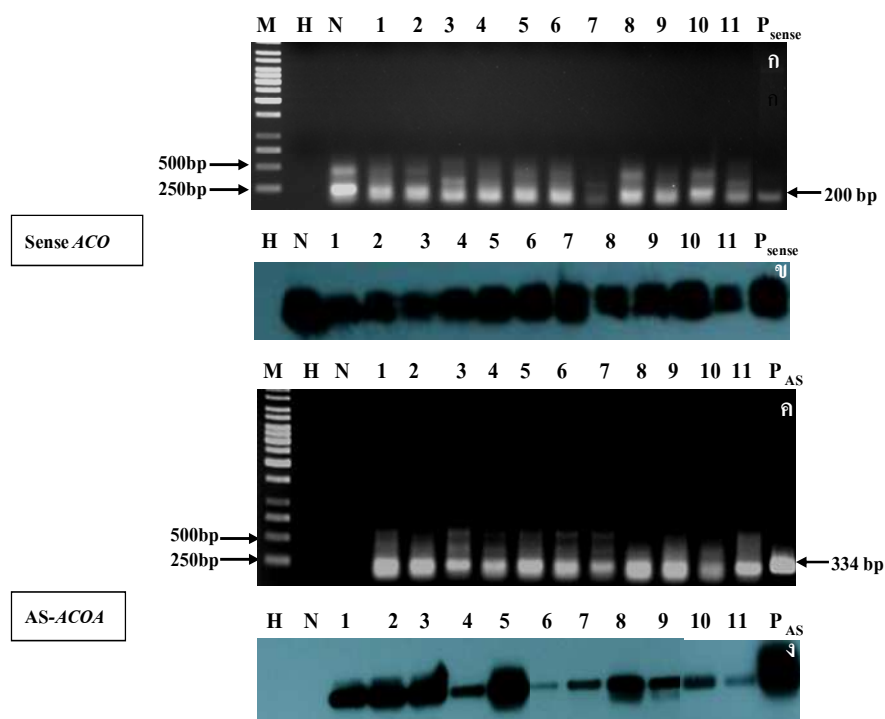
H : H_2O (น้ำ)

N : กล้วยไม้ที่ไม่ได้รับการถ่ายยีนซึ่งใช้เป็น negative control

P_{sense} : พลาสมิด pMAT21-AS-ACSB ใช้เป็น positive control ของยีน sense ACO

P_{AS} : พลาสมิด pMAT21-AS-ACSB ใช้เป็น positive control ของยีน AS-ACOB

1-5 : ต้นกล้วยไม้ดัดแปลงพันธุกรรมสายพันธุ์ AS-ACSB-107A, AS-ACSB-108A, AS-ACSB-117A, AS-ACSB-203A และ AS-ACSB-208A



ภาพที่ 41 การตรวจสอบการแสดงออกของยีน sense *ACO* และ AS-*ACOA* ในต้นกล้าไม้ดัดแปลงพันธุกรรมที่ได้รับการถ่ายยีนด้วยชุดยีน pMAT21-AS-*ACOA* ด้วยเทคนิค RT-PCR โดยใช้ไพรเมอร์ S-ACOA745F1 กับ S-ACOA945R1 สำหรับยีน sense *ACO* (ก) และยีนยังผล PCR ด้วยวิธี Southern blot hybridization ตรวจสอบยีน sense *ACO* ด้วย sense *ACO* probe (ข) ใช้ไพรเมอร์ AS-ACO301R-B2 และ AS-ACO635F-S1 สำหรับตรวจสอบยีน AS-*ACOA* (ก) และยีนยังผล PCR ด้วยวิธี Southern blot hybridization ตรวจสอบยีน AS-*ACOA* ด้วย AS-*ACOA* probe (ข)

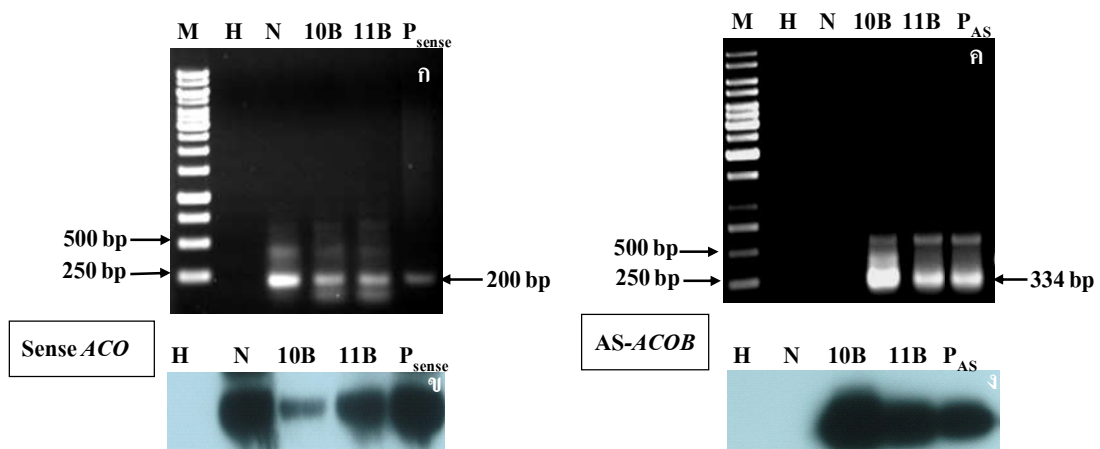
H : H_2O (น้ำ)

N : กล้าไม้ที่ไม่ได้รับการถ่ายยีน ซึ่งใช้เป็น negative control

P_{sense} : พลasmid pMAT21-AS-*ACOA* ใช้เป็น positive control
ของยีน sense *ACO*

P_{AS} : พลasmid pMAT21-AS-*ACOA* ใช้เป็น positive control
ของยีน AS-*ACOA*

1-11 : ต้นกล้าไม้ดัดแปลงพันธุกรรม line-AS-*ACOA*-30B, AS-*ACOA*-10C, AS-*ACOA*-11C, AS-*ACOA*-12C, AS-*ACOA*-14C, AS-*ACOA*-16C, AS-*ACOA*-18C, AS-*ACOA*-29C, AS-*ACOA*-33C, AS-*ACOA*-45C
AS-*ACOA*-61C



ภาพที่ 42 การตรวจสอบการแสดงออกของยีน sense *ACO* และ AS-*ACOB* ในต้นกล้วยไม้คัดแปลงพันธุกรรมที่ได้รับการถ่ายยีนด้วยชุดยีน pMAT21-AS-*ACOB* ด้วยเทคนิค RT-PCR โดยใช้ไพรเมอร์ S-ACOBC1F2 กับ S-ACOBC200R2 สำหรับยีน sense *ACO* (ก) และยีนยันผล PCR ด้วยวิธี Southern blot hybridization ตรวจสอบยีน sense *ACO* ด้วย sense *ACO* probe (ข) ใช้ไพรเมอร์ AS-ACO301R-B2 และ AS-ACO635F-S1 สำหรับตรวจสอบยีน AS-*ACOB* (ก) และยีนยันผล PCR ด้วยวิธี Southern blot hybridization ตรวจสอบยีน AS-*ACOB* ด้วย AS-*ACOB* probe (จ)

M : ดีเอ็นเอมาตรฐาน (1 kb ladder-DNA marker; Fermentas, Lithuania)

H : H_2O (น้ำ)

N : กล้วยไม้ที่ไม่ได้รับการถ่ายยีน ซึ่งใช้เป็น negative control

P_{sense} : พลasmid pMAT21-AS-*ACOB* ใช้เป็น positive control ของยีน sense *ACO*

P_{AS} : พลasmid pMAT21-AS-*ACOB* ใช้เป็น positive control ของยีน AS-*ACOB*

1-2 : กล้วยไม้คัดแปลงพันธุกรรมสายพันธุ์ AS-*ACOB*-10B และ AS-*ACOB*-11B

7. ผลการตรวจสอบการแสดงออกในระดับอาร์เอ็นเอของยีน AS-ACS หรือ AS-ACO และยีน Sense ACS หรือ Sense ACO จากกลัวยไม้ดัดแปลงพันธุกรรมด้วยเทคนิค northern blot hybridization

ตรวจสอบการแสดงออกของยีน AS-ACS และ AS-ACO ในกลัวยไม้ดัดแปลงพันธุกรรมที่ปราศจากยีนคัดเลือกด้วยเทคนิค northern blot hybridization โดยใช้ sense ACS RNA probe และ sense ACO RNA probe ในการตรวจสอบการแสดงออกของยีน AS-ACS และ AS-ACO ในกลัวยไม้ดัดแปลงพันธุกรรมที่ได้รับการถ่ายยีน AS-ACS และ AS-ACO ตามลำดับ และใช้ AS-ACS RNA probe และ AS-ACO RNA probe ในการตรวจสอบการแสดงออกของยีน sense ACS และ sense ACO ในกลัวยไม้ดัดแปลงพันธุกรรมที่ได้รับการถ่ายยีน AS-ACS และ AS-ACO ตามลำดับ

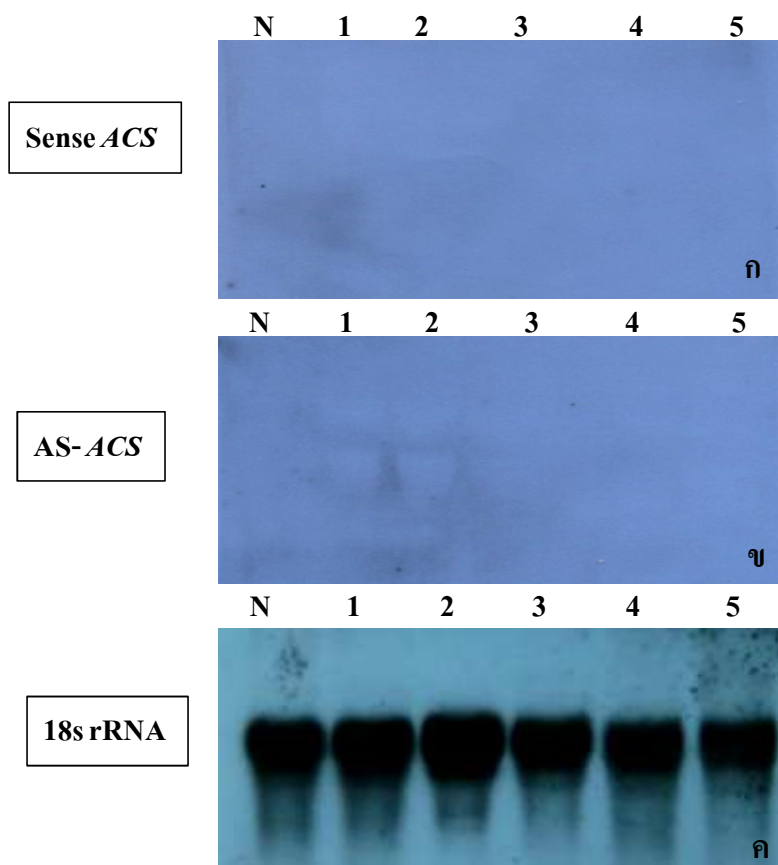
จากการตรวจสอบการแสดงออกของยีน AS-ACSB จากกลัวยไม้ดัดแปลงพันธุกรรมที่ได้รับการถ่ายยีน AS-ACSB ตรวจไม่พบการแสดงออกของยีน AS-ACSB และ sense ACS (ภาพที่ 43) ทั้งนี้เป็นเพราะว่ายีน AS-ACS ที่นำมาใช้ในการสร้างกลัวยไม้ดัดแปลงพันธุกรรมและผลิต probe เป็นยีนที่มีการแสดงออกเฉพาะในดอกเทียนท่าน้ำ จึงตรวจไม่พบการแสดงออกของยีน sense ACS จากส่วนใบของกลัวยไม้ และการที่ตรวจไม่พบการแสดงออกของยีน AS-ACSB จากกลัวยไม้ดัดแปลงพันธุกรรมที่มียีน AS-ACSB ด้วยเทคนิค northern blot hybridization แต่ตรวจพบด้วยเทคนิค RT-PCR อาจเป็นเพราะว่ากลัวยไม่มีการแสดงออกของยีน AS-ACSB น้อยมากจนไม่สามารถตรวจสอบได้ด้วยเทคนิค northern blot hybridization ได้ (ภาพที่ 43 และตารางที่ 15)

จากการตรวจสอบการแสดงออกของยีน AS-ACOA และ AS-ACOB ในกลัวยไม้ดัดแปลงพันธุกรรมที่ได้รับการถ่ายยีน AS-ACOA และ AS-ACOB ตรวจพบการแสดงออกยีน AS-ACOA และ AS-ACOB ทุกต้นในปริมาณที่แตกต่างกัน และตรวจพบยีน sense ACO ทุกต้น ซึ่งมีการแสดงออกในปริมาณที่แตกต่างกัน ต้นที่พบการแสดงออกของยีน AS-ACO มาก จะพบการแสดงออกของยีน sense ACO น้อย ได้แก่ AS-ACOB-10B และ AS-ACOB-11B ส่วนต้นที่พบการแสดงออกของยีน AS-ACO น้อย จะพบการแสดงออกของยีน sense ACO หาก AS-ACOA-30B, AS-ACOA-10C, AS-ACOA-11C, AS-ACOA-12C, AS-ACOA-14C, AS-ACOA-16C, AS-ACOA-18C, AS-ACOA-29C, AS-ACOA-33C, AS-ACOA-45C และ AS-ACOA-61 (ภาพที่ 44 และตารางที่ 15)

ตารางที่ 15 ผลการตรวจส่วนการแสดงออกของยีน AS-ACS และ AS-ACO ในระดับอาร์เอ็นเอของกลัวยไนด์ดดแบล็งพันธุกรรมด้วยวิธี RT-PCR และ northern blot analysis

ชนิดของชุดยีนที่ ถ่ายเข้าสู่กลัวยไม้ / line	จำนวนชุดของ ยีน ASACS และ AS-ACO ที่ตรวจพบ(ชุด)	การแสดงออกของยีน		การแสดงออกของยีน	
		sense	AS	sense	AS
ยีน AS-ACS ส่วน B					
AS-ACSB-107A	1	++	++	-	-
AS-ACSB-108A	1	++	++	-	-
AS-ACSB-117A	1	+++	++	-	-
AS-ACSB-203A	1	++	+++	-	-
AS-ACSB-208A	1	++	+++	-	-
ยีน AS-ACO ส่วน A					
AS-ACOA-30B	2	++	++	++	++
AS-ACOA-10C	2	++	++	++	++
AS-ACOA-11C	3	++	++	+	+
AS-ACOA-12C	2	++	+	+	+
AS-ACOA-14C	2	+++	+++	++	++
AS-ACOA-16C	3	++	+	+	+
AS-ACOA-18C	2	+++	+	++	+
AS-ACOA-29C	4	++	++	++	+
AS-ACOA-33C	2	++	+	++	+
AS-ACOA-45C	3	++	++	+	+++
AS-ACOA-61C	2	++	+	+	++
ยีน AS-ACO ส่วน B					
AS-ACOB-10B	1	+	+++	+	+++
AS-ACOB-11B	1	++	++	+	+++

หมายเหตุ + = การแสดงออกของยีนในระดับต่ำ, ++ = การแสดงออกของยีนในระดับปานกลาง
 +++ = การแสดงออกของยีนในระดับมาก, - = ไม่พบการแสดงออกของยีน

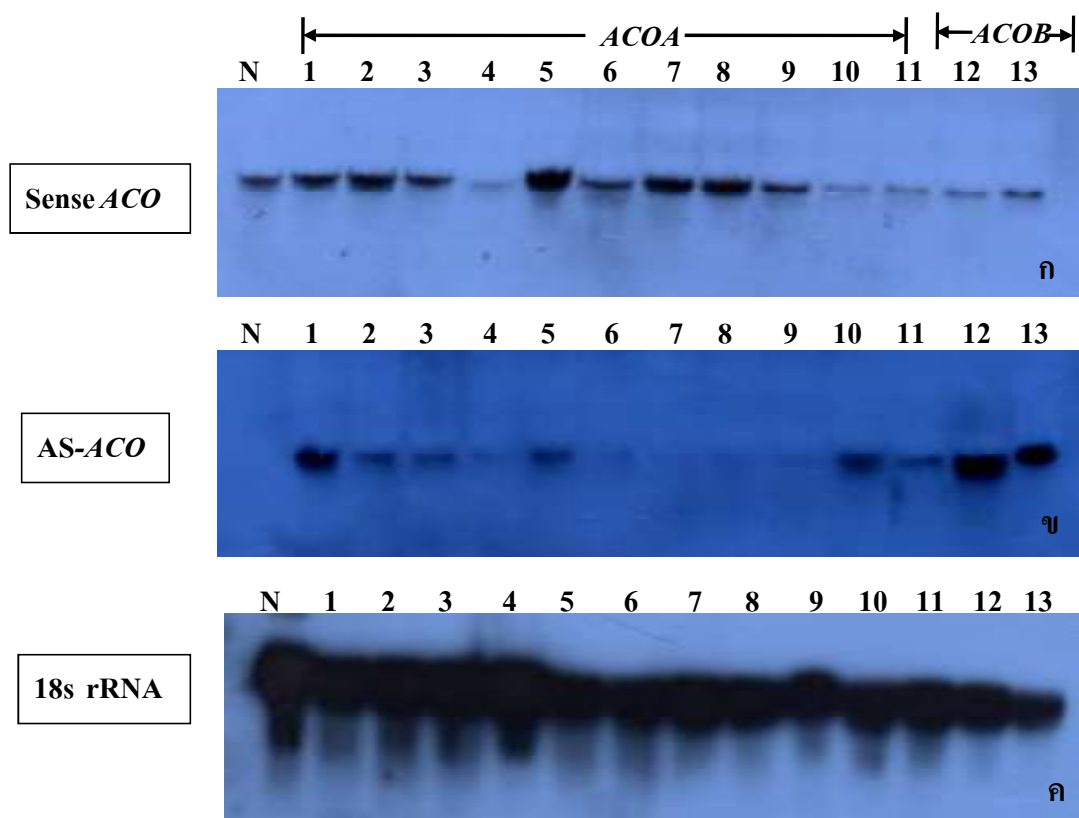


ภาพที่ 43 การตรวจสอบการแสดงออกของยีน sense ACS (ก) ยีน AS-ACSB (ข) ยีน 18s rRNA (ค)
ในต้นกล้วยไม้คัดแปลงพันธุกรรมที่ได้รับการถ่ายยีนด้วยชุดยีน pMAT21-AS-ACOA
โดยใช้เทคนิค northern blot hybridization ตรวจสอบด้วย AS-ACS RNA probe, sense
ACS RNA probe และ 18s rRNA ตามลำดับ

N : กล้วยไม้ที่ไม่ได้รับการถ่ายยีนซึ่งใช้เป็น negative control

1-5 : ต้นกล้วยไม้คัดแปลงพันธุกรรม line AS-ACSB-107A, AS-ACSB-108A,

AS-ACSB-117A, AS-ACSB-203A และ AS-ACSB-208A



ภาพที่ 44 การตรวจสอบการแสดงออกของยีน sense *ACO* (ก) ยีน *AS-ACOA* และ *AS-ACOB* (ง)

ยีน 18s rRNA (ค) ในต้นกล้วยไม้ดัดแปลงพันธุกรรมที่ได้รับการถ่ายยีนด้วยชุดยีน pMAT21-AS-*ACOA* และ pMAT21-AS-*ACOB* โดยใช้เทคนิค northern blot hybridization ตรวจสอบด้วย *AS-ACO* RNA probe, sense *ACO* RNA probe และ 18s rRNA ตามลำดับ

- N : กล้วยไม้ที่ไม่ได้รับการถ่ายยีน ซึ่งใช้เป็น negative control
- 1-11 : กล้วยไม้ดัดแปลงพันธุกรรมที่ได้รับการถ่ายยีนด้วยชุดยีน pMAT21-AS-*ACOA* line ต่าง ๆ ดังนี้ AS-*ACOA*-30B, AS-*ACOA*-10C, AS-*ACOA*-11C, AS-*ACOA*-12C, AS-*ACOA*-14C, AS-*ACOA*-16C, AS-*ACOA*-18C, AS-*ACOA*-29C, AS-*ACOA*-33C, AS-*ACOA*-45C และ AS-*ACOA*-61C,
- 12-13 : กล้วยไม้ดัดแปลงพันธุกรรมที่ได้รับการถ่ายยีนด้วยชุดยีน pMAT21-AS-*ACOB* line ต่าง ๆ ดังนี้ AS-*ACOB*-10B และ AS-*ACOB*-11B

วิจารณ์

การถ่ายยีนเข้าสู่กล้วยไม้สกุลหวายพันธุ์ป้อมปาดัวร์โดยใช้วิเคราะห์ pMAT21 จำเป็นต้องศึกษาถึงปัจจัยต่าง ๆ ที่มีผลต่อการถ่ายยีน โดยที่กล้วยไม้เป็นพืชใบเลี้ยงเดี่ยวและมีเชื้ออะโกรแบบที่เรียนบางสายพันธุ์ท่านั้นที่ประสบความสำเร็จในการถ่ายยีนเข้าสู่พืชใบเลี้ยงเดี่ยว จึงจำเป็นต้องศึกษาทดสอบสายพันธุ์และปริมาณความเข้มข้นของเชื้ออะโกรแบบที่เรียนที่ใช้ในการถ่ายยีน จากรายงานต่าง ๆ พบว่าเชื้ออะโกรแบบที่เรียนที่ใช้สำหรับการถ่ายยีนเข้าสู่พืชมีหลายสายพันธุ์ เช่น EHA101, EHA105, AGL0, AGL-1, C58 และ LBA4404 ดังนั้นควรเลือกสายพันธุ์ที่มีความสามารถในการเข้าสู่เซลล์พืชสูง มีความเข้มข้นของเชื้ออะโกรแบบที่เรียนที่เหมาะสมกับชนิดของพืช โดยปริมาณเชื่อมากเป็นเพิ่มโอกาสให้เชื้ออะโกรแบบที่เรียนเข้าสู่เซลล์พืชได้มากขึ้น แต่ถ้าปริมาณเชื่อมากเกินไปทำให้กำจัดเชื้อภายนอกหลังการถ่ายยีนได้ยากและมีผลยับยั้งการเจริญเติบโตของเนื้อเยื่อพืช ทำให้ประสิทธิภาพการถ่ายยีนต่ำลง (Lin *et al.*, 1994) นอกจากนี้ระยะเวลา co-cultivation ระหว่าง PLBs กับเชื้ออะโกรแบบที่เรียนมากหรือน้อยแตกต่างกัน ขึ้นอยู่กับสายพันธุ์ของเชื้ออะโกรแบบที่เรียน ชนิดของพืช ประเภทของเนื้อเยื่อที่นำมาใช้ในการถ่ายยีน นอกจากนี้วิธีการ co-cultivation และอาหารสำหรับเลี้ยงเนื้อเยื่อที่ได้รับการถ่ายยีน ก็มีผลต่อประสิทธิภาพการถ่ายยีน (Mondal *et al.*, 2001; Suzuki *et al.*, 2001; Yu *et al.*, 2001) ภายนอกหลังการถ่ายยีนต้องมีการกำจัดเชื้ออะโกรแบบที่เรียน โดยสารปฏิชีวนะซึ่งนิยมใช้กันมี 3 ชนิด คือ cefotaxime, carbenicillin และ vancomycin โดยสารปฏิชีวนะเหล่านี้จะต้องไม่ทำลายเนื้อเยื่อพืช ข้อคำนึงถึงในการเลือกใช้สารปฏิชีวนะเหล่านี้ ได้แก่ ชนิดพืช, สายพันธุ์ของเชื้ออะโกรแบบที่เรียน, สารปฏิชีวนะที่ใช้คัดเลือกพืชที่ได้รับการถ่ายยีน และชนิดของสารปฏิชีวนะที่ใช้ในการกำจัดเชื้ออะโกรแบบที่เรียน (Silva and Fukai., 2001)

การทดลองครั้งนี้ได้ศึกษาประสิทธิภาพการถ่ายยีนเข้าสู่ PLBs ของกล้วยไม้สกุลหวายพันธุ์ป้อมปาดัวร์ โดยใช้เชื้ออะโกรแบบที่เรียนที่บรรจุไวร์เตอร์ pMAT21 ซึ่งมียีน *gus* เป็นยีนรายงานผลและยีน *ipt* เป็นยีนคัดเลือก พบว่าการใช้อะโกรแบบที่เรียนสายพันธุ์ EHA105 ความเข้มข้น ~ 4.1×10^{17} cfu/ml และการ co-cultivation ระหว่างสารแ变幻ลอยเชื้ออะโกรแบบที่เรียนกับ PLBs ของกล้วยไม้ร่วมกับสาร celite ความเข้มข้น 4.5 กรัมต่อลิตร ด้วยวิธีการใช้เครื่อง vortex mixer ที่ความเร็วระดับ 7 เป็นเวลา 30 นาที เป็นวิธีที่เหมาะสมในการถ่ายยีน และใช้สารปฏิชีวนะ cefotaxime ความเข้มข้น 200 มิลลิกรัมต่อลิตร ในการกำจัดเชื้ออะโกรแบบที่เรียนภายหลังการถ่ายยีน โดยไม่มีผลยับยั้งการเจริญเติบโตของ PLBs กล้วยไม้

Liau *et al.* (2003) ถ่ายยีนเข้าสู่กล้วยไม้สกุลօอนซิเดียม ‘Sherry Baby cv. OM8’ โดยใช้เชื้ออะโกรเบปที่เรียมสายพันธุ์ EHA105 ชั่งบรรจุ พลาสมิด pCAMBIA 1301 พบจุดสีน้ำเงินที่ใบกล้วยไม้ที่ได้รับการถ่ายยีน และตรวจพบยีน *gus* แทรกในจีโนมของพืช 1 ชุด จำนวน 6 ต้น คิดเป็น 21 % เช่นเดียวกับการทดลองของ Sreeramanan *et al.* (2008) ที่ถ่ายยีนเข้าสู่กล้วยไม้ *Phalaenopsis* ด้วยเวกเตอร์ pCAMBIA1304 พบว่าการใช้เชื้ออะโกรเบปที่เรียมสายพันธุ์ EHA105 ให้เปอร์เซ็นต์การติดสีน้ำเงินของยีน *gus* สูงกว่าสายพันธุ์ EHA101 แต่ Chai *et al.* (2002) ใช้ *A. tumefaciens* สายพันธุ์ LBA4404 ที่บรรจุพลาสมิด pTOK 233 ในการถ่ายยีนเข้าสู่กล้วยไม้ *Phalaenopsis* 4 สายพันธุ์ ได้แก่ T0, T5, T10 และ Hikaru พบว่าความเข้มข้นของเชื้อที่เหมาะสมคือ $OD_{600} = 0.2$ มีการแสดงออกของยีน *gus* สูงสุด De Bondt *et al.* (1994) กล่าวว่าปัจจัยที่มีผลต่อการถ่ายยีนเข้าสู่พืช นอกจากความเข้มข้นของเชื้ออะโกรเบปที่เรียมแล้ว ยังมีออยู่กับสายพันธุ์ของเชื้ออะโกรเบปที่เรียม และชนิดพืช แต่การใช้ความเข้มข้นของเชื้ออะโกรเบปที่เรียมที่สูงเกินไป ทำให้การเจริญเติบโตของพืชลดลงและเนื้อเยื่อพืชตายภายในหลังการถ่ายยีน (Wilson *et al.*, 2006) แต่มีพืชบางชนิดที่ต้องอาศัยเชื้ออะโกรเบปที่เรียมปริมาณมากในการส่งถ่ายยีน เช่น กล้วยไม้ *Phalaenopsis* โดยใช้ระยะเวลาในการบ่มเชื้ออะโกรเบปที่เรียมร่วมกับเนื้อเยื่อกล้วยไม้ที่สันลงและมีการเติมสาร L-cysteine และกรด ascorbic ลงในอาหารเพาะเลี้ยงกล้วยไม้ เพื่อป้องกันเนื้อเยื่อกล้วยไม้เกิดสภาพ เครียด ยับยั้งการตายของเนื้อเยื่อพืชได้ (Sreeramanan *et al.*, 2008) Wilson *et al.* (2006) พบว่าความเข้มข้นของเชื้ออะโกรเบปที่เรียมที่แตกต่างกัน มีผลต่อประสิทธิภาพการถ่ายยีน โดยอะโกรเบปที่เรียมสายพันธุ์ EHA105 ในช่วง $OD_{600} = 0.8$ มีปริมาณความเข้มข้นของเชื้อ $\sim 1 \times 10^7$ cfu/ml ให้ประสิทธิภาพสูงสุดในการถ่ายยีนเข้าสู่ *Melastomataceae malabathricum* และ *Tibouchina semidecandra* และได้ศึกษาการถ่ายยีนเข้าสู่ส่วนต่าง ๆ เช่น ข้อและยอดของ *M. malabathricum* โดยใช้ค่า OD_{600} เดียวกัน พบว่ามีประสิทธิภาพในการถ่ายยีนลดลง แสดงให้เห็นว่าประสิทธิภาพการถ่ายยีนเข้าสู่พืชโดยใช้เชื้ออะโกรเบปที่เรียม มีออยู่กับสายพันธุ์ของเชื้อ ปริมาณความเข้มข้นของเชื้อ ชนิดของพืชที่ใช้ในการถ่ายยีน และชิ้นส่วนของพืชที่นำมาถ่ายยีนด้วย เช่น ใบ ข้อ ยอด และโพรโทรโคร์ม เป็นต้น

ระยะเวลาในการปลูกเชื้อในแต่ละพืชแตกต่างกันขึ้นอยู่กับชนิดของพืชและชิ้นส่วนที่นำมาใช้ในการถ่ายยีนด้วย เช่น การถ่ายยีนเข้าสู่โพรโทรโคร์มกล้วยไม้สกุลวนด้า โดยใช้เชื้ออะโกรเบปที่เรียมสายพันธุ์ EHA101 ที่บรรจุเวกเตอร์ pIG121Hm ชั่งมียีน *gus* เป็นยีนรายงานผล และยีนคัดเลือกคือ ยีน *hpt* และ *nptII* พบว่าปัจจัยที่เหมาะสมต่อการถ่ายยีน คือ การบ่มเชื้ออะโกรเบปที่เรียมร่วมกับโพรโทรโคร์ม เป็นเวลา 240 นาที ร่วมกับวิธี sonication เป็นเวลา 5 นาที ทำให้โพรโทรโคร์มเกิดบาดแผล ช่วยเพิ่มประสิทธิภาพการถ่ายยีนและพบการแสดงออกของยีน *gus* ได้ดี

ขึ้น (Shrestha *et al.*, 2007) Belarmino and Mii (2000) ถ่ายยีนเข้าสู่กล้วงไม้ *Phalaenopsis* สูญพอมะห่วง [*Doritaenopsis* Coral Fantasy×*Phalaenopsis* (Baby Hat×Ann Jessica)] โดยใช้เชื้อ *A. tumefaciens* สายพันธุ์ LBA4404 ที่บรรจุพลาสมิด pTOK233 และสายพันธุ์ EHA101 ที่บรรจุพลาสมิด pIG121Hm มียีน *gus* เป็นยีนรายงานผล พบว่าการ co-cultivation PLBs ร่วมกับสารแ xenoloy เชื้ออะโกรเบคทีเรียมเป็นเวลา 10 ชั่วโมง สามารถเพิ่มประสิทธิภาพการถ่ายยีน โดยพบการแสดงออกของยีน *gus* เกิดจุดสีน้ำเงินที่เคลลลัส ใบ และราก

ในการทดลองครั้งนี้ได้ทดลองเพิ่มประสิทธิภาพในการถ่ายยีนโดยการเติมสาร celite ซึ่งเป็นสารที่ทำให้เกิดบาดแผลบน PLBs พบว่าเกิดจุดสีน้ำเงินหนาแน่นมากยิ่งขึ้น เมื่อจากเชื้ออะโกรเบคทีเรียมสามารถส่งถ่ายยีนเข้าสู่ PLBs ได้ดีขึ้น ซึ่งสอดคล้องกับการทดลองของนำทิพย์ (2544) ถ่ายยีนเข้าสู่ข้าวไร้พันธุ์เจ้า่อโดยใช้เชื้ออะโกรเบคทีเรียมสายพันธุ์ EHA105 โดยเติมสาร celite 5 มิลลิกรัมต่อลิตร ในช่วงการ co-cultivation ทำให้สามารถเพิ่มประสิทธิภาพการถ่ายยีนได้ดีขึ้น โดยพบการเกิดสีน้ำเงินของยีน *gus* จาก 12 เป็น 30 เปอร์เซ็นต์

การกำจัดเชื้ออะโกรเบคทีเรียมภายหลังการถ่ายยีนเข้าสู่กล้วงไม้สกุลหวายพันธุ์ปอมปาดัวร์ โดยใช้สารปฏิชีวนะ cefotaxime 200 มิลลิกรัมต่อลิตร พบว่า PLBs สามารถเจริญเติบโตได้ตามปกติ สอดคล้องกับการใช้สารปฏิชีวนะที่ความเข้มข้นดังกล่าวในการกำจัดเชื้ออะโกรเบคทีเรียมภายหลังการถ่ายยีนในกล้วงไม้ *Phalaenopsis* (Chai *et al.*, 2002) แต่ Belarmino and Mii (2000) รายงานการใช้สารปฏิชีวนะ cefotaxime 300 มิลลิกรัมต่อลิตร สำหรับกำจัดเชื้ออะโกรเบคทีเรียมภายหลังการถ่ายยีนเข้าสู่กล้วงไม้พันธุ์เดียวกัน และมีรายงานว่าเมื่อใช้ timentin 200 มิลลิกรัมต่อลิตร ร่วมกับ cefotaxime 200 มิลลิกรัมต่อลิตร ช่วยเพิ่มประสิทธิภาพในการกำจัดเชื้ออะโกรเบคทีเรียมในการถ่ายยีนเข้าสู่กล้วงไม้สกุลอนซิเดียม (Liau *et al.*, 2003)

ในการทดลองครั้งนี้ได้นำยีน ACS หรือ ACO เชื่อมต่อกับเวกเตอร์ pMAT21 . ในลักษณะที่เป็น antisense orientation เพื่อใช้ในการถ่ายยีนเข้าสู่กล้วงไม้สกุลหวายพันธุ์ปอมปาดัวร์โดยใช้เชื้ออะโกรเบคทีเรียม โดยเวกเตอร์นี้มียีน *ipt* ที่ควบคุมการสร้างฮอร์โมนไซโตโคนินเป็นยีนคัดเลือก ทำให้สามารถคัดเลือกเนื้อเยื่อกล้วงไม้ที่ได้รับการถ่ายยีน จากลักษณะการเจริญเป็นยอดกระฉูก (*ipt*-shooty) (Ebinuma *et al.*, 2001; Ebinuma and Komamine, 2001) จากนั้นยอดกระฉูกสามารถพัฒนาเป็นยอดปกติได้ภายหลังการเพาะเลี้ยงบนอาหารที่ไม่มีการเติมฮอร์โมน เมื่อจาก การตัดยีน *ipt* ออกจากจีโนมของกล้วงไม้โดยกระบวนการ site-specific recombination ในการถ่ายยีนเข้าสู่กล้วงไม้โดยใช้เวกเตอร์ pMAT21 เนื้อเยื่อที่ได้รักษาการถ่ายยีนมีการพัฒนาเกิดเป็นยอด

กระจุกที่เกาะตัวกันแน่น ซึ่งเป็นผลมาจากการแสดงออกของยีน *ipt* ทำให้มีการสร้างอร์โนนไซโต ไคโนนมากขึ้น แต่ก็พบว่าเนื้อเยื่อกล้ายไม่ที่ไม่ได้รับการถ่ายยีนก็มีการพัฒนาเกิดเป็นยอดกระจุก เช่นเดียวกัน แต่ไม่เกาะตัวกันหนาแน่นเหมือนกับยอดกระจุกที่พัฒนามาจากเนื้อเยื่อที่ได้รับการถ่ายยีน ซึ่งทำให้เกิดปัญหาในการคัดเลือก ดังนั้นเพื่อเป็นการเพิ่มประสิทธิภาพการคัดเลือกยอดกระจุก ที่ได้รับการถ่ายยีน มีการทดลองใช้โปรโนเมเตอร์ต่าง ๆ เพื่อควบคุมการการแสดงออกของยีน *ipt* ที่เหมาะสม โดย Ebinuma *et al.* (2000) ถ่ายยีนเข้าสู่ยาสูบและ aspen โดยใช้โปรโนเมเตอร์ที่แตกต่าง กันควบคุมการทำงานของยีน *ipt* ได้แก่ CaMV-35S promoter, *ipt* promoter และ ribulose-1,5-biphosphate carboxylase small subunit 3B promoter พบร่วมกับยาสูบมีการพัฒนาเป็นยอดกระจุกที่สูงขึ้น แต่การใช้ *rbcS* 3B promoter ทำให้ยาสูบสามารถพัฒนาเป็นยอดกระจุกสูงกว่าการใช้ CaMV-35S promoter และ *ipt* promoter โดยมีประสิทธิภาพการถ่ายยีนเพิ่มขึ้น 10 เท่า และลดระยะเวลาในการพัฒนาเป็นยอดกระจุกของยาสูบด้วย Richael *et al.* (2008) ถ่ายยีนเข้าสู่พืชตระกูล Solanaceous ใช้เวกเตอร์ pSIM108 ที่ใช้โปรโนเมเตอร์ Ubiquitin-3 (Ubi3) ควบคุมการทำงานของยีน *ipt* ทำให้มันฟรังพัฒนาเป็นยอดกระจุกได้ถึง 93.4 เปอร์เซ็นต์ นอกจานนี้อาจใช้ยีนคัดเลือกอื่น ร่วมกับยีน *ipt* เพื่อเพิ่มประสิทธิภาพในการคัดเลือกยอดกระจุก โดย Endo *et al.* (2002) ศึกษาการใช้เวกเตอร์ pIPTIMH ซึ่งมียีน *ipt* ร่วมกับยีน *iaaM/H* ควบคุมการสร้างอร์โนนออกซิน เป็นยีนคัดเลือก เพื่อถ่ายยีนเข้าสู่ยาสูบ พบร่วมกับยาสูบสามารถคัดเลือกเนื้อเยื่อที่ได้รับการถ่ายยีนสูงขึ้นถึง 80 เปอร์เซ็นต์ นอกจานนี้ใช้ *GST* promoter ซึ่งเป็น inducible promoter ควบคุมการทำงานของยีน recombinase ทำให้ได้ยาสูบคัดแปลงพันธุกรรมที่ปราศจากยีนคัดเลือกสูงถึง 41.6%

ในการทดลองนี้สามารถสร้างกล้ายไมดัดแปลงพันธุกรรมที่ปราศจากยีนคัดเลือกได้แต่ พบร่วมกับยาสูบคัดแปลงพันธุกรรมที่ปราศจากยีน *recombinase* ในเวกเตอร์ pMAT21 ควบคุมโดย 35S-promoter ซึ่งเป็น constitutive promoter ทำให้มีการแสดงออกตลอดเวลาในทุกส่วนของเนื้อเยื่อพืช ซึ่งบางครั้งมีการกำจัดยีน *ipt* ตั้งแต่ในระยะแรก ๆ ของการพัฒนาของเนื้อเยื่อภายในห้องการถ่ายยีน ทำให้เนื้อเยื่อดังกล่าวไม่เกิดเป็นยอดกระจุกที่เกาะตัวกันอย่างหนาแน่น ทำให้ยากต่อการคัดเลือกหรือบางครั้งเกิดการผิดพลาดคัดเลือกเนื้อเยื่อดังกล่าวทึ่งไป เพราะเข้าใจผิดว่าเป็นเนื้อเยื่อที่ไม่ได้รับการถ่ายยีน ดังนั้นเพื่อแก้ไขปัญหาดังกล่าวจึงมีการศึกษาการใช้ inducible promoter เพื่อควบคุมการแสดงออกของยีน *recombinase* เช่น *GST-II-27* promoter ของ glutathione-S-transferase gene จากข้าวโพด โดยใช้สารเคมี Safener กระตุ้นการทำงานของ *GST-II-27* promoter เพื่อชักนำให้ยอดกระจุกของยาสูบพัฒนาเป็นยอดปกติ และสร้างยาสูบคัดแปลงพันธุกรรมที่ปราศจากยีนคัดเลือกได้ถึง 14 เปอร์เซ็นต์ (Sugita *et al.*, 2000) Schaat *et al.* (2004) ศึกษาการใช้ยีนคัดเลือกเชิงลบ (negative selection) คือ ยีน cytosine deaminase (*coda*)

ร่วมกับยีนคัดเลือก *nptII* สำหรับถ่ายยีนเข้าสู่สตอร์เบอร์รี่ ซึ่งยีน *codA* ซึ่งไวต์อสาร 5-fluorocytosine (5-FC) โดยในระยะแรกทำการคัดเลือกเนื้อเยื่อที่ได้รับการถ่ายยีนที่สามารถต้านทานต่อสารปฏิชีวนะภานามัยซิน หลังจากนั้นทำการคัดเลือกเนื้อเยื่อที่มีการกำจัดยีนคัดเลือกบนอาหารที่เติมด้วยสาร 5-FC เนื้อเยื่อที่ยังคงมียีนคัดเลือกทั้งสองคือยีน *nptII* และยีน *codA* เมื่อเพาะเลี้ยงบนอาหารดังกล่าวจะตาย ส่วนเนื้อเยื่อที่มีการกำจัดยีนคัดเลือกออกสามารถเจริญเติบโตได้

ปัญหาสำคัญอย่างหนึ่งในการผลิตและส่งออกกล้วยไม้ คือ การร่วงโรยของดอกซึ่งมีสาเหตุมาจากการลีนซึ่งทำให้สูญเสียบุคลากรของดอกกล้วยไม้ ปัจจุบันนี้มีการแก้ปัญหาดังกล่าวทำได้หลายวิธี แต่วิธีที่นิยมได้แก่การใช้สารละลาย silver thiosulfate (Veen, 1979) สาร 1-methylcyclopropane (1-MCP) (ศรีพิมล และคณะ, 2550) และ 1,1-dimethyl-4-(phenylsulfonyl) semicarbazide (DPSS) (Midoh *et al.*, 1996) ถึงแม้สารทั้งสามชนิดจะใช้ได้ผลดี แต่ก็มีข้อด้อยและวิธีการใช้ที่ยุ่งยาก นอกจากนี้สารเงิน (silver) ที่ตกค้างก็เป็นอันตรายต่อสุขภาพและสาร 1-MCP เมื่อพืชสร้างตัวรับเอทธิลีนเข้ามามากไปไม่สามารถป้องกันการผลิตเอทธิลีนได้ ดังนั้นการพัฒนาพันธุ์กล้วยไม้ให้มีอายุการปักแจกวันนานขึ้น โดยใช้เทคนิคทางพันธุ์วิศวกรรม ได้แก่ เทคโนโลยี antisense และเทคโนโลยี RNA interference (RNAi) เป็นทางเลือกหนึ่งในการช่วยลดปัญหาและความเสี่ยหายน์ต่อดอกกล้วยไม้ที่ส่งออกไปยังตลาดต่างประเทศ เป็นการเพิ่มมูลค่าให้กับอุตสาหกรรมการส่งออกกล้วยไม้ ตัดดอกของไทย

โดยในการทดลองครั้งนี้ใช้เทคโนโลยี antisense RNA ในการปรับปรุงพันธุ์กล้วยไม้ให้มีอายุการปักแจกวันนานขึ้น พบว่าจากการตรวจการแสดงออกของยีนในระดับอาร์เอ็นเอ ต้นกล้วยไม้ที่ได้รับการถ่ายยีน AS-ACSB ได้แก่ line AS-ACSB-203A และ AS-ACSB-208A มีการแสดงออกของยีน AS-ACSB มาก และพบการแสดงออกของยีน sense ACS น้อยลง ในการตรวจสอบด้วยวิธี RT-PCR แต่เมื่อตรวจสอบด้วยเทคนิค northern blot analysis ไม่พบการแสดงออกของยีน AS-ACS และยีน sense ACS ทั้งนี้เป็นเพราะว่ายีน AS-ACS ที่นำมาใช้ในการสร้างกล้วยไม้ดัดแปลงพันธุกรรม เป็นยีนที่มีการแสดงออกเฉพาะในดอกเที่ยงเท่านั้น จึงตรวจไม่พบการแสดงออกของยีน sense ACS จากส่วนใบของกล้วยไม้ ให้ผลเช่นเดียวกับงานวิจัยของ Yu *et al.* (2000) ได้ถ่ายยีน sense/antisense *DOH1* (*Dendrobium* orchid homeobox1) เข้าสู่กล้วยไม้สกุล หวานพันธุ์ Madame Thong-In โดยใช้เชื้อ *A. tumefaciens* สายพันธุ์ LBA4404 ซึ่งเป็นยีนที่ควบคุมการสร้าง shoot apical meristem (SAM) และการออกดอก (early flowering) ซึ่งไม่สามารถตรวจสอบการแสดงออกของยีน *DOH1* ในใบอ่อนและใบแก่ของกล้วยไม้ได้ แต่จะตรวจพบการแสดงออกที่ leaf primordial ได้ Lanahan *et al.* (1994) ศึกษาการแสดงออกของยีน ACS ในมะเขือ

เทกดัดแปลงพันธุกรรม พบรการแสดงออกของยีน ACS ปริมาณมากที่ก้านใบและดอกในระบะก่อนการร่วงโรยและหลุดร่วง แต่พบรการแสดงออกของยีน ACS ไม่เด่นชัดในใบที่ร่วงโรย (senescence) ในกรณีของต้นกล้วยไม้ที่ได้รับการถ่ายยีน AS-ACO₁ มีการแสดงออกของยีน AS-ACO₁ ในปริมาณที่แตกต่างกัน ดังนี้เพาะชำดังกล่าวไปแทรกตัวยังตำแหน่งที่ไม่ทำให้เกิดการแสดงออกของยีน (gene silencing) และขึ้นกับจำนวนชุดของยีน ทำให้พบรการแสดงออกของยีน sense ACO มากกว่ายีน AS-ACO₁

งานวิจัยที่เกี่ยวข้องกับการปรับปรุงพันธุ์กล้วยไม้โดยใช้ antisense RNA technology ในการขับยั้งการแสดงออกของยีนที่เกี่ยวข้องกับการสร้างเออทิลีน ได้แก่ยีน ACS และยีน ACO ทำให้ชะลอการร่วงโรยของดอกไม้ เช่นรายงานของ Iwazaki *et al.* (2004) ถ่ายยีน sense/antisense ACS เข้าสู่カラ์เนชัน (*Dianthus caryophyllus* L. cv. Nora) โดยใช้เชื้ออะโกรเบคทีเรียม ได้คาร์เนชันดัดแปลงพันธุกรรมที่ได้รับยีน sense ACS จำนวน 2 lines และได้รับยีน antisense ACS จำนวน 3 lines สามารถขับยั้งการสร้างเออทิลีนในระหว่างที่ดอกคาร์เนชันเกิดการร่วงโรยเมื่อเปรียบเทียบกับต้นที่ไม่ได้รับการถ่ายยีน และ line sense ACS-1 ที่ได้บรรจุยีน sense ACS สามารถลดการสร้างเออทิลีนและดอกคาร์เนชันมีอายุการปักแจกันที่ยาวนานขึ้น ทั้งนี้เนื่องจากตำแหน่งและจำนวนชุดของยีน sense ACS ที่เข้าไปแทรกตัวในโครโนไซมพีซที่ตำแหน่งต่าง ๆ กัน โดยบางตำแหน่งอาจทำให้เกิด silencing ของยีน endogenous ACS ทำให้ยีนดังกล่าวไม่สามารถแสดงออกได้และทำให้ยีนมีการแสดงออกในระดับที่แตกต่างกัน และการที่ยีน sense ACS ขับยั้งการแสดงออกของยีน endogenous ACS ได้ดียีน antisense ACS เนื่องจากยีนดังกล่าวมีการแสดงออกในลักษณะที่เรียกว่า co-expression ร่วมกับยีน endogenous ACS ภายในพืช甥 (Iwazaki *et al.*, 2004) Kosugi *et al.* (2000) กล่าว เช่นเดียวกันว่าคาร์เนชันที่ถ่ายยีน sense ACO มีการสร้างเออทิลีนในดอกลดลง ซึ่งเกิดจากกระบวนการ co-suppression ร่วมกับยีน endogenous ACO ทำให้อายุการปักแจกันนานขึ้น Kinouchi *et al.* (2006) ถ่ายยีน sense/antisense ACO เข้าสู่ดอกคาร์เนชัน (*D. caryophyllus* L. cv. Lilliput) พบรการแสดงออกยีน sense ACO ลดลง ทำให้กิจกรรมของ ACC oxidase ภายในพืชลดลงในบางสายพันธุ์ของคาร์เนชันดัดแปลงพันธุกรรม

ในการทดลองครั้งนี้สามารถสร้างกล้วยไม้ที่ได้รับการถ่ายยีน AS-ACS หรือ AS-ACO₁ ที่ปราศจากยีนคัดเลือกและพบรการแสดงออกของยีน endogenous ACS หรือ ACO₁ ลดลง เมื่อเปรียบเทียบกับต้นที่ไม่ได้รับการถ่ายยีน ซึ่งต้นกล้วยไม้ดัดแปลงพันธุกรรมดังกล่าวมีแนวโน้มที่จะมีอายุการปักแจกันที่นานขึ้น ซึ่งน่าจะเป็นประโยชน์ในการสร้างกล้วยไม้ดัดแปลงพันธุกรรมที่สามารถยืดอายุการปักแจกันของดอกกล้วยไม้สกุลหวายได้ในอนาคต

สรุป

งานวิจัยครั้งนี้ได้ทำการศึกษา 2 เรื่อง ได้แก่ การศึกษาปัจจัยต่าง ๆ ที่มีผลต่อการถ่ายยีนเข้าสู่กลีบไข่ไม้สกุลหวานพันธุ์ปอมปาดัวร์ โดยการใช้เชื้ออะโกรแบคทีเรียมที่บรรจุเวกเตอร์ pMAT 21 และการถ่ายยีนที่เกี่ยวข้องกับการสร้างเอทิลีนเข้าสู่กลีบไข่ไม้สกุลหวานพันธุ์ปอมปาดัวร์ โดยใช้เวกเตอร์ pMAT21 เพื่อสร้างกลีบไข่ไม้ดัดแปลงพันธุกรรมที่มียีนเป้าหมายและปราจากยีนกดเลือกซึ่งได้สรุปผลการทดลองดังนี้

1. การศึกษาปัจจัยต่าง ๆ ที่มีผลต่อการถ่ายยีนเข้าสู่กลีบไข่ไม้สกุลหวานพันธุ์ปอมปาดัวร์ โดยการใช้เชื้ออะโกรแบคทีเรียมที่บรรจุเวกเตอร์ pMAT21

1.1 เชื้ออะโกรแบคทีเรียมสายพันธุ์ EHA105 มีประสิทธิภาพในการส่งถ่ายยีนเข้าสู่กลีบไข่พันธุ์ปอมปาดัวร์ได้ดีกว่าสายพันธุ์ AGL-1 และ C58 เนื่องจากมีรายงานว่าอะโกรแบคทีเรียมสายพันธุ์ EHA105 เหมาะสมสำหรับใช้ในพืชใบเดี่ยงเดียวจึงเลือกใช้อะโกรแบคทีเรียมสายพันธุ์ EHA105 ในการถ่ายยีน

1.2 ปริมาณเชื้ออะโกรแบคทีเรียมสายพันธุ์ EHA105 :: pMAT21 vector ที่เหมาะสมสำหรับใช้ในการถ่ายยีนเข้าสู่กลีบไข่ไม้สกุลหวานพันธุ์ปอมปาดัวร์ คือ เชื้ออะโกรแบคทีเรียมที่มีความเข้มข้นเมื่อวัดค่า OD₆₀₀ ในช่วง 1.61-2.00 และเทียบเท่า 1:1 ซึ่งมีปริมาณเชื้อ ~ 4.1×10^{17} cfu/ml

1.3 วิธีการและเวลาที่เหมาะสมในการทำ co-cultivation คือ วิธีผสมสารแวนโนยเชื้ออะโกรแบคทีเรียมกับเนื้อเยื่อกลีบไข่โดยใช้เครื่อง vortex mixer ที่ความเร็วระดับ 7 เป็นเวลา 30 นาที

1.4 การเติมสาร celite ซึ่งเป็นสารที่ทำให้เกิดบาดแผล ลงในสารแวนโนยเชื้ออะโกรแบคทีเรียมในช่วงการทำ co-cultivation ที่ความเข้มข้น 4.5 กรัมต่อลิตร เป็นเวลา 30 นาที ช่วยเพิ่มประสิทธิภาพในการถ่ายยีนเข้าสู่เนื้อเยื่อกลีบไข่ไม้ได้ที่สุด

1.5 การกำจัดเชื้ออะโกรแบคทีเรียมจาก PLBs ภายหลังการถ่ายยีนโดยใช้ 200 มิลลิกรัมต่อลิตร สามารถยับยั่งการเจริญเติบโตของเชื้ออะโกรแบคทีเรียมได้อย่างมีประสิทธิภาพ โดยไม่มีผลกระทบต่อการเจริญเติบโตของเนื้อเยื่อกล้ามไข้ไม้

2. การถ่ายยีนที่เกี่ยวข้องกับการสร้างเอ็ทิลีนคือ ยีน ACS และ ACO เข้าสู่กล้ามไข้สกุล hairyพันธุ์ปอมปาดัวร์โดยใช้เวกเตอร์ pMAT21 เพื่อสร้างกล้ามไข้มีดัดแปลงพันธุกรรมที่มียีนเป้าหมายและปราศจากยีนคัดเลือก

การทดลองครั้งนี้ทำการแบ่งยีน ACS และ ACO ออกเป็นส่วนต่าง ๆ 3 ส่วน ได้แก่ บริเวณ 5' ของยีน, บริเวณ central region และบริเวณ 3' ของยีน ซึ่งเรียกว่า ACSA, ACSB, ACSC สำหรับยีน ACS และ ACOA, ACOB, ACOC สำหรับยีน ACO ตามลำดับ จากนั้นทำการสร้างชุดยีนแต่ละส่วนดังกล่าวในลักษณะ antisense orientation เข้าสู่เวกเตอร์ pMAT21 เพื่อถ่ายเข้าสู่กล้ามไข้ไม้โดยใช้เชื้ออะโกรแบคทีเรียม พนว่าภายหลังการถ่ายยีน 3-4 เดือน PLBs พัฒนาเป็นยอดกระฉูกที่เกาะตัวกันแน่น และเกิดการพัฒนาเป็นต้นปักติดจากยอดกระฉูกดังกล่าวภายหลังการถ่ายยีน 6-8 เดือน หลังจากนั้นนำต้นปักติดมาตรวจสอบด้วยวิธี Southern blot analysis พนว่ากล้ามไข้ไม้ที่ได้รับการถ่ายยีน AS-ACSB และยีน AS-ACOB มียีนแทรกตัวอยู่ในจีโนม 1 ชุด จำนวน 5 และ 2 ต้น ตามลำดับ ในขณะที่กล้ามไข้ไม้ที่ได้รับการถ่ายยีน AS-A COA มียีนแทรกตัวอยู่ในจีโนมตั้งแต่ 2-4 ชุด โดยต้นกล้ามไข้ไม้ดังกล่าวทุกต้นปราศจากยีนคัดเลือก จากการตรวจการแสดงออกของยีนในระดับอาร์เอ็นเอ พนว่าต้นกล้ามไข้ไม้ที่ได้รับการถ่ายยีน AS-ACSB “ได้แก่” line AS-ACSB-203A และ AS-ACSB-208A มีการแสดงออกของยีน AS-ACSB หาก และพบการแสดงออกของยีน sense ACS น้อยลง และในต้นกล้ามไข้ไม้ที่ได้รับการถ่ายยีน AS-A COA มีการแสดงออกของยีน AS-A COA ในปริมาณที่แตกต่างกันและในต้นกล้ามไข้ไม้ที่ได้รับการถ่ายยีน AS-ACOB “ได้แก่” line AS-ACOB-10B และ AS-ACOB-11B มีการแสดงออกของยีน AS-ACOB หาก และพบการแสดงออกของยีน sense ACO น้อยลง ดังนั้นการถ่ายยีน AS-ACS หรือ AS-A CO ด้วยเวกเตอร์ pMAT21 สามารถสร้างกล้ามไข้ไม้ดัดแปลงพันธุกรรมที่มียีน AS-ACS หรือ AS-A CO และปราศจากยีนคัดเลือกได้

เอกสารและสิ่งอ้างอิง

กนกพร บุญญาอติชาติ. 2541. อิทธิพลของระยะทางเกษตรจากดอกไม้ชนิดต่าง ๆ ที่มีต่อการผลิต
เอทิลีนและการเสื่อมสภาพของดอกกล้วยไม้ hairyป้อมปาดัวร์ภายหลังการถ่ายระยะ
เกษตร. ปัญหาพิเศษปริญญาโท. ภาควิชาพืชสวน คณะเกษตร มหาวิทยาลัยเกษตรศาสตร์,
กรุงเทพฯ . 45 น.

ครรชิต ธรรมศิริ. 2547. เทคโนโลยีการผลิตกล้วยไม้. อั้มรินทร์พริ้นติ้งแอนด์พับลิชชิ่ง จำกัด
(มหาชน) กรุงเทพฯ. 283 น.

จิตราพรรณ พลีก. 2537. กล้วยไม้ในไม้ตัดดอกเขตต้อน. กองส่งเสริมพืชสวน กรมส่งเสริม
การเกษตร. 10-34 น.

จริงแท้ ศิริพานิช. 2550. ชีวิทยาหลังการเก็บเกี่ยวและการรายของพืช. โรงพิมพ์ศูนย์ส่งเสริมและ
ฝึกอบรมการเกษตรแห่งชาติ, นครปฐม. 453 น.

น้ำพิพิธ พิร旦ฤทธิ์. 2544. การถ่ายยืนจากไวรัสสาเหตุโรคจุ่งของข้าวให้กับข้าวไร่. วิทยานิพนธ์
ปริญญาโท. ภาควิชาโรคพืช คณะเกษตร มหาวิทยาลัยเกษตรศาสตร์, กรุงเทพฯ. 97 น.

ประภาพร ไชยเจริญ. 2539. ความสัมพันธ์ระหว่างการทดสอบเกษตร การผลิตเอทิลีน และการ
เสื่อมสภาพของดอกกล้วยไม้ hairyชีชาร์ 4N. วิทยานิพนธ์ปริญญาโท. ภาควิชาพืชสวน
คณะเกษตร มหาวิทยาลัยเกษตรศาสตร์, กรุงเทพฯ. 82 น.

วชิรญา อิ่มสถาบ. 2542. ผลของการลดอุณหภูมิ ตัวดูดเอทิลีนและสารละลายนามีด้อยปักเฉพาะกัน
ต่อคุณภาพของดอกกล้วยไม้สกุล hairy. วิทยานิพนธ์ปริญญาโท. ภาควิชาพืชสวน คณะ
เกษตร มหาวิทยาลัยเกษตรศาสตร์, กรุงเทพฯ. 48 น.

สายชล กตุยา. 2530. เทคนิคในการปฏิบัติงานเพื่อรักษาคุณภาพของดอกกล้วยไม้โดยผู้ส่งออก.
วิทยานิพนธ์ (สังคม) 8: 118-122.

สายชล เกตุญา. 2531. เทคโนโลยีหลังการเก็บเกี่ยวของดอกไม้. บริษัท สารมวลชน จำกัด,
กรุงเทพฯ. 291 น.

สายชล เกตุญา, พองจันทร์ ธรรมพิทักษ์กร, จิตรา ตระกูลน่าเลื่อมใส และ วชิรญา อิ่มสนาญ.
2540. รายงานวิจัยการศึกษาความคุ้มการสร้างและการทำงานของอุปกรณ์ที่มีผลต่อ[†]
คุณภาพและอายุการปักเจกันของดอกกล้วยไม้หวายเพื่อการส่งออก. ภาควิชาพืชสวน
คณะเกษตร, มหาวิทยาลัยเกษตรศาสตร์. 151 น.

สำนักวิจัยพัฒนาการอ/ar กษาพืช. 2548. โรคไม้ดอก. กรมวิชาการเกษตร, กรุงเทพฯ. 3 น.

สำนักงานเศรษฐกิจการเกษตร โดยความร่วมมือของกรมศุลกากร. 2552. ปริมาณและมูลค่าการ
ส่งออกดอกกล้วยไม้สด ปี 2549-2552. สติ๊กิจการเกษตรของประเทศไทย ปี 2552.
กระทรวงเกษตรและสหกรณ์, กรุงเทพฯ. แหล่งที่มา: <http://www.oae.go.th/statistic/export/QVExp.xls>, 20 มีนาคม 2552.

ศิริพิมล วงศ์เหม วิไลกรรณ์ บุญญิกจินดา อภิรดี อุทัยรัตนกิจ และกุลนาดา อบสุวรรณ. 2550. ผล
ของระยะเวลาในการรرم 1-MCP ต่ออายุการปักเจกันของกล้วยไม้ลูกผสมพันธุ์ Mokara
Jairak Gold. วารสารวิทยาศาสตร์เกษตร 38(6): 255-258.

อภิญญา วิสุทธิอมรรุล. 2544. การเปลี่ยนแปลงหลังการเก็บเกี่ยวด้านสีระของดอกกล้วยไม้หวาย
ป้อมป้าตัวรื่นการตอบสนองต่อการผสมเกสร. ปัญหาพิเศษปริญญาตรี. ภาควิชาพืช
สวน คณะเกษตร มหาวิทยาลัยเกษตรศาสตร์, กรุงเทพฯ. 47 น.

อารีรัตน์ garuwan sstitthayach. 2547. อิทธิพลของดอกบานที่มีผลต่อการร่วงและการบานของดอกตูม[‡]
ในกล้วยไม้สกุลหวายหลังการเก็บเกี่ยว. วิทยานิพนธ์วิทยาศาสตร์มหาบัณฑิต
(เกษตรศาสตร์) ภาควิชาพืชสวน มหาวิทยาลัยเกษตรศาสตร์. 131หน้า

อบนันท์ ไทยทอง. 2543. กล้วยไม้เมืองไทย. สำนักพิมพ์บ้านและสวน, กรุงเทพฯ. 461 น.

Abeles, F. B., P. W. Morgan and M. E. Saltveit. 1992. **Ethylene in Plant Biology.** Academic Press, California. Inc. Sandiego. 414 p.

Aida, R., T. Yoshida, K. Ichimura, G. Goto and M. Shibata. 1998. Extension of flower longevity in transgenic torenia plants incorporating *ACC oxidase* transgene. **Plant Sci.** 138: 91-101.

Araki, H., A. Jearnipatkul, H. Tatsumi, T. Sakurai, K. Ushino, T. Muta and Y. Oshima. 1987. Molecular and functional organization of yeast plasmid pSRI. **J. Mol. Biol.** 182: 191-203.

Ballester, A., M. Cervera and L. Pena. 2007. Efficient production of transgenic citrus plants using isopentenyl transferase positive selection and removal of marker gene by site-specific recombination. **Plant Cell Rep.** 26:39-45.

Belarmino, M. M. and M. Mii. 2000. *Agrobacterium*-mediated genetic transformation of *Phalaenopsis* orchids. **Plant Cell Rep.** 19: 435-442.

Bolitho, K., M. Lay-Lee, M. L. Knighton and G. S. Ross. 1997. Antisense apple *ACC oxidase* RNA reduces ethylene production in transgenic tomato fruit. **Plant Sci.** 122: 91-99.

Borochov, A and W. R. Woodson. 1989. Physiology and biochemistry of flower petal senescence. **Hort. Rev.** 11: 15-43.

Brian, M and M. Sylvia. 2004. Selectable marker genes in transgenic plants: applications, alternatives and biosafety. **J. Biotech.** 107: 193-232.

Bukovinszki, A., Z. Diveki, M. Csanyi, L. Palkovics and E. Balazs. 2007. Engineering resistance to PVY in different potato cultivars in a marker-free transformation system using a 'shooter mutant' *A. tumefaciens*. **Plant Cell Rep.** 26: 459-465.

- Chai, M. L., C. J. Xu, K. K. Senthil, J. Y. Kim and D. H. Kim. 2002. Stable transformation of protocorm-like bodies in *Phalaenopsis* orchids mediated by *Agrobacterium tumefaciens*. **Science Hort.** 96: 213-224.
- Chakraborti, D., A. Sarkar, H. A. Mondal, D. Schuermann, B. Hohn, B. K. Sarmah and S. Das. 2008. Cre/lox system to develop selectable against sap sucking homopteran insect. **Plant Cell Rep.** 27(10): 1623-1633.
- Crozier, A., Y. Kamiya, G. Bishop and T. Yokota. 2000. Biosynthesis of hormones and elicitor molecules, pp. 850-929. In B. B. Buchanan, W. Gruissem and R. L. Jones (eds.) **Biochemistry and Molecular Biology of plants.** American Socie. plant physiol, Rockville.
- Cui, M., K. Takayanagi, H. Kamada, S. Nishimura and T. Handa. 2001. Efficient shoot regeneration from hairy roots of *Antirrhinum majus*. L. transformed by the the *rol*-type MAT vector system. **Plant Cell Rep.** 20: 55-59.
- Dale, E. C. and D. W. Ow. 1991. Gene transfer with subsequent removal of the selection gene from the genome. **Proc. Natl. Acad. Sci. USA.** 88:10558-10562.
- Daley, M., V. C. Knauf, K. R. Summerfelt and J. C. Turner. 1998. Co-transformation with one *Agrobacterium tumefaciens* strain containing two binary plasmids as a method for producing marker-free transgenic plants. **Plant Cell Rep.** 17: 489-496.
- De Bondt, A., K. Eggermont, P. Druart, M. D. Vil, L. Goderis, J. Vanderleyden and W. F. Broekaert. 1994. *Agrobacterium*-mediated transformation of apple (*Malus domestica Borkh.*): an assessment of factors affecting gene transfer efficiency during early transformation steps. **Plant Cell Rep.** 13: 587-593.

Ebinuma, H., K. Sugita, E. Matsunaga and M. Yamakado. 1997a. Selection of marker-free transgenic plants using the *isopentenyl transferase* gene as a selectable marker. **Proc. Natl. Acad. Sci. USA.** 94: 2117-2121

Ebinuma, H., K. Sugita, E. Matsunaga, M. Yamakado and A. Komamine. 1997b. Principle of MAT vector. **Plant Biotech.** 14: 133-139.

Ebinuma, H. and A. Komamine. 2001. MAT (Multi-Auto-transformation) vector system. The oncogenes of *Agrobacterium* as positive markers for regeneration and selection of marker-free transgenic plants. **In Vitro Cell Dev. Biol. Plant** 37: 103-113.

Ebinuma, H., K. Sugita, E. Matsunaga, S. Endo and T. Kasahara. 2000. Selection of marker-free transgenic plants using the oncogenes (*ipt*, *rol A, B, C*) of *Agrobacterium* as selectable markers. **Mol. Biol. Woody Plant** 2: 25-46.

Ebinuma, H., K. Sugita, E. Matsunaga, S. Endo, K. Yamada and A. Komamine. 2001. Systems for the removal of a selection marker and their combination with a positive marker. **Plant Cell Rep.** 20: 383-392.

Endo, S., K. Sugita, T. Kasahara and H. Ebinuma. 2002. A new GST-MAT vector containing both *ipt* and *iaaM/H* genes can produce marker-free transgenic tobacco plants with high frequency. **The Plant Cell Rep.** 20: 923-928.

European Federation of Biotechnology. 2001. Antibiotic resistance markers in genetically modified GM crops. Briefing Paper 10. Available source: <http://www.efbweb.org/public/pubview.htm> (site accessed 12 February 2003).

Fromm, M. E., F. Morrish, C. Armstrong, R. Williams, J. Thomas and T. M. Klein. 1990. Inheritance and expression of chimeric genes in the progeny of transgenic maize plants. **Biotech.** 833-839.

- Goldsbrough, A. P., C. N. Lastrella and J. I. Yoder. 1993. Transposition mediated re-positioning and subsequent elimination of marker genes from transgenic tomato. **Biotech.** 11: 1286-1292.
- Hamilton, A. J., G. W. Lycett and D. Grierson. 1997. Antisense gene that inhibits synthesis of the hormone ethylene in transgenic plants. **Nature** 346: 284-287.
- Halevy, A. H. 1986. Pollination induced corolla senescence. **Acta Hort.** 181: 25-32.
- Hoekstra, F. A and R. Weges. 1986. Lack of control by early pistillate ethylene of the accelerated wilting of *Petunia* hybrid flowers. **Plant Physiol.** 80: 403-408.
- Hohn, B., A. A. Leavy and H. Puchta. 2001. Elimination of selection markers from transgenic plants. **Curr. Opin. Biotech.** 12: 139-143.
- Iwazaki, Y., Y. Kosug, K. Waki, T. Yoshioka and S. Satoh. 2004. Generation and ethylene production of transgenic carnations harboring ACC synthase cDNA in sense or antisense orientation. **J. Appl. Hort.** 6(2): 67-71.
- Jefferson, R. A. 1987. Assaying chimeric genes in plants: the GUS gene fusion system. **Plant Mol. Biol. Rep.** 5: 387-405.
- Jonnes, M. L and W. R. Woodson. 1999. Interorgan signaling following pollination in carnations. **J. Hort. Sci.** 124: 598-604.
- Ketsa, S. 1995. Problem associated with postharvest handling and export of vegetables and flowers in Thailand, In W. Mod. Wan Othman, K. Sijam, S. H. Ahmad and N. M. N. Hassan (eds.). **Commercial production of Fruits, Vegetables and Flowers.** University Pertanian Malaysia, Selangor. 331-340 pp.

- Ketsa, S and A. Rugkong. 2000. Ethylene production, senescence and ethylene sensitivity of *Dendrobium ‘Pompadour’* flowers following pollination. **J. Hort. Sci. Biotech.** 75: 149-153.
- Ketsa, S and K. Luangsuwalai. 1996. The relationship between 1-aminocyclopropane-1-carboxylic acid content in pollinia, ethylene production and senescence of pollinated *Dendrobium* orchid flowers. **Postharvest Biol. Technol.** 8: 57-65.
- Keith H. 1999. **Biosafety of Selectable Marker Genes**. United Nations Industrial Development Organization. May 15, 2000.
- Kieber, J. J. 1997. The ethylene response pathway in *arabidopsis*. **Annual Review of Plant Physiology and Plant Molecular Biology**. 48: 277-296.
- Khan, T., Y. Hiei, Y. Saito, N. Murai and T. Kumashiro. 2006. Production of marker-free transgenic *Nierembergia caerulea* using MAT vector system. **Plant cell Rep.** 25: 914-919.
- Kinouchi, T., R. Endo, A. Yamashita and S. Satoh. 2006. Transformation of carnation with genes related to ethylene production and perception: towards generation of potted carnations with a longer displays time. **Plant Cell Tiss. Organ Cult.** 86: 27-35.
- Klee, H. J., M. B. Hayford, K. A. Kratzmer, G. F. Barry and G. M. Kistone. 1991. Control of ethylene synthesis by a bacterial enzyme in transgenic tomato plants. **Plant cell Rep.** 3: 1187-1193.
- Komari, T., Y. Hiei, Y. Saito, N. Murai and T. Kumashiro. 1996. Vectors carrying two separate T-DNAs for co-transformation of higher plants mediated by *Agrobacterium tumefaciens* and segregation of transformants free from selection markers. **Plant J.** 10: 165-174.

- Kosugi, Y., W. Keisuke, Y. Iwazaki, N. Tsuruno, A. Mochizuki, T. Yoshioka, T. Hashiba and S. Satoh. 2000. Senescence and expression of transgenic non-ethylene-producing carnation flowers. **J. Japan. Soc. Hort. Sci.** 71(5): 638-642.
- Lanahan, M., B., H. C. Yen, J. J. Giovannoni and H. J. Klee. 1994. The never ripe mutation blocks ethylene perception in tomato. **Plant Cell** 6: 521-530.
- Liau, C. H., S. J. You, V. Prasad, H. H. Hsiao, J. C. Lu., N. S. Yang and M. T. Chan. 2003. *Agrobacterium tumefaciens*-mediated transformation of an *Oncidium* orchid. **Plant Cell Rep.** 21: 993-998.
- Lin, J.J., N. A. Garcia and J. Kuo. 1994. Effects of *Agrobacterium* cell concentration on the transformation efficiency of tobacco and *Arabidopsis thaliana*. **Focus** 16: 72-77.
- Lopez-Noguera, S., C. Petri and L. Burgos. 2007. Using MAT Vector System to produce marker-free transformed apricot plants. **Acta Hort.** 607-612.
- Midoh, N., Y. Saijou, K. Matsumoto and M. Iwata. 1996. Effects of 1, 1-dimethyl 1-4 (phenylsulfonyl) semicarbazide (DPSS) on carnation flower longevity. **Plant Growth Regul.** 20: 195-199.
- Mondal, T. K., A. Bhattacharya, P. S. Ahuja and P. K. Chand. 2001. Transgenic tea [*Camellia sinensis* (L.) O. Kuntze cv. Kangra Jat] plants obtained by *Agrobacterium*-mediated transformation of somatic embryos. **Plant Cell Rep.** 20: 712-720.
- Mullins, E. D., T. G. McCollum and R. E. McDonald. 2000. Consequence on ethylene metabolism of inactivating the ethylene receptor sites in diseased non-climacteric fruits. **Postharvest Biol. Technol.** 19: 155-164.
- Odell, J., P. Caimi, B. Sauer and S. Ressell. 1990. Site-directed recombination in the genome of transgenic tobacco. **Mol. Gen. Gent.** 223: 369-378.

Onouchi, H., K. Yokoi, C. Machida, H. Mastsuzaki, Y. Oshima, K. Matsuoka, K. Nakamura and Y. Machida. 1991. Operation of an efficient site-specific recombination system of *Zygosaccharomyces rouxii* in tobacco cells. **Nucleic Acids Res.** 19: 6373-6378.

Onouchi H, R. Nishihama, M. Kudo, Y. Machida. 1995. Visualization of site-specific recombination catalyzed by a recombinase from *Zygosaccharomyces rouxii* in *Arabidopsis thaliana*. **Mol. Gen. Genet.** 234: 49-59.

O'Neill, S. D. and J. A. Nadeau. 1997. Postpollination flower development. **Hort. Rev.** 19: 1-58.

O'Neill, S. D., J. A. Nadeau, X. S. Zhang, A. Q. Bui and A. H. Halvey. 1993. Interorgan regulation of ethylene biosynthetic genes by pollination. **Plant Cell** 5: 419-432.

Permingeat, H., R. M. L. Alvarez, G. D. L. Cervigni, R. A. Ravizzini and R. H. Vallejos. 2003. Stable wheat transformation obtained without selectable markers. **Plant Mol. Biol.** 52: 415-419.

Richael, C. M., M. Kalyaeva, R. C. Chretien, H. Yan, S. Adimulam, A. Stivison, J. T. Weeks and C. M. Rommens. 2008. Cytokinin vector mediate marker-free and backbone-free plant transformation. **Transgenic Res.** 17(5): 905-917.

Roy, S. D., M. Saxena, P. S. Bhomkar, M. Pooggin, T. Hohn and N. Bhalla-Sarin. 2008. Generation of marker free salt tolerant transgenic plants of *Arabidopsis thaliana* using the *gly I* gene and *cre* gene under inducible promoters. **Plant Cell Tiss. Organ. Cult.** 95: 1-11.

Russell, S. H., J. L. Hoopes and J. T. Odell. 1992. Directed excision of a transgene from the plant genome. **Mol. Gen. Genet.** 234: 49-59.

- Saelim, L., S. Phansiri. M. Suksangpanomrung, S. Neutrphan and J. Narangajavana. 2008. Evaluation of a morphological marker selection and excision system to generate marker-free transgenic cassava plants. **Plant Cell Rep.** 28(3): 445-455.
- Sambrook, J., E. F. Fritsch and T. Maniatis. 1989. **Molecular Cloning: A Laboratory Manual.** 2nd Edition. Cold Spring Harbor Laboratory, Cold Spring Harbor, N. Y. USA. 113 p.
- Savin, K. W., S. C. Baudinette, M. W. Graham, M. Z. Michael, G. D. Nugent and C. Y. Lu. 1995. Antisense *ACC oxidase* RNA deleys carnation petal senescecce. **Hort. Sci.** 30: 970-972.
- Schaart, J. G., F. A. Krens, K. T. B. Pelgrom, O. Mendes and G. J. A. Rouwendal. 2004. Effective production of marker-free transgenic strawberry plants using inducible site-specific recombination and a bifunctional selectable marker gene. **Plant Biotech. J.** 2: 233-240.
- Shibuya, K., T. Yoshioka, T. Hashiba and S. Satoh. 2000. Role of the gynoecium in natural senescence of carnation (*Dianthus caryophyllus* L.) flowers. **J. Exp. Botany.** 51: 2067-2073.
- Shrestha, B. R., D. Poh Chin., K. Tokuhara and M. Mii. 2007. Efficient production of transgenic plantls of *Vanda* through sonication-assisted *Agrobacterium*-mediated transformation of protocorm-like bodies. **Plant Biotech.** 24: 429-434.
- Silva, J. A. T and S. Fukai. 2001. The impact of carbenicillin, cefotaxime and vancomycin on chrysanthemum and tobacco TCL morphogenesis and *Agrobacterium* growth. **J. Appl. Hort.** 3(1): 3-12.

- Sreeramanan, S., B. Vinod, S. Sashi and R. Xavier. 2008. Optimization of the transient *Gusa* gene transfer of *Phalaenopsis violacea* orchid via *Agrobacterium tumefaciens*: an assessment of factor influencing the efficiency of gene transfer mechanisms. **Advances in Natural and Applied Sciences** 2(2): 77-88.
- Sripriya, R., V. Raghupathy and K. Veluthambi. 2008. Generation of selectable marker-free sheath blight resistant transgenic rice plants by efficient co-transformation of a cointegrate vector T-DNA and a binary vector T-DNA in one *Agrobacterium tumefaciens* strain. **Plant Cell Rep.** 27(10): 1635-1644.
- Stead, A. D. 1992. Pollination-induced flower senescence: a review. **Plant Growth Regul.** 11: 13-20.
- Sugita, K., E. Matsunaga and E. Ebinuma. 1999. Effective selection system for generating marker-free transgenic plants independent of sexual crossing. **Plant Cell Rep.** 18: 941-947.
- Sugita, K., T. Kasahara, E. Matsunaga and H. Ebinuma. 2000. A transformation vector for the production of marker-free transgenic plants containing a single copy transgene at high frequency. **Plant J.** 22(5): 461-469.
- Suzuki, A., K. Supaibulwatana, M. Mii and M. Nakano. 2001. Production of transgenic plants of the Liliaceous ornamental plant *Agapanthus praecox* ssp. *orientalis* (Leighton) Leighton via *Agrobacterium*-mediated transformation of embryogenic calli. **Plant Sci.** 161(1): 89-97.
- Tang, X and W. R. Woodson. 1996. Temporal and spatial expression of 1- aminocyclopropan-1-carboxylate oxidase mRNA following pollination of immature and mature petunia flowers. **Plant Physiol.** 112: 503-511.

The Royal Horticultural Society. 1972. **Sander's List of Orchid Hybrids.** Addendum 1961-1970. Sole Publisher, The Royal Horticultural Society, Vincent Square, London. 632 p.

Vacin, E. and F. W. Went. 1949. Some pH changes in nutrient solutions. **Bot. Gaz.** 110: 605-613.

Van, A., C. Altvorst and A. G. Bovy. 1995. The role of ethylene in the senescence of carnation flowers, a review. **Plant Growth Regul.** 16: 43-53.

Van , D. W., G. E. J. Woltering, M. S. Redid and M. J. Wu. 1993. Reduced sensitivity to ethylene and delayed senescence in a group of related carnation cultivars, *In* J. C. Pech, A. Latche and C. Balague (eds.). **Cellular and Molecular Aspects of the Plant Hormone Ethylene.** Kluwer Academic Publishers, Dordrecht. 188-194.

Veen, H. 1979. Effects of silver on ethylene synthesis and action in cut carnations. **Planta** 145: 465-470.

Verwoerd, T., C., B. M. Dekker and A. Hoekema. 1989. A small-scale procedure for the rapid isolation of plant RNAs. **Nucleic. Acids. Res.** 17: 23-62.

Walkerpeach, C. R and J. Velten. 1994. *Agrobacterium*-mediated gene transfer to plant cells: cointegrate and binary vector system. *In* **Plant Molecular Biology Manual** (eds. S. B. Gelvin and R. A. Schilperoort), 2 nd ed, pp. B1: 1-19. Dordrecht Kluwer Academic Publishers.

Weising, K., J. Schell and G. Kahl. 1988. Foreign genes in plants: transfer, structure, expression and applications. **Ann. Rev. Genet.** 22: 421-477.

Wilson, T. L. Y., O. A. Janna and M. Maziah. 2006. Optimization of *Agrobacterium*-mediated transformation parameters for *Melastomataceae* spp. using green fluorescent protein (GFP) as a reporter. **Scientia Hort.** 38: 101-105.

Woodson, W. R., K. Park, Y. Drory, A. P. B. Larsen and H. Wang. 1992. Expression of ethylene biosynthetic pathway transcripts in senescing carnation flowers. **Plant Physiol.** 99: 526-532.

Woodson, W. R. 1994. Molecular biology of flower senescence in carnation. In R. J. Scott and A. D. Stead (eds.). **Molecular and Cellular Aspects of Plant Reproduction.** Cambridge University Press, Cambridge. 255-267.

Xiao-Yi, S., B. Li and J. R. Zhang. 2006. Production of marker-free transgenic tobacco plants by FLP/*frt* recombination system. **Chinese J. Biotech.** 22 (5): 744-750.

Yang, S. F and N. E. Hoffman. 1984. Ethylene biosynthesis and its regulation in higher plants. **Ann. Rev. Plant Physiol.** 35: 155-189.

Ye, X and H. Qin. 2008. Obtaining marker-free transgenic soybean plants with optimal frequency by constructing a three T-DNA binary vector. **Front. Agric. China** 2(2): 156-161.

Yoder, J. I and A. P. Goldsbrough. 1994. Transformation systems for generating marker-free transgenic plants. **Biotech.** 12: 263-267.

Yu, H., S. H. Yang and C. J. Goh. 2000. *DOH1*, a Class 1 *knox* gene, is required for maintenance of the basic plant architecture and floral transition in orchid. **The Plant Cell.** 12: 2143-2159.

Yu, H., S. H. Yang and C. J. Goh. 2001. *Agrobacterium*-mediated transformation of *Dendrobium* orchid with the class 1 *knox* gene *DOH1*. **Plant Cell Rep.** 20: 301-305.

- Zelasco, S., V. Ressegotti, M. Confalonieri, D. Carbonera, P. Calligari, M. Bonadei, S. Bisoffi, K. Yamada and A. Balestrazzi. 2007. Evaluation of MAT vector system in white poplar (*Populus alba* L.) and production of *ipt* marker-free transgenic plants by ‘single-step transformation’. **Plant Cell Tiss Organ Cult.** 91: 61-72.
- Zuo, J., Q. W. Niu, Y. Ikeda and N. H. Chua. 2002. Marker-free transformation increasing transformation frequency by the use of regeneration promoting genes. **Curr. Opin. Biotech.** 13: 173-180.

ภาคพนวก

ตารางผนวกที่ 1 องค์ประกอบของอาหารสั่งเคราะห์สูตร VW ที่ไม่เติมน้ำมะพร้าว (ดัดแปลงมาจาก
Vacin and Went, 1949)

ส่วนประกอบ	ความเข้มข้น (มิลลิกรัมต่อลิตร)
Macronutrients	
KNO ₃	525
(NH ₄) ₂ SO ₄	500
KH ₂ PO ₄	250
MgSO ₄ .7H ₂ O	250
Ca ₃ (PO ₄) ₂	200
Micronutrients	
MnSO ₄ .H ₂ O	5.7
Iron	
Fe2(C ₄ H ₄ O ₆) ₃ .2H ₂ O	28
Other	
Sucrose	20 กรัมต่อลิตร
pH	4.8-5.0

ตารางผนวกที่ 2 องค์ประกอบของสูตร 2X-YT (Sambrook *et al.*, 1989) สำหรับเลี้ยงเชื้อแบคทีเรีย

ส่วนประกอบ	กรัมต่อลิตร
Bacto-tryptone	16
Bacto-yeast extract	10
NaCl	5
pH 7.5	

ตารางผนวกที่ 3 การเตรียมสารละลายน้ำ X-gluc solution ปริมาตร 50 มิลลิลิตร ใช้สำหรับเทคนิค GUS histochemical assay ดัดแปลงจากวิธีของ Jefferson *et al.* (1987)

สารละลายน้ำ	ส่วนประกอบ (มิลลิลิตร)
0.1 M Na ₂ HPO ₄	5
0.025 M K ₃ Fe(CN) ₆	1
0.025 M K ₄ Fe(CN) ₆	1
0.25 M NaH ₂ PO ₄	5
10% Triton X-100	0.5
เติม substrate X-gluc	25 มิลลิกรัม
เติมน้ำกลั่นให้ครบ	50

ตารางผนวกที่ 4 สารละลายน้ำเพื่อรื้อสำหรับสกัดดีเอ็นเอจากจีโนมของกล้วยไม้โดยดัดแปลงจากวิธี TLES (Verword *et al.*, 1989)

ส่วนประกอบ	ปริมาณต่อลิตร
Tris-HCl, pH8.0	0.1 M
LiCl,	0.1 M
EDTA, pH 8.0	10 mM
SDS	1%
Na ₂ SO ₃	2%

**ตารางผนวกที่ 5 การเตรียมบัฟเฟอร์สำหรับเทคนิค agarose gel electrophoresis
(Sambrook *et al.*, 1989)**

บัฟเฟอร์	ความเข้มข้นสุทธิ	ความเข้มของสารละลาย
Tris-borate(TBE)	0.9 M Tris-borate 0.646 M boric acid 0.025 M EDTA	10X : Tris base ปริมาตร 109 กรัม : boric acid ปริมาตร 40 กรัม : EDTA-free acid ปริมาตร 7.3 กรัม : น้ำ ปริมาตร 750 มิลลิลิตร
Tris-acetate (TAE)	0.004 M Tris-acetate 0.001 M EDTA	50X : Tris base ปริมาตร 242 กรัม : glacial acetic acid ปริมาตร 51.1 มิลลิลิตร : 0.5 M EDTA pH 8.0 ปริมาตร 100 มิลลิลิตร

ประวัติการศึกษาและการทำงาน

ชื่อ – นามสกุล

วัน เดือน ปี ที่เกิด

สถานที่เกิด

ประวัติการศึกษา

ผลงานคีเด่นและรางวัลทางวิชาการ

ทุนการศึกษาที่ได้รับ

นางสาวเบญจวรรณ สุวรรณเนตรย์

30 มีนาคม พ.ศ. 2526

อำเภอ สามพราน จังหวัด นครปฐม

จบการศึกษาระดับปริญญาตรี มหาวิทยาลัยเกษตรศาสตร์

วิทยาเขตกำแพงแสน จังหวัด นครปฐม

คณะเกษตร สาขาวิชาโรคพืช ในปี 2549

1. รางวัลดีเด่น การเสนอผลงานวิชาการภาคบรรยาย การประชุมวิชาการบัณฑิตศึกษา เทคโนโลยีชีวภัณฑ์ ครั้งที่ 3 เรื่อง Production of marker-free transgenic orchid using *ipt*- type MAT vector
2. นำเสนอโปสเตอร์ในงาน BioAsia 2007

Transformation of *Dendrobium* orchid for production of marker-free transgenic orchid.

1. ทุนบัณฑิตผู้ช่วยวิจัย จากศูนย์ความเป็นเลิศด้านเทคโนโลยีชีวภัณฑ์ สำนักงานพัฒนาบัณฑิตศึกษา และวิจัยด้านวิทยาศาสตร์และเทคโนโลยี สำนักงานคณะกรรมการอุดมศึกษากระทรวงศึกษาธิการ
2. ทุนศึกษาวิจัยระดับปริญญาโท จากโครงการยืดอายุ การปักแขกันของกล่าวไม้สักคลหวย กลุ่มวิจัยด้านพืช ศูนย์พันธุ์วิศวกรรมและเทคโนโลยีชีวภัณฑ์ (ศช.) สำนักงานพัฒนาวิทยาศาสตร์และเทคโนโลยีแห่งชาติ (สวทช.)